



# فيزيڪ ذرات بنيادي

ال. جي. تاسي



# فيزيك ذرات بنيادی

ال. جی. تاسی

ترجمه مهدي بارزي، حسين بقايي

# بسم الله الرحمن الرحيم

## فهرست

صفحه	عنوان
۱	پیشگفتار
۳	۱ ذرات آشنا
۳	۱. مقدمه
۳	۲. فوتون
۵	۳. الکترون
۶	۴. پروتون
۶	۵. نوترون
۸	۶. قوانین پایستگی و اصول ناوردایی
۹	تمرین
۹	مراجع
۱۱	۲ ذرات دیگر
۱۱	۷. پاد ذره
۱۴	۸. نمودار فاینمن
۲۰	۹. واپاشی بتا و نوترینو

۲۳	۱۰. منشأ نیروهای هسته‌ای
۲۵	۱۱. پیوندها
۲۶	تمرین
۲۷	مراجع
۲۸	۳. خواص پیون
۲۸	۱۲. اسپین $\pi^+$
۲۹	۱۳. پارته
۳۲	۱۴. پارته $\pi^-$
۳۴	۱۵. اسپین و پارته $\pi^0$
۳۴	۱۶. پارته و قوانین پایستگی مطلق
۳۵	تمرین
۳۶	مراجع
۳۸	۴. نوکلئونها و پیونها
۳۸	۱۷. ایزوسپین
۴۲	۱۸. استقلال بار در نیروهای هسته‌ای
۴۳	۱۹. ایزوسپین پیونها
۴۵	تمرین
۴۵	مراجع
۴۶	۵. گشتاورهای مغناطیسی
۴۶	۲۰. گشتاورهای مغناطیسی نوکلئون
۴۸	۲۱. گشتاورهای مغناطیسی بی‌هنگار الکترون و میون
۵۱	تمرین
۵۱	مراجع

۵۲	۶ ذرات شگفت
۵۲	۲۲. خلاصه‌ای از ذرات شناخته شده تا سال ۱۹۴۷
۵۳	۲۳. ذرات شگفت
۵۵	۲۴. تولید همبسته و شگفتی
۵۷	۲۵. مزونهای $K$
۵۹	۲۶. هیپرونها
۶۲	تمرین
۶۲	مراجع
۶۳	۷ ناپایستگی پاریته
۶۳	۲۷. معمای $\theta - \tau$
۶۵	۲۸. قطبیدگی ذرات $\beta$
۷۰	۲۹. نوترینوی دو مؤلفه‌ای
۷۱	۳۰. ناپایستگی پاریته در واپاشی $\Lambda^0$
۷۳	۳۱. ناوردایی تحت $P$ ، $C$ و $T$
۷۴	۳۲. ناوردایی $CP$
۷۶	۳۳. زده‌بنبلی برهم‌کنشها
۷۹	تمرین
۷۹	مراجع
۸۱	۸ لپتونها
۸۱	۳۴. دو نوع نوترینو
۸۳	۳۵. دستوارگی نوترینوی میون
۸۴	۳۶. پایستگی لپتونها
۸۷	۳۷. قوانین عمومی پایستگی
۸۹	تمرین
۸۹	مراجع

۹۰	۹ مزونهای K خنثی و ناپایستگی CP
۹۰	۳۸. مزونهای K خنثی
۹۲	۳۹. ناپایستگی CP
۹۸	تمرین
۹۹	مراجع
۱۰۰	۱۰ تشدید
۱۰۰	۴۰. مقدمه
۱۰۲	۴۱. تشدید در پراکندگی پيون - نوکلئون
۱۱۰	۴۲. آشکارسازی ذرات تشدیدي توسط همبستگی انرژی - تکانه
۱۱۶	۴۳. تشدیدهای باریونی دیگر
۱۱۹	۴۴. کشف $\Omega^-$
۱۲۱	۴۵. تشدیدهای مزونی با $S = 0$
۱۳۰	۴۶. تشدیدهای مزونی با $S = \pm 1$
۱۳۲	۴۷. تشدید در کانالهای مختلف
۱۳۴	۴۸. نامگذاری تشدیدها
۱۳۶	تمرین
۱۳۷	مراجع
۱۴۱	۱۱ چند تابه‌های (۳) SU در هادرونها
۱۴۱	۴۹. مقدمه
۱۴۵	۵۰. نظریه گروه در فیزیک
۱۴۷	۵۱. رده بندی (۳) SU در باریونها و مزونها
۱۵۳	۵۲. الگوی کوارک
۱۵۵	۵۳. الگوی کوارکی مزونها
۱۵۷	۵۴. خواص کوارکها

۱۵۸	۵۵. باریونها
۱۶۱	۵۶. شكاف جرمی در چند تابه های مزونی
۱۶۴	۵۷. شكاف جرمی در باریونها
۱۶۵	۵۸. محاسبه فرمول جرمی گلنن - اکیو برای هشت تابه
۱۷۰	تمرین
۱۷۰	مراجع
۱۷۲	۱۲ قطبهای رگه
۱۷۲	۵۹. قطبهای رگه
۱۷۵	۶۰. نیروهای تبدلی
۱۷۷	۶۱. کاربرد مسبرهای رگه در فیزیک ذرات
۱۸۰	۶۲. پیچیدگیها
۱۸۰	تمرین
۱۸۱	مراجع
۱۸۲	۱۳ SU(۶)
۱۸۲	۶۳. الگوی کواریک و SU(۶)
۱۸۳	۶۴. نسبت گشتاورهای مغناطیسی نوترون و پروتون
۱۸۴	مراجع
۱۸۶	۱۴ برهم کنشهای الکترومغناطیسی
۱۸۶	۶۵. مقدمه
۱۸۷	۶۶. عامل شکل
۱۸۹	۶۷. عامل شکل پروتون
۱۹۳	۶۸. عوامل شکل نوترون
۱۹۴	۶۹. پراکنندگی ناکشسان
۲۰۲	۷۰. باریکه های برخورد کننده $e^+ - e^-$

صفحه	عنوان
۲۰۲	مراجع
۲۰۵	۱۵ مؤخره
۲۰۵	مراجع
۲۰۷	پیوست الف
۲۰۷	مختصری از نسیت خاص
۲۰۷	الف. ۱ مقدمه
۲۰۸	الف. ۲ چاربردار
۲۱۰	الف. ۳ تبدیل بین چارچوب آزمایشگاه و چارچوب مرکز جرم
۲۱۶	الف. ۴ اتساع زمان
۲۱۷	مراجع
۲۱۸	پیوست ب
۲۱۸	مکانیک کوانتومی
۲۱۸	ب. ۱ مقدمه
۲۱۹	ب. ۲ حالتها و عملگرها
۲۲۲	ب. ۳ تکانه زاویه‌ای
۲۲۳	ب. ۴ جمع تکانه‌های زاویه‌ای
۲۲۵	مراجع
۲۲۷	پیوست ج
۲۲۷	ج. ۱ طول عمر
۲۲۸	ج. ۲ سطح مقطع
۳۲۹	مراجع
۲۳۰	پیوست د



صفحه	عنوان
۲۳۰	اصل توازن تفصیلی
۲۳۲	پیوست هـ
۲۳۲	تشدید در نوسانگر کلاسیک
۲۳۷	پیوست و
۲۳۷	روشهای تجربی در فیزیک انرژی بالا
۲۳۷	و. ۱. مقدمه
۲۳۷	و. ۲. شتابدهنده‌های ذرات
۲۳۸	و. ۳. حلقه‌های انبارنده مقاطع
۲۴۱	و. ۴. آشکارسازهای ذرات
۲۴۲	و. ۵. اتاقک حباب
۲۴۶	و. ۶. اتاقک چرکه
۲۴۷	مراجع
۲۵۰	پیوست ز
۲۵۰	فهرست ذرات
۲۵۸	پیوست ح
۲۵۸	تابتهای فیزیکی
۲۶۰	پیوست ط
۲۶۰	جواب تمرینهای زوج
۲۶۹	فهرست راهنما

## پیشگفتار

این کتاب در اصل، برای دانشجویان فیزیکی نوشته شده است که رشته تخصصی آنها فیزیک ذرات نیست، و عمداً کوشش در تأکید بر مباحثی از فیزیک ذرات است که در کنار برد اصول با سایر شاخه‌ها اشتراك داشته باشد و یا در شاخه‌های دیگر فیزیک احتمالاً مفید باشد. با وجود این، برای دانشجویان علاقه‌مند به مطالعه بیشتر فیزیک ذرات پیشنهادهایی ارائه شده است، و امید می‌رود که این کتاب سرآغاز مناسبی برای مطالعه کتابهای درسی پیشرفته فیزیک ذرات باشد.

این کتاب در طی تدریس واحدهایی که برای دانشجویان سالهای سوم و چهارم دوره کارشناسی ارائه شده، گردآوری شده است. فصلهای نهایی کتاب حاوی مطالب ارائه شده در سمینارهای مختلف است. نتیجه‌ای از این تنوع منابع کتاب، مشکلتر شدن مطالب به موازات پیشرفت در متن درس اصلی است.

برای اینکه خوانندگان با آمادگیهای مختلف بتوانند از این کتاب استفاده کنند، بعضی از مواد لازم در پیوستها قرار داده شده است. بخشی از پیوستها شامل مطالبی است که به طور معمول انتظار می‌رود دانشجویان بدانند ولی غالباً نمی‌دانند. سایر مطالب مرجع نیز در پیوستها قرار داده شده است.

تمرینهای موجود در آخر هر فصل را باید به عنوان قسمتی اساسی از کتاب در نظر گرفت، زیرا که بعضی از مطالب در تمرینها بیشتر از متن اصلی مورد بررسی قرار گرفته‌اند. جواب تمرینهای زوج در آخر کتاب داده شده است.

در انتهای هر فصل فهرست چند منبع نیز ارائه شده است. منابع عمدتاً بر اساس مفید بودن احتمالی آنها برای دانشجویان انتخاب شده‌اند. سعی شده است که تعداد منابع در حد معقولی پایین نگه‌داشته شود تا فرصت بررسی بعضی از آنها برای دانشجویان فراهم آید.

در خاتمه از تمام همکاران و دانشجویان دانشگاه ملی استرالیا که به طرق مختلف در تهیه این کتاب همکاری کرده‌اند، قدردانی می‌کنم.

## ذرات آشنا

### ۱. مقدمه

از مطالعات فیزیک اتمی و فیزیک هسته‌ای انرژی پایین، مقدار قابل توجهی اطلاعات درباره تعدادی از ذرات بنیادی به دست آمده است. مطالعه ما در اینجا با مرور کوتاهی از خواص این ذرات آشنای فیزیک اتمی شروع می‌شود. بر طبق نظریه نسبیت خاص، که مختصراً در پیوست الف مرور شده است، هر ذره‌ای از رابطه انرژی - تکانه (اندازه حرکت) زیر تبعیت می‌کند

$$E^2 = c^2(p^2 + M^2c^2) \quad (1.1)$$

که در آن  $M$  جرم ذره در حالت سکون،  $p$  تکانه (اندازه حرکت) و  $E$  انرژی کل ذره است. برای یک ذره در حال سکون رابطه (۱.۱) به صورت زیر درمی‌آید

$$E = Mc^2 \quad (2.1)$$

### ۲. فوتون

۱. مطالعات پلانک در مورد تابش جسم سیاه نشان داد که نوری با بسامد  $\nu$  از کوانتومهایی به نام فوتون تشکیل می‌شود که انرژی هر یک از آنها چنین است

$$E = h\nu \quad (1.2)$$

معادله (۱.۲) توسط اثر فوتوالکتریک نیز تأیید شد. با استفاده از رابطه بین انرژی و

تکانه تابش الکترومغناطیسی، تکانه فوتون را می‌توان به صورت زیر نوشت

$$p = E/c = hv/c \quad (۲.۲)$$

معادله (۲.۲) در مطالعه پراکندگی کامپتونى يك فوتون توسط الکترونى آزاد به طور تجربى مورد تأیید قرار گرفت.

از معادله (۲.۲) می‌توان نتیجه گرفت که

$$E^2 = c^2 p^2 \quad (۳.۲)$$

و بنابراین فوتون دارای جرم در حال سکون صفر است.

خواص دیگر فوتون را که از فیزیک اتمى به دست آمده است، می‌توان به شرح زیر

بیان کرد.

۲. هر تعداد دلخواهی از فوتونها را می‌توان خلق و یا نابود کرد، چنان که به عنوان مثال، در تابش ترمزى وقتى که ذره‌ای بساردار در نتیجه برخورد بسا يك هدف شتابدار می‌شود، فوتون به وجود می‌آید.

۳. تحلیل تابش جسم سیاه نشان می‌دهد که فوتونها از آمار بوز - اینشتین تبعیت می‌کنند، یعنی بوزون شمرده می‌شوند. هر تعداد دلخواهی از فوتونها ممکن است در يك حالت معین قرار بگیرند و تابع موج مجموعه‌ای از فوتونها باید نسبت به تمویض هر دو فوتونى متقارن باشد.

۴. فوتون دارای اسپین ۱ است. (به بیسانی دقیقتر مربع تکانه زاویه‌ای فوتون دارای مقدار زیر است

$$\sqrt{2} \hbar^2 = 1(1+1)\hbar^2$$

برای آسانی کار به هر ذره‌ای که مربع تکانه زاویه‌ای آن به صورت زیر باشد

$$s(s+1)\hbar^2$$

اسپین  $s$  نسبت می‌دهند.)

اسپین فوتون دارای دو حالت  $m_s = \pm 1$  است. در صورتی که محور  $z$  همجهت بسا حرکت فوتون اختیار شود، مؤلفه  $z$  تکانه زاویه‌ای فوتون خواهد بود. این دو حالت اسپین متناظر با دو نوع نور با قطبش دایره‌ای است. برای اسپین فوتون حالت  $m_s = 0$  وجود ندارد.

نتیجه معمولی حاصل از طیف نمایی اتمى مبنی بر وجود  $(2s+1)$  حالت برای اسپین  $s$  فقط در مورد ذره‌ای صادق است که بتوان برای آن چارچوب مرجعی پیدا کرد که ذره نسبت بدان در حال سکون قرار گیرد، و بنابراین، این نتیجه فقط برای ذراتی که جرم سکون غیر صفر دارند صادق است. برای فوتون که بسا سرعت نور  $c$  در تمام

چارچوبهای مرجع حرکت می کند هیچ چارچوب سکونی نمی توان پیدا کرد.

### ۳. الکترون

۱. الکترون، که با علامت  $e$  نشان داده می شود، اولین ذره بنیادی بود که کشف شد. این ذره بار منفی برابر با  $e = 1.6022 \times 10^{-19} \text{C}$  و جرمی برابر با

$$M_e = 9.1096 \times 10^{-31} \text{kg}$$

دارد. با استفاده از انرژی سکون  $Mc^2$  به جای جرم  $M$ ، جرم ذرات را می توان برحسب یکاهای انرژی بیان کرد. بر این اساس جرم سکون یک ذره را اغلب برحسب MeV (میلیون الکترون ولت) بیان می کنند (بدیوست ح مراجعه کنید). جرم سکون الکترون برابر است با

$$M_e = 0.511 \text{MeV}$$

۲. مطالعه طیفهای اتمی نشان می دهد که الکترون دارای دو حالت اسپین است. الکترون جرم سکون غیر صفر دارد، و باید تعداد حالتها اسپین آن  $2s + 1$  باشد، که در آن  $s$  اسپین الکترون است. بدین ترتیب اسپین الکترون چنین است

$$s = \frac{1}{2}$$

۳. الکترونها از آمار فرمی - دیراک تبعیت می کنند، یعنی فرمیون شمرده می شوند. تابع موج مجموعه ای از الکترونها نسبت به تعویض هر دو الکترونی پاد متقارن است. و بنابراین در هر حالت معینی حداکثر یک الکترون ممکن است قرار بگیرد - اصل طرد پاولی. اصل طرد پاولی را می توان به طریق زیر توضیح داد. سیستمی مرکب از دو الکترون (بدون برهم کشش) را در نظر بگیریم، به طوری که یکی از الکترونها در حالتی با تابع موج  $\psi$  و دیگری در حالتی با تابع موج  $\phi$  باشد. در این صورت تابع موج کل سیستم  $\Psi$ ، که باید نسبت به تعویض الکترونها ۱ و ۲ پاد متقارن باشد، چنین خواهد بود

$$\Psi(1,2) = \psi(1)\phi(2) - \phi(1)\psi(2)$$

که در آن ۱ و ۲ به ترتیب بیان کننده تمام مختصات (از جمله اسپین) الکترونها ۱ و ۲ است. می بینیم که اگر  $\phi = \psi$  باشد، خواهیم داشت

$$\Psi = 0$$

یعنی حالت این دو الکترون نمی تواند یکسان باشد.

۴. بار الکتریکی یک کمیت پایسته است، و بنابراین خلق و یا نابودی الکترونها

دلخواه نیست. چنان که در بخشهای بعدی بسا جزئیات بیشتری خواهیم دید، خلق و بسا نابودی يك الکترون همیشه با خلق یا نابودی ذره یا ذرات دیگری همراه است

#### ۴. پروتون

۱. پروتون، که با علامت  $p$  نشان داده می‌شود، و هسته اتم هیدروژن را تشکیل می‌دهد، دارای بار الکتریکی  $e+$  و جرمی برابر با مقدار زیر است

$$M_p = 938.27 \text{ MeV}$$

۲. مطالعه هیدروژن مولکولی نشان می‌دهد که دو پروتون موجود در مولکول هیدروژن ممکن است با دو آرایش مختلف نسبت به هم قرار گیرند. اسپینهای دو پروتون ممکن است مانند مورد (مولکول) هیدروژن اورتو به صورت موازی یا یکدیگر، و بسا مانند مورد (مولکول) هیدروژن پارا به طور پاد موازی با یکدیگر قرار گیرند. اسپین هر پروتون نسبت به اسپین پروتون دیگر می‌تواند یکی از دو جهت ممکن را انتخاب کند، بنابراین پروتون هم مانند الکترون دارای اسپین  $1/2$  است.

۳. از آنجا که در هیدروژن اورتو جهت اسپینهای دو پروتون یکی است تابع موج نسبت به تعویض اسپینها متقارن است، و آزمایش نشان داده است که تابع موج نسبت به تعویض مختصات فضایی دو پروتون پاد متقارن است؛ بنابراین تابع موج نسبت به تعویض کامل دو پروتون پاد متقارن خواهد بود. در هیدروژن پارا هم تابع موج نسبت به تعویض کامل دو پروتون پاد متقارن است، زیرا تابع موج نسبت به تعویض اسپینهای دو پروتون پاد متقارن، ولی نسبت به تعویض مختصات فضایی آنها متقارن است.

بنابراین پروتونها از آمار فرمی-دیراک تبعیت می‌کنند، یعنی فرمیون هستند، و اصل طرد پائولی در مورد آنها صادق است، یعنی در هر حالت معینی حداکثر يك پروتون می‌تواند قرار گیرد.

#### ۵. نوترون

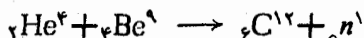
نوترون، که با علامت  $n$  نشان داده می‌شود، دارای جرم زیر است

$$M_n = 939.56 \text{ MeV}$$

در سال ۱۹۳۵ بکر و بته در آزمایش بمباران بریلیم توسط ذرات آلفا ( $\alpha$ ) تابشی با قدرت نفوذ زیاد کشف کردند که فکر می‌شد تابش نافذ پرتو گاما ( $\gamma$ ) باشد. در سال ۱۹۳۲ دو دانشمند دیگر به نامهای آی. ژولیت-کوری و جی. اف. ژولیت-کوری دریافتند که این تابش قادر است از ماده‌ای که سرشار از هیدروژن باشد، پروتون خارج کند. بنا بر

پیشنهاد آنها این عمل ناشی از پراکندگی کامپتون است، بدین معنی که پروتونها در اثر پراکندگی تابش  $\gamma$  پس زده می شوند. اما این توضیح نیازمند آن بوده که تابش نفوذکننده از پرتوهای گامایی با انرژیهای فوق العاده زیاد تشکیل شده باشد، بدون اینکه بتواند توضیح دهد که این انرژی فوق العاده زیاد از کجا آمده است.

در همان سال ۱۹۳۲ دانشمند دیگری به نام چادویک نشان داد که پروتونهای پس رونده توسط ذرات خنثایی با جرم تقریباً برابر با جرم پروتون مورد اصابت قرار گرفته اند. او این ذرات خنثی را نوترون نام گذاشت. واکنشی که بسا بمباران بریلیوم توسط ذرات  $\alpha$  رخ می دهد، به صورت زیر است



وجود نوترون برای توضیح مشاهدات طیف مولکولی هم لازم بود. این مشاهدات نشان می داد که، به عنوان مثال، تابع موج مولکول نیتروژن نسبت به تعویض دو هسته  ${}^{14}\text{N}$  متقارن است و در نتیجه هسته  ${}^{14}\text{N}$  بوزون است. این موضوع بسا فرض اینکه هسته  ${}^{14}\text{N}$  فقط از پروتون و الکترون تشکیل شده باشد، قایل توجیه نبود. زیرا در این صورت هسته نیتروژن می بایست از ۱۴ پروتون و ۷ الکترون تشکیل می شد، و این بدان معنی بود که هسته نیتروژن در مجموع تعداد فردی از فرمیونها را در خود دارد. سیستم متشکل از تعداد فردی از فرمیونها خودش یک فرمion است؛ زیرا که تعویض دو سیستم از این نوع را می توان با تعویض فرمیونهای تشکیل دهنده آنها صورت داد، و تعویض هر دو فرمion علامت تابع موج کل را تغییر می دهد. بدین ترتیب، همچنین دیده می شود که هر سیستم متشکل از تعداد زوجی فرمion، یک بوزون خواهد بود. بنابراین، با فرض فرمion بودن نوترون، هسته  ${}^{14}\text{N}$  اگر متشکل از ۷ پروتون و ۷ نوترون باشد، بوزون محسوب خواهد شد.

از مطالعات فیزیک هسته ای معلوم شده است که نوترونها از اصل طرد پائولی تبعیت می کنند و بنابراین فرمion هستند، و همچنین اسپین  $1/2$  دارند.

باید توجه کرد که ذرات بسا اسپین نیمه درست  $(2n+1)/2$  فرمion، و ذرات با اسپین درست  $(n)$  بوزون هستند (گاموف، ۱۹۵۹). چون پروتون و نوترون در موارد متعددی خواص مشابه دارند، جهت آسانی کسار از اصطلاح نوکلئون برای مشخص کردن نوترون یا پروتون استفاده می شود. این جنبه از خواص نوترون و پروتون را بسا تفصیل بیشتری در بخشهای ۱۷ و ۱۸ مورد بحث قرار خواهیم داد.

ذرات فوتون، الکترون، پروتون و نوترون که در بسالا درباره آنها صحبت شد، برای تمام مطالعات فیزیک اتمی و مولکولی کفایت می کنند. برای توصیف فیزیک هسته ای معرفی چند ذره دیگر ضروری است، گو آنکه این توصیف تسا کامل شدن فاصله زیادی دارد، چون شناخت ما از نیروهای هسته ای در مقایسه با دانش ما از نیروهای موجود در فیزیک اتمی و مولکولی بسیار محدودتر است. سرانجام، در مطالعات فیزیک انرژیهای

بالا، با مجموعه ظاهراً بی‌انتهایی از ذرات روبه‌رو خواهیم شد. ممکن است گفته شود که داشتن شناختی از ذرات فیزیک انرژیهای بالا عملی فرعی و لازم است، و اینکه به کمک ذرات آشنای فیزیک اتمی و مولکولی می‌توان شناخت کافی از محیطمان به دست آوریم. اما باید به خاطر داشت که ما هنوز نیروهای هسته‌ای را نمی‌شناسیم و بنا بر این واقعاً نمی‌فهمیم چرا محیط اطراف ما، به جای آنکه صرفاً ابرهایی از هیدروژن باشد، این چنین هست که هست. در اخترشناسی و کیهان‌شناسی هنوز مسائل حل نشده زیادی وجود دارد که ماهیت اخترشوها از آن جمله است - اخترشوها منابع عجیب و سرشار انرژی هستند و آنچنان کوچک به نظر می‌رسند که درک چگونگی پیدایی انرژی عظیم آنها دشوار است. احتمال زیادی وجود دارد که دانش حاصل از ذرات بنیادی در فیزیک انرژیهای بالا بتواند در شناخت و حل مسائل اخترشناسی و کیهان‌شناسی مفید افتد. فیزیک ذرات بنیادی یک قسمت اساسی از علوم جدید است که پیامدهای مهمی برای دیگر قسمتهای علوم در بردارد.

## ۶. قوانین پایستگی و اصول ناوردایی

در مکانیک کلاسیک، قوانین بقا تقریباً با تأخیر عرضه می‌شوند. هم از لحاظ مسیر تاریخی و هم از نظر مسیری که معمولاً توسط دانشجویان طی می‌شود، ابتدا معادلات حرکت طرح می‌شوند، سپس قوانین بقای تکانه و بقای انرژی مکانیکی از معادلات حرکت به دست می‌آیند. بعد از این مرحله، قوانین پایستگی بسط پیدا می‌کنند، و به عنوان مثال قانون پایستگی انرژی چنان بسط پیدا می‌کند که انرژی شیمیایی و انرژی الکتریکی را هم در برمی‌گیرد. به هر حال قوانین پایستگی در کاربردهای عملی فوق‌العاده مفید هستند، به طوری که ما را قادر می‌سازند که در مورد سیستم‌های پیچیده، حتی وقتی که جزئیات معادلات حرکت آنها را نمی‌دانیم، اطلاعات مفیدی به دست آوریم. به عنوان نمونه، ارائه توصیفی کامل از برخورد دو اتم میل بسیار پیچیده است، ولی می‌دانیم که در چنین برخوردی تکانه کل پایسته است. همچنین در مورد برخورد ذرات، با وجود ناآگاهی از جزئیات برهم‌کنش، می‌دانیم که انرژی، تکانه و تکانه زاویه‌ای در برخورد پایستگی دارند.

در فیزیک انرژیهای بالا، که معادلات حرکت در آن هنوز ناشناخته‌اند، قوانین پایستگی (بقا) از اهمیت زیادی برخوردارند. قوانین پایستگی مکانیک کلاسیک، یعنی پایستگی انرژی، تکانه و تکانه زاویه‌ای، در مکانیک کوانتومی هم صادق‌اند. همچنان که بعداً خواهیم دید در مکانیک کوانتومی قوانین پایستگی دیگری نیز وجود دارند.

جنبه مهم دیگر قوانین پایستگی ارتباط آنها با اصول ناوردایی یا اصول تقسارن است. بنا بر اصل ناوردایی، قوانین فیزیک تحت تغییر شرایط معینی تغییر نایافته می‌مانند (ناوردا هستند). یادرمورد یک سیستم معین، خاصیت ناوردایی یا خاصیت تقارن سیستم عبارت است از عملی که می‌توان بر روی سیستم صورت داد بدون اینکه فیزیک سیستم را تغییر دهد.



به عنوان مثال، قوانین فیزیک تحت انتقالهای فضایی ناورد هستند. آزمایشی که در لندن انجام می شود باید به همان نتایجی برسد که آن آزمایش در نیویورک به دست می دهد. قوانین فیزیک تحت انتقالهای زمانی نیز ناورد هستند؛ آزمایشی که امروز صورت می گیرد باید همان نتایجی را بدهد که این آزمایش یک سال پیش داده است.

هم در مکانیک کلاسیک (لانداؤ و لیفشیتز، ۱۹۶۹) و هم در مکانیک کوانتومی (فاینمن، ۱۹۶۵) اصول ناوردایی به قوانین پایستگی منجر می شوند. برای نمونه ناوردایی تحت انتقالهای فضایی به قانون پایستگی تکانه، ناوردایی تحت انتقالهای زمانی به قانون پایستگی انرژی، و ناوردایی تحت دوران به قانون پایستگی تکانه زاویه ای منجر می شود. قسمت وسیعی از مطالعات ذرات بنیادی جستجو برای یافتن تقارنهای بیشتر یا تقارنهای تقریبی بیشتر بوده است.

مطالب ارائه شده در اینجا درباره تکامل تاریخی فیزیک ذرات بنیادی ناچار خیلی مختصر است. برای اطلاعات بیشتری در این زمینه می توانید به کتاب بروس و موتز (۱۹۶۶)، که در آن منتخبی از مقالات مهم مربوط به تکامل فیزیک ذرات بنیادی، همراه تفسیر آمده است، مراجعه کنید.

## تمرین

۱. دلایل اثبات و رد فرضیه تشکیل هسته اتم از پروتونها و الکترونها را نام ببرید.
۲. طول موج دوبروی الکترونی با انرژی جنبشی (الف) الکترون ولت، (ب) برابر با انرژی جرم سکون الکترون، و یا (ج) ۱۰۰ مگا الکترون ولت را به دست آورید.
۳. طول موج دوبروی پروتونی با انرژی جنبشی (الف) ۱۰ الکترون ولت، (ب) برابر با انرژی جرم سکون پروتون، و یا (ج) ۱۰۰ مگا الکترون ولت را به دست آورید.
۴. انرژی جنبشی (الف) یک پروتون، (ب) یک الکترون، چقدر باید باشد تا بتواند سرعتی برابر با نصف سرعت نور داشته باشد؟
۵. برای بررسی ساختار هسته اتم، طول موج ذره کاوش کننده باید کوچکتر از قطر هسته مورد نظر باشد. شعاع هسته ای با عدد جرمی  $A$  برابر است با

$$r = 1.2 \times 10^{-13} \times A^{1/3} \text{ cm}$$

بنابر این معیار تقریبی این است که طول موج ذره بررسی کننده باید کوچکتر از  $10^{-12}$  سانتیمتر باشد. در این صورت انرژی (الف) یک فوتون یا، (ب) یک الکترون و یا (ج) یک پروتون با طول موج  $10^{-12}$  سانتیمتر را حساب کنید.

## مراجع

1966. Basic Books, New York.

Feynman, R. P., R. B. Leighton and M. Sands, *Quantum Mechanics*, Vol. III of *The Feynman Lectures on Physics*, 1965. Addison Wesley. Reading, Mass. Chapter 17.

Gamow, G., 'The exclusion principle', *Sci. Am*, July 1959. (Also available as reprint 264, Freeman, San Francisco.)

Landau, L. D. and E. M. Lifshits, *Mechanics*, Vol. I of *Course of Theoretical Physics*, 2nd edition, 1969. Pergamon, Oxford.

## ذرات دیگر

## ۷. پاد ذره

دیراک در سال ۱۹۲۸ موفق به کشف يك معادله موج نسبی برای ذره‌ای با اسپین ۱/۲ شد، که امروزه به معادله دیراک معروف است. او نشان داد که معادله دیراک توصیف خوبی از الکترون به دست می‌دهد. به عنوان مثال ساختار ریز طیف اتم هیدروژن اگر با استفاده از معادله دیراک محاسبه شود، با نتایج آزمایش به خوبی در توافق است.

اما مشکلاتی هم وجود دارند، زیرا معادله دیراک دارای جوابهایی با انرژی منفی است. برای يك ذره آزاد، جوابهایی با انرژیهای زیر وجود دارند

$$E = \pm c(p^2 + M^2 c^2)^{1/2} \quad (1.7)$$

معادله (۱.۷) به طور کلاسیک هم صادق است، اما از نقطه نظر کلاسیک این مشکلی را ایجاد نمی‌کند، زیرا انرژیها به طور پیوسته تغییر می‌کنند، و بدین ترتیب  $E$  نمی‌تواند از مقداری مثبت به مقداری منفی، به علت گسستگی که بین  $+Mc^2$  و  $-Mc^2$  وجود دارد، تغییر یابد. در مکانیک کوانتومی انتقال بین حالاتی با اختلاف انرژی محدود می‌تواند صورت گیرد، و بنابراین گذار از حالتی با انرژی مثبت به حالتی با انرژی منفی کاملاً امکان پذیر است.

دیراک به منظور اینکه از انتقال الکترونی با انرژی مثبت به حالتی با انرژی منفی جلوگیری کند، فرض کرد که تمام حالتی با انرژی منفی، بنسب بر اصل طرد پاولی با داشتن يك الکترون در هر حالت پر شده‌اند. او همچنین فرض کرد که حالتی پر با انرژی منفی را نمی‌توان مشاهده کرد. بنابراین از آنجا که تمام حالتی با انرژی منفی پر هستند، الکترون با انرژی مثبت نمی‌تواند به حالتی با انرژی منفی انتقال یابد، و بنابراین اصل طرد

باولی در هر حالت حداکثر می تواند يك الكترون وجود داشته باشد. اما يك الكترون که حالتی با انرژی منفی را اشغال کرده، می تواند بد حالتی با انرژی مثبت انتقال یابد مشروط بر اینکه انرژی کسافی برای این تحول، مثلاً توسط فوتونی پراثری، تأمین شود. اکنون حالت انرژی منفی اشغال نشده می تواند به صورت «حفره» ای در «دریای» الکترونهاي انرژی منفی عمل کند. این حفره شبیه ذره باردار مثبتی با همان جرم الکترون و با انرژی مثبت عمل می کند. این ذره پوزیترون نامیده می شود. چون در این توصیف پوزیترون متناظر با عدم وجود يك الكترون است، آن را پاد ذره الکترون یا به طور مختصر پاد الکترون نیز می نامند. علائم  $e^-$  و  $e^+$  به ترتیب برای مشخص کردن الکترون و پوزیترون به کار می روند.

در سال ۱۹۳۱ آندرسون در آزمایشی روی پرتو کیهانی موفق به کشف پوزیترون شد.

پس از جذب فوتونی توسط يك الكترون در حالتی با انرژی منفی و انتقال آن به حالتی با انرژی مثبت، يك الكترون با انرژی مثبت و يك پوزیترون با انرژی مثبت تولید می شود، که این دومی متناظر با حالت اشغال نشده الکترون بسا انرژی منفی است (شکل ۱۰۷). بدین ترتیب يك فوتون به يك زوج الکترون - پوزیترون تبدیل شده است. این فرایند را تولید زوج بسا آفرینش زوج می نامند. برای تحقق پذیرفتن این عمل، فوتون باید حداقل انرژی کافی برای تهیه انرژی در حال سکون الکترون و پوزیترون را داشته باشد، یعنی

$$2Mc^2 = 1.022 \text{ MeV}$$

بنسب این تولید زوج الکترون - پوزیترون دارای انرژی آستانه ای برابر ۱.۰۲۲ مگا - الکترون ولت است.

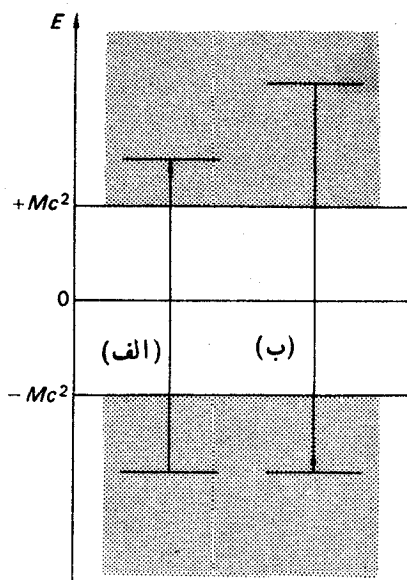
تولید زوج نمی تواند در فضای آزاد (خالی) صورت گیرد، زیرا تبدیل يك فوتون به يك زوج ذره نمی تواند قانون پایستگی انرژی و تکانه کل را با هم حفظ کند (تمرین ۱). بنابراین ذرات دیگری هم باید حضور داشته باشند تا بتوانند آن مقدار تکانه و انرژی را که برای حفظ پایستگی انرژی و تکانه لازم است، با خود حمل کنند. متداولترین تولید زوج مشاهده شده، تولید در حضور هسته اتم است، که این هسته می تواند انرژی و تکانه لازم را، در نتیجه بر هم کنش میدان کولنی اش با هر يك از اعضای زوج، بسا خود حمل کند. به علت سنگینی فوق العاده هسته در مقابل الکترون، انرژی آستانه تولید زوج را می توان بسا صرف نظر کردن از انرژی انتقالی به هسته حساب کرد. تولید زوج توسط فوتون همچنین می تواند در حضور يك الكترون دیگر رخ دهد (تمرین ۲). تولید زوج در نتیجه برخورد ذرات باردار با انرژی کافی نیز امکان پذیر است (تمرین ۳).

اگر یکی از حالت های انرژی منفی الکترون پر نشده باشد، این امر متناظر با وجود يك پوزیترون می شود که، در این صورت يك الكترون بسا انرژی مثبت بسا گسیل تابش الکترومغناطیسی به شکل فوتون می تواند به حالت با انرژی منفی انتقال یابد. بدین ترتیب

يك الكترون و يك پوزيتون دارای انرژی مثبت ناپدید و به جای آنها فوتوهایایی تولید می شوند. انتقال يك الكترون با انرژی مثبت به حالتی بسا انرژی منفی نمایشگر نابودی يك زوج الكترون - پوزیترون است (شکل ۱۰۷). بسا بودی زوج، به علت پایستگی انرژی و تکانه نمی تواند با گسیل تنها يك فوتون صورت گیرد، و در این عمل حداقل بساید دو فوتون گسیل شود.

معادله دیراک، يك الكترون تنها را توصیف می کند. اما برای تفسیر جوابهای انرژی منفی معادله دیراک، يك دریای غیر قابل مشاهده از تعداد بی شماری الكترونها ی انرژی منفی معرفی شده، که موضوع را اساساً به يك نظریه چند ذره ای تبدیل کرده است. بنا بر این معادله دیراک فقط در ناحیه محدودی قابلیت کاربرد دارد، نتایج این نظریه فقط وقتی دقیق خواهد بود که امکان آفرینش و نابودی ذرات بی اهمیت باشد. نظریه کلیتری که هر تعدادی از پوزیترون و الكترون را در بر هم کنش بسا میدان الکترومغناطیسی توصیف می کند، به نظریه الکترودینامیک کوانتومی مشهور است.

چون پرتوونها و نوترونها اسپین ۱/۲ دارند و توسط معادله دیراک توصیف



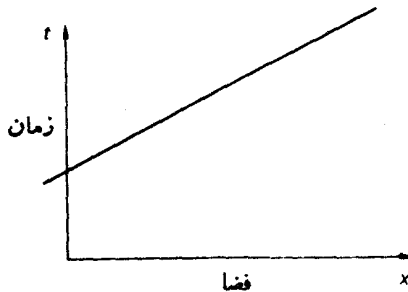
شکل ۱۰۷ دو ناحیه سایه دار ترازهای انرژی خیلی نزدیک به هم الكترون دیراک را نمایش می دهند. (الف) آفرینش زوج الكترون - پوزیترون. (ب) نابودی زوج الكترون - پوزیترون.

می شوند، انتظار پیدا کردن پاد پروتون و پاد نوترون را هم می توان داشت. در سال ۱۹۵۵ سگره و همکارانش در برکلی توانستند پاد پروتون را با استفاده از پرتوی از پروتونهای با انرژی جنبشی ۶۲ جیگا الکترون ولت، که از شتاب دهنده بواترون در دانشگاه کالیفرنیا حاصل می شد، تولید کنند (سگره، ۱۹۵۶). دو سال بعد هم پاد نوترون کشف شد. پاد ذره را عموماً با گذاشتن يك پاره خط روی علامت ذره نشان می دهند، مثلاً علامت  $\bar{p}$  معرف پاد پروتون و  $\bar{n}$  معرف پاد نوترون است.

## ۸. نمودار فاینمن

فاینمن در سال ۱۹۴۹ در بحثهای مربوط به الکترو دینامیک کوانتومی، ایده نمایش ذرات بنیادی توسط شکلهای فضا-زمانی را، که به نمودارهای فاینمن مشهورند، به کار گرفت. چنین نمودارهایی برای نمایش فرایندهایی که در فیزیک ذرات بنیادی صورت می گیرند، سودمند هستند.

ذرات در فضای چهار بعدی فضا-زمان حرکت می کنند، ولی از آنجایی که ترسیم نمودارهای دو بعدی خیلی راحت تر است، سه مختصه فضایی را توسط يك مختصه فضایی  $x$  نمایش می دهند. هر ذره متناظر با يك خط در شکل فضا-زمان، به نام خط جهانی است. به عنوان مثال، خط جهانی يك الکترون آزاد خطی مستقیم است. همان طور که در نمودار فاینمن شکل ۱۰۸ نشان داده شده است، این خط متناظر با حرکت الکترونی با سرعت یکنواخت است. اگر نمودار فاینمن را از طریق شکافی افقی نظاره کنیم، فضایی يك بعدی در زمانی خاص را خواهیم دید. چنین شکافی را شکاف زمانی می نامیم. نقطه تلاقی خط جهانی الکترون با شکاف زمانی نمایشگر محل الکترون است. اگر شکاف به طور یکنواختی به طرف بالای صفحه حرکت کند، می بینیم که مکان الکترون با زمان به طور یکنواخت تغییر می کند.

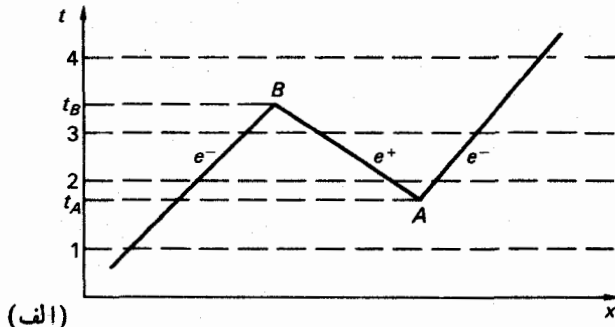


شکل ۱۰۸ خط جهانی يك ذره آزاد.

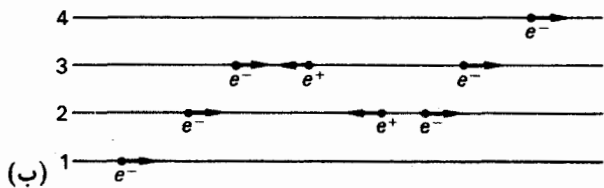
حال آفرینش يك زوج الکترون-پوزیترون را در نظر می گیریم، به طوری که پوزیترون پس از مدت زمانی با يك الکترون دیگر، آنچنان که در شکل ۲۰۸ نشان داده

شده است، ناپود شود. اگر نمودار را از طریق يك شكاف زمانی متحرك تماشا کنیم، در ابتدا يك الکترون تنها می بینیم. بعداً می بینیم که در  $A$  يك پوزیترون و يك الکترون اضافی آفریده می شوند. در  $B$  پوزیترون و الکترون اولیه یکدیگر را نابود می کنند. سرانجام الکترون باقی مانده را می بینیم که به حرکتش با سرعت یکنواخت ادامه می دهد.

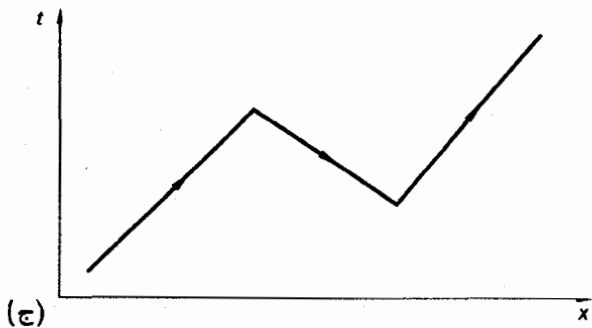
قبل از  $t_A$  يك خط جهانی وجود دارد؛ در فاصله  $t_A$  و  $t_B$  سه خط جهانی وجود دارند؛ و بعد از  $t_B$  دوباره فقط يك خط جهانی وجود دارد. با این حال، فقط يك خط زیگزاکی پیوسته وجود دارد که قسمت مربوط به پوزیترون آن از نقطه نظر زمانی به طرف عقب برمی گردد. فاینمن این وضع را



(الف)



(ب)



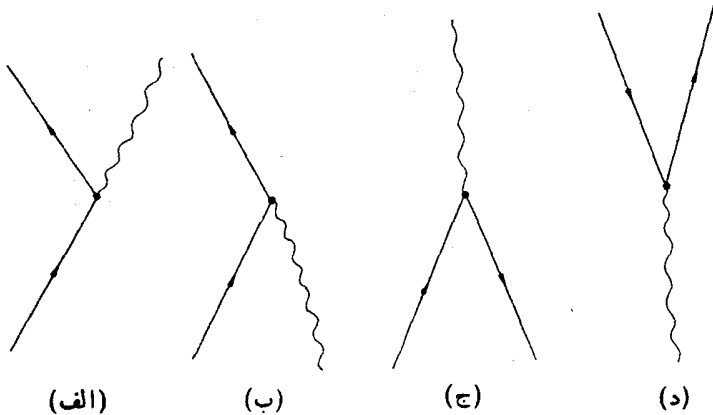
(ج)

**شکل ۲۰۸** (الف) نمودار تولید يك زوج الکترون - پوزیترون در  $A$  و به دنبال آن نابودی پوزیترون با الکترونی دیگر در  $B$ . (ب) همان حوادث از دید يك شكاف زمانی در وضعیتهای متوالی ۱، ۲، ۳، و ۴ بر طبق آنچه در شکل الف نموده شده است. (ج) نمودار نهایی فاینمن برای فرایند مورد نظر به صورت يك خط زیگزاکی پیوسته.

به پرواز خلبانی تشبیه کرد که در ارتفاع پایین در بالای جاده‌ای در حال پرواز ناگهان سه جاده می‌بیند، و فقط وقتی که می‌بیند دو تا از این جاده‌ها یکی شده و ناپدید می‌شوند، پی می‌برد که بر فراز جاده‌ای با خمیدگی طولانی S مانند‌ی در حال پرواز بوده است. به منظور تأکید بر یگانگی خط جهانی زیگزاکی، پیکانهایی بر روی هر قسمت گذاشته شده است. سوی پیکان در قسمت مربوط به الکترون از نظر زمانی به طرف جلو و در قسمت مربوط به پوزیترون از نظر زمانی به طرف عقب است.

به طور مشابه می‌توان برای دیگر فرمیون‌ها در نمودارهای فاینمن خطوط جهانی ترسیم کرد، به گونه‌ای که سوی پیکان در قسمت مربوط به ذره از نظر زمانی به طرف جلو و در قسمت مربوط به پاد ذره از نظر زمانی به طرف عقب باشد. خطوط فرمیون آغاز و پایان ندارند، یعنی فرمیون‌ها را نمی‌توان به دلخواه آفرید و یا نابود کرد، بلکه فقط به صورت زوج فرمیون - پاد فرمیون قابل آفرینش یا نابودی اند.

در نمودار فاینمن یک فوتون توسط خط موجدار نمودار شده می‌شود. گسیل فوتون توسط الکترون در شکل ۳.۸ الف نشان داده شده است. در نمودارهای ب، ج، د همان شکل، به ترتیب جذب فوتون، نابودی زوج و بالاخره تولید زوج نموده شده است. می‌بینیم که فرایندهای مختلف فیزیکی توسط نمودارهای مشابهی نمایش داده می‌شوند. برای مثال نمودار مربوط به تولید زوج را می‌توان با چرخاندن قطعه‌های نمودار گسیل فوتون به دست آورد.

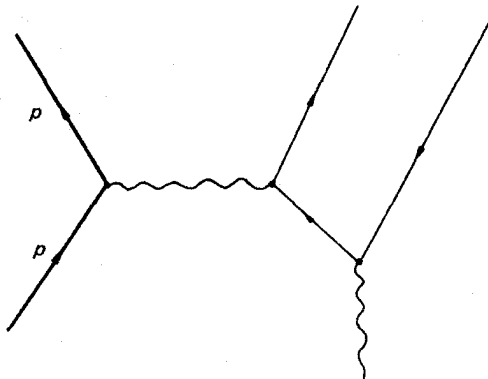


شکل ۳.۸ (الف) گسیل فوتون، (ب) جذب فوتون، (ج) نابودی زوج، (د) تولید زوج.

فرایندهای نموده شده در شکل ۳.۸ به خودی خود نمی‌توانند انرژی و تکانه را حفظ کنند، و فقط در حضور ذرات دیگر می‌توانند صورت بگیرند. این چنین فرایندهایی را فرایندهای مجازی می‌نامند. با مجموعه‌ای از نمودارهای مربوط به فرایندهای مجازی می‌توان نمودار بزرگی تشکیل داد به طوری که پایستگی انرژی و تکانه در کسل نمودار



رعایت شود. به عنوان مثال در شکل ۴.۸ نمودار فاینمن برای تولید زوج در میدان کولنی يك پروتون نشان داده شده است. در این شکل هر کدام از رأسها شبیه یکی از نمودارهای شکل ۳.۸ است و تشکیل شده از يك خط فوتون که به يك خط فرمیون منتهی می شود.

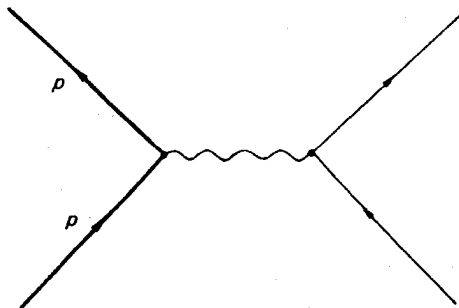


شکل ۴.۸ تولید زوج در میدان کولنی يك پروتون.

در مکانیک کوانتومی، به علت اصل عدم قطعیت هایزنبرگ، يك ذره نمی تواند موقعیت فضا-زمانی معین و همزمان با آن انرژی و تکانه معینی داشته باشد. هرچه تمرکز ذره در مکان-زمان بیشتر شود، عدم قطعیت در انرژی و تکانه بیشتر خواهد شد. بنابراین فرایندهای مجازی که انرژی و تکانه در آنها پایسته نمی ماند می توانند در فاصله زمانی و مکانی بسیار کوچکی که اصل عدم قطعیت هایزنبرگ اجازة می دهد، رخ دهند، به شرط آنکه این فرایندها توسط فرایندهایی که پایستگی انرژی و تکانه را برای تمام آنها تأمین می کنند، دنبال شوند.

يك مثال دیگر که در شکل ۵.۸ نموده شده، پراکندگی الکترون توسط يك پروتون

است.

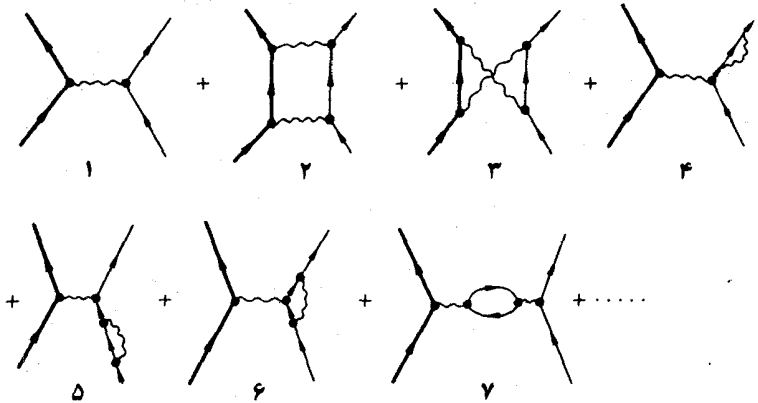


شکل ۵.۸ پراکندگی الکترون توسط پروتون.

به این نکته باید توجه شود که محل دقیق خطوط در نمودار فاینمن اهمیت ندارد، بلکه فقط توپولوژی نمودار است که اهمیت دارد. این بدان علت است که حرکت ذرات باید توسط مکانیک کوانتومی توصیف شود، که در آن ذرات مسیر معینی در فضا - زمان ندارند. فاینمن قواعدی را برای نوشتن دامنه احتمال کوانتوم مکانیکی متناظر با هر نمودار ارائه داد. در حالت کلی یک فرایند را می توان توسط نمودارهای مختلف فاینمن نمایش داد، که به عنوان مثال، پراکندگی الکترون- پروتون در شکل ۶.۸ نموده شده است. در این صورت دامنه احتمال حاصل جمع تمام دامنه های احتمال مربوط به هر نمودار است و احتمال وقوع یک برهم کنش با رابطه زیر داده می شود

$$|^2 \text{ دامنه احتمال} = \text{احتمال}$$

سهم هر نمودار  $n$  رأسی (در حالی که هر رأس از نوع نموده شده در شکل ۳.۸ باشد) در دامنه به اندازه عامل  $(e/\sqrt{\hbar c})^n$  است. از آنجا که  $1/137 \approx e^2/\hbar c$  عدد خیلی کوچکی است، انتظار داریم سهم نموداری که دارای پایینترین مرتبه است نقش غالب را در دامنه داشته باشد.

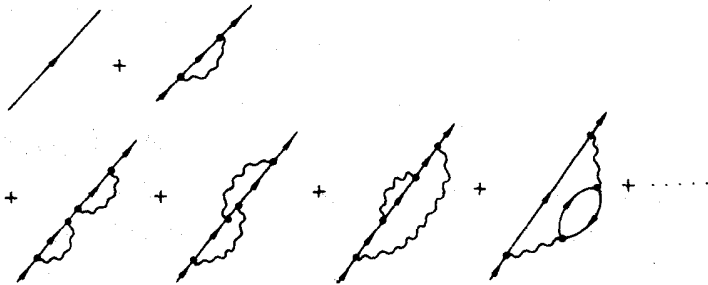


شکل ۶.۸ تعدادی از نمودارهای فاینمن مربوط به پراکندگی الکترون توسط پروتون.

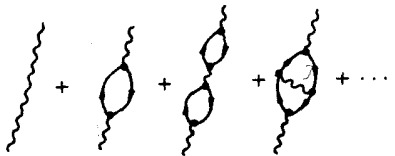
اما با استفاده از قواعد فاینمن، سهم نمودارهای (۴)، (۵)، (۶) و (۷) شکل ۶.۸ در دامنه احتمال بینهایت می شود. این بینهایتها ناشی از توصیف ناسازگار الکترون و فوتون است. برای الکترون آزاد نمودارهایی با مرتبه بالاتر، مطابق شکل ۷.۸، می توان ترسیم کرد. در این صورت الکترون از یک الکترون «لخت» به اضافه تمام برهم کنشهای مجازی با میدان الکترومغناطیسی، که متناظر با گسیل و جذب مجدد فوتونهای مجازی توسط الکترون می شود، تشکیل شده است. نمودارهایی با مرتبه بالاتر برای یک فوتون آزاد را، آنچنان که در شکل ۸.۸ نموده شده است، به طور مشابهی می توان ترسیم کرد. بدین ترتیب

توصیف الکترون و فوتون با عملی که در آن الکترون و فوتون را توسط يك خط تنها نمایش دادیم، ناسازگار است.

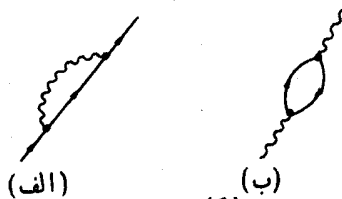
با تصحیح نظریه، به طوری که الکترون آزاد و فوتون آزاد به طرز صحیحی توصیف شوند (نظریه باز بهنجارش)، بینهایت‌های نمودار فاینمن از بین می‌روند، و تمام احتمالات را تا دقت مورد نظر می‌توان محاسبه کرد. بنابراین در ترسیم نمودارهای فاینمن، بخشهایی شبیه شکل ۹.۸ الف، به علت ناسازگاری با توصیف الکترون، باید حذف شوند و بخشهایی شبیه شکل ۹.۸ ب، هم به خاطر ناسازگاری با توصیف فوتون می‌باید حذف شوند. پایتترین مرتبه نمودارهای فاینمن برای پراکندگی الکترون-الکترون (معروف



شکل ۷.۸ نمودارهای فاینمن برای الکترون آزاد.



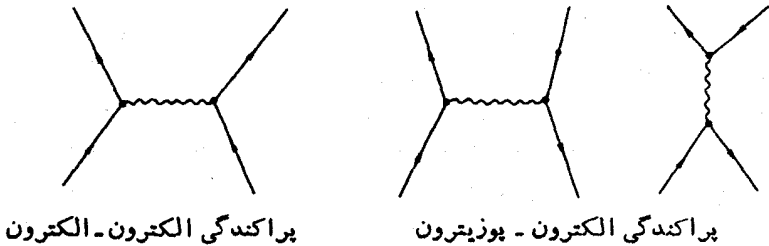
شکل ۸.۸ نمودارهای فاینمن برای فوتون آزاد.



شکل ۹.۸

۱. به این نکته توجه شود که در تعیین احتمال پراکندگی الکترون-الکترون از طریق دامنه احتمال، باید اثر غیر قابل تفکیک بودن دو الکترون را هم، آنچنان که مثلا از نمودار فاینمن شکل ۱۰.۸ الف برمی‌آید، در نظر گرفت. برای اطلاعات بیشتر به کتاب فاینمن (۱۹۶۵) فصلهای ۳ و ۴ مراجعه کنید.

به پراکندگی مولر) و پراکندگی الکترون-پوزیترون (معروف به پراکندگی بهایها) در شکل ۱۰.۸ نموده شده‌اند. نمونه‌های بیشتر در تمرینهای ۴ و ۷ در نظر گرفته شده‌اند.



پراکندگی الکترون-الکترون

پراکندگی الکترون-پوزیترون

شکل ۱۰.۸

### ۹. واپاشی بتا و نوترینو

جرم يك هسته با عدد جرمی  $A$  و عدد اتمی  $Z$  را بسا  $M_{A,Z}$  نشان می‌دهیم. این هسته نسبت به واپاشی  $\beta$ ، یعنی گسیل الکترون و یا پوزیترون، در صورتی ناپایدار خواهد بود که داشته باشیم

$$M_{A,Z} > M_{A,Z \pm 1} + M_e \quad (10.9)$$

که در آن  $M_e$  جرم الکترون است. توجه کنید که برای نوترون داریم

$$M_n > M_p + M_e \quad (20.9)$$

و بنا بر این نوترون نسبت به واپاشی  $\beta$  ناپایدار است.

با مطالعه تجربی واپاشی بتای هسته‌ها به نظر می‌رسد که انرژی واسپین در این گونه بر هم کنشها پایسته نمی‌مانند. باؤلی به منظور نجات قوانین پایستگی پیشنهاد کرد که در این واپاشیها ذره دیگری هم، به نام نوترینو (با نماد  $\nu$ ) با جرم در حال سکون صفر و اسپین  $1/2$  تولید می‌شود. لازمه وجود ذره‌ای با اسپین  $1/2$  وجود يك پسادزده است، که در این مورد آن را پاد نوترینو می‌نامند و با علامت  $\bar{\nu}$  مشخص می‌سازند.

واپاشی نوترون به صورت زیر است

$$n \rightarrow p + e^- + \bar{\nu} \quad (20.9)$$

نمونه‌ای از واپاشی (هسته‌ها به) پوزیترون عبارت است از

$${}_{15}\text{P}^{30} \rightarrow {}_{14}\text{Si}^{30} + e^+ + \nu \quad (40.9)$$

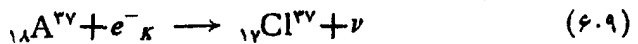
که می‌توان آن را به صورت واپاشی يك پروتون در داخل هسته در نظر گرفت

$$p \rightarrow n + e^+ + \nu \quad (5.9)$$

همراهی پاد نوترینو با گسیل الکترون، و نوترینو با گسیل پوزیترون، پایستگی فرمیون یا به بیان دقیقتر پایستگی تفاوت تعداد فرمیونها و پاد فرمیونها را در معادلات (۳.۹) و (۵.۹) تأمین می کند.

با در نظر گرفتن نوترون و پروتون به صورت دو حالت کوانتومی متفاوت يك ذره، می توان نمودارهای فاینمن مربوط به واپاشیهای (۳.۹) و (۵.۹) را مطابق شکل ۱.۹ رسم کرد. توجه کنید که در این نمودارها چهار خط فرمیون در يك رأس با یکدیگر تلاقی می کنند، به طوری که جهت دوخط به طرف رأس و جهت دوخط دیگر به طرف خاراج از رأس است.

تولید نوترینوها همچنین در پدیده معروف به گیراندازی  $K$ ، که در آن هسته ای پس از جذب يك الکترون از پوسته  $K$  واپاشیده می شود، صورت می گیرد. مثال زیر نمونه ای از این پدیده است.



این پدیده را می توان همچنین به صورت جذب الکترون توسط يك پروتون در داخل هسته در نظر گرفت.

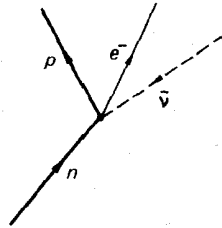
$$p + e^- \rightarrow n + \nu \quad (7.9)$$

این فرایند توسط نمودارهای فاینمن در شکل ۱.۹ ج نموده شده است. معادله (۷.۹) را می توان از معادله (۵.۹)، با استفاده از این قاعده نیز به دست آورد که يك ذره در يك طرف معادله می تواند توسط پاد ذره متناظر آن در طرف دیگر جایگزین شود، و به بیسان دیگر يك پاد ذره خاراج شونده معادل با يك ذره وارد شونده است. مقایسه نمودارهای فاینمن در شکلهای ۱.۹ ب و ۱.۹ ج نشان می دهد که این قاعده متناظر با قرارداد عوض کردن جهت پیکان روی خطوط فرمیون است.

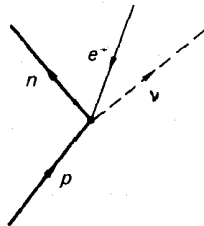
وجود نوترینو توسط آزمایشهایی بر روی پس زنی هسته پس از گسیل يك نوترینو و با مشاهده واپاشی معکوس  $\beta$  مورد تأیید قرار گرفت.

ساده ترین آزمایشهای پس زنی هستهها آنهايي هستند که به گیراندازی  $K$  مربوط می شوند، زیرا اگر اتم اولیه در حال سکون باشد تکانه نهایی یون پس رونده باید مساوی و مخالف تکانه نوترینوی گسیل شده باشد. به عنوان مثال، در واپاشی  $A^{37}$  [معادله (۶.۹)] انرژی نوترینوی گسیل شده با استفاده از اختلاف جرم  $A^{37} - Cl^{37}$  تعیین شده که بسايد برابر  $4 \pm 816$  کیلو الکترون ولت باشد. و یون  $Cl^{37}$  باید با انرژی  $967 \pm 808$  الکترون ولت پس زده شود. آزمایشهای متعددی برای اندازه گیری انرژی پس زنی یون انجام گرفته است. اسنل و پلی سانتون در سال ۱۹۵۵ مقدار انرژی پس زنی هسته را  $963 \pm 808$  الکترون ولت به دست آوردند، که با مقدار پیش بینی شده مطابقت خوبی

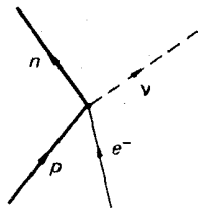
داشت و این تأییدی بود بر اینکه در واپاشی  $A^{37}$  يك نوترینو گسیل می‌شود. برای اطلاعات بیشتر در این مورد به کتاب آلن (۱۹۵۸) فصل سوم مراجعه کنید.



(الف)  $n \rightarrow p + e^- + \bar{\nu}$



(ب)  $p \rightarrow n + e^- + \nu$



(ج)  $p + e^- \rightarrow n + \nu$

شکل ۱.۹

نوترینو اولین بار توسط راینز، کوان و همکارانشان با استفاده از برهم کنش زیر کشف شد.

$$\bar{\nu} + p \rightarrow e^+ + n \quad (۸.۹)$$

که می‌توان آن را به‌عنوان واپاشی معکوس  $\beta$  در نظر گرفت

$$n \rightarrow p + e^- + \bar{\nu} \quad (۹.۹)$$

برای این منظور از يك رآكتور هسته‌ای که با واپاشی بنای شکافت پاره‌ها جریان شدیدی از پاد نوترینو تولید می‌کند، استفاده کردند. آنها توانستند پاد نوترینوهای حاصل را با استفاده از يك سوسوزن مایعی بزرگ که علاوه بر هیدروژن حاوی مقداری کادمیوم بود، کشف کنند. بدین ترتیب که پس از جذب پاد نوترینو توسط يك پروتون بر طبق معادله (۸.۹)، پوزیترون حاصل سریعاً در برخورد با يك الکترون نابود می‌شود و در نتیجه دو پرتو گاما حاصل می‌شوند که به صورت پالسهای سوسوزنی آشکار خواهند شد. نوترون حاصل از معادله (۸.۹) ابتدا در اثر برخورد سرعت آن کم می‌شود، و سپس توسط يك هسته کادمیوم جذب می‌شود که در نتیجه آن يك یا چند پرتو گاما گسیل می‌شود. این پرتوهای گاما هم پالس سوسوزنی ایجاد می‌کنند که چندین میکروثانیه بعد از پالس اولیه ناشی از نابودی پوزیترون، ظاهر می‌شود. نور حاصل از پالسهای سوسوزن، توسط ردیفی از لوله‌های تکثیرکننده فوتونی آشکار می‌شود.

در نخستین آزمایش، دستگاه آشکارساز تشکیل شده بود از استوانه‌ای از سوسوزنها، به قطر ۷۵ سانتیمتر و ارتفاع ۷۵ سانتیمتر، که در معرض دید ۹۰ لوله تکثیرکننده فوتونی قرار داشت. در آزمایش دوم، دستگاه آشکارساز از يك ساندریچ چند لایه‌ای مرکب از سه شمارگر سوسوزن و دو بشکه هدف تشکیل شده بود. بشکه‌های هدف حاوی آبی بود که در آن کادمیوم کلرید حل شده بود. ضخامت هر يك از شمارگرهای سوسوزن حدود ۶۰ سانتیمتر و ضخامت هر يك از بشکه‌ها حدود ۷۵ سانتیمتر بود. برای جزئیات بیشتر به کتاب آلن (۱۹۵۸)، فصل هفتم مراجعه کنید.

## ۱۰. منشأ نیروهای هسته‌ای

طبق توصیف ارائه شده توسط نمودارهای فاینمن در بخش ۸ نیروی کولنی بین ذرات باردار به خاطر مبادله فوتون بین این ذرات است [که این امر در شکل ۱۰.۱۰ الف نموده شده است]. نیروی کولنی نیرویی است با برد زیاد و فوتون دارای جرم در حال سکون صفر است.

نیروی بین نوکلئونها دارای برد کوتاه است. فیزیکدانی ژاپنی به نام یوکاوا در سال ۱۹۳۵ پیشنهاد کرد که این نیروهای هسته‌ای برد کوتاه ناشی از مبادله ذراتی با جرم سکون محدود  $M$  بین نوکلئونهاست که مزون نام دارند. این موضوع توسط نمودار فاینمن در شکل ۱۰.۱۰ ب نموده شده است. بر اثر گسیل يك مزون با جرم سکون  $M$ ، پایداری انرژی به اندازه  $\Delta E = Mc^2$  نقض خواهد شد. مزون مبادله شده بنا بر اصل عدم قطعیت هایزنبرگ،  $\Delta E \Delta t \geq \hbar$  می‌تواند برای مدت زمان  $t$  گسیل شود به طوری که

$$t \approx \hbar / \Delta E = \hbar / Mc^2$$

در این مدت مزون مبادله شده می‌تواند حداکثر فاصله زیر را طی کند

$$R = ct \approx \hbar / Mc$$

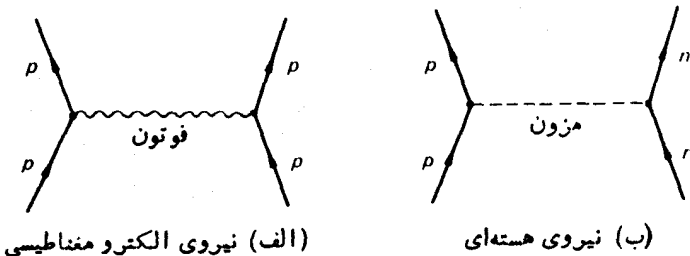
بنابراین برد نیروی هسته‌ای تقریباً برابر  $\hbar / Mc$  خواهد بود.  
 برد نیروی هسته‌ای به‌طور تجربی تقریباً  $10^{-12}$  سانتیمتر بدست آمده است که به کمک آن می‌توان جرم مزون را چنین تخمین زد

$$M \approx \frac{\hbar}{Rc} \approx 0.3 \times 10^{-24} \text{g} \\ \approx 300 M_e$$

بدین ترتیب یوکاوا در سال ۱۹۳۵ وجود مزون‌هایی را پیش‌بینی کرد که دارای برهم‌کنش قوی با نوکلئونها هستند، آنچنان که باعث نیروهای قوی هسته‌ای می‌شوند، و جرمی در حدود ۳۰۰ جرم الکترون، که جرمی بین جرم الکترون و جرم نوکلئون است، دارند. در سال ۱۹۳۷ آندرسون ذره‌ای را با جرمی حدود جرم پیش‌بینی شده در آزمایش با پرتو کیهانی در یک اتاقک ابر مشاهده کرد. خصوصیات این ذرات در خلال ده سال بعد مورد بررسی بود، اما از آنجا که برهم‌کنش آنها با نوکلئونها فوق‌العاده ضعیف بود، آنها را نمی‌توانستند همان مزون‌هایی بدانند که توسط یوکاوا پیش‌بینی شده بود.

این‌معا سرانجام توسط لیتس، پاؤل و اوکیالینی با کشف این مسئله که دونوع مزون به نام مزون مو و مزون پی وجود دارند، حل شد. مزون پی که دارای برهم‌کنش قوی با نوکلئونهاست، عمر خیلی کوتاهی دارد و به مزون مو یعنی همان مزونی که قبلاً توسط آندرسون کشف شده بود، واپاشیده می‌شود. مزون مو عمر طولانیتر دارد و با ذرات دیگر برهم‌کنش قوی ندارد. وجود مزون مو (که میون هم نامیده می‌شود) ظاهراً ربطی به نیروهای هسته‌ای ندارد. در واقع وجود میون هنوز یک معما برای فیزیکدانهاست، زیرا به نظر می‌رسد که وجودش هیچ ارتباطی با هیچیک از پدیده‌های فیزیکی نداشته باشد.

مزون پی (که پیون هم نامیده می‌شود) همان ذره‌ای است که توسط یوکاوا پیش‌بینی شده بود، و مبادله پیون بین نوکلئونهاست که در ایجاد نیروهای هسته‌ای دخالت دارد. اما نیروهای هسته‌ای فقط ناشی از مبادله پیونها نیست. مزونهای دیگری هم کشف شده‌اند که بعداً در مورد آنها صحبت خواهیم کرد. از آنجایی که جرم مزونهای دیگر از جرم مزون



شکل ۱۰۱



پی بیشتر است، بنابراین سهم آنها در نیروهای هسته‌ای کمتر از سهم ناشی از پیونها خواهد بود. توجه داشته باشید که هنوز نظریه‌ی کاملی برای توضیح نیروهای هسته‌ای در دست نیست. وقتی که نوکلئونها خیلی نزدیک به هم نباشند، همان طور که در شکل ۱۰۱۰ ب نموده شده، نیروی نوکلئون- نوکلئون ناشی از مبادله‌ی پیونی منفرد است، و به این طریق به نحو رضایت بخشی دنباله‌ی برهم کنش نوکلئون- نوکلئون توضیح داده می‌شود. ولی برای فواصل کوتاه‌تر هنوز توضیح رضایت بخشی از نیروهای هسته‌ای وجود ندارد. به خاطر داشته باشید که مطابق قواعد نمودارهای فاینمن، خطوط فرمیون نمی‌توانند دارای ابتدا و انتها باشند و فقط خطوط بوزون هستند که ابتدا و انتها دارند. با توجه به اینکه در نمودار ۱۰۱۰ ب خط پیون دارای ابتدا و انتهاست، اگر مبادله‌ی پیونها در ایجاد نیروهای هسته‌ای سهمی باشد باید پیونها بوزون باشند، و بنا بر این در هر تعدادی دلخواه بتوانند خلق یا نابود شوند.

پیونها اولین بار در آزمایشگاه توسط گارد نرولیتس در سال ۱۹۴۸ با استفاده از ذرات آلفای ۳۸۰ مگا الکترون ولت حاصل از سنکروسیکلوترون ۴۶۰ سانتیمتری دانشگاه کالیفرنیا، تولید شدند.

### ۱۱. پیونها

پیون از نقطه نظر بار الکتریکی در سه حالت  $\pi^+$ ،  $\pi^0$  و  $\pi^-$  یافت می‌شود.  $\pi^+$  و  $\pi^-$  دارای جرم یکسان، ۱۳۹۶ مگا الکترون ولت و طول عمر یکسان،  $10^{-8} \times 2.6$  ثانیه هستند (به پیوست ج مراجعه کنید)، و نزدیک به ۱۰۰ درصد موارد واپاشی آنها به صورت زیر است

$$\pi^+ \rightarrow \mu^+ + \nu_\mu \quad (1.11)$$

$$\pi^- \rightarrow \mu^- + \bar{\nu}_\mu$$

اما این پیونها، مدهای واپاشی دیگری هم دارند که از جمله آنها طریقه‌ی زیر باکسر واپاشی  $10^{-4} \times 1.2$  است

$$\pi^+ \rightarrow e^+ + \bar{\nu}_e \quad (2.11)$$

$$\pi^- \rightarrow e^- + \bar{\nu}_e$$

که بنا بر تعریف کسر واپاشی در حالتی خاص را نسبت انشعاب می‌نامند. پیونهای باردار به صورت زیر هم با نسبت انشعاب  $10^{-4} \times 1.2$  واپاشیده می‌شوند

$$\pi^+ \rightarrow \mu^+ + \nu_\mu + \gamma \quad (3.11)$$

$$\pi^- \rightarrow \mu^- + \bar{\nu}_\mu + \gamma$$

در معادلات بالا میان نوترینوی همراه با میون و نوترینوی همراه با الکترون تفاوت قائل شده‌ایم زیرا، آنچنان که در بخش ۳۴ خواهیم دید، دو نوع نوترینوی مختلف وجود دارد.

جرم پیون خنثی ( $\pi^0$ ) برابر ۱۳۵ مگا الکترون ولت است، که به اندازه ۲۰۶ مگا الکترون ولت از جرم پیونهای باردار کمتر است.  $\pi^0$  با نسبت انشعاب ۹۸٫۸ درصد به صورت زیر

$$\pi^0 \rightarrow \gamma + \gamma \quad (۲.۱۱)$$

و با نسبت انشعاب ۱٫۲ درصد به صورت زیر

$$\pi^0 \rightarrow e^+ + e^- + \gamma \quad (۵.۱۱)$$

و پاشیده می‌شود.

برای جلوگیری از تکرار نوشتن معادلاتی شبیه (۱.۱۱) تا (۵.۱۱)، مدهای واپاشی را با صرف نظر کردن از حالت بار با ذکر محصولات واپاشی خلاصه نویسی می‌کنند. بدین ترتیب معادله‌های (۱.۱۱) به صورت  $\mu\mu$  خلاصه می‌شود.

خواص پیونها را می‌توان از طریق مطالعهٔ برهم کنشهایی مورد بررسی قرارداد که در آنها پیونها تولید می‌شوند، از قبیل برهم کنش زیر

$$p + p \rightarrow p + n + \pi^+ \quad (۶.۱۱)$$

و واکنشهایی که پیونها در آن شرکت دارند، از قبیل واکنشهای زیر

$$\pi^- + p \rightarrow \pi^- + p$$

$$\pi^- + p \rightarrow \pi^0 + n \quad (۷.۱۱)$$

$$\pi^- + p \rightarrow \pi^0 + \pi^- + p$$

ترکیب خاصی از ذرهٔ بمباران کننده و ذرهٔ هدف، از قبیل  $\pi^- + p$ ، همانند آنچه در معادله‌های (۷.۱۱) نموده شده، کلاً ممکن است به حالات مختلفی از ترکیب ذرات نهایی منجر شود. هر گونه ترکیبی از ذرات را يك کانال می‌نامند.

## تمرین

۱. نشان دهید که به علت پایستگی انرژی و تکانه، يك فوتون در فضای خالی نمی‌تواند زوج الکترون-پوزیترون ایجاد کند.
۲. انرژی آستانه برای تولید يك زوج الکترون-پوزیترون توسط فوتون را در حضور يك الکترون ساکن محاسبه کنید.

۳. انرژی آستانه برای تولید يك زوج الكترون-پوزیترون را در برخورد پروتون-پروتون محاسبه کنید.
  ۴. نمودارهای فاینمن پایینترین مرتبه را برای اثر کامپتون رسم کنید.
  ۵. با در نظر گرفتن نمودارهای به دست آمده در تمرین ۴، از طریق شکاف زمانی برای قبل و بعد از هر رأس، نمودارهایی شبیه نمودارهای شکل ۲.۸ ب رسم کنید که موقعیت و جهت حرکت ذرات را نشان دهد.
  ۶. نمودار فاینمن را برای واپاشی معکوس بتا، یعنی معادله (۸.۹)، رسم کنید.
  ۷. نمودارهای فاینمن پایین مرتبه را برای حالات زیر رسم کنید  
(الف) پراکندگی پوزیترون توسط پروتون؛  
(ب) تولید تابش ترمزی در برخورد الکترون - پروتون؛  
(ج) تولید يك زوج الكترون - پوزیترون توسط فوتون در حضور يك الكترون؛  
(د) تولید الكترون - پوزیترون در برخورد الكترون - پروتون.
  ۸. برای هریك از واکنشهای واپاشی زیر، تمام حالت‌های باری ممکن هر ذره و انرژی آزاد شده در واپاشی ( $Q$ ) را مشخص سازید.
    - (الف)  $\pi \rightarrow \mu + \nu$
    - (ب)  $\pi \rightarrow \gamma + \gamma$
    - (ج)  $\mu \rightarrow e + \nu + \bar{\nu}$
- برای واپاشی (الف)، انرژی جنبشی میون را در دستگاه مقایسه‌ای که میون اولیه در آن ساکن باشد، به دست آورید.
۹. مزون مو به خاطر چه خصوصیتی از مزون پیش‌بینی شده یو کاوا متفاوت است؟
  ۱۰. انرژی آستانه برای تولید پاد پروتون را در برخورد پروتون - پروتون محاسبه کنید.

## مراجع

- Allen, J. S., *The Neutrino*, 1958. Princeton University Press.
- Feynman, R. P., R. B. Leighton and M. Sands, *Quantum Mechanics*, Vol. III of *The Feynman Lectures on Physics*, 1965. Addison-Wesley, Reading, Mass.
- Segre, E. and C. E. Wiegand, «The antiproton», *Sci. Am.*, June 1956.
- Snell, A. H. and F. Pleasonton, *Phys. Rev.*, 97 (1955) 246; 100 (1955) 1396.

## خواص پیون

### ۱۲. اسپین $\pi^+$

اسپین  $\pi^+$  را با به کار گیری اصل توازن تفصیلی (پیوست د) در تجزیه دوترون پس از جذب یک پیون مثبت با مقطع جذب  $\sigma$

$$d + \pi^+ \rightarrow p + p \quad (1.12)$$

و واکنش معکوس متناظر با مقطع تولید  $\sigma$

$$p + p \rightarrow d + \pi^+ \quad (2.12)$$

می توان تعیین کرد (برای تعریف مقطع به پیوست ج مراجعه کنید). بر طبق معادله (د.۱۶) داریم

$$1/2 (2J_p + 1)^2 p_p^2 \sigma = (2J_d + 1)(2J_\pi + 1) p_\pi^2 \sigma \quad (3.12)$$

با توجه به اینکه اسپین پروتون  $J_p = 1/2$  و اسپین دوترون  $J_d = 1$  معلوم هستند، نتیجه می گیریم

$$2J_\pi + 1 = 2/3 \left( \frac{p_p}{p_\pi} \right)^2 \frac{\sigma_{\text{تولید}}}{\sigma_{\text{جذب}}}$$

نتایج آزمایشی بدون هیچ گونه ابهامی نشان می دهد که  $J_\pi = 0$  است (کارت رایت ، ۱۹۵۳) (تمرین ۱).

فرض می‌کنیم که  $\pi^-$  دارای همان اسپین  $\pi^+$  است.

### ۱۳. پاریته<sup>۱</sup>

حرکت يك ذره تنها را در نظر بگیرید، به طوری که فیزیک این ذره با وارونی مختصات نسبت به مبدأ، یعنی

$$\mathbf{r} \rightarrow -\mathbf{r} \quad (۱۰۱۳)$$

تغییر نکند.

يك مثال خاص در این مورد، ذره‌ای است که در پتانسیلی با تقارن کروی  $V(r)$  حرکت می‌کند. يك حالت مکانیک کوانتومی ذره، که توسط تابع موج  $\psi(\mathbf{r})$  توصیف می‌شود، را در نظر می‌گیریم. اگر  $\psi(\mathbf{r})$  نسبت به وارونی ناورد باشد، باید داشته باشیم

$$\psi(-\mathbf{r}) = \psi(\mathbf{r}) \quad (۲۰۱۳)$$

ولی از آنجایی که خود تابع موج به طور فیزیکی مشاهده پذیر نیست، این شرط خیلی محدودکننده است. چگالی احتمال برای یافتن ذره در نقطه  $\mathbf{r}$  چنین است

$$|\psi(\mathbf{r})|^2 = \psi^*(\mathbf{r})\psi(\mathbf{r}) \quad (۳۰۱۳)$$

و ما فقط لازم داریم که این چگالی احتمال تحت وارونی تغییر نکند، بنابراین می‌توانیم داشته باشیم

$$\psi(-\mathbf{r}) = e^{i\delta}\psi(\mathbf{r}) \quad (۴۰۱۳)$$

با انجام وارونی دیگری نسبت به مبدأ مختصات، خواهیم داشت

$$\psi(\mathbf{r}) = e^{i\delta}\psi(-\mathbf{r}) = e^{2i\delta}\psi(\mathbf{r}) \quad (۵۰۱۳)$$

بنابراین

$$e^{2i\delta} = 1; e^{i\delta} = \pm 1 \quad (۶۰۱۳)$$

اگر

$$\psi(-\mathbf{r}) = +\psi(\mathbf{r})$$

باشد، می‌گوییم که حالت دارای پاریته زوج یا «+» است، و اگر داشته باشیم

$$\psi(-\mathbf{r}) = -\psi(\mathbf{r})$$

می‌گوییم که حالت دارای پاریته فرد یا «-» است.

۱. به کتاب فاینمن (۱۹۶۵) و کتاب زیوک (۱۹۶۹) مراجعه کنید.

وارونی مختصات نسبت به مبدأ در مکانیک کوانتومی توسط عملگر  $P$  نمایش داده می‌شود، به طوری که

$$P\psi(\mathbf{r}) = \psi(-\mathbf{r})$$

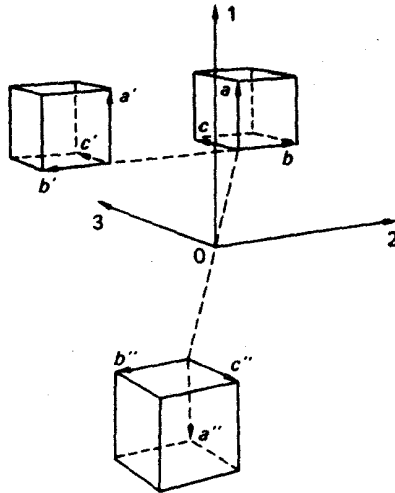
$P$  را عملگر پاریته یا عملگر وارونی می‌نامند. ویژه مقدار  $P$  مقادیر  $\pm 1$  هستند

$$P\psi(\mathbf{r}) = \pm\psi(\mathbf{r})$$

وارونی مختصات نسبت به مبدأ را تبدیل پاریته نیز می‌نامند.

پاریته را همچنین می‌توان با در نظر گرفتن انعکاس در يك صفحه مورد بحث قرار داد، زیرا، همان‌طور که در شکل ۱۰۱۳ نموده شده، انعکاس در يك صفحه هم ارز وارونی نسبت به مبدأ و به دنبال آن يك دوران  $180^\circ$  درجه‌ای است.

وارونی نسبت به مبدأ، يك دستگاه مختصات راستگرد را به دستگاه مختصات چپگرد تبدیل می‌کند. ناوردایی قوانین فیزیکی تحت وارونی هم ارز آن است که قوانین فیزیکی در دستگاه‌های مختصات راستگرد و چپگرد یکسان باشند.



شکل ۱۰۱۳  $a'b'c'$  تصویر آینه‌ای  $abc$  است که از انعکاس در صفحه (۳ و ۱) به دست آمده است.  $a''b''c''$  وارون  $abc$  نسبت به مبدأ  $O$  است.  $a'b'c'$  را می‌توان از دوران  $180^\circ$  درجه‌ای  $a''b''c''$  حول محور ۲ به دست آورد.

برای دستگاهی که تحت وارونی ناورد است، پاریته در طول زمان ثابت می‌ماند، یعنی پایسته است. اگر چنین دستگاهی در ابتدا دارای پاریته زوج باشد،

در طول زمان همان پاریته را حفظ خواهد کرد، اگر چه ممکن است تعداد ذرات موجود در دستگاه تغییر کند. چنانچه دستگاهی متشکل از دو ذره ۱ و ۲ که بر یکدیگر برهم کنش ندارند و توسط يك معادله موج حاصلضرب توصیف شده است، را در نظر بگیریم

$$\psi(\mathbf{r}_1)\phi(\mathbf{r}_2)$$

می بینیم که پاریته دستگاه، حاصلضرب پاریته های ذرات جداگانه است. پاریته يك عدد کوانتومی ضربی است.

تا سال ۱۹۵۶ به نظر می رسید که تمام قوانین فیزیک تحت وارونی یا انعکاس مختصات ناوردایند و در نتیجه پاریته در تمام واکنشها پایسته است. احتمال اینکه در مورد ناوردایی پاریته تحت وارونی استثنایی وجود داشته باشد، اولین بار توسط لی و یانگک در سال ۱۹۵۶ در رابطه با واپاشی بتا مطرح شد، که این مسئله را در فصل ۷ مورد بحث قرار خواهیم داد. اما در حال حاضر خود را محدود به برهم کنشهایی می کنیم که تحت انعکاس ناوردایند و در نتیجه در آنها پاریته پایسته است.

می دانیم که برهم کنشهای الکترومغناطیسی تحت انعکاس ناوردایند و در آنها پاریته پایسته است. آزمایشهای فیزیک هسته ای نشان می دهد که نیروهای هسته ای تحت انعکاس ناوردایند و در آنها پاریته پایسته است. چون بخشی از نیروهای هسته ای به خاطر مبادله پیوندهاست، برهم کنش پیونها با نوکلئونها پاریته را حفظ می کند.

يك ذره ممکن است همان طور که به خاطر حالت فضایی اش پاریته دارد، پاریته ذاتی نیز داشته باشد. در آن صورت پاریته کل، حاصلضرب پاریته فضایی و پاریته ذاتی خواهد بود. در فرایندهایی که امکان آفرینش یا نابودی ذرات در آنها نیست، پاریته های ذاتی ذرات اهمیتی نداشته و نتایج قابل مشاهده ای ندارند. در واکنشهایی که با آفرینش و یا نابودی ذرات همراه است، پاریته ذاتی ذرات باید در تعیین قواعد گزینش مربوط به پاریته پایستگی پاریته در نظر گرفته شوند. پاریته ذاتی يك ذره تنها زمانی معنی مطلق دارد که ذره بتواند به دلخواه آفریده و یا نابود شود. به ذراتی که نمی توانند به دلخواه آفریده و یا نابود شوند، يك پاریته ذاتی اختیاری نسبت داده می شود، و پاریته ذرات دیگری که از تبدیل ذرات قبلی در طی واکنشهایی به دست می آیند، با استفاده از قانون پایستگی پاریته تعیین می شود. سازگاری پاریته های ذاتی نسبت داده شده، اثباتی از پایستگی پاریته در واکنشهای مورد نظر خواهد بود. این طرزکار ممکن است خیلی دلخواهانه و غیر عملی به نظر آید. در آینده با چندین مثال از این قبیل روبرو خواهیم شد، و کارایی این روش را خواهیم دید. اساساً دلیل عملی بودن این روش، وجود واکنشهایی است که در آنها پاریته پایسته است و این واکنشها را می توان به سادگی از آنها پی برد. پایستگی پاریته در آنها صدق نمی کند، جدا کرد. اگر پایستگی پاریته در واکنشها به زحمت صورت می گرفت، مفهوم پاریته ذاتی بی معنی می شد.

ذره ای با اسپین صفر ممکن است توسط يك تابع موج نرده ای توصیف شود، و در این صورت پاریته اش زوج خواهد بود. امکان دیگر این است که پاریته ذاتی فرد داشته

باشد و توسط تابع موج شبه نرده‌ای توصیف شود.

يك كمیت شبه نرده‌ای تحت دوران به صورت يك كمیت نرده‌ای تبدیل می‌شود، اما تحت انعکاس تغییر علامت می‌دهد. يك مثال ساده از كمیت شبه نرده‌ای، حاصلضرب سه بردار به صورت زیر است

$$(A \times B) \cdot C$$

که علامت این كمیت به راستگرد و یا چپگرد بودن دستگاه مختصات مورد استفاده، بستگی دارد. برای تابع موج  $\psi_l(\mathbf{r})$  که توصیف کننده ذره‌ای با تکانه زاویه‌ای  $\hbar l$  و متحرک در پتانسیل با تقارن کروی است، داریم (ساکون، ۱۹۶۸)

$$\psi_l(-\mathbf{r}) = (-1)^l \psi_l(\mathbf{r}) \quad (7.13)$$

اگر پاریته ذاتی ذره زوج باشد، در آن صورت پاریته کل ذره  $(-1)^l$  خواهد بود. هرگاه پاریته ذاتی ذره فرد باشد، پاریته کل ذره  $(-1)^{l+1}$  خواهد بود. برای دو ذره‌ای که از طریق يك پتانسیل مرکزی برهم‌کنش می‌کنند، داریم

$$\psi(\mathbf{r}_1, \mathbf{r}_2) = e^{i\mathbf{K} \cdot \mathbf{R}} \phi_l(\mathbf{r})$$

که در آن  $\mathbf{R}$  مختصات مکانی مرکز جرم،  $\hbar \mathbf{K}$  تکانه کل و

$$\mathbf{r} = \mathbf{r}_1 - \mathbf{r}_2$$

است. تابع  $\phi_l(\mathbf{r})$  همان شکل تابع موج ذره‌ای منفرد با تکانه زاویه‌ای مداری  $\hbar l$  را دارد (ایزبرگ، ۱۹۶۱). تکانه زاویه‌ای مداری دستگاه دو ذره‌ای در چارچوب مرکز جرم آنهاست و گاهی تکانه زاویه‌ای نسبی نیز نامیده می‌شود. در چارچوب مرکز جرم  $\mathbf{K} = 0$  و پاریته  $(-1)^l$  است. شایسته است توجه شود که در چارچوب مرکز جرم، واریونی مختصات همان اثراتی را ایجاد می‌کند که تعویض مختصات فضایی دو ذره به وجود می‌آورد. امکان اندازه‌گیری مستقیم پاریته ذاتی يك فرمیون وجود ندارد، زیرا فرمیونها همیشه به صورت زوج آفریده و نابود می‌شوند. ولی اندازه‌گیری پاریته ذاتی يك بوزون امکان پذیر است، زیرا بوزونها می‌توانند به دلخواه آفریده و یا نابود شوند.

#### ۱۴. پاریته $\pi^-$

گیراندازی  $\pi^-$  توسط دوتریوم را در نظر بگیریم.

$$\pi^- + d \rightarrow n + n \quad (10.14)$$

در ابتدا سرعت پیونها با از دست دادن انرژی از طریق یونش، کم می‌شود تا اینکه عملاً به حال سکون درآیند، سپس به مدارهای اتمی اطراف دوترون وارد می‌شوند. گیراندازی  $\pi^-$  عمدتاً از حالت ۱s صورت می‌گیرد، زیرا حالت ۱s دارای بزرگترین چگالی احتمال  $|\psi|^2$  در داخل دوترون است.



به طور دلخواه به پروتون و نوترون پارینه ذاتی یکسان  $+$  نسبت می دهیم. تکانه زاویه ای مداری داخلی دو ترون نیز زوج است، لذا پارینه دو ترون  $+$  است. چون  $\pi^-$  در حالت  $1s$  است، پارینه دستگاه  $(\pi^- + d)$  همان پارینه  $\pi^-$  است، که با توجه به پایداری پارینه برابر با پارینه حالت نهایی دو نوترون خواهد بود.

از آنجا که پیون دارای اسپین صفر است و از حالت  $1s$  با  $l = 0$  نیز گیر می افتد، اسپین کل حالت اولیه برابر اسپین دو ترون خواهد بود که برابر است با  $J = 1$ . با توجه به پایداری تکانه زاویه ای، حالت نهایی دارای  $J = 1$  خواهد بود. در اینجا، تمام حالت های ممکن دو نوترون را با  $J = 1$  در نظر می گیریم.

تکانه زاویه ای کل  $J$  برای دو ذره با اسپین های  $s_1$  و  $s_2$  را می توان ابتدا از جمع کردن اسپینها با یکدیگر

$$S = s_1 + s_2$$

و سپس از جمع کردن  $S$  با تکانه زاویه ای مداری  $l$  به دست آورد

$$J = S + l$$

داریم

$$l = 0, 1, 2, \dots$$

و برای

$$s_1 = 1/2, \quad s_2 = 1/2$$

خواهیم داشت

$$S = 0 \text{ یا } 1$$

اما فقط ترکیبات نشان داده شده در جدول ۱۰۱۴ می توانند نتیجه  $J = 1$  را بدهند. حال این الزام که تابع موج کل باید نسبت به تعویض دو نوترون پاد متقارن باشد را در نظر می گیریم. برای  $S = 0$  تابع اسپین نسبت به تعویض پاد متقارن، و برای  $S = 1$  تابع اسپین نسبت به تعویض متقارن است، و تابع مسوج فضایی در تعویض دو نوترون علامت  $(-1)^l$  را دارد. تنها حالتی که در جدول ۱۰۱۴ در کل نسبت به تعویض دو نوترون پاد

جدول ۱۰۱۴ مقادیر ممکن  $S$  و  $l$  برای دستگاهی متشکل از دو ذره با  $J = 1$ .

$S$	$l$
0	1
1	0
1	1
1	2

متقارن است، حالتی است که در آن  $S = 1$  و  $I = 1$  باشد. از آنجا که پاریته دستگاہ دو نوترون  $-1 = (-1)^2$  است، پاریته ذاتی  $\pi^-$  برابر  $-1$  (فرد) بوده، و پیون توسط يك تابع موج شبه نرده‌ای نشان داده می‌شود.

### ۱۵. اسپین و پاریته $\pi^0$

تعیین اسپین و پاریته  $\pi^0$  نیازمند استفاده از مکانیک کوانتومی پیچیده‌ای است که از حدود این کتاب فراتر می‌رود، لذا توضیح خلاصه‌ای از مسئله ارائه خواهد شد. جزئیات بیشتری از نظریه لازم در کتاب ویلیامز (۱۹۶۱) ارائه شده است. با استفاده از واپاشی مشاهده شده زیر

$$\pi^0 \rightarrow 2\gamma$$

می‌توان استنتاج کرد که اسپین  $J$  برابر ۱ نیست، و بدین ترتیب تقریباً قطعی است که  $J = 0$  باشد. پاریته را می‌توان بسا اندازه‌گیری قطبیدگی فوتونها تعیین کرد. اگر  $\pi^0$  يك ذره نرده‌ای باشد، دو فوتون حاصل دارای قطبیدگی صفحه‌ای یکسانی خواهند بود. و اگر  $\pi^0$  يك ذره شبه نرده‌ای باشد، دو فوتون صفحات قطبش عمود برهم خواهند داشت. به علت دشواری اندازه‌گیری قطبیدگی صفحه‌ای پرتوهای گامای پرنرژی، چنین آزمایشی مستقیماً انجام نگرفته است. اما مطالعه همبستگی زاویه‌ای محصولات واپاشی  $\pi^0$ ، در واپاشی آن به دو زوج الکترون-پوزیترون

$$\pi^0 \rightarrow e^+ + e^- + e^+ + e^-$$

نتیجه می‌دهد که  $\pi^0$  پاریته فرد دارد (پلانو، ۱۹۵۹). فرض می‌کنیم که  $\pi^+$  نیز پاریته فرد دارد.

### ۱۶. پاریته و قوانین پایستگی مطلق

در بحث مربوط به پاریته  $\pi^-$ ، فرض کردیم که پروتون و نوترون دارای پاریته ذاتی یکسانی باشند. اگر فرض کنیم که پروتون و نوترون دارای پاریته ذاتی مخالف یکدیگر باشند، نتیجه می‌شود که  $\pi^0$  و  $\pi^-$  نیز دارای پاریته ذاتی مخالف هم هستند. غیرممکن است که بتوان پاریته ذاتی پیوندهای باردار را مستقل از پاریته ذاتی نوکلئون تعیین کرد. اما همچنان که دیده‌ایم، پاریته  $\pi^0$  را می‌توان بدون ابهام تعیین کرد. پاریته‌ها را از طریق مطالعه واکنشها مقایسه می‌کنند. ولی از آنجا که در تمام واکنشها بار پایسته می‌ماند، نمی‌توانیم پاریته حالتها را با بار مختلف را مقایسه کنیم. می‌توانیم پاریته تمام ذرات با بار  $+e$  را، بدون اینکه هیچ تغییر فیزیکی ایجاد شود، در  $-1$  ضرب کنیم. در این صورت پروتون و نوترون دارای پاریته ذاتی مخالف هم خواهند شد. این کار، تنها

صورتبندی را به طور غیر لازمی پیچیده می کند. بنابراین، پارینه حالت‌های باردار گوناگون را به نحوی انتخاب می کنیم که ساده ترین طرح را داشته باشد، یعنی با به کار بردن  $P$  برای پارینه می نویسیم

$$P_n = P_p, \quad P_{\pi+} = P_{\pi 0} = P_{\pi-}$$

هر کجا که کمیتی با پایستگی مطلق وجود داشته باشد با چنین وضعیتی رو به رو خواهیم شد، و پارینه ذاتی تعدادی از حالتها باید به دلخواه تعیین شود.

به عنوان نمونه، این حقیقت که تعداد نوکلئونهای شرکت کننده در یک واکنش همیشه پایسته می ماند، توسط پایستگی عدد باریونی  $B$  توصیف می شود.

به نوترون و پروتون عدد باریونی  $B = 1$  و به پاد نوترون و پاد پروتون  $B = -1$  نسبت داده می شود. به پیونهای  $\pi^+$ ،  $\pi^-$ ،  $\pi^0$  (همچنین به الکترونها، نوترینوها، مزونهای  $\mu$  و فوتونها) عدد باریونی  $B = 0$  نسبت داده می شود. بنابراین، عدد باریونی در تمام واکنشها پایسته است. به عنوان مثال واکنش زیر را، با اعداد باریونی مناسبی که در زیر هر ذره نشان داده شده است، در نظر بگیریم

$$p + \bar{p} \rightarrow \pi^+ + \pi^- + \pi^0$$

$$(1) + (-1) = (0) + (0) + (0)$$

ملاحظه می شود که پارینه حالت‌های با اعداد باریونی مختلف را نمی توان به طور مطلق باهم مقایسه کرد. پارینه  $\pi^0$  با  $B = 0$  به طور یگانه تعیین شده و  $P_{p0} = -1$  است. اما پارینه نوکلئون را می توان فرد در نظر گرفت، یعنی

$$P_p = P_n = -1$$

بدون آنکه تغییری در فیزیک رخ دهد. اما چون نوکلئون نقطه شروع در تعیین پارینه ذاتی است، ساده تر است که پارینه نوکلئون را به صورت زیر در نظر بگیریم

$$P_n = P_p = +1$$

### تعمیر

۱. مقطع تولید واکنش (۲۰۱۲) برای پروتونهای حاوی انرژی جنبشی ۳۴۵ مایون الکترون ولت در چارچوب آزمایشگاه برابر  $10^{-27} \times (0.18 \pm 0.06)$  سانتیمتر مربع است. مقطع جذب واکنش (۱۰۱۲) وقتی که پیونهای فرودی دارای انرژی جنبشی ۲۹ میلیون الکترون ولت در چارچوب آزمایشگاه باشند، عبارت است از  $10^{-27} \times (0.3 \pm 0.1)$  سانتیمتر مربع. تغییرات مقطعا نسبت به انرژی به اندازه

کافی آهسته است، و انرژی بیونها در چارچوب مرکز جرم برای مقایسه این دو واکنش به کفایت نزدیک هستند.

اسپین  $\pi^+$  را به دست آورید (کارت رایت، ۱۹۵۳). (توجه کنید: چون جواب باید عدد درستی باشد، دقت زیادی در محاسبات لازم نیست و از سینماتیک نانسیتی می‌توانید استفاده کنید.)

۲. در بخش ۱۴، تعیین پارینته ذاتی  $\pi^-$  با فرض اینکه پارینته ذاتی پروتون و نوترون هر دو زوج است، مورد بحث قرار گرفت. با طرز عمل مشابهی، چه پارینته ذاتی باید به  $\pi^-$  نسبت داد، اگر فرضهای زیر را در مورد پارینته ذاتی پروتون و نوترون به کار ببریم

$$\begin{array}{ll} P_p = +1, P_n = -1 & \text{(ب)} \\ P_p = +1, P_n = -1 & \text{(الف)} \\ P_n = P_p = -1 & \text{(ج)} \end{array}$$

۳. با فرض آنکه همیشه پروتون هدف باشد، انرژی آستانه واکنشهای زیر را در چارچوب آزمایشگاه تعیین کنید

$$\begin{array}{ll} p+p \rightarrow p+n+\pi^+ & \text{(ب)} \\ p+p \rightarrow p+p+\pi^0 & \text{(الف)} \\ \pi^-+p \rightarrow p+\bar{p}+n & \text{(د)} \\ p+p \rightarrow p+p+\pi^++\pi^- & \text{(ج)} \\ p+p \rightarrow p+p+\pi^++\pi^-+\pi^0 & \text{(و)} \\ \pi^0+p \rightarrow \pi^++n & \text{(ه)} \\ n+p \rightarrow p+p+\pi^-+\pi^-+\pi^+ & \text{(ز)} \end{array}$$

۴. کدام يك از واکنشهای زیر مطلقاً ممنوع هستند، و چرا؟

$$\begin{array}{ll} n \rightarrow p+e^-+\bar{\nu}_e & \text{(ب)} \\ p \rightarrow e^++\gamma & \text{(الف)} \\ n \rightarrow p+e^++\nu_e & \text{(د)} \\ \pi^0+\pi^- \rightarrow \bar{n}+p & \text{(ج)} \\ \bar{n}+n \rightarrow \pi^0+\pi^++\pi^- & \text{(و)} \\ \pi^0+n \rightarrow \pi^-+\bar{p} & \text{(ه)} \\ \pi^++n \rightarrow \pi^-+p & \text{(ز)} \end{array}$$

۵. خواص بیونها و فوتونها را مقایسه کنید.

## مراجع

- Cartwright, W. F., C. Richman, M. N. Whitehead and H. A. Wilcox, *Phys. Rev*, **91** (1953) 677.
- Eisberg, R.M., *Fundamentals of Modern Physics*, 1961, Wiley, New-York. Chapter 10.
- Feynman, R. P., R. B. Leighton and M. Sands, *Quantum Mechanics*, Vol. III of *The Feynman Lectures on Physics*, 1965. Addison-Wesley, Reading, Mass. Section 17.2.

Plano, R., A. Prodell, N. Samios, M. Schwartz and J. Steinberger.  
*Phys. Rev. Lett.*, 3 (1959) 525.

Saxon, D. S., *Elementary Quantum Mechanics*, 1968. Holden - Day,  
San Francisco. Chapter IX.

Williams, W. S. C., *An Introduction to Elementary Particles*, 1961.  
Academic Press, New York. Section 7.5.

Ziock, K., *Basic Quantum Mechanics*, 1969. Wiley, New York.  
Section 6.7.

## نوکلئونها و پیونها

### ۱۷. ایزوسپین

گرایش ذرات بنیادی به قرار گرفتن در گروههایی است که جرم تقریباً یکسان دارند ولی بارشان مختلف است. به عنوان نمونه، جرم نوترون تقریباً برابر جرم پروتون است، و همچنین جرم پیون خنثی تقریباً برابر جرم پیون باردار است. هائیزبرگ در سال ۱۹۳۲، زمانی که این مسئله فقط برای پروتون و نوترون مشخص بود، پیشنهاد کرد که می توان پروتون و نوترون را به صورت دو حالت بار از يك ذره که او آن را نوکلئون نامید، در نظر گرفت. در نظریه طیفهای اتمی، ترازوی با چندتاییگی  $(2S+1)$  که در يك میدان مغناطیسی، همان طور که اثر زیمان نشان می دهد، به  $(2S+1)$  تراز منشعب می شود، دارای اسپین  $S$  است. اسپین  $S$  را می توان به صورت تکانه زاویه ای دستگاه در نظر گرفت و برای مؤلفه های  $S_x$ ،  $S_y$  و  $S_z$  آن عملگرهایی تعریف کرد که دارای روابط جابه جایی معینی هستند

$$[S_x, S_y] = iS_z, [S_y, S_z] = iS_x, [S_z, S_x] = iS_y \quad (1.17)$$

(تکانه زاویه ای به طور دقیق  $\hbar S$  است، ولی به خاطر سادگی  $\hbar$  را حذف می کنند، این کار با انتخاب واحدها به نحوی که  $\hbar = 1$  شود امکان پذیر است.)

نوکلئون دارای چندتاییگی  $2 = 2 \times 1/2 + 1$  است و در تشابه با نظریه طیفهای اتمی کمیتی به نام ایزوسپین  $I = 1/2$  به آن نسبت می دهند تا چندتاییگی  $2 = 2I + 1$  را به دست دهد. اما، ایزوسپین را نمی توان به هیچ طریقی به صورت يك تکانه زاویه ای در نظر گرفت و با خواص فضایی نوکلئون رابطه ای ندارد. ایزوسپین هیچ رابطه ای با فضایی معمولی ندارد، ولی آن را می توان به صورت کمیتی با سه مؤلفه  $I_x$ ،  $I_y$  و  $I_z$  در امتداد

سه محور عمود بر هم در يك فضای سه بعدی مجرد به نام فضای ایزوسپین یا فضای بار در نظر گرفت. مؤلفه‌های ایزوسپین از همان روابط جا به جایی اسپین معمولی پیروی می‌کنند

$$[I_1, I_2] = iI_3, [I_2, I_3] = iI_1, [I_3, I_1] = iI_2 \quad (2.17)$$

چون تمام خصوصیات ایزوسپین را به‌طور جبری از روابط جا به جایی بالا می‌توان تعیین کرد، اصلاً احتیاجی به در نظر گرفتن فضای تجریدی بار نیست. ولی فیزیکدانها مایل به انجام عملیاتی ریاضی که می‌توان از آنها اجتناب کرد، نیستند، و با معرفی يك فضای تجریدی بار می‌توان با ایزوسپین به‌همان گونه رفتار کرد که عادت داریم با تکانه زاویه‌ای رفتار کنیم. برای نمونه، چون مربع اسپین  $S^2$  دارای ویژه-مقدارهای  $S(S+1)$  است، مربع ایزوسپین  $I^2$  نیز به همان صورت ویژه-مقدارهای  $I(I+1)$  را داراست. جمع ایزوسپینهای چند ذره را می‌توان از طریق الگوی برداری که در نظریه طیفهای اتمی به‌کار می‌رود، (ایزبرگ، ۱۹۶۱) انجام داد.

به‌عنوان يك مثال، ابتدا مورد اسپین معمولی را در نظر می‌گیریم. وقتی دو اسپین به مقدار  $1/2$  با هم جمع شوند، اسپین کل می‌تواند ۰ یا ۱ باشد. به‌همین نحو، ایزوسپین دو نوکلئون (هر کدام با ایزوسپین  $1/2$ ) می‌توانند جمع شده و ایزوسپین کل ۰ یا ۱ را بدهند.

$(2S+1)$  حالت دستگاهی با اسپین  $S$  توسط  $(2S+1)$  مقدار مختلف مؤلفه  $S_z$  برای مشخص می‌شوند

$$S_z = -S, -S+1, \dots, S-1, S$$

به‌همین نحو  $(2I+1)$  حالت دستگاهی با ایزوسپین  $I$  توسط  $(2I+1)$  مقدار مختلف مؤلفه  $I_3$  مشخص می‌شوند

$$I_3 = -I, -I+1, \dots, I-1, I$$

در فضای بار جهت محور سوم چنان انتخاب می‌شود که برای پروتون  $I_3 = +1/2$  و برای نوترون  $I_3 = -1/2$  باشد.

پس سه حالت بار دارد، لذا دارای  $I=1$  است.

ایزوسپین را که در ابتدا اسپین ایزوتوپی می‌نامیدند، اسپین ایزوباری و آی-اسپین هم می‌نامند.

حال دستگاه دونوکلئونی را به‌طور مشروح مورد رسیدگی قرار می‌دهیم. تابع موج به‌صورت زیر نوشته می‌شود

$$\Psi = \psi(S_1, S_2) \psi(I_1, I_2)$$

که در آن اسپین  $\psi$  و ایزوسپین  $\psi$ ، به‌ترتیب فقط به اسپین و ایزوسپین بستگی دارند. حالتی را در نظر می‌گیریم که اسپین  $\psi$  ویژه تابع  $S^2$  و  $S_z$ ، و ایزوسپین  $\psi$  ویژه تابع  $I^2$  و  $I_3$

باشد، که در آن  $S$  و  $I$  به ترتیب اسپین کل و ایزوسپین کل هستند

$$S = s(1) + s(2) \quad (3.17)$$

$$I = i(1) + i(2) \quad (4.17)$$

در روابط بالا  $s(k)$  و  $i(k)$  بدترتیب اسپین و ایزوسپین  $k$  امین نوکلئون اند. بحث مربوط به اسپین را، قبل از به کارگیری همان بحث درباره ایزوسپین، به طور فشرده ای دوباره بیان می کنیم. برای  $k$  امین نوکلئون،  $\chi^s_+(k)$  و  $\chi^s_-(k)$  را به عنوان ویژه تابعهای  $s^2(k)$  و  $s^z(k)$  معرفی می کنیم

$$S_z(k) \chi^s_+(k) = +\frac{1}{2} \chi^s_+(k) \quad (5.17)$$

$$S_z(k) \chi^s_-(k) = -\frac{1}{2} \chi^s_-(k)$$

حالت های اسپینی دونوکلئون که نسبت به اسپینها متقارن اند، سه حالت با  $S = 1$  هستند

$$S_z = +1 \quad \chi^s_+(1) \chi^s_+(2)$$

$$S_z = 0 \quad 2^{-1/2} \{ \chi^s_+(1) \chi^s_-(2) + \chi^s_-(1) \chi^s_+(2) \}$$

$$S_z = -1 \quad \chi^s_-(1) \chi^s_-(2)$$

و حالت اسپینی که نسبت به اسپینها پاد متقارن است، حالتی با  $S = 0$  است

$$2^{-1/2} \{ \chi^s_+(1) \chi^s_-(2) - \chi^s_-(1) \chi^s_+(2) \}$$

به همین نحو  $\chi^i_+(k)$  و  $\chi^i_-(k)$  را که ویژه حالت های  $i^2(k)$  و  $i^z(k)$  هستند

معرفی می کنیم

$$i_z(k) \chi^i_+(k) = +\frac{1}{2} \chi^i_+(k) \quad (6.17)$$

$$i_z(k) \chi^i_-(k) = -\frac{1}{2} \chi^i_-(k)$$

$\chi^i_+$  نمایشگر یک پروتون، و  $\chi^i_-$  نمایشگر یک نوترون است. حالت های ایزوسپین دونوکلئون در جدول ۱۰۱۷ داده شده اند. می بینیم که یک حالت از دو پروتون، یک حالت از دونوترون، و دو حالت از نوترون و پروتون وجود دارد.

به خاطر سادگی در چارچوب مرکز جرم کار می کنیم و حالتی با تکانه زاویه ای



جدول ۱۰۱۷. حالت‌های ایزوسپین دونوکلئون

محتوی	ایزوسپین $\psi$	$I_3$	$I$	نوع تقارن
$pp$	$\chi^i_+ (1)\chi^i_+ (2)$	$+1$	} ۱	مقارن
$np$	$2^{-1/2} \{ \chi^i_+ (1)\chi^i_- (2) + \chi^i_- (1)\chi^i_+ (2) \}$	$0$		
$nn$	$\chi^i_- (1)\chi^i_- (2)$	$-1$		
$np$	$2^{-1/2} \{ \chi^i_+ (1)\chi^i_- (2) - \chi^i_- (1)\chi^i_+ (2) \}$	$0$	$0$	پاد مقارن

مداری  $L = 0$  را در نظر می‌گیریم. در نتیجه

$$\Psi = \psi(r) \psi \quad (7.17)$$

که در آن  $r$  فاصله بین دو نوکلئون است.  $\psi(r)$  نسبت به تعویض دو نوکلئون مقارن است. با تلقی دو نوکلئون به صورت فرمیونهای یکسان، باید حاصلضربهای ایزوسپین  $\psi$  اسپین  $\psi$  را طوری انتخاب کرد که نسبت به تعویض دو نوکلئون پاد مقارن باشند تا اینکه تابع موج کل پاد مقارن درآید. به طوری که در جدول ۱۰۱۷. نموده شده است، شش حالت پاد مقارن ممکن وجود دارند.

حال نشان می‌دهیم که اگر همان دستگاه دونوکلئونی با  $L = 0$  را با این فرض که نوترون از پروتون قابل تمایز باشد، مورد بحث قرار دهیم، همان تعداد حالت‌های ممکن بدست خواهد آمد. در اینجا، تابع موج کل به صورت زیر است

$$\Psi = \psi(r) \psi \quad (8.17)$$

و باید سه حالتی که در آن دستگاه متشکل از  $pp$ ،  $nn$  یا  $np$  باشد را تفکیک کنیم. (الف) حالت  $nn$ . دستگاه از دو فرمیون یکسان تشکیل شده، و لذا باید  $S = 0$  باشد تا پاد مقارن بودن در تعویض دونوترون تأمین شود. یک حالت.

(ب) حالت  $pp$ . به همین نحو تنها  $S = 0$  قابل قبول است. یک حالت.

(ج) حالت  $np$ . دو ذره قابل تمایزند، لذا تابع موج به تقارنی مشروط نیست. هر دو حالت  $S = 0$  و  $S = 1$  مجازند. چهار حالت.

در مجموع شش حالت ممکن وجود دارد که با تعداد حالتها در ایزوسپین سازگار است. ما فقط حالت  $L = 0$  را مورد بررسی قرار دادیم، اما می‌توان نشان داد که تعداد حالتها در طرح ایزوسپین همیشه با بررسی جداگانه پروتون و نوترون از یکدیگر سازگار است (تمرین ۲).

جدول ۲۰۱۷ حالت‌های اسپین - ایزوسپین دونوکلئون با  $L = 0$ 

تعداد حالتها	حالت ایزوسپین	حالت اسپین
	پاد متقارن	متقارن
	$I = 0$	$S = 1$
۳	یک حالت $I_3 = 0$	سه حالت $S_3 = 0, \pm 1$
	متقارن	پاد متقارن
	$I = 1$	$S = 0$
۳	سه حالت $I_3 = 0, \pm 1$	یک حالت $S_3 = 0$
۶	مجموع	

## ۱۸. استقلال بار در نیروهای هسته‌ای

آزمایش‌های فیزیک هسته‌ای نشان می‌دهند که با تقریب خوبی نیروهای هسته‌ای مستقل از بارند.

در حالت  $I = 1$  سه نیروی ممکن وجود دارند که می‌توان متناظر با سه مقدار  $I_3$  در نظر گرفت.

$$I_3 = +1 \quad \text{نیروی } p-p$$

$$I_3 = 0 \quad \text{نیروی } n-p$$

$$I_3 = -1 \quad \text{نیروی } n-n$$

به‌طور تجربی معلوم شده‌است که این سه نیرو با تقریب خوبی یکسان هستند. در حالت  $I = 0$  تنها یک نیرو امکان پذیر است

$$I_3 = 0 \quad \text{نیروی } n-p$$

معلوم شده‌است که نیروی  $n-p$  در حسابات ایزوسپین  $I = 0$  از نیروی  $n-p$  در حسابات ایزوسپین  $I = 1$  تفاوت دارد.

جمع‌بندی مطالب با بیان اینکه نیروهای هسته‌ای تحت دوران در فضای بارناوردایند، امکان پذیر است. نیروی هسته‌ای به  $I_3$  بستگی ندارد ولی می‌تواند در واقع این چنین است که به  $I$ ، اندازه ایزوسپین که کمیته نرده‌ای در فضای ایزوسپین است، بستگی داشته باشد.

دوترون يك حالت مقید از نوترون و پروتون با  $S=1$ ،  $L=0$  و بنابراین  $I=0$  است، زیرا به طور کلی در هر دستگاه دونوکلثونی، برای برقراری اصل طرد پاؤلی، مجموع  $I$ ،  $S$  و  $L$  باید فرد باشد (تمرین ۱). بنابراین يك دستگاه مقید دونوکلثونی با حالت  $S=1$  و  $I=0$  وجود دارد.

هیچ حالت مقیدی از دوترون با  $S=0$  و  $I=1$  وجود ندارد، و این دلالت بر آن دارد که نباید حالت مقیدی از دونوترون یا دوپروتون انتظار داشت.

به علت استقلال بار نیروهای هسته‌ای، ایزوسپین کل يك عدد کوانتومی خوب نه تنها برای دونوکلثون بلکه برای چندین نوکلثون است، و بنابراین عدد کوانتومی مقیدی در فیزیک هسته‌ای است. اما ناوردایی کامل تحت دورانه‌ها در فضای ایزوسپین وجود ندارد، زیرا این ناوردایی در برهم کنشهای الکترومغناطیسی فرومی‌ریزد. از آنجایی که پروتون‌ها حاوی بار الکتریکی هستند، برهم کنش بین دوپروتون با برهم کنش بین دونوترون، به خاطر دافعه کولنی، تفاوت دارد. اما نیروهای هسته‌ای، صرف نظر از اثرات الکترومغناطیسی، تحت دوران در فضای ایزوسپین ناوردایند، ایزوسپین عدد کوانتومی خوبی است، و ایزوسپین يك دستگاه بر حسب زمان ثابت می‌ماند و لذا کمیتی پایسته است.

### ۱۹. ایزوسپین پیونها

حال اگر سه پیون  $\pi^+$ ،  $\pi^0$ ،  $\pi^-$  را به عنوان يك چندتاییه باری یا چند تاییه ایزوسپینی با چندتاییگی  $3 = 1 + 2I$  در نظر بگیریم، نتیجه می‌شود که  $I=1$  است. حالت  $I_3 = +1$  را به عنوان  $\pi^+$ ، حالت  $I_3 = 0$  را به عنوان  $\pi^0$  و حالت  $I_3 = -1$  را به عنوان  $\pi^-$  مشخص می‌کنیم. این نسبت داده‌ها، همان طوری که در زیر خواهیم دید، اختیاری نیستند. از آنجایی که ایزوسپین در برهم کنش بین نوکلثونها پایسته می‌ماند، و چون برهم کنش نوکلثون - نوکلثون قسمتی به خاطر مبادله پیونهای مجازی است، فرض پایستگی ایزوسپین در برهم کنش پیون - نوکلثون معقول به نظر می‌رسد. انتساب حالت‌های مختلف  $I_3$  به پیونهای گوناگون با پایستگی  $I_3$  ناسازگار است. واکنش مجازی زیر را در نظر می‌گیریم

$$n \rightarrow p + \pi^-$$

$(p + \pi^-)$  دارای  $I_3 = -1/2$  است، که همان مقدار  $I_3$  نوترون است. با این انتخاب (برای  $\pi^-$ ،  $I_3 = -1$ ) از پایستگی بار و عدد باریونی پایستگی  $I_3$  نیز حاصل می‌شود. بار  $Q$  را بر حسب واحد بار  $e$ ، می‌توانیم به صورت زیر بنویسیم

$$Q = I_3 + \frac{B}{2} \quad (1.19)$$

که در آن  $B$  عدد باریونی است. از آنجا که پاد ذره يك ذره با بار  $Q$  و عدد باریونی

به ترتیب بار  $Q$  - و عدد باریونی  $B$  - دارد، مؤلفه سوم ایزوسپین آن نیز  $I_3$  - خواهد بود که در آن  $I_3$  ایزوسپین ذره مربوط است (تمرین ۳).

به علت اثرات الکترومغناطیسی، برهم کنش کل بین نوکلئونها و پیونها در فضای ایزوسپین تحت دوران کاملاً ناوردان نیست، و بنابراین پایستگی ایزوسپین تنها جنبه تقریبی دارد. اما توجه داشته باشید که حتی با در نظر گرفتن اثرات الکترومغناطیسی  $I_3$  پایسته می ماند، زیرا پایستگی آن حاصل پایستگی بار و پایستگی عدد باریونی است.

در واکنشهایی که عمدتاً از طریق برهم کنش الکترومغناطیسی صورت می گیرند، نظیر گسیل یک فوتون یا آفرینش یک زوج الکترون - پوزیترون، ایزوسپین پایسته نمی ماند. در نتیجه، از آنجا که قویترین برهم کنش الکترون برهم کنش الکترومغناطیسی است، بی معنی خواهد بود که برای الکترون ایزوسپین تعریف کنیم. به همین نحو، تعریف ایزوسپین برای میون هم بی معنی خواهد شد.

بد عنوان نمونه ای از یک پیش بینی که بر اساس پایستگی ایزوسپین صورت گرفته، دو واکنش زیر را در نظر می گیریم

$$n + p \rightarrow d + \pi^0 \quad (2.19)$$

$$p + p \rightarrow d + \pi^+ \quad (3.19)$$

دوترون دارای  $I = 0$  است. بنا بر این برای حالت نهایی در هر دو واکنش داریم  $I = 1$ . برای  $(p + p)$ ،  $I = 1$  است، زیرا  $I_3 = +1$  است.  $(n + p)$  می تواند  $I = 0$  یا  $I = 1$  داشته باشد. جدول ۱۰۱۷ برای  $\chi^2_{(1)} + (2)\chi^2_{(2)}$  که نمایشگر  $(n + p)$  است، می توانیم بنویسیم

$$\chi^2_{(1)} - (1)\chi^2_{(2)} = \frac{1}{\sqrt{3}} \{ \psi \text{ ایزوسپین } (I = 1, I_3 = 0) - \psi \text{ ایزوسپین } (I = 0, I_3 = 0) \} \quad (4.19)$$

عبارت فوق دلالت بر این دارد که  $(n + p)$  ترکیبی از مقادیر متساوی حالت های  $I = 0$  و  $I = 1$  است. از آنجایی که تنها حالت  $I = 1$  در واکنش شرکت می کند، واکنش  $(n + p)$  باید مقطعی برابر نصف مقطع واکنش  $(p + p)$  در همان انرژی داشته باشد (از اثرات الکترومغناطیسی که کوچک هستند، صرف نظر می شود). این پیش بینی با نتایج آزمایش، در چارچوب خطای نسبتاً بزرگ آزمایش، تأیید شده است. مقطع واکنش ۲ توسط فلی ژین و همکاران (۱۹۵۹) اندازه گیری شده است و نتایج و مقایسه واکنش های ۲ و ۳ در جدول ۱۰۱۹ نشان داده شده اند.

جدول ۱۰۱۹

انرژی نوکلئون فرودی MeV	واکنش	توزیع زاویه‌ای	مقطع کل، $\sigma$ ( $10^{-27} \text{ cm}^2$ )	آزمایش
۵۸۰	$p + p \rightarrow \pi^+ + d$	$(0.216 \pm 0.022) + \cos^2\theta$	$3.10 \pm 0.24$	۱
۶۰۰	$n + p \rightarrow \pi^0 + d$	$(0.220 \pm 0.022) + \cos^2\theta$	$1.5 \pm 0.3$	فلی ژین (۱۹۵۹)
۶۶۰	$p + p \rightarrow \pi^+ + d$	$(0.223 \pm 0.030) + \cos^2\theta$	$3.1 \pm 0.2$	فلی ژین (۱۹۵۹)
۶۱۰	$p + p \rightarrow \pi^+ + d$		$3.15 \pm 0.22$	۲

تمرین

۱. نشان دهید که در يك دستگاه دونو کلتونی مقدار  $L+S+I$  باید فرد باشد تا اصل طرد پاؤلی برقرار بماند.
۲. تعداد حالت‌های يك دستگاه دونو کلتونی با  $L=1$  را به دست آورید (الف) از طرح ایزوسپین استفاده کنید، (ب) نوترون و پروتون را قابل تمایز بگیریید (بخش ۱۷ بحث حالت  $L=0$ ).  
۳. رابطه زیر را

$$Q = I_z + \frac{1}{2} B$$

- در مورد  $n, p, \bar{p}, \bar{n}, \pi^+, \pi^-, \pi^0$  ارزیابی کنید.
۴. (الف) مقادیر ممکن ایزوسپین يك دستگاه متشکل از يك نوکلئون و يك پيون را به دست آورید. (ب) ایزوسپین دستگاهی متشکل از يك پروتون و يك  $\pi^+$  چیست؟
  ۵. مقادیر ایزوسپین تمام دستگاه‌های  $2\pi$  چه هستند؟

مراجع

Eisberg, R. M., *Fundamentals of Modern Physics*, 1961. Wiley, New-York.

Fliagin, V. B., V. P. Dzhelepov, V. S. Kiselev and K. O. Oganesian, *Soviet Physics JETP*, 35(8) (1959) 592. In Russian, *J. Exptl. Theoret. Phys. (U.S.S.R.)* 35 (1958) 854.

## گشاورهای مغناطیسی

### ۲۰. گشاورهای مغناطیسی نوکلئون

برای بررسی کلاسیک يك ذره چرخان، باید فرض کنیم که ذره دارای گسترش کوچک و یا محدود است. در این صورت است که از نقطه نظر فیزیک کلاسیک، ذره چرخانی با بار الکتریکی دارای گشاور مغناطیسی خواهد بود. بار چرخان به منزله يك حلقه کوچک جریان عمل خواهد کرد.

در مکانیک کوانتومی نیز ذره باردار حاوی اسپین، گشاور مغناطیسی دارد. بر طبق معادله دیراک، که ذراتی با اسپین ۱/۲ را توصیف می کند، گشاور مغناطیسی ذره ای با اسپین ۱/۲ عبارت است از

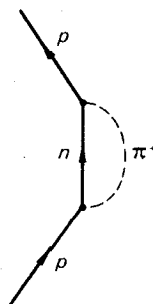
$$\frac{eh}{2Mc}$$

عبارت  $(eh/2M_p c)$  را که در آن  $M_p$  نمسایشگر جرم پروتون است، مگنتون هسته ای می نامند. گشاورهای مغناطیسی پروتون و نوترون که از طریق تجربی به دست آمده اند، عبارت اند از

$$\mu_p = +27928 \text{ مگنتون هسته ای}$$

$$\mu_n = -1836 \text{ مگنتون هسته ای}$$

بر طبق نظریه دیراک، مقادیر مورد انتظار عبارت اند از  $\mu_p = 1$  و  $\mu_n = 0$ . عقیده این است که حداقل بخشی از این اختلاف به خاطر تجزیه مجازی نوکلئونها به ذرات مشتمل بر مزونهای باردار است. تولید مجازی يك  $\pi^+$  توسط پروتون را،



شکل ۱۰۲۰

همان طوری که در نمودار فاینمن شکل ۱۰۲۰ نموده شده است، در نظر می گیریم.  $\pi^+$  دارای اسپین صفر است و بنابراین گشتاور مغناطیسی ندارد، ولی این ذره به علت گردش خود حول نوترون می تواند در گشتاور مغناطیسی کلی پروتون سهمی داشته باشد. در این فرایند باید پایداری تکانه زاویه ای کل و پارایته برقرار بماند. تکانه زاویه ای مدار پروتون را  $l=0$  و محور  $z$  را در امتداد اسپین پروتون در نظر می گیریم. بنابراین در ابتدا، تکانه زاویه ای کل عبارت است از

$$J = \frac{1}{2} \quad J_z = +\frac{1}{2}$$

و پارایته نیز به صورت زیر نوشته می شود

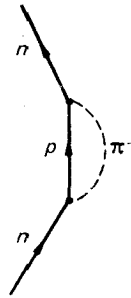
$$P = P_p = +1$$

پارایته حالت میانی نوترون و پیون عبارت است از  $(-1)^L = (-1)^{L+1}$  که در آن  $L$  تکانه زاویه ای کل در چارچوب مرکز جرم است.  $P_n = +1$ ،  $P_\pi = -1$ . پایداری تکانه زاویه ای کل را تضمین می کند، لذا  $L=0$  طرد می شود. از آنجایی که

$$J = L + S$$

است و  $S$  اسپین نوترون مساوی با  $1/2$  و نیز  $J = 1/2$  است،  $L$  می بایست مساوی با  $1$  شود. حالت میانی با  $J = 1/2$  و  $J_z = 1/2$ ، از ترکیب حالت  $(L_z = 1$  و  $S_z = -1/2)$  و حالت  $(L_z = 0$  و  $S_z = 1/2)$  درست می شود و حالت  $L_z = -1$  در آن نقشی نخواهد داشت. بدین ترتیب یک گردش خالص از  $\pi^+$  حول نوترون در همان جهتی که پروتون در ابتدا دوران می کرد، وجود دارد که این یک گشتاور مغناطیسی در همان جهت گشتاور مغناطیسی پروتون اولیه ایجاد می کند. گشتاور مغناطیسی ناشی از حرکت مداری یک ذره عبارت است از

$$\frac{e\hbar}{2Mc} L_z$$



شکل ۲۰۲۰

چون  $M_p \ll M_\pi +$  است، اثر تولید مجازی  $\pi^+$  افزایش گشتاور مغناطیسی پروتون است. و بنابراین، چنانکه مشاهده شده است،  $\mu_p > 1$  را انتظار داریم. به همین نحو می توان تجزیه مجازی نوترون به یک پروتون و یک پيون منفی را، همچنان که در شکل ۲۰۲۰ نموده شده است، مورد بررسی قرار داد. همچون گذشته، درمی یابیم که گردش خالصی از  $\pi^-$ ، در همان جهتی که نوترون اولیه گردش می کرد وجود دارد. گرچه بخش کوچکی از گشتاور مغناطیسی نوترون ناشی از اسپین خالص پروتون است، ولی قسمت اعظم گشتاور مغناطیسی، به علت جرم کوچکتر پيون، از گردش  $\pi^-$  ناشی می شود. سهم گشتاور مغناطیسی  $\pi^-$  به علت منفی بودن بارش، منفی است. بنابراین، چنانکه مشاهده شده است،  $\mu_n < 0$  را انتظار داریم.

این تقریباً آن حدی است که در جهت توضیح گشتاور مغناطیسی نوکلئونها بر حسب تولید مجازی مزونهای  $\pi$  می توان پیش رفت. حتی محاسبات دقیق هم چیز بیشتری از  $\mu_p > 1$  و  $\mu_n < 0$  را به دست نمی دهند. نیاز به یک نظریه فراگیر در مورد گشتاور مغناطیسی نوکلئونها هنوز هم احساس می شود. در آینده ذرات دیگری را مورد مطالعه قرار خواهیم داد که حاصل تجزیه مجازی نوکلئون خواهند بود و در گشتاور مغناطیسی نوکلئون نیز سهم خواهند بود. ولی از آنجایی که این ذرات از پيونها سنگینترند، انتظار نداریم که سهم آنها در نتیجه کیفی  $\mu_p > 1$  و  $\mu_n < 0$  تغییری ایجاد کند.

## ۲۱. گشتاورهای مغناطیسی بی هنجار الکترون و میون

با توجه به اینکه الکترون در برهم کنشهای مجازی با میدان الکترومغناطیسی، از قبیل گسیل یا جذب فوتونهای مجازی، شرکت می کند، می توان انتظار داشت که تصحیح کوچکی در گشتاور مغناطیسی الکترون وجود داشته باشد. این تصحیح کوچک را با استفاده از الکترو-دینامیک کوانتومی، می توان محاسبه کرد، و مقدار آن نیز اندازه گیری شده است. گشتاور مغناطیسی  $\mu$  وابسته به تکانه زاویه ای  $\hbar S$  یک ذره به جرم  $M$  را می توان



به صورت زیر نوشت

$$\mu = g \frac{e\hbar}{2Mc} s \quad (1.21)$$

که در آن  $g$  را عامل  $g$  می‌نامند و اولین بار در نظریه طیفهای اتمی به کار رفت (ایزبرگ، ۱۹۶۱). بر اساس معادله دیراک، عامل  $g$  برای ذره‌ای با اسپین  $1/2$  چنین است

$$g = 2$$

هنگامی که اثرات تشریح شده توسط الکترو دینامیک کوانتومی نیز در نظر گرفته شوند، تغییر کمی در مقدار عامل  $g$  حاصل می‌شود و به خاطر سادگی آن را به صورت زیر می‌نویسیم

$$g = 2(1+a) \quad (2.21)$$

به همین نحو عامل  $g$  میون نیز به علت برهم کنشهای مجازی آن با میدان الکترومغناطیسی با ۲ تفاوت دارد. در محاسبه اثر فوتونهای مجازی گسیل یافته از یک میون، باید تولید زوج الکترون-پوزیترون مجازی توسط این فوتونهای مجازی را هم در نظر گرفت.

کمیت  $a \equiv 1/2(g-2)$  برای الکترون و میون را، توسط آزمایشی که به نام آزمایش  $(g-2)$  خوانده می‌شود، می‌توان اندازه گرفت. هر گاه ذره‌ای با عامل  $g$  کاملاً برابر با ۲ از میان میدان مغناطیسی ثابتی عبور کند، جهت حرکت و جهت اسپین ذره با آهنگ یکسانی تغییر خواهند کرد. باریکه‌ای از این ذرات که در ابتدا به طور طولی قطبی شده‌اند، یعنی اسپینشان در جهت حرکت است، قطبیدگی طولی خود را حفظ خواهند کرد. نوع قطبیدگی باریکه‌ای از ذرات با  $g \neq 2$ ، که قطبیدگی ابتدایی آنها طولی باشد، با گذشت زمان تغییر خواهد کرد و با اندازه‌گیری تغییر جهت قطبش می‌توان مقدار  $(g-2)$  را تعیین کرد.

معادلات ناسپینتی حرکت ذره‌ای با اسپین در یک میدان مغناطیسی عبارت‌اند از

$$M \frac{d\mathbf{v}}{dt} = \frac{e}{c} \mathbf{v} \times \mathbf{H} \quad (3.21)$$

$$\frac{d(\hbar\mathbf{s})}{dt} = \mu \times \mathbf{H} \quad (4.21)$$

معادله (۴.۲۱)، مساوی بودن گشتاور نیرو را با آهنگ تغییر تکانه زاویه‌ای بیان می‌کند. گرچه در اصل اسپین کمیتی وابسته به مکانیک کوانتومی است، ولی برای توصیف حرکت تقدیمی آن حول میدان مغناطیسی می‌توان از معادله کلاسیک حرکت، معادله (۴.۲۱)، استفاده کرد. زیرا مقدار چشمداشتی یک کمیت کوانتومی از معادله حرکت کلاسیکی متناظر آن تبعیت می‌کند. بررسی کوانتومی روشنی از حرکت تقدیمی اسپین حول میدان مغناطیسی توسط فاینمن (۱۹۶۵) ارائه شده است. با جایگزینی معادله (۱.۲۱) در معادله (۴.۲۱)

داریم

$$\frac{ds}{dt} = \frac{ge}{\gamma Mc} \mathbf{s} \times \mathbf{H} \quad (۵.۲۱)$$

اسپین  $\mathbf{s}$  را به مؤلفه‌هایی در امتداد سرعت و عمود بر آن تجزیه می‌کنیم

$$\mathbf{s} = |\mathbf{s}|(\hat{\mathbf{v}} \cos \phi + \hat{\mathbf{n}} \sin \phi) \quad (۶.۲۱)$$

$\hat{\mathbf{n}}$  و  $\hat{\mathbf{v}}$  بردارهای واحد هستند و  $\hat{\mathbf{v}} \cdot \hat{\mathbf{n}} = 0$  است. از معادله (۳.۲۱)

$$\dot{\hat{\mathbf{v}}} = \frac{e}{Mc} \hat{\mathbf{v}} \times \mathbf{H} \quad (۷.۲۱)$$

با جایگزینی (۶.۲۱) در معادله (۵.۲۱) و با استفاده از (۷.۲۱) داریم

$$\begin{aligned} & \hat{\mathbf{n}} \dot{\phi} \cos \phi + \dot{\hat{\mathbf{n}}} \sin \phi - \hat{\mathbf{v}} \dot{\phi} \sin \phi \\ &= (g-2) \frac{e}{\gamma Mc} \cos \phi \hat{\mathbf{v}} \times \mathbf{H} + \frac{ge}{\gamma Mc} \sin \phi \hat{\mathbf{n}} \times \mathbf{H} \end{aligned} \quad (۸.۲۱)$$

برای ذره‌ای که اسپین آن در امتداد جهت حرکت باشد،  $\phi = 0$  است، و

$$\dot{\hat{\mathbf{n}}} \phi = (g-2) \frac{e}{\gamma Mc} \hat{\mathbf{v}} \times \mathbf{H} \quad (۹.۲۱)$$

یعنی این ذره یک قطبیدگی عرضی، عمود بر میدان مغناطیسی، به دست می‌آورد.

برای اسپین با جهت اختیاری، با ضرب نرده‌ای دو طرف معادله (۸.۲۱) در  $\hat{\mathbf{n}}$  و با

استفاده از  $\hat{\mathbf{n}} \cdot \hat{\mathbf{n}} = 0$  و  $\hat{\mathbf{n}} \cdot \hat{\mathbf{v}} = 0$  خواهیم داشت

$$\begin{aligned} \dot{\phi} &= (g-2) \frac{e}{\gamma Mc} \hat{\mathbf{n}} \cdot (\hat{\mathbf{v}} \times \mathbf{H}) \\ &= (g-2) \frac{e}{\gamma Mc} \hat{\mathbf{v}} \cdot (\hat{\mathbf{H}} \times \hat{\mathbf{n}}) \end{aligned} \quad (۱۰.۲۱)$$

معادله (۱۰.۲۱) به صورت نسبی هم توسط بارگمن، میشل و تلگدی (۱۹۵۹) به دست آمده‌است. برای باریکه‌ای از ذرات،  $\dot{\phi}$  آهنگی است که با آن قطبیدگی طولی به قطبیدگی

عرضی تغییر می‌یابد.

برای باریکه‌ای از ذرات که در جهتی عمود بر میدان مغناطیسی حرکت می‌کنند و

دارای اسپین عمود بر میدان مغناطیسی هستند، هندسه مسئله شکل ساده‌ای به خود می‌گیرد.

در این حالت داریم

$$\dot{\phi} = (g-2) \frac{e}{2Mc} \quad (11.21)$$

آزمایشهای مربوط به  $(g-2)$  برای الکترون و میون اخیراً توسط فارلی (۱۹۶۹) مرور شده‌اند. نتایج تجربی و نظری توسط پیکین (۱۹۷۰) به صورت زیر خلاصه شده‌اند

$$a \text{ الکترون (آزمایش)} = (1159644 \pm 7) \times 10^{-9}$$

$$a \text{ الکترون (نظری)} = (115962376 \pm 273) \times 10^{-9}$$

$$a \text{ میون (آزمایش)} = (116616 \pm 31) \times 10^{-8}$$

$$a \text{ میون (نظری)} = (11658772 \pm 272) \times 10^{-8}$$

گزارشی از آزمایشهای قدیمتر اندازه گیری  $(g-2)$  برای میون توسط پن‌مان (۱۹۶۱) ارائه شده‌است.

برخلاف گشتاور مغناطیسی نوکلئونها، که در مورد آن نظریه کاملی در دست نیست، الکترو دینامیک کوانتومی توصیف بسیار دقیقی از گشتاورهای مغناطیسی الکترون و میون ارائه می‌دهد.

### تمرین

تغییر کلی  $\phi$  برای یک مزون  $\mu$ ، که  $1000$  مرتبه از مداری دایره‌ای در یک میدان مغناطیسی بکنواخت عبور کرده باشد، چقدر است؟

### مراجع

Bargmann, V., L. Michel and V. L. Telegdi, *Phys. Rev. Lett*, 2 (1959) 435.

Eisberg, R. M., *Fundamentals of Modern Physics*, 1961. Wiley, New-York. Chapter 13.

Farley, F. J. M. *Rivista de Nuovo Cimento* 1 (1969) special number. 59.

Feynman, R. P., R. B. Leighton and M. Sands, *Quantum Mechanics*, Vol. III of *The Feynman Lectures on Physics*, 1965. Addison - Wesley. Reading, Mass. Section 7.5.

Penman, S., 'The muon', *Sci. Am*, July 1961. (Freeman, San Francisco.)

Pipkin, F. M., *Essays in Physics*, 2 (1970)1.

## ذرات شگفت

### ۲۲. خلاصه‌ای از ذرات شناخته شده تا سال ۱۹۴۷

در جدول ۱۰۲۲ خواص ذرات شناخته شده تا سال ۱۹۴۷ به طور خلاصه نموده شده است. و این جدول در مقایسه با ذرات فراوانی که تا کنون کشف شده‌اند، ساده بودن وضعیت را در آن زمان نشان می‌دهد. فوتون، الکترون، پروتون و نوترون همگی ذرات آشنای فیزیک

جدول ۱۰۲۲ ذرات شناخته شده تا سال ۱۹۴۷

فرمیونها

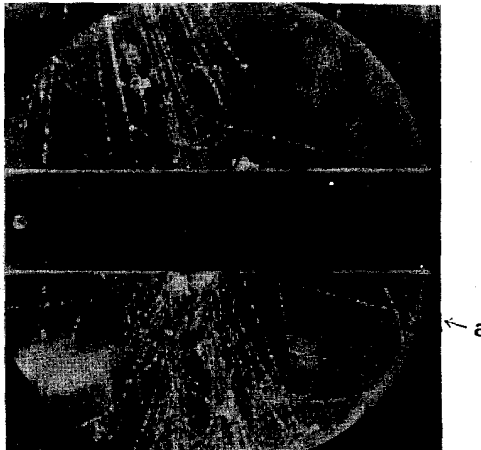
پاد ذره					ذره						
$Q$	$I_3$	$I$	$J$		$Q$	$I_3$	$I$	$J$			
ناپایدار	۰	$+\frac{1}{2}$	$\frac{1}{2}$	$\frac{1}{2}$	$\bar{n}$	ناپایدار	۰	$-\frac{1}{2}$	$\frac{1}{2}$	$\frac{1}{2}$	$n$
پایدار	-۱	$-\frac{1}{2}$	$\frac{1}{2}$	$\frac{1}{2}$	$\bar{p}$	پایدار	+۱	$+\frac{1}{2}$	$\frac{1}{2}$	$\frac{1}{2}$	$p$
ناپایدار	+۱	تعریف نشده است	$\frac{1}{2}$	$\frac{1}{2}$	$\bar{\mu}$	ناپایدار	-۱	تعریف نشده است	$\frac{1}{2}$	$\frac{1}{2}$	$\mu$
پایدار	+۱	تعریف نشده است	$\frac{1}{2}$	$\frac{1}{2}$	$\bar{e}$	پایدار	-۱	تعریف نشده است	$\frac{1}{2}$	$\frac{1}{2}$	$e$
پایدار	۰	تعریف نشده است	$\frac{1}{2}$	$\frac{1}{2}$	$\bar{\nu}$	پایدار	۰	تعریف نشده است	$\frac{1}{2}$	$\frac{1}{2}$	$\nu$

		بوزونها			
		$Q$	$I_3$	$I$	$J$
ناپایدار	$+1$	$+1$	$1$	$0$	$\pi^+$
ناپایدار	$0$	$0$	$1$	$0$	$\pi^0$
ناپایدار	$-1$	$-1$	$1$	$0$	$\pi^-$
پایدار	$0$	تعریف نشده است		$1$	$\gamma$

اتمی و هسته‌ای هستند. وجود پیون‌ها برای توضیح نیروهای هسته‌ای لازم بود. نوترینو هم به خوبی با نظریهٔ واپاشی  $\beta$  جور در می‌آمد. میون تنها ذره‌ای بود که ظاهراً دلیلی بر وجودش به دست نیامد. اهمیت وجودی میون يك معما بوده و هنوز هم هست.

### ۲۳. ذرات شگفت

در سال ۱۹۴۷ راجستر و باتلر موفق به تهیهٔ دو عکس در اتاقک ابر از ذرات ناشناخته در رگبار ذرات نافذ پرتو کیهانی شدند. این دو عکس در شکل‌های ۱۰۲۳ و ۲۰۲۳ نموده



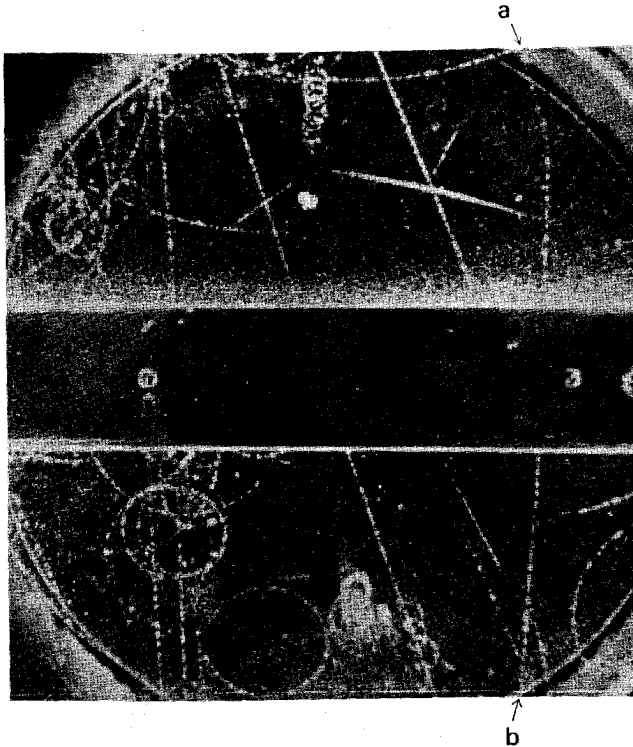
شکل ۱۰۲۳ عکسی از اتاقک ابر که توسط راجستر و باتلر (۱۹۴۷) گرفته شده است، واپاشی يك ذرهٔ خنثای سنگین را نشان می‌دهد. اولین نمونه از واپاشی  $\pi^+ + \pi^- \rightarrow K^0$ .

شده‌اند. مسیر چنگال‌وار  $ab$  در شکل ۱۰۲۳ ناشی از واپاشی يك ذرهٔ خنثای سنگین با جرمی حدود ۱۰۰۰ برابر جرم الکترون به دو ذرهٔ باردار است.

در شکل ۲۰۲۳، مسیر خمیده ناشی از واپاشی يك ذرهٔ باردار با جرمی حدود ۱۰۰۰ برابر جرم الکترون به يك ذرهٔ خنثی و يك ذرهٔ باردار است.

در ابتدا این ذرات را، به خاطر شکل مسیرهایی که توسط آنها کشف شدند، ذرات  $V$  نامیدند، و پس از مدتی به ذرات شگفت معروف شدند. مطالعات قابل ملاحظه‌ای بر روی ذرات  $V$  در ابتدا با استفاده از پرتوهای کیهانی انجام شد و پس از سال ۱۹۵۳، هنگامی که بهره‌برداری از شتابدهندهٔ انرژی بالای کازموترون در آزمایشگاه ملی بروکهاون آغاز شد، پژوهش روی ذرات  $V$  تولید شده در شتابدهنده‌های آزمایشگاهی نیز در کنار آنها قرار گرفت.

ذرات شگفت به دو گروه اصلی تقسیم می‌شوند. يك گروه شامل ذرات سنگینتر از



شکل ۲۰۲۳ عکسی از اتاقک ابر که توسط راجستر و باتلر (۱۹۴۷) گرفته شده است. واپاشی يك ذرهٔ باردار سنگین را نشان می‌دهد. اولین نمونه از واپاشی  $K^+ \rightarrow \mu^+ + \nu$

نوکلئونهاست که حاصل واپاشی آنها نوکلئونها هستند، و هیرون نامیده می‌شوند. هیرونهای گوناگون را با علائم  $\Lambda$ ،  $\Sigma$  و  $\Xi$  نشان می‌دهند. از آنجایی که سرانجام واپاشی هیرون به پروتون ختم می‌شود، هیرون را باریون و دارای عدد باریونی يك به حساب می‌آورند. هیرونها، پاد ذراتی با عدد باریونی ۱- نیز دارند. هیرونها دارای اسپین  $1/2$  بوده و فرمیون هستند. گروه دیگر ذرات شکفت، بوزونها هستند که دارای اسپین صفرند و مزون  $K$  یا کائون نامیده می‌شوند.

## ۲۴. تولید همبسته و شکفتی

یکی از ذرات شکفت ذره  $\Lambda^0$  است، ذره بدون باری که با عمر میانگین  $10^{-10} \times 25$  ثانیه واپاشیده می‌شود. مد اصلی واپاشی آن نیز به صورت زیر است



«زمان برهم کنش» برای واکنشهایی که شامل نوکلئونها و پیونها باشد به طور تقریبی بر حسب زمان لازم برای اینکه پیونی با سرعتی حدود سرعت نور فاصله‌ای مساوی برد نیروهای هسته‌ای را طی کند، داده می‌شود. این «زمان برهم کنش» حدود  $10^{-23}$  ثانیه است که خیلی کوچکتر از عمر واپاشی  $\Lambda^0$  و دیگر ذرات شکفت است. از طرف دیگر، آهنگی که با آن  $\Lambda^0$  و سایر ذرات شکفت تولید می‌شوند نیز با «زمان برهم کنش» حدود  $10^{-22}$  ثانیه، سازگار است.

برای توضیح این واقعیت که ذرات شکفت با چنین سرعتی تولید شده ولی آنچنان آهسته واپاشیده می‌شوند، بایس در سال ۱۹۵۲ پیشنهاد تولید همبسته ذرات شکفت را مطرح ساخت. او فرض کرد که ذرات شکفت در برهم کنشهای قوی، یعنی برهم کنشهایی با قدرت قابل قیاس با برهم کنش بین نوکلئونها، و یا بین پیونها و نوکلئونها، به صورت گروههای دوتایی تولید می‌شوند. ولی واکنشهایی که در آن فقط يك ذره شکفت شرکت می‌کند، مانند واکنش واپاشی ذره شکفت، از طریق برهم کنشهای ضعیفی شبیه واپاشی  $\beta$  یا واپاشی میونها یا پیونهای باردار صورت می‌گیرند. این ایده تولید همبسته ذرات شکفت توسط آزمایش نیز تأیید شده است، به عنوان مثال، در عکس اتاقلک ابر شکل ۱.۲۴ واکنش زیر



که از طریق برهم کنش قوی صورت گرفته، و به دنبال آن واپاشیهای زیر



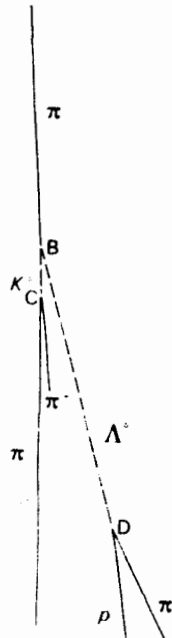
که از طریق برهم کنش ضعیف صورت گرفته، نموده شده‌اند. ذرات خنثای  $K^0$  و  $\Lambda^0$  در اتاقلک ابر مسیری از خود بر جای نمی‌گذارند، ولی حضورشان را می‌توان از ارتباط بین

نقطه‌های واکنش B، C، D، و از پایستگی انرژی و تکانه استنتاج کرد. در سال ۱۹۵۳ گلמן و نیشیجیما نشان دادند که تولید همبسته ذرات شگفت را می‌توان با معرفی يك عدد کوانتومی جمع پذیر جدید به نام شگفتی، و با فرض پایستگی شگفتی در برهم کنشهای قوی توضیح داد. بدین ترتیب، به عنوان مثال، دو ذره شگفت با شگفتیهای مخالف می‌توانند از طریق برهم کنش قوی در برخورد يك پيون با يك نوکلئون تولید شوند. در واپاشی بعدی هر يك از این ذرات شگفت، چون شگفتی پایسته نیست، واپاشیها به برهم کنشهای ضعیف نسبت داده می‌شوند و بنا بر این آهسته خواهند بود. شگفتی S ذره‌ای که می‌تواند در يك برهم کنش قوی شرکت کند، توسط رابطه زیر تعریف می‌شود

$$Q = I_{\pi} + \frac{B}{\gamma} + \frac{S}{\gamma} \quad (5.24)$$

به عنوان مثال برای  $S = 0$ ، معادله (۵.۲۴) به رابطه زیر تبدیل می‌شود

$$Q = I_{\pi} + \frac{B}{\gamma} \quad (6.24)$$



شکل ۱۰۲۴ يك  $\pi^-$  با انرژی بیلیون الکترون ولت در برخورد با يك پروتون،  $K^0$  و  $\Lambda^0$  را تولید می‌کند. عکس اتاقت ابر از فولر وهمکاران (۱۹۵۴) است.



این همان رابطه قبلی است که برای نوکلئونها و مزونهای  $\pi$  داشتیم. بنابراین نوکلئونها و پیونها دارای شگفتی  $S = 0$  هستند.

ذره  $\Lambda^0$  را که قبلا درباره آن بحث شد، در نظر بگیرید.

$\Lambda^0$  جرم ۱۱۱۶ مگا الکترون ولت دارد، و هیچ ذره باردارنی با جرم نزدیک به آن وجود ندارد. بنابراین چندتاییگی  $\Lambda$  عبارت است از

$$1 = 2I + 1$$

لذا  $I = 0$ ، یعنی  $\Lambda$  تک تاییه ای ایزوسپینی است. از واپاشی معادله (۴.۲۴)، معلوم می شود که  $\Lambda^0$  دارای عدد باریونی  $B = 1$  است، زیرا عدد باریونی در تمام واکنشها پایسته است. با قراردادن  $B = 1$ ،  $I_3 = 0$  و  $Q = 0$  در معادله (۵.۲۴)، عددشگفتی  $\Lambda^0$  به صورت  $-1$  ارائه می شود. با توجه به معادله (۴.۲۴) برای واپاشی  $\Lambda^0$ ، می بینیم که طرف چپ معادله دارای  $S = -1$  است درحالی که طرف راست معادله  $S = 0$  را داراست. بنابراین در واپاشی  $\Lambda^0$  شگفتی پایسته نمی ماند.

از آنجایی که واکنش ارائه شده در معادله (۴.۲۴) واکنشی قوی است که در آن عدد شگفتی پایسته است، می توانیم شگفتی مزون  $K^0$  را با استفاده از پایستگی شگفتی به دست آوریم

$$S = 1$$

از آنجایی که مزون  $K^0$  دارای عدد باریونی  $B = 0$  است، از معادله (۵.۲۴) مؤلفه سوم ایزوسپین  $K^0$  را چنین بدست می آوریم

$$I_3 = -\frac{1}{2}$$

## ۲.۵. مزونهای $K$

از آنجایی که مزونهای  $K$  با بارهای  $+e$ ،  $-e$  و صفر وجود دارند، به نظر می رسد که مزونهای  $K$  می توانند يك سه گانه ایزوسپینی با  $I = 1$  تشکیل دهند. اما، این موضوع با نتیجه قسمت قبل که برای  $K^0$  مقدار  $I_3 = -1/2$  را بدست می داد و مستلزم نیمه درست بودن  $I$  می شد، ناسازگار است.

با در نظر گرفتن  $K^+$  و  $K^0$  به صورت يك دوتاییه ایزوسپینی با  $I = 1/2$  طرحی سازگار به دست می آید. در این طرح  $K^+$  دارای  $I_3 = +1/2$  و  $K^0$  دارای  $I_3 = -1/2$  است.  $K^+$  و  $K^0$  هر يك دارای  $S = +1$  هستند.

$K^-$  پاد ذره  $K^+$  بوده و دارای  $S = -1$ ،  $I = 1/2$  و  $I_3 = -1/2$  است. در این صورت  $K^0$  باید يك پاد ذره  $\bar{K}^0$  با  $S = -1$ ،  $I = 1/2$  و  $I_3 = +1/2$

جدول ۱۰۲۵ اعداد کوانتومی مزونهای K.

$K^-$	$\bar{K}^0$	$K^0$	$K^+$		
۰	۰	۰	۰	B	عدد باریونی
$\frac{1}{2}$	$\frac{1}{2}$	$\frac{1}{2}$	$\frac{1}{2}$	I	ایزوسپین
$-\frac{1}{2}$	$+\frac{1}{2}$	$-\frac{1}{2}$	$+\frac{1}{2}$	$I_3$	مؤلفه سوم ایزوسپین
-۱	-۱	+۱	+۱	S	شگفتی

داشته باشد. دو نوع متمایز کائون خنثی می‌باید وجود داشته باشد. این موضوع را وجود دو ثابت واپاشی مختلف برای کائون خنثی اثبات می‌کند؛ واپاشی مزونهای خنثای K يك واپاشی نمایی خالص نیست (این موضوع با تفصیل بیشتری در فصل ۹ مورد بحث قرار خواهد گرفت).

خواص مزونهای K در جدول ۱۰۲۵ خلاصه شده‌اند.

تفاوت بین ایزوسپین انتسابی به مزونهای  $\pi$  و مزونهای K را باید در نظر داشت. مزونهای  $\pi$  يك سه‌تایه ایزوسپینی تشکیل می‌دهند، با خواص زیر

$$\bar{\pi}^+ = \pi^-$$

$$\bar{\pi}^0 = \pi^0$$

یعنی  $\pi^-$  پادذره  $\bar{\pi}^+$  است و  $\pi^0$  پاد ذره خودش. مزونهای K دو دوتایه ایزوسپین تشکیل می‌دهند، با خواص زیر

$$\bar{K}^+ = K^-$$

$$\bar{K}^0 \neq K^0$$

پاد ذره  $K^0$  با خود ذره  $K^0$  تفاوت دارد.

در اولین دید در مورد بوزونهای خنثی، وجود بوزونهایی با پاد ذره‌های متفاوت و همچنین وجود بوزونهایی که پاد ذره خود هستند، ممکن است گیج‌کننده به نظر آید. اما، با در نظر گرفتن بوزونهای خنثی به صورت ترکیبی از زوج فرمیونها به سهولت دیده می‌شود

که هر دو نوع بوزون خنثی باید وجود داشته باشند. بوزونی که از يك فرمیون و يك پاد فرمیون متناظر با آن تشکیل شده باشد، پاد ذره خودش خواهد بود. مثالی از این نوع، پوزیترونیم است که حالت مقیدی از پوزیترون و الکترون است. بوزونی متشکل از دو فرمیون، به طوری که یکی از فرمیونها پاد ذره دیگری نباشد، باید پاد ذره‌ای متشکل از دو پاد فرمیون متناظر داشته باشد. مثالی از این نوع بوزون خنثی، اتم هیدروژن است که حالت مقیدی از يك الکترون و يك پروتون است.

## ۲.۶ هیبرونها

هیبرونها مرکب از ذرات  $\Lambda$ ،  $\Sigma$  و  $\Xi$  هستند که همگی اسپین  $J = 1/2$  و عدد باریونی  $B = 1$  دارند.  $\Sigma$  دارای شگفتی  $S = -1$  بوده و يك سه تایی ایزوسپینی  $I = 1$ ، به صورتهای  $\Sigma^+$ ،  $\Sigma^0$  و  $\Sigma^-$  تشکیل می‌دهد.  $\Xi$  دارای  $S = -2$  بوده و به صورتهای  $\Xi^0$  و  $\Xi^-$  یافت می‌شود و يك دو تایی ایزوسپینی،  $I = 1/2$ ، تشکیل می‌دهد. ذره  $\Xi$  را هیبرون آبشاری یا ذره آبشاری می‌نامند، زیرا این ذره مستقیماً به نوکلئونها واپاشیده نمی‌شود، بلکه واپاشی آن از طریق  $\Lambda^0$  به صورت آبشار انجام می‌گیرد

$$\Xi^- \rightarrow \Lambda^0 + \pi^- \quad \Delta S = +1$$

$$\Xi^0 \rightarrow \Lambda^0 + \pi^0 \quad \Delta S = +1$$

و به دنبال آن، داریم

$$\Lambda^0 \rightarrow p + \pi^- \quad \Delta S = +1$$

یا

$$\Lambda^0 \rightarrow n + \pi^0 \quad \Delta S = +1$$

تمام هیبرونها پاد ذره دارند.

ذرات حاوی برهم کنش قوی که تا سال ۱۹۵۷ شناخته شده‌اند، در شکل ۱۰۲۶ و جدول ۱۰۲۶ خلاصه شده‌اند.

باید به این نکته توجه کرد که شگفتی برای تمام اعضای يك چندتایی ایزوسپین یکسان است.

به علت پیشرفتهای بعدی در نظریه ذرات بنیادی، که در فصلهای بعدی با آنها آشنا خواهیم شد، متداولتر است که از فوق بار به جای شگفتی استفاده کنیم. فوق بار  $Y$  به صورت زیر تعریف می‌شود

$$Y = B + S$$

در نتیجه معادله (۵.۲۴) به صورت زیر در می‌آید

$$Q = I_3 + \frac{1}{2}Y$$

باریونها	مزونها	پاد باریونها	
$\frac{1}{2}$	0	$\frac{1}{2}$	<i>J</i>
+1	0	-1	<i>B</i>
-1 0 +1	-1 0 +1	-1 0 +1	<i>Q</i>
$\Xi^- \Xi^0$		$\Xi^+ \Xi^0$	۱۴۰۰
$\Sigma^- \Sigma^0 \Sigma^+$		$\Sigma^+ \Sigma^0 \Sigma^-$	۱۲۰۰
$\Delta^0$		$\Lambda^0$	۱۰۰۰
<i>P</i> <i>n</i>		$\bar{P}$ $\bar{n}$	۸۰۰
			۶۰۰
	$K^- K^0 K^+ K^+$		۴۰۰
	$\pi^- \pi^0 \pi^+$		۲۰۰
			۰

جرم بر حسب MeV

شکل ۱۰۲۶ ذرات حاوی برهم کنشهای قوی که تا سال ۱۹۵۷ شناخته شده‌اند.

جدول ۱۰۲۶ اعداد کوانتومی ذرات حاوی برهم کنشهای قوی که تا سال ۱۹۵۷ شناخته شده‌اند.

مزونها				باریونها			
$I_3$	$I$	$S$		$I_3$	$I$	$S$	
$-\frac{1}{2}$	$\frac{1}{2}$	$+1$	$K^0$	$-\frac{1}{2}$	$\frac{1}{2}$	$-2$	$\Xi^-$
$+\frac{1}{2}$	$\frac{1}{2}$	$+1$	$K^+$	$+\frac{1}{2}$	$\frac{1}{2}$	$-2$	$\Xi^0$
$+\frac{1}{2}$	$\frac{1}{2}$	$-1$	$\bar{K}^0$	$+\frac{1}{2}$	$\frac{1}{2}$	$+2$	$\Xi^-$
$-\frac{1}{2}$	$\frac{1}{2}$	$-1$	$K^-$	$-\frac{1}{2}$	$\frac{1}{2}$	$+2$	$\Xi^0$
$-1$	$1$	$0$	$\pi^-$	$-1$	$1$	$-1$	$\Sigma^-$
$0$	$1$	$0$	$\pi^0$	$0$	$1$	$-1$	$\Sigma^0$
$+1$	$1$	$0$	$\pi^+$	$+1$	$1$	$-1$	$\Sigma^+$
				$+1$	$1$	$+1$	$\bar{\Sigma}$
				$0$	$1$	$+1$	$\bar{\Sigma}^0$
				$-1$	$1$	$+1$	$\bar{\Sigma}^+$
				$0$	$0$	$-1$	$\Lambda^0$
				$0$	$0$	$+1$	$\bar{\Lambda}^0$
				$-\frac{1}{2}$	$\frac{1}{2}$	$0$	$n$
				$+\frac{1}{2}$	$\frac{1}{2}$	$0$	$p$
				$+\frac{1}{2}$	$\frac{1}{2}$	$0$	$\bar{n}$
				$-\frac{1}{2}$	$\frac{1}{2}$	$0$	$\bar{p}$

از آنجایی که عددباریونی  $B$  در تمام واکنشها پایسته است، پایستگی یا ناپایستگی شگفتی معادل پایستگی یا ناپایستگی فوق بار خواهد بود.  
تاریخ مختصر و جالبی از کشفیاتی که در فیزیک ذرات، از جمله در کشف ذرات شگفت، صورت گرفته، توسط یانگ (۱۹۶۲) ارائه شده است.

### تمرین

۱. شاهد تجربی که منجر به ایده تولید همبسته ذرات شگفت شد، چه بود؟
۲. برای یک واپاشی دو جسمی

$$A \rightarrow B + C$$

نشان دهید که در چارچوب مقایسه‌ای که در آن  $A$  در حال سکون است (چارچوب سکون  $A$ ) انرژی جنبشی ذره  $B$  توسط رابطه زیر داده می‌شود

$$T_B = \frac{\{(M_A - M_B)^2 - M_C^2\} c^2}{2M_A}$$

۳. با استفاده از نتیجه تمرین ۲ انرژی جنبشی هر یک از محصولات واپاشیهای زیر را که در حالت سکون رخ می‌دهند، بدست آورید

$$\pi^0 \rightarrow \gamma + \gamma \quad (\text{ب}) \quad \pi^+ \rightarrow \mu^+ + \nu \quad (\text{الف})$$

$$K^+ \rightarrow \pi^+ + \pi^0 \quad (\text{د}) \quad K^+ \rightarrow \mu^+ + \nu \quad (\text{ج})$$

$$\Lambda^0 \rightarrow n + \pi^0 \quad (\text{و}) \quad \Lambda^0 \rightarrow p + \pi^- \quad (\text{ا})$$

$$\Sigma^0 \rightarrow \Lambda^0 + \gamma \quad (\text{ح}) \quad \Sigma^+ \rightarrow p + \pi^0 \quad (\text{ز})$$

$$\Xi^+ \rightarrow \Lambda^0 + \pi^+ \quad (\text{ی}) \quad \Xi^0 \rightarrow \Lambda^0 + \pi^0 \quad (\text{ط})$$

۴. کدام یک از فرایندهای زیر از طریق برهم کنشهای قوی نمی‌تواند صورت گیرد، و چرا؟

$$K^+ \rightarrow \pi^+ + \pi^0 + \pi^0 \quad (\text{ب}) \quad K^- \rightarrow \pi^- + \pi^0 \quad (\text{الف})$$

$$\Sigma^+ + n \rightarrow \Sigma^- + p \quad (\text{د}) \quad K^- + p \rightarrow K^0 + n \quad (\text{ج})$$

$$\Lambda^0 + n \rightarrow \Sigma^- + p \quad (\text{و}) \quad \Lambda^0 \rightarrow \Sigma^+ + \pi^- \quad (\text{ا})$$

$$\pi^+ + n \rightarrow K^+ + \Sigma^0 \quad (\text{ز})$$

۵. انرژی آستانه هر یک از واکنشهای زیر را محاسبه کنید

$$\pi^- + p \rightarrow K^0 + \Sigma^0 \quad (\text{ب}) \quad \pi^+ + n \rightarrow K^+ + \Sigma^0 \quad (\text{الف})$$

$$p + p \rightarrow p + \Sigma^+ + K^0 \quad (\text{ج})$$

### مراجع

Fowler, W. B., R. P. Shutt, A. M. Thorndike and W. L. Whittemore,  
*Phys. Rev.*, 93 (1954) 861.

Rochester, G. D. and C. C. Butler, *Nature*, 160 (1947) 855.



## ناپایستگی پاریته

### ۲۷. معمای $\theta$ - $\tau$

تا قبل از دستیابی فیزیکدانها به طرح ذرات شگفت، که در فصل گذشته تشریح شد، مقدار قابل توجهی سر درگمی وجود داشت. نیازی به مطرح کردن خیلی از این سر درگمیها نیست، ولی يك مسئله اساسی که حل آن نقش مهمی در ایجاد رضایت در میان فیزیکدانها بازی کرد، و به کشف ناپایستگی پاریته منجر شد را مورد بررسی قرار می‌دهیم. در میان مدهای مختلف واپاشی مزون  $K$ ، می‌توان از دو مد زیر نام برد

$$K \rightarrow \pi + \pi \quad \text{مد } \theta \quad (1.27)$$

$$K \rightarrow \pi + \pi + \pi \quad \text{مد } \tau \quad (2.27)$$

در ابتدا چنین فکر می‌شد که دو نوع مزون مختلف، مزون  $\theta$  و مزون  $\tau$ ، وجود دارند که به ترتیب به دو پیون و سه پیون واپاشیده می‌شوند. نتایج تجربی نشان می‌داد که ذرات  $\theta$  و  $\tau$  دارای جرم و عمر یکسانی هستند. ولی با فرض پایستگی پاریته در واکنشهای واپاشی، بدون تردید، بدین نتیجه می‌رسیدیم که  $\theta$  و  $\tau$  دارای پاریته‌های ذاتی متفاوت هستند.

واپاشی در حال سکون  $\theta^+$  را در نظر بگیرید

$$\theta^+ \rightarrow \pi^+ + \pi^0 \quad (3.27)$$

با فرض پایستگی پاریته، داریم

$$P_{\theta^+} = P_{\pi^+} + P_{\pi^0} (-1)^l \quad (4.27)$$

که در آن  $l$  تکانه زاویه‌ای مداری دستگاه  $\pi^+ - \pi^0$  است. از آنجا که  $-1 = P_{\pi^+} = P_{\pi^0}$  است، بنابراین داریم

$$P_{\theta^+} = (-1)^l \quad (5.27)$$

از آنجایی که تکانه زاویه‌ای نیز باید پایسته باشد و پیوندهای اسپین صفرند، می‌توانیم نتیجه بگیریم که  $l = J$  خواهد شد، که در آن  $J$  اسپین  $\theta^+$  است. بنابراین

$$P_{\theta^+} = (-1)^J \quad (6.27)$$

و اسپین و پاریته ذره  $\theta^+$  به مقادیر زیر محدود خواهد شد

$$J^P = 0^+, 1^-, 2^+, \dots \quad (7.27)$$

حال واپاشی در حال سکون  $\pi^+$  را در نظر می‌گیریم

$$\pi^+ \rightarrow \pi^+ + \pi^+ + \pi^- \quad (8.27)$$

نخست زیر دستگاه  $(\pi^+ + \pi^+)$  را در نظر می‌گیریم، که چون از دو بوزون یکسان تشکیل شده است، باید دارای تسابح موج متقارنی نسبت به تعویض دو پیون بوده، و بنابراین باید تکانه زاویه‌ای مداری زوجی داشته باشد. به طوری که اسپین و پاریته این زیر دستگاه دو پیونی به مقادیر

$$J^P_{\pi^+\pi^+} = 0^+, 2^+, 4^+, \dots \quad (9.27)$$

محدود می‌شوند. اسپینها و پاریته‌های قابل قبول برای دستگاه سه پیونی به تکانه مداری  $l$  پیون  $\pi^-$  بستگی دارند. اما شواهد تجربی امکان گسیل پیون  $\pi^-$  تکانه مداری  $l$  مخالف صفر را رد می‌کند. زیرا در شرایط  $l > 0$  و انرژیهای پایین، انتظار مشاهده مزونهای  $\pi^-$  از آنچه در واقعیت مشاهده می‌شود، کمتر خواهد بود. در نتیجه  $l = 0$  است و چون پاریته ذاتی فرد دارد، اسپین و پاریته نهایی دستگاه سه پیونی و، با توجه به پایداری تکانه زاویه‌ای و پاریته، اسپینها و پاریته‌های مزون  $\pi^+$  به مقادیر زیر محدود خواهند شد

$$J^P = 0^-, 2^-, 4^-, \dots \quad (10.27)$$

ولی این حالات در میان اسپینها و پاریته‌های انتسابی به  $\theta^+$ ، در معادله (۷.۲۷)، دیده نمی‌شوند.

بنابراین  $\theta^+$  و  $\pi^+$  یا، علی‌رغم یکسانی جنبه‌های دیگرشان، دارای پاریته‌های متفاوتی هستند، و یا اینکه پاریته در واپاشی مزونهای  $\theta$  و  $\pi$  پایسته نیست. فرایندهای واپاشی، برهم‌کنشهای ضعیف‌اند و قدرتی قابل مقایسه با برهم‌کنش واپاشی  $\beta$  دارند. در سال ۱۹۵۶ لی و یانگ خاطر نشان کردند که دلیلی بر پایداری پاریته در واپاشی  $\beta$  و یا سایر برهم‌کنشهای ضعیف وجود ندارد، اگرچه پاریته در برهم‌کنشهای



قوی و الکترومغناطیسی پایسته است. آزمایشهای مربوط به واپاشی بنای  $^{60}\text{Co}$  که توسط وو، آمبلر، هیوارد، هاپس و هودسن در سال ۱۹۵۷ انجام گرفت، اثبات کرد که پاریته در واپاشی  $\beta$  پایسته نیست. آزمایشهایی که در دانشگاه کلمبیا توسط گاروین، لدرمان و واین ریچ و در دانشگاه شیکاگو توسط فریدمان و تلگری صورت گرفت، اثبات کرد که پاریته در واپاشی  $e \rightarrow \mu \rightarrow \pi$  پایسته نیست. به سرعت، آزمایشهای متعددی انجام گرفتند که اثبات می کردند پاریته در برهم کنشهای ضعیف پایسته نیست.

جواب معمای  $\theta - \tau$  این است که این دو ذره که اکنون مزون  $K$  نامیده می شوند، یکسان هستند، و در واپاشی این مزونهای  $K$  پاریته پایسته نمی ماند.

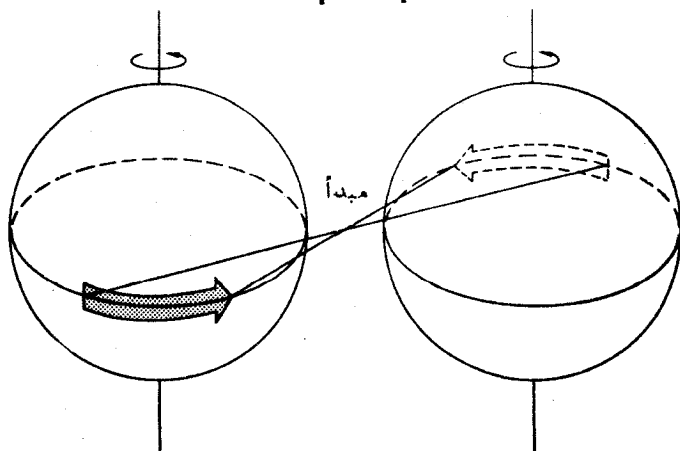
### ۲۸. قطبیدگی ذرات $\beta$

آزمایش راهگشای وو، آمبلر و همکاران شامل استفاده از  $^{60}\text{Co}$  به عنوان گسیلنده پرتوهای  $\beta^-$  بود که هسته های آن، با استقرار در يك میدان مغناطیسی قوی و با سرد کردن محیط، همجهت شده بودند. این آزمایش نسبتاً پیچیده ای بود و بعد از آن راههای آسانتری برای نشان دادن ناپایستگی پاریته پیدا شد. یکی از ساده ترین آنها که اندازه گیری قطبیدگی طولی ذرات بنای گسیلنده از هسته های ناقطبی است، را مورد بررسی قرار خواهیم داد.

برای بررسی اثر پایستگی یا ناپایستگی پاریته بر قطبیدگی، دانستن اثر وارون سازی مختصات فضایی (نسبت به مبدأ) بر روی اسپین ضرورت دارد. شکل ۱۰۲۸ نشان می دهد که برای يك جسم چرخان کلاسیک، جهت تکانه زاویه ای در تبدیل وارونی تغییر نمی کند. به طور کلی، اثر تبدیل وارونی بر روی مکان و تکانه عبارت است از

$$\mathbf{r} \rightarrow -\mathbf{r}$$

$$\mathbf{p} \rightarrow -\mathbf{p}$$



شکل ۱۰۲۸ اثر وارونی مختصات بر روی يك جسم چرخان کلاسیک.

$$\mathbf{r} \rightarrow -\mathbf{r}$$

$$\mathbf{p} \rightarrow -\mathbf{p}$$

بنابراین اثر آن بر روی تکانه زاویه‌ای  $\mathbf{M} = \mathbf{r} \times \mathbf{p}$  عبارت است از

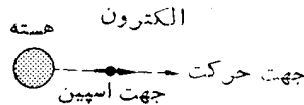
$$\mathbf{r} \times \mathbf{p} \rightarrow \mathbf{r} \times \mathbf{p}$$

اسپین هم، از نظر مکانیک کوانتومی، همان طوری که توسط مرز باخر (۱۹۷۵) نشان داده شده است، در تبدیل وارونی بدون تغییر باقی خواهد ماند.

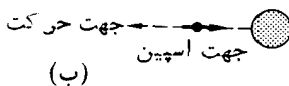
الکترونی را در نظر می‌گیریم که جهت اسپین آن در جهت حرکتش بوده و توسط واپاشی بتای هسته پرتوزایی که در مبدأ چارچوب مختصات قرار دارد، همان طوری که در شکل ۲۰۲۸ الف نموده شده است، گسیل شود. با انجمان يك وارونی نسبت به مبدأ بر روی این دستگاه، جهت حرکت الکترون معکوس می‌شود ولی جهت اسپین آن بدون تغییر باقی می‌ماند. بنابراین، همان گونه که در شکل ۲۰۲۸ ب نموده شده است، اسپین الکترون در جهتی مخالف جهت حرکتش قرار خواهد گرفت. اگر عامل فیزیکی واپاشی  $\beta$  بخواید تحت وارونی ناوردا باشد، باید تعداد الکترونهاي گسیل یافته با اسپین موازی بسا جهت حرکت با الکترونهاي گسیل یافته بسا اسپین خلاف جهت حرکت برابر کند.

در واپاشی بتای  $Co^{60}$  معلوم شده است که الکترونهاي گسیل یافته يك قطبیدگی خالص منفی نسبت به امتداد حرکتشان دارند، بدین معنی که الکترونهاي بیشتری با اسپین مخالف جهت حرکت گسیل می‌یابند تا با اسپین موازی بسا جهت حرکت. این قطبیدگی را می‌توان با تبدیل باریکه‌ای با قطبیدگی طولی به باریکه‌ای با قطبیدگی عرضی آشکار ساخت. برای تغییر جهت دادن حرکت الکترونها به اندازه  $90^\circ$ ، از يك میدان الکتريکی استفاده می‌شود که در تقریب نانبیستی جهت اسپین را بدون تغییر باقی می‌گذارد (شکل ۳۰۲۸). با مختصر تغییری در زاویه انحراف الکترونها از  $90^\circ$ ، اثرات نسبیتی را می‌توان ملحوظ داشت. منحرف کننده الکتريکی همچنین به عنوان يك گزیننده سرعت عمل می‌کند، در نتیجه اندازه گیری قطبیدگی بر روی الکترونهاي با سرعت معین صورت می‌گیرد.

قطبیدگی عرضی را می‌توان از طریق انسدادگیری پراکندگی الکترونها توسط هدف نازکی از يك عنصر سنگین، و کشف هر گونه عدم تقارن در پراکندگی عمود بر جهت



(الف)



(ب)

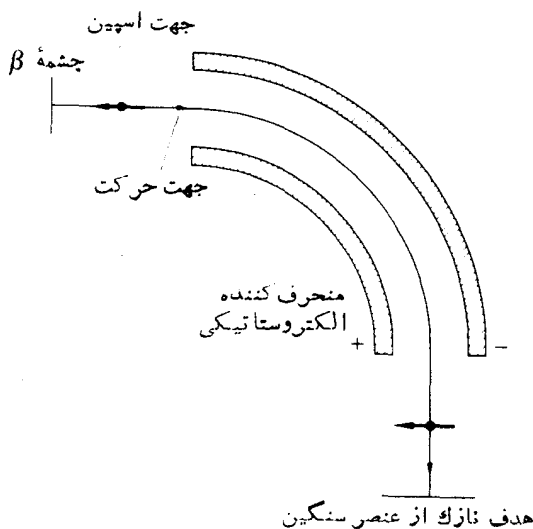
شکل ۲۰۲۸ (الف) هسته در مبدأ، الکترونی با اسپین همجهت با حرکت گسیل می‌کند.

(ب) در اثر وارونی، اسپین در جهت خلاف حرکت الکترون قرار می‌گیرد.

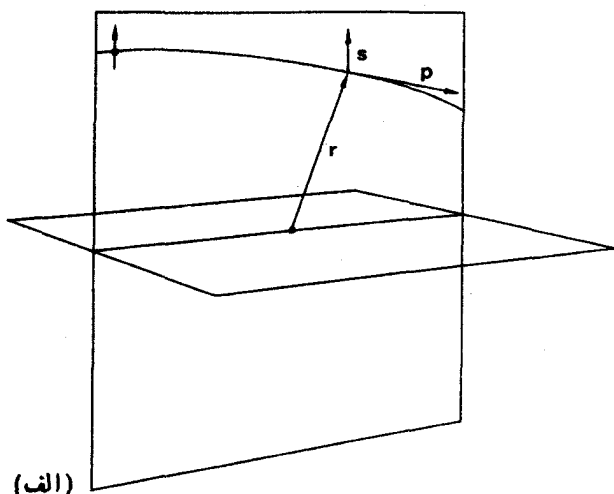
اسپین الکترونها آشکار ساخت. الکترونها توسط هسته‌های هدف پراکنده می‌شوند. پراکندگی الکترونی با اسپین عمود بر جهت حرکتش را توسط يك هسته، آنچنان‌که در شکل ۴.۲۸ نموده شده است، مورد بررسی قرار می‌دهیم. در این پراکندگی، علاوه بر نیروی جاذبه کولنی بین هسته و الکترون، يك نیروی اسپین-مدار هم وجود دارد که بر الکترون اثر می‌گذارد. این نیروی اسپین-مدار متناسب است با

$$\mathbf{s} \cdot \mathbf{l} = \mathbf{s} \cdot (\mathbf{r} \times \mathbf{p})$$

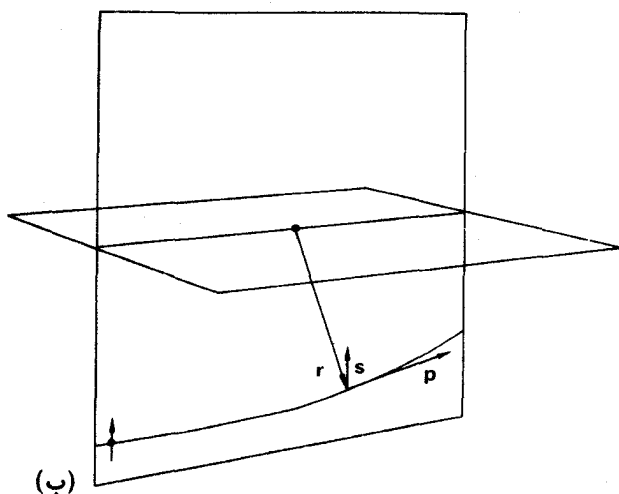
که در آن  $\mathbf{s}$  اسپین الکترون و  $\mathbf{l}$  تکانه زاویه‌ای مداری آن است. با استفاده از شکل ۴.۲۸ ملاحظه می‌شود که نیروی مؤثر بر الکترون، برطبق اینکه الکترون به طرف راست یا چپ صفحه مار برهسته پراکنده که توسط اسپین و تکانه اولیه الکترون تعریف می‌شود، برود، متفاوت خواهد بود. بنا بر این باریکه پراکنده شده نسبت به این صفحه نامتقارن خواهد بود. بنا بر این هر گونه قطبیدگی را می‌توان در باریکه ابتدایی الکترونها، با مشاهده وجود هر گونه عدم تقارن در باریکه پراکنده شده آشکار ساخت. به علت اینکه مقدار نیروی اسپین-مدار بسا عدد اتمی هسته پراکنده افزایش می‌یابد، هدف را از عناصر سنگین انتخاب می‌کنند.



شکل ۴.۲۸ اندازه گیری قطبیدگی طولی الکترونها. قطبیدگی طولی به کمک يك میدان الکتريکی به قطبیدگی عرضی تبدیل می‌شود. الکترونها پراکنده شده توسط هدف در صفحه‌ای عمود بر نمودار آشکار می‌شوند.

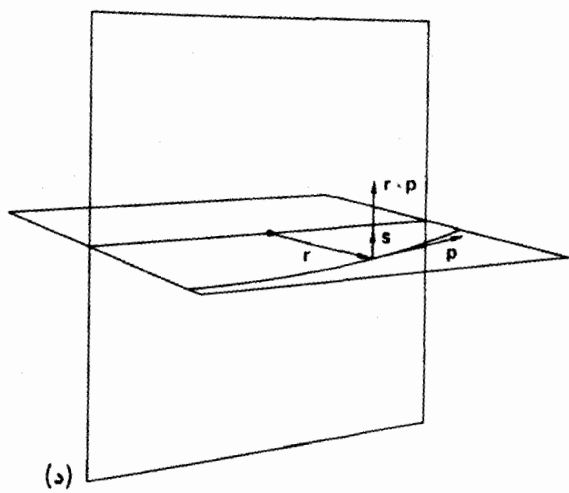
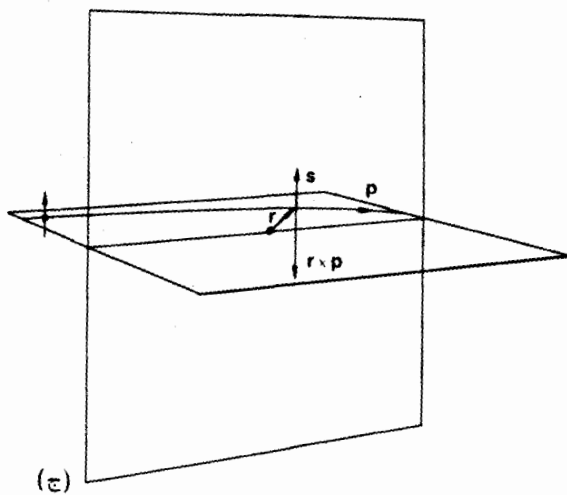


(الف)



(ب)

شکل ۴۰۲۸ پراکندگی الکترون در اثر میدان کولنی هسته سنگین. درشکلهای (الف) و (ب) اسپین  $s$  عمود بر تکانه زاویه‌ای مداري  $l$  است، و بنا بر این نیروی اسپین - مدار صفر است. درشکلهای (ج) و (د) اسپین  $s$  به ترتیب پساد موازی و موازی بسا تکانه زاویه‌ای مداري  $l$  است و بدین ترتیب پراکندگی حالت ج از حالت د تفاوت خواهد داشت.

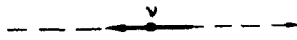


قطبیدگی طولی الکترونیهای گسیل یافته در واپاشی بتای  $^{60}\text{Co}$  توسط فراونفلدر و همکاران (۱۹۵۷) به طریقی که در شکل ۳.۲۸ نموده شده است، اندازه گیری شد. آنها دریافتند که الکترونها در سرعت  $v = 0.949c$ ، دارای قطبیدگی طولی  $0.45 -$  هستند. آزمایشهای بعدی نشان داده اند که قطبیدگی طولی ذرات  $\beta$  برای الکترونها به صورت  $v/c -$  و برای پوزیترونها به صورت  $v/c +$  است.

## ۲.۹. نوترینوی دو مؤلفه‌ای

واپاشی  $\beta$  همراه با گسیل يك نوترینو یا پادنوترینو است. قطبیدگی طولی الکترونها و دیگر پدیده‌های مربوط به ناپایستگی پاریته در واپاشی بتا را می‌توان با توجه به فرضهای زیر توضیح داد.

(الف) جهت اسپین يك نوترینو همیشه با جهت حرکت آن مخالف است، این ذره چگگرد نامیده می‌شود.



شکل ۱.۲۹

(ب) جهت اسپین يك پادنوترینو همیشه موازی با جهت حرکت آن است، این ذره راستگرد نامیده می‌شود.



شکل ۲.۲۹

نظریه‌ای که ناظر بر چنین نوترینوهایی باشد، تحت عمل انعکاس ناورد است و در آن پایستگی پاریته هم وجود نخواهد داشت، زیرا انعکاس يك نوترینوی چگگرد را به يك نوترینوی راستگرد تبدیل می‌کند و نوترینوی راستگرد در طبیعت وجود ندارد. نظریه‌ای با نوترینوهای چگگرد و پادنوترینوهای راستگرد را نظریه نوترینوی دو مؤلفه‌ای می‌نامند. در نظریه دیراک که برای ذره‌ای با اسپین  $1/2$  ارائه شده، تابع موج دارای چهار مؤلفه است. این چهار مؤلفه مربوط به چهار حالت زیرند.

۱. اسپین ذره به طرف بالا باشد

۲. اسپین ذره به طرف پایین باشد

۳. اسپین پاد ذره به طرف بالا باشد

۴. اسپین پاد ذره به طرف پایین باشد

که در آن «بالا» و «پایین» به راستایی انتخابی در فضا مربوط می‌شود. باگزینش راستای حرکت به عنوان راستای مورد نظر، برای نوترینوها فقط حالات ۲ و ۳ وجود خواهند داشت، و در نتیجه نوترینو را می‌توان توسط يك تابع موج دو مؤلفه‌ای توصیف کرد.

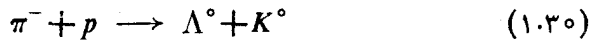
در شرایطی که وجود يك نظریهٔ ناوردای نسبی برای نوترینوهای چپگرد امکان پذیر است، وجود چنین نظریه‌ای برای الکترونهاى چپگرد میسر نیست. الکترونی را، با اسپینی در خلاف جهت حرکت آن، در چارچوب مرجعی مورد بررسی قرار می‌دهیم. در این چارچوب مرجع، الکترون چپگرد است. حال همین الکترون را در چارچوب مرجع دیگری، با سرعت کافی نسبت به چارچوب اول چنان در حرکت در نظر می‌گیریم که بتواند از الکترون سبقت بگیرد. در این صورت جهت حرکت الکترون معکوس شده و الکترون راستگرد به نظر خواهد آمد.

اما ذره‌ای با جرم سکون صفر، مانند نوترینو، همیشه با سرعت نور حرکت می‌کند و در نتیجه نمی‌توان از آن سبقت گرفت. بنابراین، دستوارگی ذره‌ای با جرم سکون صفر، از لحاظ ناوردایی نسبی حائز اهمیت است.

### ۳. ناپایستگی پاریته در واپاشی $\Lambda^0$

ناپایستگی پاریته يك خاصیت عمومی برهم کنشهای ضعیف است و به فرایندهایی که شامل نوترینو هستند محدود نمی‌شود. با آزمایشهایی که بر روی واپاشی هیپرون  $\Lambda^0$  صورت گرفته است، شواهدی دال بر ناپایستگی پاریته در واپاشیهای فناقد نوترینو هم به دست آمده است.

واپاشی ذره  $\Lambda^0$  ای که در برخورد يك  $\pi^-$  با يك پروتون به وجود آمده

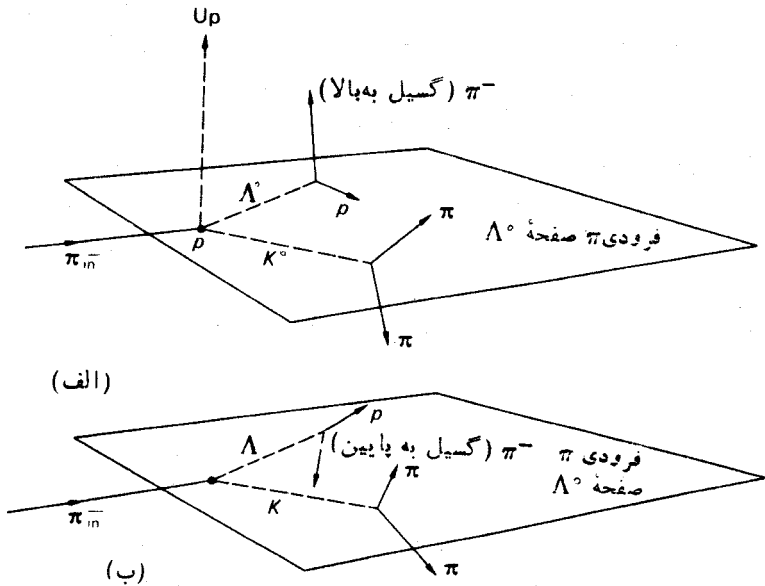


را به طریق زیر در نظر بگیرید



جهت حرکت پيون فرودی و جهت حرکت  $\Lambda^0$  باهم صفحه‌ای تشکیل می‌دهند، که در شکل ۱.۳۵ نموده شده است. این صفحه را صفحهٔ  $\Lambda^0$  فرودی می‌نامیم. اگر پاریته پایسته باشد، باید احتمال گسیل  $\pi^-$  حاصل از واپاشی  $\Lambda^0$  به يك طرف صفحهٔ  $\Lambda^0$  فرودی  $\pi^-$  با طرف دیگر آن برابری کند. زیرا اگرهم تولید و هم واپاشی تحت انعکاسها ناوردا باشند، فرایندهایی که توسط يك انعکاس در صفحهٔ  $\Lambda^0$  فرودی  $\pi^-$  به هم مرتبط می‌شوند، از قبیل مثالهای شکل ۱.۳۵، نیز می‌بایست احتمال مساوی داشته باشند. به‌طور تجربی، در واپاشی  $\Lambda^0$  گسیل  $\pi^-$  به يك طرف صفحهٔ  $\Lambda^0$  فرودی  $\pi^-$  بیشتر از طرف دیگر صفحه است.

فرض می‌کنیم فرودی  $\mathbf{p}_\Lambda$ ،  $\mathbf{p}_\pi$  و واپاشی  $\mathbf{p}_\pi$  به ترتیب تکانه‌های پيون فرودی،  $\Lambda^0$  و پيون ناشی از واپاشی  $\Lambda^0$  باشند. جهت «بالا» را نسبت به صفحهٔ  $\Lambda^0$  فرودی  $\pi^-$  طوری تعریف می‌کنیم که برای پيونهای ناشی از واپاشی  $\Lambda^0$  که نسبت به صفحهٔ  $\Lambda^0$  فرودی  $\pi^-$  به طرف بالا حرکت می‌کنند، داشته باشیم



شکل ۱۰۳۰ تولید و واپاشی  $\Lambda^0$ . پیون فرودی در برخورد با پروتون  $p$ ، یک  $K^0$  و یک  $\Lambda^0$  تولید می‌کند. خط چینها جهت‌های  $\Lambda^0$  و  $K^0$  که ذراتی بدون بارند و به‌طور مستقیم مشاهده نمی‌شوند را نشان می‌دهند. این ذرات توسط ذرات باردار حاصل از واپایشان تعیین می‌شوند. (ب) انعکاس (الف) نسبت به صفحه  $\Lambda^0$  فرودی  $\pi$  است.

$$\langle \mathbf{p}_\pi \times \mathbf{p}_\Lambda \rangle \cdot \mathbf{p}_\pi \text{ واپاشی } > 0$$

و به همین نحو برای پیونهای ناشی از واپاشی  $\Lambda^0$  ای که به طرف پایین حرکت می‌کنند، داریم

$$\langle \mathbf{p}_\pi \times \mathbf{p}_\Lambda \rangle \cdot \mathbf{p}_\pi \text{ واپاشی } < 0$$

به‌طور تجربی، پیونهای بیشتری به طرف بالا گسیل می‌یابند تا به طرف پایین. مثلاً ایزلر (۱۹۵۷) و همکارانش با اندازه‌گیری‌هایی که با پیونهای فرودی با انرژی جنبشی از ۹۱۰ مگا الکترون ولت تا ۱۳۰۰ مگا الکترون ولت انجام دادند، تعداد پیونهای گسیل یافته از واپاشی ذرات  $\Lambda^0$  را در هر طرف به صورت زیر به دست آوردند.

تعداد ذرات به طرف «بالا» = ۱۵۸

تعداد ذرات به طرف «پایین» = ۱۰۵

که این نتیجه به وضوح ناپایداری پاریته را در واپاشی  $\Lambda^0$  نشان می‌دهد.



### ۳۱. ناوردایی تحت $T$ و $C, P$

دورانها، انتقالهای فضایی و جا به جاییهای زمانی تبدیلات پیوسته‌ای هستند، که اگر تقارنهای دستگاهی باشند، تقارنهای پیوسته‌ای خواهند بود. به عنوان مثال، دورانها را می‌توان با زوایای کوچک دلخواهی انجام داد.

همچون تقارنهای پیوسته، تقارنهای گسسته‌ای هم وجود دارند که تقارنهای ممکن یک دستگاه فیزیکی هستند. سه نوع تقارن گسسته، اساسی، یعنی عمل پارینه، و ارونی زمان و همیوگی بار وجود دارند. قبلاً با نخستین نوع تقارن آشنا شدیم، ولی مفید است که در اینجا توضیح مختصری از آن به همراه خواص دو تقارن گسسته دیگر ذکر کنیم.

#### پارینه (P)

این عملگر وابسته به وارونی فضایی است. به عنوان مثال، برای یک ذره منفرد داریم

$$P\psi(\mathbf{r}, t) = \xi\psi(-\mathbf{r}, t) \quad (1.31)$$

که در آن  $\xi$  پارینه ذاتی ذره است. برای  $n$  ذره داریم

$$P\psi(\mathbf{r}_1, \dots, \mathbf{r}_n, t) = \xi_1 \dots \xi_n \psi(-\mathbf{r}_1, \dots, -\mathbf{r}_n, t) \quad (2.31)$$

که در آن  $\mathbf{r}_i$  مختصه مکانی ذره  $i$ ام و  $\xi_i$  پارینه ذاتی آن است.  $P$  مختصه  $\mathbf{r}_i$  را به  $-\mathbf{r}_i$  تبدیل می‌کند.

قبلاً نشان دادیم (بخش ۱۳) که اگر

$$P\psi(\mathbf{r}) = \alpha\psi(\mathbf{r})$$

باشد، در آن صورت  $\alpha$  لزوماً برابر  $\pm 1$  خواهد بود.

زمانی عقیده بر این بود که تمام برهم کنشها تحت  $P$  ناوردایند. به عنوان نتیجه‌ای از این فرض، اگر  $\psi(\mathbf{r}, 0)$  را بدین صورت برگزینیم

$$P\psi(\mathbf{r}, 0) = \alpha\psi(\mathbf{r}, 0) \quad (3.31)$$

و آنگاه خواهیم داشت

$$P\psi(\mathbf{r}, t) = \alpha\psi(\mathbf{r}, t) \quad (4.31)$$

بنابراین پارینه در طول زمان بدون تغییر می‌ماند، یعنی پارینه پایسته خواهد بود. ولی حال می‌دانیم که برهم کنشهای ضعیف تحت  $P$  ناوردا نیستند.

#### وارونی زمان (T)

$T$  عمل معکوس کردن تمام جهتهای حرکت و از جمله اسپین است. نامی که بر روی این عمل گذارده‌اند، وارونی زمان، نسبتاً گمراه کننده است. مناسبتر بود که آن را وارونی جهت

حرکت می‌نمایند. گذشته از اینها، زمان را نمی‌توان معکوس کرد. ولی جهت حرکت را می‌توان تغییر داد.

ناوردایی برهم‌کنشها تحت  $T$  بدین معنی است که اگر فرایند فیزیکی معینی رخ دهد، آنگاه فرایندی که از معکوس کردن تمام جهت‌های حرکت به‌دست می‌آید نیز از نظر فیزیکی قابل تحقق خواهد بود.

برای نمونه، مثالی از مکانیک کلاسیک، مورد سیارهٔ منفردی که در مدار بیضی حول خورشیدی در حرکت است را در نظر می‌گیریم. حرکت این سیاره بر روی همان بیضی ولی در جهت مخالف، از نظر فیزیکی، حرکتی قابل تحقق است.

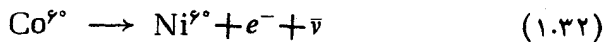
### همیوگی بار (C)

C عملگر تعویض ذره‌ها با پادذره‌هاست. در اینجا هم با نسامی سروکار داریم که به‌طور دقیق مفهوم عمل را نمی‌رساند. عمل همیوگی بار روی ذره‌ای با بار الکتریکی ساعت می‌شود که آن ذره توسط ذره‌ای با بار مخالف جایگزین شود. ولی همیوگی بار ممکن است بر ذرات خنثی هم اثر کند. به‌عنوان نمونه عمل C، نوترون‌ها را به پاد نوترون‌ها تبدیل می‌کند.

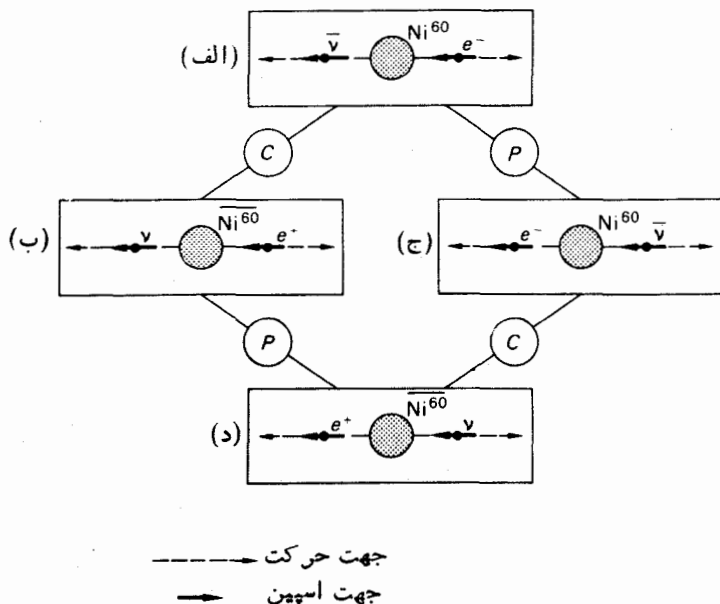
يك قضیه مهم در مکانیک کوانتومی نسبیتی عبارت از این است که اگر توصیف تمام فرایندهای فیزیکی توسط معادلات نسبیتی میدان ممکن باشد، در آن صورت علم فیزیک می‌بایست تحت عملهای مشترک PCT، یعنی وارونی زمان، همیوگی بار و وارونی فضایی، ناوردا باشد. این قضیه را قضیهٔ PCT می‌نامند. ترتیب اجرای عملگرهای  $P$ ،  $C$  و  $T$  در نتیجه اثری ندارد. تاکنون تخلفی از ناوردایی تحت PCT مشاهده نشده است.

### ۳۲. ناوردایی CP

در شکل ۱۰۳۲ الف نمایش طرح واره‌ای از واپاشی بتای  $Co^{60}$  که در آن يك پاد نوترینوی راستگردگیل می‌یابد، نموده شده است



همیوگی بار این واپاشی که در شکل ۱۰۳۲ ب نموده شده است، چون حاوی نوترینوی راستگرد است، به‌وقوع نمی‌پیوندد. زیرا همچنان که در بخش ۲۹ مورد بحث قرار گرفت، نوترینوها تنها به صورت چپگرد وجود دارند. در شکل ۱۰۳۲ ج وارونی فضایی،  $P$ ، واپاشی شکل ۱۰۳۲ الف نموده شده است، که این هم به‌علت عدم وجود پساد نوترینوی چپگرد به‌وقوع نمی‌پیوندد. اما فرایند حاصل از عمل مشترک وارونی فضایی و همیوگی بار،  $CP$ ، بر روی واپاشی بتای  $Co^{60}$  که در شکل ۱۰۳۲ د نموده شده است، حاوی نوترینوی راستگرد است و بنا بر این می‌تواند صورت گیرد. ناوردایی تحت  $CP$  دلالت بر این می‌کند که واپاشی پساد کوبسالت ۶۰ همان طول عمر واپاشی کوبسالت ۶۰، یعنی



شکل ۱۰۳۲ اثر  $P, C$  و  $CP$  بر روی واپاشی بتای  $Co^{60}$ .



معادله (۱۰۳۲) را دارد. هیچ فردی آزمایشی بر روی پادکوبالت که تهیه آن نیز بسیار دشوار است، انجام نداده است ولی در آزمایشهای انجام شده بر روی واپاشی میونها و پیونهایشان می دهند که برهم کنشهای ضعیف تحت  $CP$  حداقل تا تقریب خوبی ناوردایند. با مشخص کردن نوترینوهای چپگرد و راستگرد توسط شاخصهای پایین  $R$  و  $L$ ، می توان اثر  $P, C$  و  $CP$  را بر روی نوترینوها، بر طبق نظریه نوترینوی دوماؤه ای، به صورت زیر خلاصه کرد

$$P\nu_L = \nu_R \quad \text{از دیدگاه فیزیکی غیر قابل وقوع}$$

$$C\nu_L = \bar{\nu}_L \quad \text{از دیدگاه فیزیکی غیر قابل وقوع}$$

$$CP\nu_L = \bar{\nu}_R$$

از نقطه نظر فیزیکی تنها  $\nu_L$  و  $\bar{\nu}_R$  قابل وقوع اند.

در بخش ۲۸، دیدیم که به علت عدم وجود نساوردایی واپاشی  $\beta$  تحت وارونی فضایی، یک دستوارگی درونی در طبیعت یافت می شود. اما به علت ناوردایی واپاشی  $\beta$  تحت  $CP$  لازم است بین ماده و پاد ماده تمایز قائل شویم تا برای تعیین دستوارگی

بتوانیم از واپاشی  $\beta$  استفاده کنیم.

فرض کنید می‌خواهیم چپ و راست را به‌اشخاصی در فضای خارج توضیح دهیم. می‌توانیم به‌طور رادیویی دستوراتی در مورد چگونگی انجام يك آزمایش بر روی واپاشی بتای  $Co^{60}$  به او بدهیم که برای نمونه، قطبیدگی الکترونیهای گسیل یافته را با مشاهده عدم تقارن پراکندگی الکترون، آنچنان که در بخش ۲۸ ارائه شد، اندازه گیری کند و «دستوارگی چپ» را بر طبق عدم تقارن پراکندگی تعریف کند. اما نمی‌توانیم مطمئن باشیم که مخلوق فرضی ما در فضای خارج از پادماده ساخته نشده باشد و آنچه را که مشاهده می‌کند پوزیترون ناشی از واپاشی پادکوبالت نباشد. در حال حاضر اعتقاد ما بر این است که اگر او از پادماده ساخته شده باشد، دستورات ما درباره «دستوارگی چپ» او را به‌طرف «دستوارگی راست» هدایت خواهد کرد.

مشاهدات مربوط به واپاشی مزونهای خنثای  $K$  نشان داده‌اند که پایستگی  $CP$  به‌طور مطلق برقرار نیست (بخش ۳۹). اما در حال حاضر فرض می‌کنیم که تا حد خیلی زیادی فرایندهای فیزیکی تحت  $CP$  ناوردایند، و بنابراین به‌دلیل قضیه  $PCT$ ، تحت  $T$  هم ناوردایند. تاکنون رویداد مستقیمی دال بر شکست ناوردایی تحت وارونی زمان رخ نداده است.

يك نتیجه مهم از ناوردایی تحت  $PCT$ ، برابری جرم و طول عمر ذره و پاد ذره است.

### ۳.۳ رده‌بندی برهم‌کنشها

قدرت برهم‌کنشهای مختلف بین ذرات بنیادی، امکان رده‌بندی آسان و مهمی را در این برهم‌کنشها فراهم می‌سازد. قدرت برهم‌کنش الکترومغناطیسی توسط ثابت ساختمان‌ریز که ثابت جفت‌شدگی الکترومغناطیسی هم نامیده می‌شود، داده می‌شود

$$\frac{e^2}{\hbar c} = 1/137.036$$

به‌همین نحو، قدرت برهم‌کنشهای دیگر را می‌توان توسط ثابتهای جفت‌شدگی مناسب نشان داد. در جدول ۱.۳۳ قدرت برهم‌کنشهای مختلف با هم مقایسه شده‌اند. این مقایسه قدرت برهم‌کنشها تقریبی است، زیرا قدرت يك برهم‌کنش می‌تواند به صورتهای مختلف تعریف شود. جدول ۱.۳۳ مرتبه بزرگی ثابتهای جفت‌شدگی را برای برهم‌کنشهای مختلف نشان می‌دهد.

برهم‌کنشهای قوی، برهم‌کنشهایی بین نوکلئونها و دیگر باریونها، و مزونهای  $\pi$  و  $K$  هستند که در آنها شگفتی پایسته است. ذراتی که در برهم‌کنشهای قوی شرکت می‌کنند، هادرون نامیده می‌شوند. در برهم‌کنشهای قوی ایزوسپین هم پایسته است. اختلاف در خصوصیات

جدول ۱۰۳۳ قدرت برهم کنشهای ذرات بنیادی.

قدرت	برهم کنش
۱	برهم کنش قوی
$10^{-2}$	برهم کنش الکترومغناطیسی
$10^{-13}$	برهم کنش ضعیف
$10^{-38}$	برهم کنش گرانشی

حالات باری هادرونها، از قبیل اختلاف جرم بین نوترون و پروتون و یا اختلاف جرم بین  $\Sigma^+$  و  $\Sigma^0$  را می توان به برهم کنش الکترومغناطیسی نسبت داد (باید توجه کرد که هنوز قادر به محاسبه چنین اختلاف جرمی نیستیم). اعداد کوانتومی ایزوسپین و شگفتی را به هادرونها منتسب می کنند.

در برهم کنش الکترومغناطیسی شگفتی پایسته است، ولی در آنها ایزوسپین پایسته نیست. در واپاشی زیر

$$\Sigma^0 \rightarrow \Lambda^0 + \gamma \quad (1.33)$$

بدان دلیل که  $\Sigma^0$  و  $\Lambda^0$  هر دو شگفتی ۱- دارند، شگفتی پایسته می ماند، و واپاشی با عمر متوسطی کوچکتر از  $10^{-13}$  ثانیه رخ می دهد. پایستگی ایزوسپین در این واپاشی برقرار نیست، زیرا  $\Sigma^0$  دارای  $I=1$  و  $\Lambda^0$  دارای  $I=0$  است. به علت پایستگی شگفتی،  $\Lambda^0$  نمی تواند با گسیل یک فوتون به یک نوترون تبدیل شود

$$\Lambda^0 \rightarrow n + \gamma \quad (2.33)$$

چون در برهم کنش الکترومغناطیسی ایزوسپین پایسته نیست، نمی توان به فوتون ایزوسپینی نسبت داد. می توان فوتون را به صورت ذره ای بسا شگفتی  $S=0$  در نظر گرفت، ولی مرسوم است که ایزوسپین و شگفتی را فقط به هادرونها منتسب کنند. از معادله (۵.۲۴) نتیجه می شود که در برهم کنش الکترومغناطیسی مؤلفه سوم ایزوسپین،  $I_3$ ، پایسته است، زیرا در این برهم کنش شگفتی،  $S$ ، پایسته می ماند. عدد باریونی  $B$  و بار الکتریکی  $Q$  به طور عام پایسته اند.

واکنشهایی که در آنها شگفتی پایسته نیست، از طریق برهم کنشهای ضعیف صورت می گیرند. واپاشی  $\beta$ ، و هر برهم کنشی که شامل نوترینوها باشد، نیز یک برهم کنش ضعیف است. دیده ایم که پاریته در برهم کنشهای ضعیف پایسته نیست، این موضوع هم در مورد واپاشیهایی که در آنها شگفتی تغییر می کند، از قبیل واپاشی مزون  $K$  و  $\Lambda^0$  و هم در مورد واپاشیهایی که در آنها شگفتی تغییر نمی کند، از قبیل واپاشی  $\beta$ ، صادق است.

جدول ۲.۲۳

				P	C	CP	T	PCT			دورانهای فضایی	جابه‌جاییهای فضا - زمان	تقارن
$I$ ایز و سیمین	$I_+$ مؤلفه سوم ایز و سیمین	S شگفتی	P						B عدد بار یونی	Q بار الکترویکی	J	E, P	کمیت پایسته
✓	✓	✓	✓	✓	✓	✓	✓	✓	✓	✓	✓	✓	۰۱ برهم کنش قوی
X	✓	✓	✓	✓	✓	✓	✓	✓	✓	✓	✓	✓	۰۲ برهم کنش الکترومغناطیسی
X	X	X	X	X	X	✓	✓	✓	✓	✓	✓	✓	۰۳ برهم کنش ضعیف
X	X	X	X	X	X	X	X	✓	✓	✓	✓	✓	۰۴ برهم کنش فوق ضعیف

علامت / نشان می‌دهد که برهم کنش مورد نظر دارای تقارن است و کمیت مناسب با آن پایسته است.  
 علامت X نشان می‌دهد که برهم کنش مورد نظر دارای تقارن نیست و کمیت مناسب با آن پایسته نیست.  
 در مورد برهم کنشهای فوق ضعیف، به بحث و پاشی مزون خنثای K در بخش ۳۹ مراجعه کنید.

برهم کدش گرانشی ضعیفترین برهم کنشهای مشاهده شده است. از آنجایی که تاکنون هیچ گونه اثری از نیروهای گرانشی در فیزیک ذرات بنیادی قابل مشاهده نبوده است، در بحثهای مربوط به ذرات بنیادی از ملاحظات مربوط به برهم کنشهای گرانشی صرفنظر می شود.

در جدول ۲.۳۳ خلاصه تقارن‌ها و قوانین پایستگی برای برهم کنشهای مختلف ارائه شده است. برهم کنشهای قوی دارای بیشترین تقارن‌ها، و برهم کنشهای ضعیف کمترین تقارن‌ها را دارند. ترتیب برهم کنشها بر طبق تقارن‌هایشان به همان ترتیب قدرت آنهاست.

### تمرین

۱. در آزمایش نموده شده در شکل ۳.۲۸، يك میدان الکتروستاتیکی برای تبدیل قطبیدگی طولی الکترون‌ها به قطبیدگی عرضی مورد استفاده قرار گرفته است. آیا چنین تبدیل قطبیدگی را می توان با منحرف کردن الکترون‌ها در يك میدان مغناطیسی به دست آورد؟ آیا می توان برای ذراتی که در آنها دقیقاً  $g = 2$  است، چنین تبدیل قطبیدگی را با منحرف کردن در يك میدان مغناطیسی به دست آورد؟

۳. فرایندهای زیر را به صورت قوی، الکترومغناطیسی، ضعیف و یا کاملاً ممنوع رده بندی کنید و بیان کنید که کدام يك از ویژگیهای زیر در هر يك از فرایندها پایسته است: پاریته، شگفتی، ایزوسپین و مؤلفه سوم ایزوسپین.

$\Sigma^+ \rightarrow p + \pi^0$ (ب)	$\Sigma^0 \rightarrow \Lambda^0 + \gamma$ (الف)
$\pi^- + p \rightarrow \Lambda^0 + K^0$ (د)	$\Xi^- \rightarrow \Lambda^0 + \pi^-$ (ج)
$\gamma + p \rightarrow p + \pi^0$ (و)	$\pi^- + p \rightarrow n + \pi^0$ (ا)
$K^0 \rightarrow \pi^+ + \pi^-$ (ح)	$\Lambda^0 \rightarrow p + \pi^-$ (ز)

۳. فرایندهای زیر را به صورت قوی، الکترومغناطیسی، ضعیف و یا کاملاً ممنوع رده بندی کنید و بیان کنید که آیا پاریته در آنها پایسته و یا ناپایسته است

$K^+ \rightarrow \pi^+ + \pi^-$ (ب)	$\pi^0 \rightarrow \gamma + \gamma$ (الف)
$\pi^+ \rightarrow \mu^+ + \nu$ (د)	$K^- \rightarrow \pi^- + \pi^- + \pi^+$ (ج)
$K^+ \rightarrow \mu^+ + \nu$ (و)	$\mu^- \rightarrow e^- + \bar{\nu} + \nu$ (ا)
$\Sigma^- \rightarrow n + e^- + \bar{\nu}$ (ح)	$\Sigma^+ \rightarrow \mu^+ + \nu$ (ز)

### مراجع

Eisler, F., R. Plano, A. Prodell, N. Samios, M. Schwartz, J. Steinberger, P. Bassi, V. Borelli, G. Puppi, G. Tanaka, P. Woloschek, V. Zoboli, M. Conversi, P. Franzini, I. Mannelli, R. Santangelo.

V. Silvestrini, D. A. Glaser, C. Graves, M. L. Perl, *Phys. Rev*, **108** (1957) 1353.

Frauenfelder, H., R. Bobone, E. Von Goeler, N. Levine, H. R. Lewis, R. N. Peacock, A. Rossi and G. De Pasquali, *Phys. Rev*, **106** (1957) 386.

Merzbacher, E., *Quantum Mechanics*, 2nd edition, 1970. Wiley, New York, p. 274.





## لپتونها

### ۳۴. دو نوع نوترینو

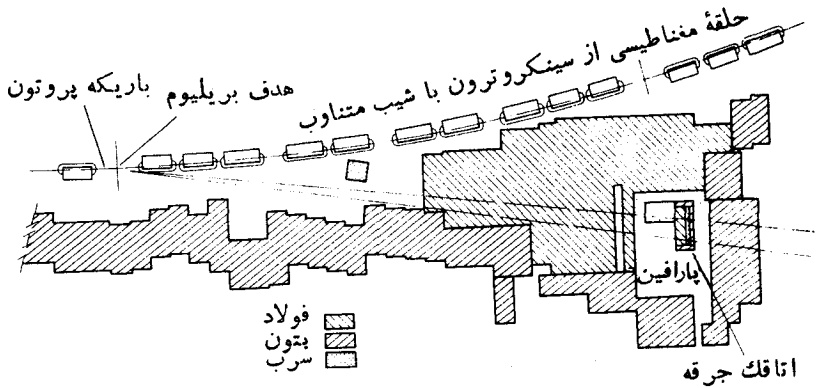
نوترینوها در دو فرایند زیر تولید می‌شوند

$$n \rightarrow p + e^{-} + \bar{\nu}_e$$

$$\pi \rightarrow \mu^{-} + \bar{\nu}_\mu$$

که در آنها نوترینوها توسط شاخصهای پایین تفکیک شده‌اند، زیرا معلوم شده است که نوترینوهای بالا یکسان نیستند.

تفاوت بین این دو نوترینو در آزمایشگاه ملی بروکهاون با استفاده از سنکروترون با گرادیان متناوب (A.G.S) به اثبات رسید (دانی و همکاران، ۱۹۶۲؛ لدرمان، ۱۹۶۳). در این ماشین، پروتونهایی با انرژی ۱۵ جیگا الکترون ولت با هسته‌های يك هدف برخورد کردند. در میان ذرات تولید شده مزونهای  $\pi$  بودند که به صورت  $\pi^{+} \rightarrow \mu^{+} + \bar{\nu}_\mu$  و  $\pi^{-} \rightarrow \mu^{-} + \bar{\nu}_\mu$  واپاشیده می‌شدند. گسیل محصولات واپاشی، در چارچوب مرکز جرم این واپاشیها، در تمام جهات است. و بنابراین در چارچوب آزمایشگاه، مزونهای  $\mu$  و نوترینوها در مخروطی باریک به جلو حرکت خواهند کرد (تمرینهای ۲ و ۳). برای جدا کردن سایر ذرات از باریکه نوترینوها دیواری آهنی به ضخامت ۱۳۵ متر در مقابل دستگاه آشکارساز قرار داده شد. دستگاه A.G.S بروکهاون قادر بود پروتونها را تا ۳۵ جیگا الکترون ولت شتاب دهد، ولسی در آن صورت دیوار آهنی به ضخامت ۱۳۵ متر برای محافظت آشکارساز در مقابل سایر ذرات کافی نبود، و به همین خاطر از A.G.S در



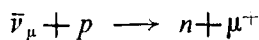
شکل ۱۰۳۴ تصویر برش افقی آزمایش میون - نوترینو توسط دانبی و همکاران (۱۹۶۲). پیونها در نتیجه اصابت پروتونهای ۱۵ جیگا الکترون ولت با هدف بریلیوم که در انتهای قسمت ۱۵ فوتی A.G.S. بروکهاون قرار دارد، تولید می شوند (فقط قسمت A.G.S. ترسیم شده است). حدود ۱۵ درصد پیونها قیل از اصابت به دیوار حفاظتی آهنی بسا ضخامت ۱۳۵ متر، که در فاصله ۲۱ متری از هدف قرار دارد، به میون و نوترینو واپاشیده می شوند. دیوار حفاظتی پیونها و میونها را متوقف می کند ولی نوترینوها به آسانی از آن عبور می کنند. برهم کنش نوترینوها در یک اتاقک جرقه ۱۰ تنی آلومینیومی پشت دیوار حفاظتی مشاهده می شود.

انرژی ۱۵ جیگا الکترون ولت بهره برداری شد. در شکل ۱۰۳۴ تصویر برش افقی آزمایش نموده شده است.

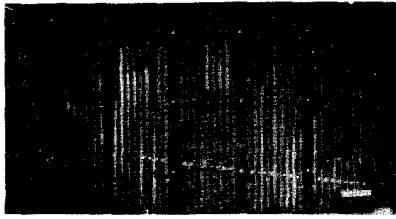
آشکارساز يك اتاقک جرقه با ۹۵ صفحه آلومینیومی بود، به طوری که مساحت هر صفحه ۱۲ متر مربع، و وزن کلی آن حدود ۱۵ تن بود.

در اتاقک جرقه، صفحات فلزی به طور موازی با یکدیگر قرار می گیرند، همچنان که در شکل ۲۰۳۴ می توان آن را مشاهده کرد. در این شکل خطوط عمودی سفید نور بازتابیده از لبه های صفحات آلومینیومی هستند. بین صفحات مجاور اختلاف پتانسیلی اعمال می شود. يك ذره باردار با عبور از میان اتاقک جرقه گاز بین شکافهای صفحات را یونیده می کند و جرقه ای بین صفحات زده می شود. جرقه های بین زوجهای متوالی صفحات، مسیر طی شده توسط ذره باردار را نشان می دهد، که در شکل ۲۰۳۴ دیده می شود.

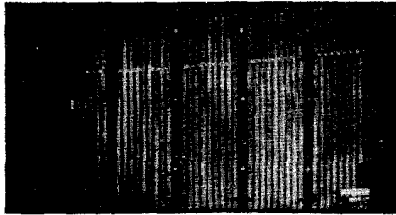
در جریان ۳۵۰ ساعت آزمایش که تخمیناً ۱۰<sup>۱۴</sup> نوترینو در این مدت از اتاقک جرقه عبور کرده اند، ۲۹ رویداد از نوع



مشاهده شدند. در شکل ۲۰۳۴ دو نمونه از مسیر مزونهای  $\mu$  مشاهده شده در اتاقک جرقه



(الف)



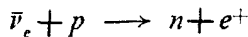
(ب)

شکل ۲۰۳۴ دو نمونه از مسیر میونها در آزمایش دانبی و همکاران (۱۹۶۲) که بر روی نوترینوی میون صورت گرفته است، مشاهده می شود.

نموده شده اند. در این آزمایش رویدادی از نوع



مشاهده نشد. ولی از آزمایشهایی که بر روی واپاشی معکوس  $\beta$  صورت گرفته، بخش ۹، می دانیم که واکنش



امکان پذیر است. بنسب این بسايد نتیجه بگیريم که  $\bar{\nu}_{\mu}$  و  $\bar{\nu}_{e}$  دو نوع نوترینوی متفاوت هستند. یعنی نوترینوی وابسته به مزون  $\mu$  با نوترینوی وابسته به الکترون تفاوت دارد.

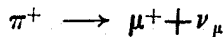
### ۳۵. دستوارگی نوترینوی میون

قبل از بخش ۲۹ دیدیم که نوترینوها می توانند دستوارگی معینی که به طور نسبی ناورد است، داشته باشند. زیرا آنها دارای جرم سکون صفر بوده و بنابراین همیشه با سرعت نور حرکت می کنند. در حقیقت معلوم شده که پاد نوترینوی  $\bar{\nu}_{\mu}$  که همراه با یک الکترون در واپاشی  $\beta$



شکل ۱۰۳۵ واپاشی پیون مثبت.

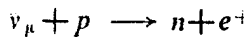
گسیل می‌یابد راستگرد، و نوترینوی  $\nu$  که همراه با يك پوزیترون گسیل می‌یابد چپگرد است. آزمایش‌های مربوط به ناپایستگی پاریته در واپاشی پیون و واپاشی میون نشان می‌دهند که نوترینوی میون  $\nu_\mu$  دارای دستوارگی معینی است، و در واقع چپگرد است، یعنی همان دستوارگی  $\nu$  را دارد. واپاشی



را در چارچوب سکون پیون ابتدایی در نظر می‌گیریم، و محور  $z$  را در جهت حرکت محصولات واپاشی انتخاب می‌کنیم. از آنجایی که پیون دارای اسپین صفر است، پایستگی تکانه زاویه‌ای مقرر می‌دارد که مؤلفه  $z$  اسپینهای  $\mu^+$  و  $\nu_\mu$  مساوی و در جهت مخالف یکدیگر باشند.  $\mu^+$  و  $\nu_\mu$  در جهت‌های مخالف گسیل می‌یابند و بنا بر این در چارچوب سکون پیون ابتدایی،  $\mu^+$  و  $\nu_\mu$  دارای دستوارگی یکسان‌اند (شکل ۱۰۳۵). دستوارگی  $\nu_\mu$  را می‌توان با اندازه‌گیری مؤلفه  $z$  اسپین میون گسیل یافته به‌دست آورد. اندازه‌گیری قطبیدگی طولی میونها نشان می‌دهد که  $\nu_\mu$  چپگرد و  $\bar{\nu}_\mu$  راستگرد است.

### ۳۶. پایستگی لبتونها

الکترونها، میونها، نوترینوها و پاد ذراتشان را لبتون می‌نامند. قبل از بی‌بردن به تمایز بین  $\nu_\mu$  و  $\nu_e$ ، يك قانون پایستگی عدد لبتونی برای تمام برهم‌کنشها فرض می‌شد که در آن به  $e^-$ ،  $\nu^-$  و  $\nu$  عدد لبتونی  $+1$ ، و به  $e^+$ ،  $\mu^+$  و  $\bar{\nu}$  عدد لبتونی  $-1$  منتسب می‌کردند. به هر حال، بر اساس این طرح واکنشهایی از قبیل



از نقطه نظر پایستگی عدد لبتونی ممنوع نبودند، ولی همان طوری که در بخش ۳۴ مورد بحث قرار گرفت، چنین واکنشی مشاهده نمی‌شود. برای اصلاح این مسئله دو نوع عدد لبتونی مختلف معرفی شدند، یکی عدد لبتون-میونی  $L_\mu$  و دیگری عدد لبتون-الکترونی  $L_e$ . و لازم است که این دو عدد لبتونی هر يك به‌طور جداگانه در تمام برهم‌کنشها پایسته باشند. اعداد لبتون-میونی و اعداد لبتون-الکترونی برای تعدادی از ذرات در جدول ۱۰۳۶ نموده شده‌اند. برای سایر ذرات، یعنی هادرونها یا ذرات حاوی برهم‌کنش قوی و فوتون اعداد لبتونی  $L_e$  و  $L_\mu$  صفرند.

به عنوان نتیجه‌ای از پایستگی  $L_e$  و  $L_\mu$ ، اگر در واکنشی تعدادی لبتون ناپدید شوند، همیشه تعداد معینی لبتون تولید خواهند شد. بنابراین در ترسیم نمودارهای فاینمن

جدول ۱.۳۶

$\nu_\mu$	$\nu_\mu$	$\mu^+$	$\mu^-$	$\bar{\nu}_e$	$\nu_e$	$e^+$	$e^-$	
۰	۰	۰	۰	-۱	+۱	-۱	+۱	$L_e$
-۱	+۱	-۱	+۱	۰	۰	۰	۰	$L_\mu$

برای برهم کنشهای ضعیف، يك خط لبتون خاص می تواند به خط لبتون دیگری بر طبق روال زیر متصل شود

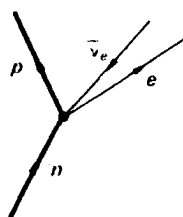
$$e^- \longleftrightarrow \nu_e$$

$$e^+ \longleftrightarrow \bar{\nu}_e$$

$$\mu^- \longleftrightarrow \nu_\mu$$

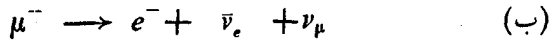
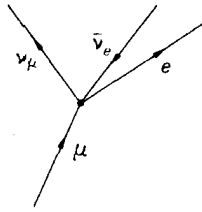
$$\mu^+ \longleftrightarrow \bar{\nu}_\mu$$

(البته دیگر قوانین بایستگی از قبیل بایستگی بار هم باید برقرار شوند.) یادآوری می کنیم که معکوس کردن جهت پیکان روی يك خط در يك نمودار فاینمن به معنی جایگزین کردن ذره با پاد ذره اش است. چند نمونه از برهم کنشهای ضعیف در زیر داده شده اند. اعداد لبتونی  $L_e$  و  $L_\mu$  و عدد باریونی  $B$  برای تعدادی از واکنشها نموده شده اند.



$$\begin{array}{l}
 n \rightarrow p + \bar{\nu}_e + e^- \quad \text{(الف)} \\
 +1 = +1 + 0 + 0 \quad \quad \quad B \\
 0 = 0 + (-1) + 1 \quad \quad \quad L_e
 \end{array}$$

شکل ۱.۳۶

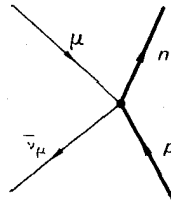


$$0 = 0 + 0 + 0 \quad B$$

$$0 = 1 + (-1) + 0 \quad L_e$$

$$1 = 0 + 0 + 1 \quad L_\mu$$

شکل ۲.۳۶

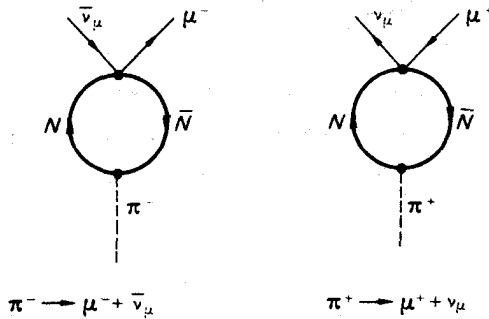


شکل ۳.۳۶

در نمودار فاینمن مربوط به يك برهم کنش ضعیف، چهار خط فرمیون در يك رأس تلاقی می کنند، آنچنان که در نمودارهای مثالهای الف، ب و ج دیده می شود. برای تعدادی از واکنشها یا واپاشیهایی که از طریق برهم کنشهای ضعیف صورت می گیرند، در نمودارهای مربوطه علاوه بر رأس برهم کنش ضعیف با چهار خط فرمیون، رئوس دیگری هم وجود دارند که به برهم کنشهای قوی مربوط می شوند. در شکل ۴.۳۶ نمودارهای فاینمن پایینترین مرتبه برای واپاشی پيون نموده شده اند. در واپاشی پيون، نمودارهای دیگری که حاوی رئوس بیشتری از برهم کنشهای قوی باشند، نیز دارای اهمیت اند. به علت کوچک بودن ثابت جفت شدگی برهم کنشهای ضعیف، از نمودارهایی که شامل رئوس بیشتری از برهم کنش ضعیف باشند، می توان صرف نظر کرد.

برهم کنش ضعیف جفت شدگی بین چهار فرمیون است و به همین خاطر برهم کنش چهار فرمیونی نامیده می شود.

نمودارهای فاینمن شکل ۴.۳۶ واپاشی پيون را از طریق آفرینش يك زوج



شکل ۴.۳۶ واپاشی پیمون

نوکلئون - پاد نوکلئون مجازی و تبدیل آنها را به یک میون و یک نوترینو توسط برهم کنش چهار فرمیونی نشان می‌دهد.

### ۳.۷ قوانین عمومی پایستگی

در فیزیک، تعداد معینی قوانین پایستگی وجود دارند که تا کنون هیچ گونه نقضی در مورد آنها مشاهده نشده است. کمیات زیر در تمام برهم کنشها، همواره پایسته‌اند.

- |   |   |
|---|---|
| } | ۱. انرژی                                |
|   | ۲. تکانه                                |
|   | ۳. تکانه زاویه‌ای                       |
|   | ۴. بار                                  |
|   | ۵. عدد لبتون - الکترونی                 |
|   | ۶. عدد لبتون - میونی                    |
|   | ۷. عدد باریونی                          |
|   | ۸. تفاضل تعداد فرمیونها و پاد فرمیونها. |

هرواکنش یا واپاشی که توسط قوانین پایستگی بالاممنوع نشده باشد، به وقوع می‌پیوندد. هرچند که در بعضی از موارد در اندازه‌هایی صورت می‌گیرد که مشاهده آنها، به علت واکنشها یا واپاشیهای دیگری که محتملترند، مشکل است. به‌عنوان نمونه، تنوع حالاتی را که  $K^+$  و  $\Sigma^+$  می‌توانند به آن طرق واپاشیده شوند، در جدول ۱.۳۷ نموده شده است. علاوه بر قوانین پایستگی فوق، که در تمام برهم کنشها برقرارند، داریم

۱. برهم کنشهای ضعیف تحت  $PC$  و  $T$  ناوردایند (این حکم، حداقل تا تقریب خوبی

- برقرار است. برای بحث پیرامون ناپایستگی  $PC$  به بخش ۳۹ مراجعه کنید).
۲. برهم کنشهای الکترومغناطیسی تحت  $P$ ،  $C$  و  $T$  به طور جداگانه ناوردایند و همچنین شگفتی  $S$  و مؤلفه سوم ایزوسپین  $I_3$  در آنها پایسته است.
۳. برهم کنشهای قوی تحت  $P$ ،  $C$  و  $T$  به طور جداگانه ناوردایند، و شگفتی و ایزوسپین در آنها پایسته است (برای برهم کنشهای قوی  $I$  و  $I_3$  هر دو اعداد کوانتومی خوب هستند).

جدول ۱.۳۷

پارامتر واپاشی	درصد از واپاشی کل
$K^+ \rightarrow \mu^+ + \nu_\mu$	%۶۴
$\pi^+ + \pi^0$	%۲۱
$\pi^+ + \pi^- + \pi^+$	%۵٫۶
$\pi^+ + \pi^0 + \pi^0$	%۱٫۷
$\mu^+ + \pi^0 + \nu_\mu$	%۳٫۲
$e^+ + \pi^0 + \nu_e$	%۴٫۹
$\pi^+ + \pi^- + e^+ + \nu_e$	$۳٫۳ \times 10^{-5}$
$\pi^+ + \pi^+ + e^- + \bar{\nu}_e$	$< ۷ \times 10^{-۷}$
$\pi^+ + \pi^- + \mu^+ + \nu_\mu$	$۰٫۹ \times 10^{-5}$
$\pi^+ + \pi^+ + \mu^- + \bar{\nu}_\mu$	$< ۳ \times 10^{-6}$
$e^+ + \nu_e$	$۱٫۲ \times 10^{-5}$
$\pi^+ + \mu^+ + \mu^-$	به ندرت
$\pi^+ + e^+ + e^-$	به ندرت
هر کدام از بالا به انضمام $\gamma$	به ندرت
<hr/>	
$\Sigma^+ \rightarrow p + \pi^0$	%۵۲
$n + \pi^+$	%۴۸
$p + \gamma$	$۱٫۲ \times 10^{-۳}$
$n + \pi^+ + \gamma$	$۱٫۳ \times 10^{-۴}$
$\Lambda^0 + e^+ + \nu_e$	$۲ \times 10^{-5}$
$n + \mu^+ + \nu_\mu$	$< ۲٫۳ \times 10^{-5}$
$n + e^+ + \nu_e$	$< ۱٫۱ \times 10^{-5}$



## تمرین

۱. برای واپاشیهای زیر، علامت گذارهای نوترینو را بر طبق اینکه حاصل فرایند

نوترینوی الکترون، یا نوترینوی میون، نوترینو یا پادنوترینو باشد، انجام دهید

$$\Sigma^+ \rightarrow \Lambda^0 + e^+ + \nu \quad (\text{ب}) \qquad \Lambda^0 \rightarrow p + \mu^- + \nu \quad (\text{الف})$$

$$\mu^+ \rightarrow e^+ + \nu + \nu \quad (\text{د}) \qquad \Sigma^- \rightarrow n + e^- + \nu \quad (\text{ج})$$

$$K^0 \rightarrow \pi^- + e^+ + \nu \quad (\text{ه})$$

۲. توزیع زاویه‌ای نوترینوهای ناشی از واپاشی پيونهای متحرك را در چارچوب

آزمایشگاه به دست آورید.

۳. برای حالت پيونهای با انرژی جنبشی ۳ بیلین الکترون ولت، توزیع زاویه‌ای

نوترینوها را با استفاده از نتیجه تمرین قبلی رسم کنید. همچنین بیشترین زاویه بین

جهت پيونها و میونهای واپاشیده را در چارچوب آزمایشگاه محاسبه کنید.

۴. تمامی واپاشیهای ممکن برای ذره  $\Lambda^0$  که بر حسب قوانین عمومی پایداری مجازند

را بنویسید، آنها را با واپاشیهای مشاهده شده در *Review of Particle*

*Properties* مقایسه کنید. (برای اطلاعات بیشتر به انتهای بخش ۴۱ مراجعه کنید.)

## مراجع

Danby, G., J-M. Gaillard, K. Goulianos, L. M. Lederman, N. Mistry,

M. Schwartz and J. Steinberger, *Phys. Rev. Lett*, 9 (1962) 36.

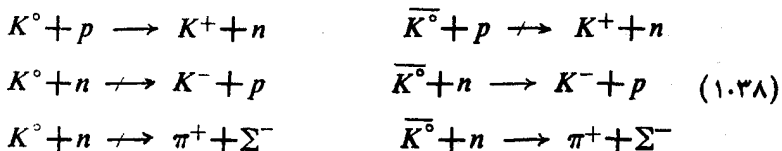
L. M. Lederman, 'The two-neutrino experiment', *Sci. Am*, March

1963. p. 60.

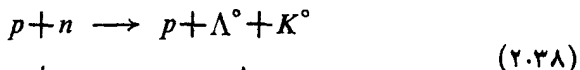
## مزونهای K خنثی و ناپایستگی CP

### ۳۸. مزونهای K خنثی

همچنان که در بخش ۲۵ ملاحظه شد، دونوع مزون K خنثی، یعنی  $K^0$  و  $\bar{K}^0$  وجود دارند که هر يك پاد ذره دیگری است.  $K^0$  دارای شگفتی  $S=+1$  و  $\bar{K}^0$  دارای شگفتی  $S=-1$  است. در نتیجه واکنشهای معینی وجود دارند که برای یکی از مزونهای K خنثی به طور قوی به وقوع می پیوندند، در صورتی که برای دیگری این چنین نیست. به عنوان مثال



و همچنین  $K^0$  و  $\bar{K}^0$  در واکنشهای متفاوتی تولید می شوند، مثلا



$$S = 0 + 0 = 0 - 1 + 1$$



$$S = -1 + 0 = -1 + 0$$

حال اثر همیوخی بار C و وارونی مختصات فضایی (عمل پارته) P را بر روی مزونهای K خنثی در نظر می گیریم. فرض کنید  $\psi_K$  و  $\psi_{\bar{K}}$  توابع حالتی هستند که

به ترتیب يك  $K^0$  و يك  $\bar{K}^0$  در حال سکون را توصیف می کنند. چون کائون دارای پارینته فرد است، داریم

$$P\psi_{K^0} = -\psi_{K^0} \quad (۴.۳۸)$$

$$P\psi_{\bar{K}^0} = -\psi_{\bar{K}^0}$$

باید توجه داشت که درانتساب پارینته ذاتی فرد به کائونها، مقداری آزادی عمل وجود دارد. پارینته ذرات دارای  $S=1$  را مطلقاً نمی توان در ارتباط با ذرات دارای  $S=0$  تعیین کرد، زیرا تنها برهم کنشهای ضعیف اند که حالاتی با شکفتهای متفاوت را به هم مربوط می سازند، که در آنها هم پارینته پایسته نیست. به محض اینکه پارینته ذاتی به یکی از ذرات  $S=1$  منتسب شد، پارینته ذاتی ذرات شکفت دیگر را می توان تعیین کرد. می توان به مزون  $K$  پارینته زوج منتسب کرد، در این صورت باریونهای دارای  $S=-1$  حاوی پارینته ذاتی فرد خواهند شد. مناسبتر است طرحی را مورد استفاده قرار داد که در آن  $\Sigma$ ،  $\Lambda$  و  $\Xi$  دارای همان پارینته ذاتی نوکلئون بوده و کائونها دارای همان پارینته ذاتی پیونها باشند. همیوگی بار  $C$  عبارت است از جایگزینی يك ذره توسط پساد ذره آن و بنابراین  $|\psi_{K^0}|^2$  را به  $|\psi_{\bar{K}^0}|^2$  تبدیل می کند

$$|C\psi_{K^0}|^2 = |\psi_{\bar{K}^0}|^2$$

$$|C\psi_{\bar{K}^0}|^2 = |\psi_{K^0}|^2$$

بنابراین

$$C\psi_{K^0} = \eta\psi_{\bar{K}^0} \quad (۵.۳۸)$$

که در آن  $|\eta|=1$  است. فاز نسبی  $\psi_{K^0}$  و  $\psi_{\bar{K}^0}$  را معمولاً طوری انتخاب می کنند که داشته باشیم

$$C\psi_{K^0} = \psi_{\bar{K}^0} \quad (۶.۳۸)$$

$$C\psi_{\bar{K}^0} = \psi_{K^0}$$

$\psi_{K^0}$  و  $\psi_{\bar{K}^0}$  ویژه حالت های  $CP$  نیستند، ولی حالات زیر

$$\psi_{K^0}^+ = \frac{1}{\sqrt{2}}(\psi_{K^0} + \psi_{\bar{K}^0}) \quad (۷.۳۸)$$

$$\psi_{K^0}^- = \frac{1}{\sqrt{2}}(\psi_{K^0} - \psi_{\bar{K}^0}) \quad (۸.۳۸)$$

ویژه حالت های بهنجار شده  $CP$  هستند، زیرا

$$CP\psi_{K^0}^+ = +\psi_{K^0}^+ \quad (۹.۳۸)$$

$$CP\psi_{K_1^0} = -\psi_{K_1^0} \quad (۱۰.۳۸)$$

به علت پایستگی CP در برهم کنشهای ضعیف،  $K_1^0$  نمی تواند به حالانی با  $CP = -1$  و  $K_2^0$  به حالانی با  $CP = +1$  واپاشی کند، بنابراین  $K_1^0$  و  $K_2^0$  مدهای واپاشی متفاوتی دارند.

به عنوان مثال، حالت دو مزون  $\pi$  خنثی را در چارچوب مرکز جرمشان در نظر می گیریم. چون حاصلضرب پارتهای ذاتی پیونها  $+1$  است، اثر عملگر پارینه فقط تعویض دو پیون خواهد بود. ولی این تعویض باید تابع موج را بدون تغییر نگه دارد، زیرا مزونهای  $\pi^0$  بوزونهای یکسانی هستند. با نوشتن تابع موج دو پیون به صورت  $\phi(\pi^0, \pi^0)$ ، خواهیم داشت

$$P\phi(\pi^0, \pi^0) = +\phi(\pi^0, \pi^0) \quad (۱۱.۳۸)$$

به علاوه چون  $\pi^0$  پاد ذره خودش است، داریم

$$CP\phi(\pi^0, \pi^0) = +\phi(\pi^0, \pi^0) \quad (۱۲.۳۸)$$

حال دستگاهی مرکب از یک  $\pi^+$  و یک  $\pi^-$  را در چارچوب مرکز جرم در نظر می گیریم. باز هم اثر عملگر پارینه تعویض دو ذره خواهد بود، یعنی

$$P\phi(\pi^+, \pi^-) = +\phi(\pi^-, \pi^+) \quad (۱۳.۳۸)$$

که چون  $\pi^+$  و  $\pi^-$  پاد ذره یکدیگرند، نتیجه می شود که

$$CP\phi(\pi^+, \pi^-) = +\phi(\pi^+, \pi^-) \quad (۱۴.۳۸)$$

چون دستگاه دو پیونی دارای  $CP = +1$  است، تنها  $K_1^0$  می تواند به دو پیون واپاشیده شود

$$K_1^0 \rightarrow \pi^0 + \pi^0$$

$$K_1^0 \rightarrow \pi^+ + \pi^-$$

$K_1^0$  دارای عمر متوسط  $10^{-10} \times 86$  ثانیه است.

$K_2^0$  با مدهای دیگری واپاشی می کند، از قبیل

$$K_2^0 \rightarrow \pi^0 + \pi^0 + \pi^0$$

$$\rightarrow \pi^+ + \pi^- + \pi^0$$

$$\rightarrow \pi + \mu + \nu$$

$$\rightarrow \pi + e + \nu$$

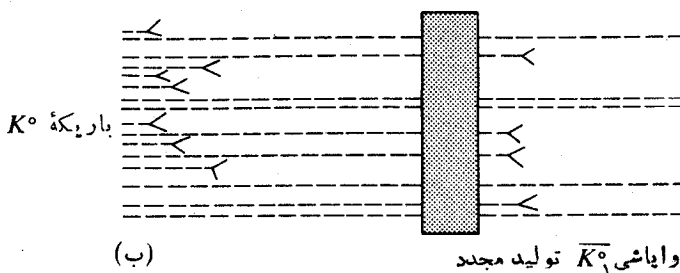
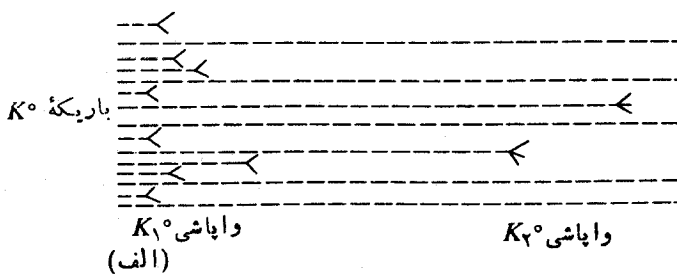
(۱۵.۳۸)

و دارای عمر متوسط  $10^{-8} \times 5$  ثانیه است.

این تفاوت قابل ملاحظه در طول عمر  $K_1^0$  و  $K_2^0$  ما را به این امر هدایت می کند که  $K_1^0$  و  $K_2^0$  را، به جای  $K^0$  و  $\bar{K}^0$ ، به عنوان ذرات در نظر بگیریم. اما، کائونهای خنثی یا به صورت  $K^0$  یا  $\bar{K}^0$  تولید می شوند، و در پی آن به صورت  $K_1^0$  یا  $K_2^0$  واپاشی می کنند. برای نمونه، باریکه‌های از ذرات  $K^0$  را که در واکنش (۲.۳۸) تولید می شود، در نظر می گیریم. از آنجا که از معادله‌های (۷.۳۸) و (۸.۳۸) داریم

$$\psi_{K^0} = \frac{1}{\sqrt{2}} (\psi_{K_1^0} + \psi_{K_2^0}) \quad (۱۶.۳۸)$$

نیمی از باریکه به صورت  $K_1^0$  سریعاً واپاشی می کند، و نیمه دیگر مدت بیشتری طول می کشد تا به صورت  $K_2^0$  واپاشی کند (شکل ۱۰.۳۸ الف). بدین ترتیب، در فاصله‌ای از مسیر باریکه مزونهای  $K$  خنثی، به علت واپاشی نسبتاً سریع  $K_1^0$  به  $2\pi$ ، در عمل کل سهم  $K_1^0$  از باریکه ناپدید خواهد شد. پس باریکه عمدتاً متشکل از ذرات  $K_2^0$  خواهد



شکل ۱۰.۳۸ واپاشی کائونهای خنثی

شد. ما این باریکه را باریکه «مانده» خواهیم نامید. اما از معادله (۸.۳۸) می بینیم که اگر اجازه دهیم که باریکه «مانده» برهم کنش قوی انجام دهد، قادر به مشاهده مزونهای  $K^0$  در باریکه خواهیم بود. به عنوان مثال، باریکه «مانده» می تواند برای تولید هر يك از واکنشهای معادله (۱۰.۳۸) مورد استفاده قرار گیرد.

اگر باریکه «مانده» از يك هدف عبور کند، قسمتهای  $K^0$  و  $\bar{K}^0$  موجود در باریکه  $K^0$  به علت شگفتی متفاوتشان به طور متفاوتی با هسته های هدف برهم کنش خواهند کرد. در نتیجه وقتی که باریکه از هدف خارج می شود، دامنه و فاز نسبی حالت های  $K^0$  و  $\bar{K}^0$  موجود در باریکه تغییر خواهند کرد، و باریکه متشکل از ذراتی در حالت زیر خواهد بود

$$\psi = \alpha\psi_{K^0} - \beta\psi_{\bar{K}^0}$$

با  $\alpha \neq \beta \neq \frac{1}{\sqrt{2}}$ . این باریکه دیگر باریکه ای خالص از  $K^0$  نخواهد بود، زیرا ذرات  $K^0$  مجدداً توسط هدف تولید شده اند. در نتیجه پس از عبور باریکه از میان هدف، دوباره واپاشی به دو پیون مشاهده خواهد شد (شکل ۱۰.۳۸ ب).

مزونهای K خنثی را می توان بر حسب هر دو حالت متعامدی که از برهم نهش خطی  $K^0$  و  $\bar{K}^0$  حاصل شود، بیان کرد. ولی این امر عموماً کار آسانی نیست. مناسبتر این است که در هنگام مطالعه برهم کنشهای قوی، به علت پایستگی شگفتی در این برهم کنشها، کائون خنثی را بر حسب حالتی با شگفتی معین، یعنی  $K^0$  و  $\bar{K}^0$ ، بیان کرد، و در هنگام مطالعه برهم کنشهای ضعیف که در آنها CP پایسته است، کائون خنثی را بر حسب حالتی با CP معین، یعنی  $K^0$  و  $\bar{K}^0$ ، بیان کرد.

توصیف رفتار کائونهای خنثی از يك طرف بر حسب  $K^0$  و  $\bar{K}^0$  و از طرف دیگر بر حسب  $K^0$  و  $\bar{K}^0$ ، شباهت نزدیکی با توصیف نور دارد. می دانیم که نور را می توان از يك طرف به صورت نور با قطبش دایره ای راستگرد و چپگرد، و از طرف دیگر با قطبش صفحه ای توصیف کرد. نور با قطبش صفحه ای را می توان به صورت برهم نهش خطی نور با قطبش دایره ای راستگرد و چپگرد بیان کرد. باریکه ای از نور با قطبش دایره ای راستگرد را در نظر بگیرید که در امتداد حرکتش در جهت z به صافی برخورد می کند که فقط نوری با قطبش صفحه ای در جهت x را عبور می دهد. حال اگر این نور با قطبیدگی صفحه ای از میان صافی دومی با خواص انتقالی متفاوت برای نور قطبی دایره ای راستگرد و چپگرد عبور کند، باریکه نهایی نور دیگر فقط قطبش صفحه ای در جهت x نخواهد داشت، بلکه مؤلفه ای با قطبیدگی صفحه ای در جهت y هم خواهد داشت که توسط صافی دوم به همان شیوه باز آفرینی مزونهای  $K^0$  باز تولید شده است.

### ۳۹. ناپایستگی CP

در بخش قبلی دیدیم که با فرض پایسته بودن CP در برهم کنشهای ضعیف، يك باریکه از

مزونهای  $K^0$  شامل مؤلفه‌ای با عمر کوتاه  $\pi^+\pi^- \rightarrow K^0$  و مؤلفه‌ای با عمر طولانی  $\pi^+\pi^+\pi^- \rightarrow K^0$  خواهد بود. بنابراین در فاصله قابل توجهی از منبع مزونهای خنثی، که خیلی بزرگتر از  $\tau = 2.59 \text{ cm}$  باشد (عمر متوسط  $K^0$  است)، واپاشی به دو پیون نباید مشاهده شود.

در سال ۱۹۶۴ کریستن‌سون، کرونین، فیتچ و نورلای در باریکه‌ای از کائونهای خنثی در فاصله ۵۷ فوتی از حمل تولیدشان، واپاشی به دو پیون باردار را مشاهده کردند. از آنجایی که هیچ مزونی از نوع  $K^0$  نمی‌توانست تا این فاصله باقی مانده باشد، آنها واپاشی زیر را مشاهده کرده بودند

$$K^0 \rightarrow \pi^+ + \pi^- \quad (۱.۳۹)$$

از آنجایی که  $K^0$  دارای  $CP = -1$  است، که در بخش قبلی مورد بحث قرار گرفت، و دستگاه دو پیونی دارای  $CP = +1$  است، آنها ناپایستگی CP را مشاهده کرده بودند و بدین ترتیب معلوم شد که برهم کنشهای ضعیف تحت عمل ترکیبی وارونی فضایی و همیوگی ناوردا نیستند.

آرایش دستگاه آشکارساز این آزمایش در شکل ۱.۳۹ نموده شده است. در این آزمایش با استفاده از اتاقکهای جرقه‌ای که در انطباق با شمارگرهای چرنکوف روشن می‌شدند، واپاشی یک باریکه  $K^0$  در گاز هلیوم را مورد مشاهده قرار دادند. در این آزمایش دو ذره باردار همفرود مشاهده شدند و تکانه آنها اندازه‌گیری شد. با فرض اینکه ذرات مشاهده شده مزون  $\pi$  باشند، جرم ناوردای  $M^*$  را محاسبه کردند

$$M^* = c^{-2}[(E_1 + E_2)^2 - c^2(\mathbf{p}_1 + \mathbf{p}_2)^2]^{1/2} \quad (۲.۳۹)$$

که در آن از رابطه زیر استفاده می‌شود

$$E_i = (c^2 p_i^2 + M_i^2 c^4)^{1/2} \quad (۳.۳۹)$$

اگر واپاشی فقط به دو پیون صورت گیرد،  $M^*$  متناظر با جرم سکون ذره در حال واپاشی خواهد بود. برای واپاشی به دو پیون، معادله (۱.۳۹)، داریم

$$M^* = M_K = 498 \text{ MeV} \quad (۴.۳۹)$$

برای واپاشی به سه پیون

$$K^0 \rightarrow \pi^+ + \pi^- + \pi^0 \quad (۵.۳۹)$$

تنها ذرات باردار مشاهده می‌شوند، و داریم

$$280 \text{ MeV} < M^* < 363 \text{ MeV} \quad (۶.۳۹)$$

که نمی‌تواند با واپاشی معادله (۱.۳۹) اشتباه شود. برای واپاشی

$$K_2^0 \rightarrow \pi + \mu + \nu \quad (۷.۳۹)$$

داریم

$$۲۸۰ \text{ MeV} < M^* < ۵۱۶ \text{ MeV} \quad (۸.۳۹)$$

و برای واپاشی

$$K_2^0 \rightarrow \pi + e + \nu \quad (۹.۳۹)$$

داریم

$$۲۸۰ \text{ MeV} < M^* < ۵۳۶ \text{ MeV} \quad (۱۰.۳۹)$$

برای هر دو واکنش (۷.۳۹) و (۹.۳۹)،  $M^*$  به آرامی در ناحیه داده شده تغییر خواهد کرد، و دلیلی وجود ندارد که در این واپاشیها مقدار  $M^*$  در نزدیکی ۴۹۸ مگا الکترون ولت قله‌ای داشته باشد.

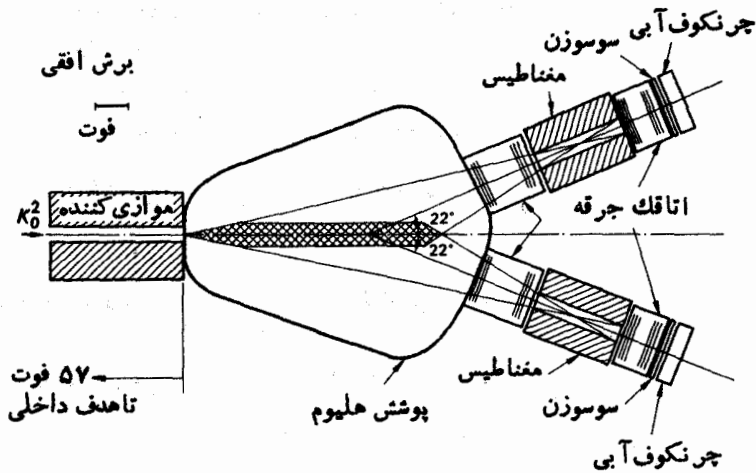
در این آزمایش زاویه  $\theta$  بین جهت باریکه  $K_2^0$  و بردار حاصل جمع تکانه‌های دو ذره مشاهده شده هم تعیین شد. برای واپاشیهای دو جسمی باید این زاویه صفر باشد، و برای واپاشیهای سه جسمی غالباً صفر نیست. نتایج اندازه‌گیری نشان می‌داد که برای رویدادهایی با  $M^* \simeq M_K$ ، زاویه  $\theta$  نزدیک به صفر است. مشاهدات با فرض واپاشی  $K_2^0$  به دو مزون  $\pi$  سازگار بودند. واکنش امکان پذیر زیر

$$K_2^0 \rightarrow \pi^+ + \pi^- + \gamma \quad (۱۱.۳۹)$$

فقط در صورتی می‌توانست نتایج مشاهده شده را ایجاد کند که سهم انرژی پرتو  $\gamma$  از انرژی جنبشی موجود در فرایند که به ۲۰۹ مگا الکترون ولت می‌رسید، محدود به مقادیری کمتر از ۱ مگا الکترون ولت می‌شد.

از ۲۲۷۰۰ نمونه واپاشی  $K_2^0$ ، تعداد  $۴۵ \pm ۹$  نمونه واپاشی به صورت  $K_2^0 \rightarrow \pi^+ + \pi^-$  تشخیص داده شد. این عدد خیلی بزرگتر از آن بود که بتواند بر اساس بازآفرینی  $K_1^0$  در گاز هلیوم یا بازآفرینی آن در جای دیگر، توضیح دهند. دستگاه را از طریق مشاهده واپاشیهای  $۲\pi \rightarrow K_1^0$  که در آن مزونهای  $K_1^0$  با فرار دادن یک هدف تنگستن در مسیر باریکه ایجاد شده بودند، درجه‌بندی کرده بودند. از آن زمان تا کنون آزمایشهای متعددی توسط چندین گروه بر روی واپاشی  $K_2^0 \rightarrow \pi^+ + \pi^-$  صورت گرفته است، که به همان نتایج رسیده‌اند. پیشنهادهای گوناگونی به منظور نجات ناوردایی CP ارائه شده‌اند، ولی هیچیک از آنها با نتایج آزمایشی سازگار نبوده‌اند، و بنابراین باید این نتیجه را بپذیریم که CP پایسته نیست. به این ترتیب باید بر اساس قضیه CPT بپذیریم که ناوردایی تحت وارونی زمان، T، نیز برقرار نیست.





شکل ۱۰۳۹ تصویر برش افقی آرایش آشکارساز کریستن سون و همکاران  
حجمی که در آن واپاشیها مشاهده شده اند، در تصویر هاشور متقاطع  
خورده است.

ناپایستگی CP، از يك لحاظ، کمتر از ناپایستگی پاریته رضایت خاطر انسان را  
تأمین می کند. وقتی که ناپایستگی پاریته در برهم کنشهای ضعیف کشف شد، حداقل  
این دلگرمی وجود داشت که نقض آن به طور پیشینه صورت می گیرد، بدین معنی که تمام  
نوترینوها، و نه فقط چیزی مثلا حدود ۵۱ درصد آنها، راستگرد بودند، ولی ناپایستگی  
CP به مقدار کوچکی صورت می گیرد و CP تقریباً پایسته می ماند. به عنوان مثال، نتیجه  
آزمایش کریستن سون و همکاران نسبت انشعاب زیر را به دست می دهد

$$R = (K_{\nu}^{\circ} \rightarrow \pi^{+} + \pi^{-}) / (K_{\nu}^{\circ} \rightarrow \text{باردار})$$

$$= (270 \pm 074) \times 10^{-3}$$

از آنجا که در برهم کنش ضعیفی که باعث واپاشی کائون خنثی می شود، CP پایسته  
نیست، لزوماً کائون خنثای کوتاه-عمر و کائون خنثای دراز-عمر ویژه حالت‌های CP  
نخواهند بود. اما مرسوم است که  $K_{\nu}^{\circ}$  و  $K_{\nu}^{\circ}$  را برای ویژه حالت‌های CP، به صورتی  
که در معادلات (۷۰۳۷) و (۸۰۳۷) آمده است، استفاده کنند، و  $K_L$  و  $K_S$  را به ترتیب  
برای کائون خنثای کوتاه-عمر و کائون خنثای دراز-عمر به کار گیرند. با این علامتگذاری،  
واپاشی مشاهده شده توسط کریستن سون به صورت زیر بیان می شود

$$K_L \rightarrow \pi^{+} + \pi^{-} \quad (12.39)$$

بررسی مفصلی از ناپایستگی CP و واپاشیهای کائونهای خنثی توسط کبیر (۱۹۶۸)

جدول ۱۰.۳۹ نتایج تجربی مربوط به نقض CP در واپاشی کائون خنثی.

$$\eta_{+-} = (1.96 \pm 0.03) \times 10^{-3} \exp[i(23 \pm 3)^\circ]$$

$$\eta_{00} = (2.09 \pm 0.12) \times 10^{-3} \exp[i(23 \pm 19)^\circ]$$

ارائه شده است. وضعیت فعلی ناپایدگی CP توسط استاین برگر (۱۹۶۹) مرور شده است.

علاوه بر واپاشی (۱۲.۳۹)، واپاشی زیر

$$K_L \rightarrow \pi^0 + \pi^0 \quad (13.39)$$

نیز اندازه گیری شده است. نتایج اندازه گیریها توسط پارامترهای زیر داده می شوند

$$\eta_{+-} = \frac{\text{دامنه } (K_L \rightarrow \pi^+ + \pi^-)}{\text{دامنه } (K_S \rightarrow \pi^+ + \pi^-)} \quad (14.39)$$

$$\eta_{00} = \frac{\text{دامنه } (K_L \rightarrow \pi^0 + \pi^0)}{\text{دامنه } (K_S \rightarrow \pi^0 + \pi^0)} \quad (15.39)$$

این نتایج در جدول ۱۰.۳۹ نموده شده اند. توجه کنید که معادلات (۱۴.۳۹) و (۱۵.۳۹) نسبت دامنه های مکانیک کوانتومی را می دهند، ولی نسبت تعداد حوادث یا نسبت احتمال توسط  $|\eta_{+-}|^2$  و  $|\eta_{00}|^2$  داده می شود.

نقض CP در واپاشیهای زیر هم مشاهده شده است

$$K_L \rightarrow \pi^+ + \mu^- + \bar{\nu}_\mu \quad (16.39)$$

$$K_L \rightarrow \pi^- + \mu^+ + \nu_\mu \quad (17.39)$$

$$K_L \rightarrow \pi^+ + e^- + \bar{\nu}_e \quad (18.39)$$

$$K_L \rightarrow \pi^- + e^+ + \nu_e \quad (19.39)$$

که در آنها اندکی هم نامتقارنی بار مشاهده می شود، یعنی تعداد واپاشیهای (۱۶.۳۹) و (۱۷.۳۹) و، به همین نحو، تعداد واپاشیهای (۱۸.۳۹) و (۱۹.۳۹) یکسان نیست.

## تقرین

۹. برای واپاشیهای زیر، تمام حالات ممکن بار الکتریکی برای ذرات واپاشیده و

همچنین نوع نوترینو، یعنی  $\nu_\mu$ ،  $\bar{\nu}_\mu$ ،  $\nu_e$  و  $\bar{\nu}_e$  را مشخص کنید. اسپین هر ذره را معین کرده و بیان کنید که ذره بوزون و یا فرمیون است. در هر واپاشی انرژی آزاد شده (Q) را محاسبه کنید

$$K_L^0 \rightarrow \pi^+\pi^+\pi^- \quad (\text{ب}) \quad K_S^0 \rightarrow \pi^+\pi^- \quad (\text{الف})$$

$$K_L^0 \rightarrow \pi^+e^-\nu_e \quad (\text{د}) \quad K_L^0 \rightarrow \pi^+\mu^-\nu_\mu \quad (\text{ج})$$

۴. در باریکه‌ای از کائونهای خنثی با انرژی ۱۰ جیگا الکترون‌ولت و درفاصله ۲۰ متری از محل تولید، نسبت  $K_S$  به  $K_L$  را پیدا کنید.

## مراجع

- Christenson, J. H., J. W. Cronin, V. L. Fitch and R. Turlay, *Phys. Rev. Lett.*, **13** (1964) 138.
- Kabir, P. K., *The CP Puzzle; Strange Decays of the Neutral Kaon*, 1968. Academic Press, London and New York.
- Roos, M., C. Bricman, A. Barbaro-Galtieri, L. R. Price, A. Rittenberg, A. H. Rosenfeld, N. Barash-Schmidt, P. Söding, C. Y. Chien, C. G. Wohl, T. Lasinski, *Phys. Lett.*, **33B** (1970) 1.
- Steinberger, J., *Comments on Nuclear and Particle Physics* **3** (1969) 73; *Proceedings of the Lund International Conference on Elementary Particles*, 1969.

## تشدید

۴۰. مقدمه

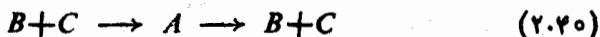
در بخش ۲۴ دیدیم که عمر طولانی ذرات شکفت توسط پایستگی شکفتنی توضیح داده می‌شود. ذرات شکفت از طریق برهم کنشهای قوی تولید و متعاقباً از طریق برهم کنشهای ضعیف واپاشیده می‌شوند. درباره ذراتی که از طریق برهم کنشهای قوی واپاشیده می‌شوند، چه می‌توان گفت؟ موجودیت چنین ذراتی بسیار گذراست، و دارای عمری متناظر با زمان لازم برای اینکه ذره سریعی بتواند فاصله‌ای در حدود برد نیروهای هسته‌ای را طی کند، یعنی  $23-10^{-23} \approx \tau$  ثانیه، هستند. بنابراین ذراتی که به‌طور قوی واپاشیده می‌شوند، نمی‌توانند برای برجای گذاشتن ردیابی از خود در اتاقک ابر یا اتاقک حباب فاصله‌ای کافی طی کنند، و همچنین نمی‌توانند به هیچ طریق دیگری مستقیماً مشاهده شوند.

از آنجایی که ذراتی که به‌صورت قوی واپاشیده می‌شوند دارای چنین هستی کوتاهی هستند، در ذره نامیدن آنها شک است. ولی فیزیکدانها گسترش استفاده از کلمه «ذره» را، به‌طوری که چنین ذراتی را هم شامل شود، مناسب یافته‌اند، البته با در نظر داشتن این باورهایمانه که می‌گویند «وقتی من کلمه‌ای را به‌کار می‌برم، آن کلمه فقط همان معنایی را می‌دهد که من می‌خواهم. نه بیشتر و نه کمتر» (کارول، ۱۸۷۲).

اگرچه ذرات واپاشنده قوی نمی‌توانند به‌طور مستقیم مشاهده شوند، ولی اثرات به‌سهولت قابل مشاهده‌ای را از خود برجای می‌گذارند. به‌عنوان مثال ذره‌ای را که به‌صورت زیر واپاشیده می‌شود، در نظر بگیرید

$$A \rightarrow B + C \quad (1.40)$$

در پراکندگی  $B$  توسط  $C$  ذره  $A$  به‌صورت تشدید ظاهر خواهد شد



این موضوع در شکل ۱.۴۰ نموده شده است. تشدیدهای مشابهی در فیزیک اتمی و فیزیک هسته‌ای رخ می‌دهند [برای نمونه به ایزبرگ (۱۹۶۱) رجوع کنید]. مطابق اصل عدم قطعیت‌ها یزبرگ

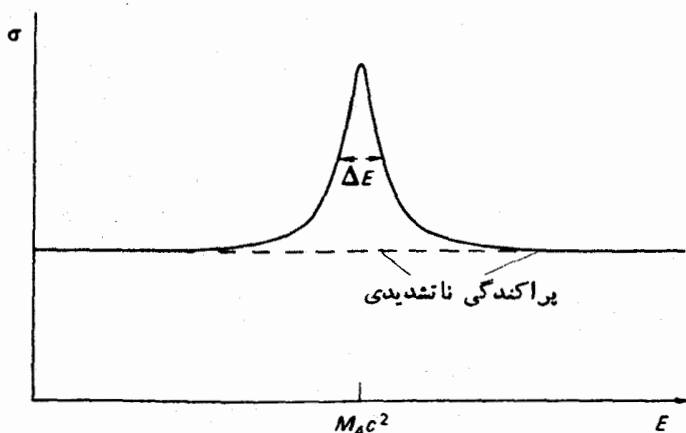
$$\Delta E \Delta t \sim \hbar \quad (۳.۴۰)$$

که در آن  $\Delta t$  عمر و  $\Delta E$  پهنای تشدید است.  $\Delta E$ ، همان گونه که در شکل ۱.۴۰ نموده شده، پهنای تشدید در نصف ارتفاع است.

تشدید پراکندگی شیشه تشدید نوسانگر کلاسیک است (پیوست ۵). تغییرات مقطع پراکندگی تشدید بر حسب انرژی دارای همان شکل تغییرات دامنه یک نوسانگر بر حسب بسامد است. مقطع پراکندگی تشدید با فرمول برایت - ویگنر داده می‌شود.

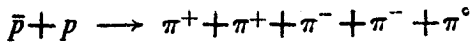
$$\sigma_{\text{تشدید}} = \frac{\text{ثابت}}{(E - E_0)^2 + \Gamma^2/4} \quad (۴.۴۰)$$

که در آن  $E_0 = M_A c^2$  و  $\Gamma$  پهنای  $\Gamma = \Delta E$  است (هالیدی، ۱۹۵۰). وضعیتی که با معادله (۴.۴۰) و شکل ۱.۴۰ توصیف شده است، به‌طور ملموسی ساده شده است. مشاهده تشدید پراکندگی معمولاً به خاطر حضور تشدیدهای دیگر نزدیک به آن و به خاطر تداخل با پراکندگی غیر تشدید پیچیده می‌شود. تشدید پراکندگی پيون - نوکلئون را در بخش ۴۱ مورد بحث قرار خواهیم داد.

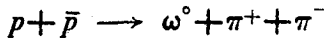


شکل ۱.۴۰ تشدید برای پراکندگی  $B+C \rightarrow A \rightarrow B+C$  انرژی کل در چارچوب مرکز جرم است.

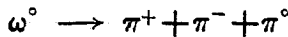
وجود ذرات واپاشنده قوی یا تشدید را می توان همچنین از تحلیل همبستگیهای انرژی - تکانه در محصولات واپاشی يك واکنش استنتاج کرد. به عنوان مثال واکنش زیر را در نظر بگیرید



از همبستگیهای انرژی - تکانه می توان استنباط کرد که این واکنش بعضی اوقات از طریق تشکیل يك ذره میانی به نام  $\omega^0$ ، یعنی از طریق



و به دنبال آن واپاشی زیر



صورت می گیرد. این روش مشاهده تشدید در بخش ۴۲ مورد بحث بیشتری قرار خواهد گرفت.

#### ۴.۱ تشدید در پراکندگی پيون - نوکلئون

تشدیدها به وضوح در مقطع کل پراکندگی پيونها توسط پروتونها، همچنان که در شکلهای ۱۰.۴۱، ۲۰.۴۱ و ۳۰.۴۱، نموده شده اند، قابل مشاهده اند. مقطع کل با اندازه گیری میزان تضعیف باریکه پيوني در عبور از هدف هیدروژنی به دست می آید. برای تشدیدهای حاوی ایزوسپین  $I = 3/2$ ، علامت  $\Delta$  به کار گرفته می شود و برای تشدیدهایی با ایزوسپین نوکلئونها  $I = 1/2$ ، علامت نوکلئونی  $N$  مورد استفاده قرار می گیرد. در بعضی از کتابها و مقالات تشدیدهای با  $I = 3/2$  و  $I = 1/2$  را به ترتیب با علامتهای  $N_{3/2}$  و  $N_{1/2}$  نشان می دهند.

تشدیدها را عموماً با علامت مربوطه  $\Delta$  یا  $N$  و با جرم بر حسب مگا الکترون ولت مشخص می سازند، مانند  $\Delta(1236)$  و  $N(1520)$ .

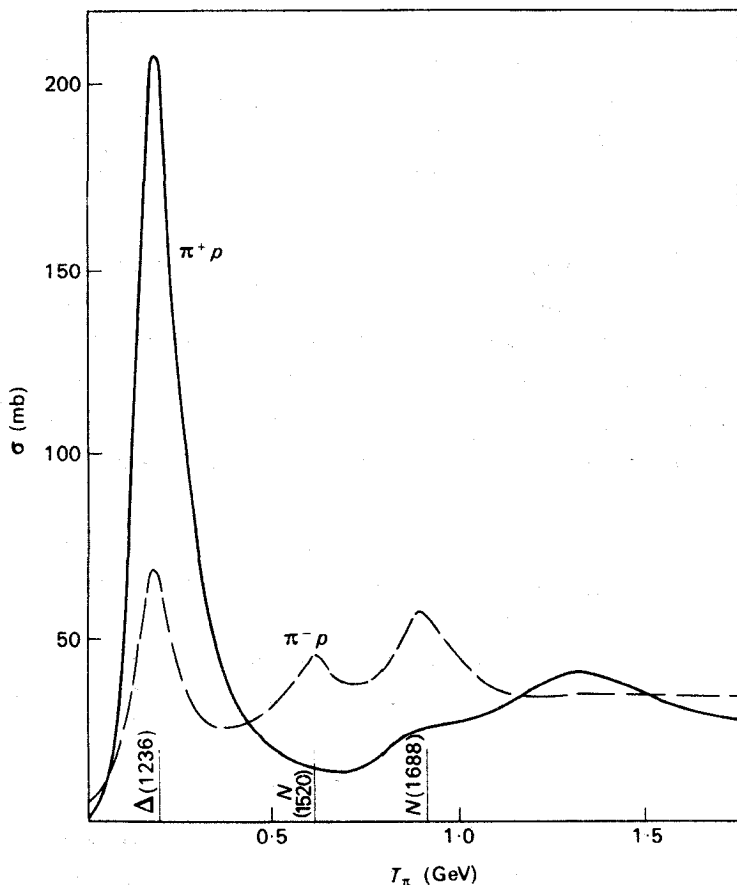
دستگاه  $\pi^+ + p$  دارای  $I_3 = 3/2$  است و بنا بر این حاوی  $I = 3/2$  خواهد شد. دستگاه  $\pi^- + p$  دارای  $I_3 = 1/2$  است، و بنا بر این بخشی از آن دارای حالت  $I = 3/2$  و بخش دیگری از آن دارای حالت  $I = 1/2$  است. بنابراین تشدیدهایی که برای  $\pi^+ + p$  به وقوع می پیوندد دارای  $I = 3/2$  هستند و برای  $\pi^- + p$  هم رخ می دهند. تشدیدهایی که برای  $\pi^- + p$  رخ می دهند ولی برای  $\pi^+ + p$  رخ نمی دهند، دارای  $I = 1/2$  هستند. تشدیدها را می توان در بررسی مقطه های کل برای حالت های ایزوسپینی خالص با وضوح بیشتری مشاهده کرد. البته مقطع  $I = 3/2$  همان مقطع کل  $\pi^+ + p$  است. مقطع  $I = 1/2$  توسط رابطه زیر

$$\sigma_{\frac{1}{2}} = \frac{3}{2} \sigma_{\text{کل}}^- - \frac{1}{2} \sigma_{\text{کل}}^+ \quad (10.41)$$

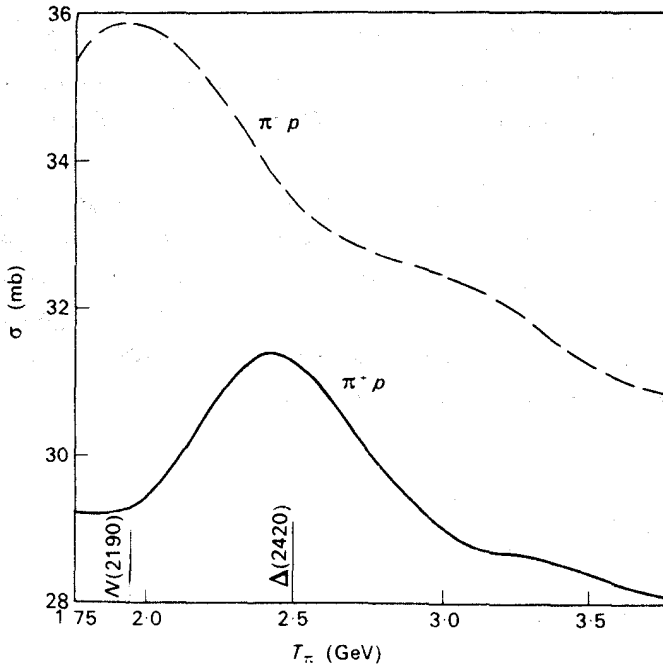
داده می‌شود، که در آن  $\sigma_{\pi^+p}$  و  $\sigma_{\pi^-p}$  به ترتیب مقطع کل برای  $\pi^+p$  و  $\pi^-p$  هستند (تمرین ۴). مقطع کل پيون - نوکلئون برای دو حالت ایزوسپینی در شکل ۴.۴۱ نموده شده است. مقطع کل با  $I = 1/2$  برای انرژیهای بالاتر با جزئیات بیشتری در شکل ۵.۴۱ نموده شده است.

مقطع کل را می‌توان به کمک شکل‌های برای  $\pi^-p$  و  $\pi^+p$  و زمینه غیر تشدید می‌مورد تجزیه و تحلیل قرار داد و بدین ترتیب پهنای تشدید را به دست آورد. اما باید پذیرفت که تشدیدهای شکل‌های ۲.۴۱، ۴.۴۱ و ۵.۴۱ به نظر نمی‌آید که زیاد شبیه منحنی برای  $\pi^-p$  و  $\pi^+p$ ، که در شکل ۱.۴۵ نموده شده است، باشند.

تشدید پيون - نوکلئون را می‌توان علاوه بر روش مقطع کل، با بررسی دیگر داده‌های برهم کنش پيون - نوکلئون از قبیل توزیع زاویه‌ای پيون‌های پراکنده شده و قطبیدگی



شکل ۱.۴۱



**شکل ۱۰۴۱** مقطع کل برای پراکندگی پیونها توسط پروتونها،  $T_{\pi}$  انرژی جنبشی پیون در چارچوب آزمایشگاه است. موضع تعدادی از تشدیدهای مهم مشخص و جرمشان برحسب مگاالکترون ولت داده شده است. تشدیدهای مشخص شده با  $N$  دارای ایزوسپین  $I=1/2$  و تشدیدهای مشخص شده با  $\Delta$  دارای  $I=3/2$  هستند. منحنیها از اطلاعات گردآوری شده توسط بارشکوف (۱۹۶۸) اقتباس شده است. (قسمت اول منحنیها در صفحه قبل)

پروتون پس زده به نحو مؤثری مورد مطالعه قرار داد. از بررسی مفصل برخورد پیونها با پروتونها توانسته اند تعدادی از تشدیدها را، که در مقطع کل آشکار نیستند، کشف کنند و اسپین و پارتهٔ تعدادی از تشدیدها را به دست آورند. برخی از نتایج تجربی توزیع زاویه ای پیونهایی که به طور کشسان توسط پروتونها پراکنده شده اند و همچنین واکنش تبادل بار زیر



در شکل ۶۰۴۱ نموده شده است. نتایج مربوط به برهم کنش پیون - نوکلئون رامی توان برحسب مقطع پیون - نوکلئون در حالتی مشخصی که دارای ایزوسپین  $I$ ، تکانهٔ زاویه ای مداری  $l$  و اسپین کل  $J$  (جمع



تکانه زاویه‌ای مداری  $l$  و اسپین نوکلئون  $J = l \pm 1/2$  هستند، خلاصه کرد. ایسن حالات عموماً توسط علامت زیر مشخص می‌شوند

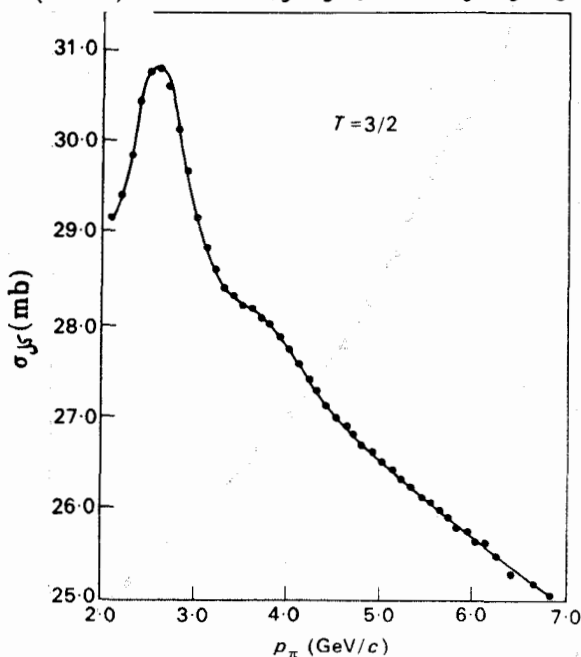
$$I_{\pi, \nu} J \text{ یا } I_{\pi} J$$

که در آن از علامتگذاری طیف نمایی برای  $l$  استفاده می‌شود، یعنی

$$l = 0, 1, 2, 3, 4, \dots$$

S P D F G

برای مثال حالت  $D_{35}$  دارای  $l = 2$ ،  $J = 3/2$  و  $J = 5/2 = l + 1/2$  است. حالت يك موج تخت مربوط به پیونهای فرودی بر روی پروتونها را می‌توان بر حسب حالات  $I_{\pi} J$  که امواج جزئی نامیده می‌شوند، بسط داد. مقطع مربوط به حالت‌های  $I_{\pi} J$  را مقطع امواج جزئی می‌نامند. نتایج يك تجزیه و تحلیل از مقطع امواج جزئی برای برهم کنش پیون - نوکلئون توسط بساری-سر، بریکمان و ویله (۱۹۶۸) در شکل ۷.۴۱

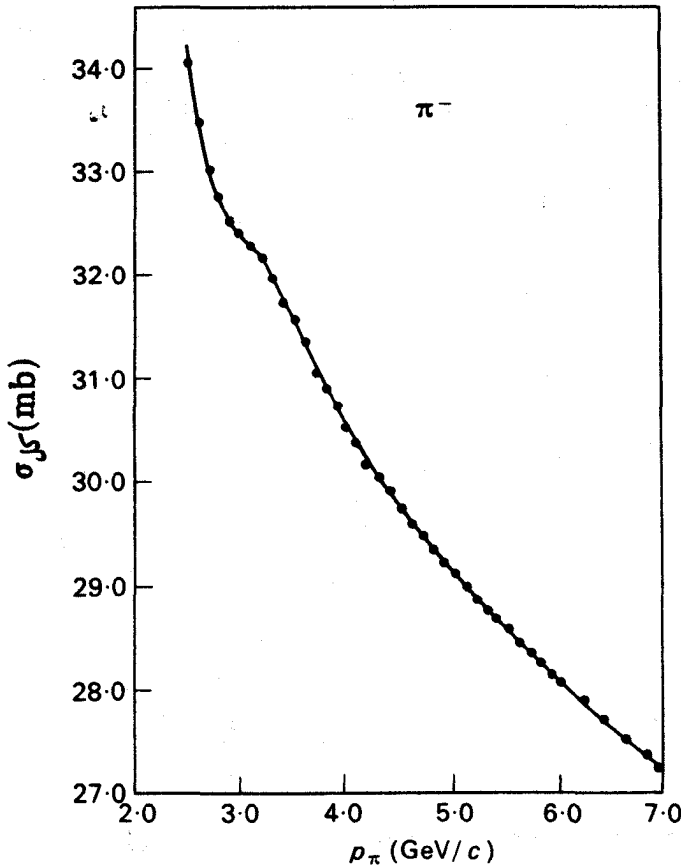


مقطع مؤثر کل  $\pi^+$

شکل ۷.۴۱ مقطع کل  $\pi^+p$ . تشدیدهای  $\Delta(2420)$  و  $\Delta(2850)$  به ترتیب در  $p_{\pi} = 2.65$  GeV/c و  $p_{\pi} = 3.84$  GeV/c دیده می‌شوند.  $p_{\pi}$  تکانه پیون فرودی در چارچوب آزمایشگاه است (تمرین ۲).

نموده شده است. همان موج جزئی که در آن تشدید رخ می دهد، پسا رینه و اسپین تشدید را تعیین می کند. اسپین برابر  $J$  و پاریته برابر  $(-1)^L$  است. تشدیدها در منحنیهای مقطع امواج جزئی در شکل ۷۰۴۱ نسبت به منحنیهای مقطع کل در شکل ۴۰۴۱، با وضوح بیشتری از هم تمیز داده می شوند.

سنس (۱۹۶۹) توضیحی مفصل و خواندنی از برهم کنش پیون- نوکلئون ارائه کرده است. تعدادی از تشدیدهای پیون- نوکلئون در جدول ۱۰۴۱ فهرست شده اند. فهرست کاملی از تشدیدهای نقد شده در مجله *Review of Particle Properties* دیده می شود. این مجله تقریباً هر سال یکبار آخرین اطلاعات مربوط به خواص لپتونها، مزونها و باریونها را که توسط گروه داده های ذرات بنیادی گردآوری می شود، منتشر می کند.

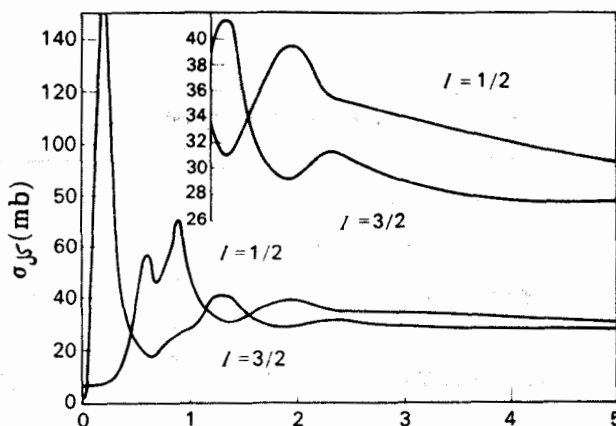


مقطع مؤثر کل  $\pi^-$

شکل ۴۰۴۱ مقطع کل  $\pi^-p$

جدول ۱۰۴۱ تشدیدهای بیون - نوکلئون.

پهنای، $\Gamma$ (MeV)	جرم (MeV)		$J^P$	$I$	
۱۶۵-۴۰۰	۱۴۳۵-۱۵۰۵	$P_{11}$	$\frac{1^+}{2}$	$\frac{1}{2}$	$N(1470)$
۱۰۵-۱۵۰	۱۵۱۰-۱۵۴۰	$D_{13}$	$\frac{3^-}{2}$	$\frac{1}{2}$	$N(1520)$
۵۰-۱۶۰	۱۵۰۰-۱۶۰۰	$S_{11}$	$\frac{1^-}{2}$	$\frac{1}{2}$	$N(1535)$
۱۰۵-۱۷۵	۱۶۵۵-۱۶۸۰	$D_{15}$	$\frac{5^-}{2}$	$\frac{1}{2}$	$N(1670)$
۱۰۵-۱۸۰	۱۶۸۰-۱۶۹۲	$F_{15}$	$\frac{5^+}{2}$	$\frac{1}{2}$	$N(1688)$
۱۰۰-۴۰۰	۱۶۶۵-۱۷۶۵	$S_{11}$	$\frac{1^-}{2}$	$\frac{1}{2}$	$N(1700)$
۲۷۰-۳۲۵	۲۰۰۰-۲۲۶۰	$G_{17}$	$\frac{7^-}{2}$	$\frac{1}{2}$	$N(2190)$
۳۶۰	۲۶۵۰		-	$\frac{1}{2}$	$N(2650)$
۴۰۰	۳۰۳۰		?	$\frac{1}{2}$	$N(3030)$
۱۱۰-۱۲۲	۱۲۳۰-۱۲۳۶	$P_{33}$	$\frac{3^+}{2}$	$\frac{3}{2}$	$\Delta(1236)$
۱۳۰-۲۰۰	۱۶۱۵-۱۶۹۵	$S_{31}$	$\frac{1^-}{2}$	$\frac{3}{2}$	$\Delta(1650)$
۱۴۰-۲۲۰	۱۹۳۰-۱۹۸۰	$F_{37}$	$\frac{7^+}{2}$	$\frac{3}{2}$	$\Delta(1950)$
۲۷۰-۳۵۰	۲۳۲۰-۲۴۵۰		$\frac{11^+}{2}$	$\frac{3}{2}$	$\Delta(2420)$
۴۰۰	۲۸۵۰		$9^+$	$\frac{3}{2}$	$\Delta(2850)$
۲۴۰	۳۲۳۰		?	$\frac{3}{2}$	$\Delta(3230)$



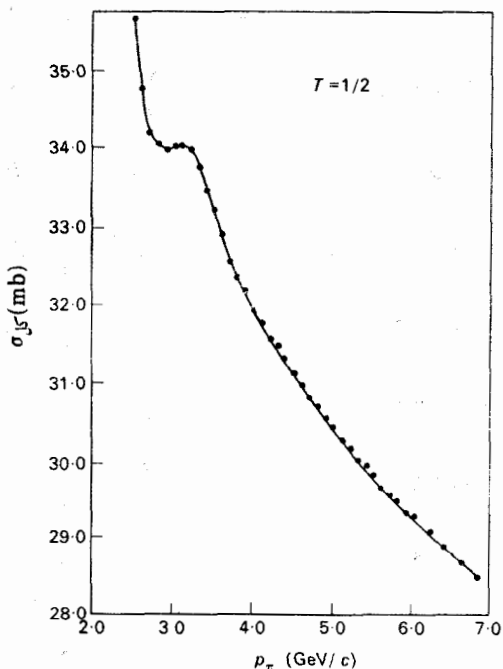
انرژی جنبشی پيون در چارچوب آزمایشگاه (بر حسب BeV)

شکل ۴۰۴۱ مقطع کل پيون - نو کلهون در دو حالت ایزوسپین. مقطع برای پيونهايی با انرژی جنبشی بزرگتر از ۱/۲ بيليون الکترون ولت نیز در حالی که ده برابر شده است، نموده شده است. تشدیدهای زیر در مقادیر مشخص شده انرژی جنبشی پيون  $T_\pi$  دیده می شوند.

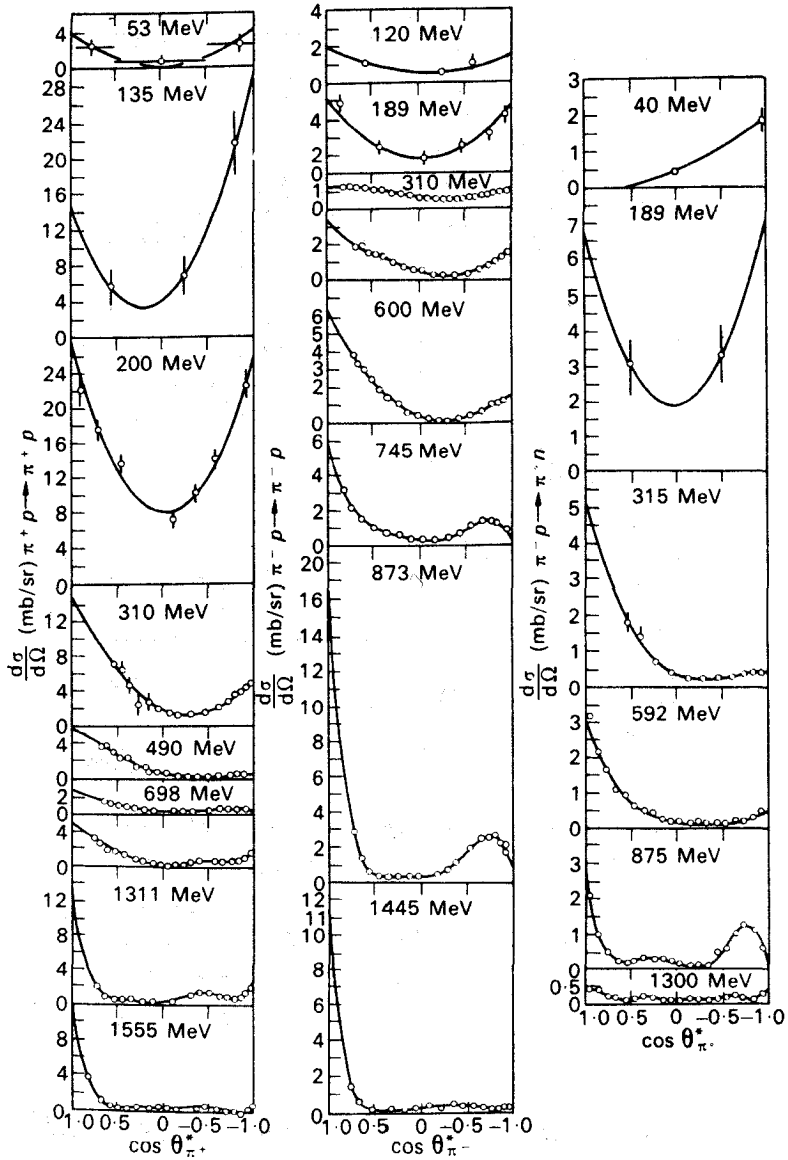
$$N(1520)T_\pi = 0.61 \text{ BeV}; \quad N(1688)T_\pi = 0.90 \text{ BeV};$$

$$N(2190)T_\pi = 1.94 \text{ BeV}; \quad \Delta(1236)T_\pi = 0.20 \text{ BeV};$$

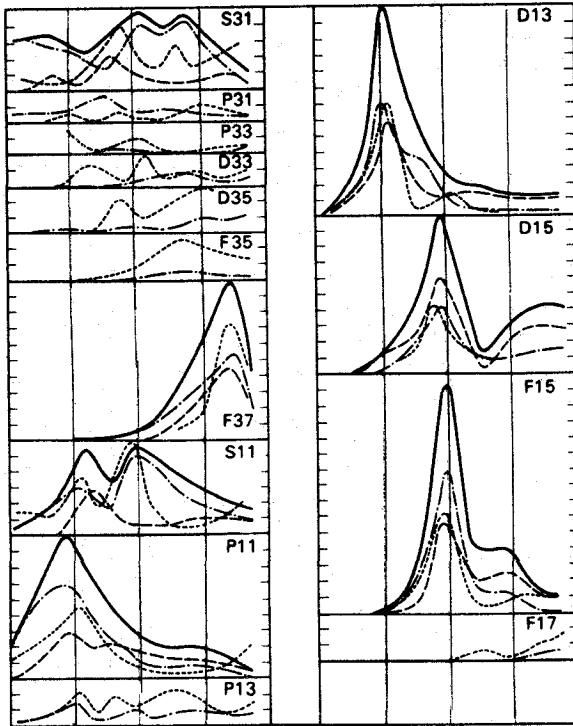
$$\Delta(1950)T_\pi = 1.41 \text{ BeV}; \quad \Delta(2420)T_\pi = 2.24 \text{ BeV}$$



شکل ۵۰۴۱ مقطع کل در حالت ایزوسپین ۱/۲. تشدید  $N(2650)$  در تکانه  $p_\pi = 3.26 \text{ GeV}/c$  دیده می شود. تکانه فرودی پيون در چارچوب آزمایشگاه است. (دقت کنید که در شکل علامت  $T$  به جای ایزوسپین به کار گرفته شده است.)



شکل ۶.۴۱ مقطع جزئی در انرژیهای انتخابی برای  $\pi^- p \rightarrow \pi^0 n$  و  $\pi^\pm p \rightarrow \pi^\pm p$



1300 1500 1700 1900 2100 1300 1500 1700 1900 2100

شکل ۷.۴۱ مقاطعهای موج جزئی، منحنیهای پر برای  $\sigma_{tot}$ ، منحنیهای نقطه - خط برای  $\sigma_{el}$ ، منحنیهای خط چین برای  $\sigma_{inel}$ . محور افقی معرف انرژی کل در چارچوب مرکز جرم و بر حسب مگاالکترون ولت است. این شکل را باید با شکل ۴.۴۱ مقایسه کرد. چند تشدید اضافی در این شکل دیده می شوند.

## ۲۲. آشکارسازی ذرات تشدیدي توسط همبستگی انرژی - تکانه

رودة تشدیدهای مشاهده شدنی در آزمایشهای پراکندگی خیلی محدود است. به عنوان نمونه، تشدیدهایی را که ممکن است در پراکندگی پیونها توسط ذرات  $\Lambda$  رخ دهند، نمی توان مستقیماً در پراکندگی  $\pi\Lambda$  مشاهده کرد، زیرا که هیچ هدفی که از ذرات  $\Lambda$  ساخته شده باشد، نداریم. اما چنین تشدیدهایی را می توان توسط روشهای دیگر، از جمله با به کارگیری همسنگیهای بین انرژی و تکانه ذرات صادر شده پس از واکنش، آشکارساخت.

ذره  $A$  را با امکان واپاشی به دو طریق، یکی واپاشی دو ذره‌ای

$$A \rightarrow B+C \quad (۱.۴۲)$$

و دیگری واپاشی سه ذره‌ای

$$A \rightarrow B+D+E \quad (۲.۴۲)$$

در نظر می‌گیریم، به طوری که تنها ذره مشاهده شده در حالت نهایی ذره  $B$  باشد. در واپاشی دو ذره‌ای، انرژی ذره  $B$  کاملاً توسط بایستگی انرژی و تکانه معین می‌شود. برای مثال در چارچوب سکون  $A$ ، انرژی جنبشی ذره  $B$  با رابطه زیر داده می‌شود (به تمرین ۲ از فصل ششم رجوع کنید)

$$T_B = \frac{[(M_A - M_B)^2 - M_C^2]c^2}{2M_A} \quad (۳.۴۲)$$

از طرف دیگر در واپاشی سه جسمی، قوانین بایستگی انرژی و تکانه به طور یگانگانه‌ای انرژی  $B$  را معین نمی‌کنند. اگر چندین رویداد را مورد مشاهده قرار دهیم، گستره انرژی  $B$  از  $T_B = 0$  تا

$$T_B = \frac{\{(M_A - M_B)^2 - (M_D + M_E)^2\}c^2}{2M_A} \quad (۴.۴۲)$$

به دست خواهد آمد. توزیع  $T_B$  را برای تعدادی از واپاشیها می‌توان با نظریه آماری تخمین زد. احتمال اینکه ذره  $B$  با انرژی خاص  $T_B$  صادر شود بستگی به مقدار فضای فاز موجود برای ترکیب ذرات  $B$ ،  $D$  و  $E$  با انرژی جنبشی  $B$  برابر  $T_B$  دارد، یا به بیان دیگر بستگی به تعداد حالات نهایی دارد که در آنها  $B$  دارای آن انرژی جنبشی خاص می‌شود. (در اصطلاح اغلب چنین تخمینهایی از نظریه آماری برای تعداد ذرات در انرژی خاص را با «فضای فاز» مشخص می‌سازند. به عنوان نمونه شکل ۱۰۴۵ را ببینید.) به این طریق برای  $T_B$  توزیعی از نوع نموده شده در شکل ۱۰۴۲ ب به دست می‌آید.

با مشاهده توزیع  $T_B$  برای تعداد زیادی واپاشی  $A$  و از مقایسه آن با نمونه شکل ۱۰۴۲ ب یا شکل ۱۰۴۲ الف تعیین اینکه ذره  $A$  به دو یا سه ذره واپاشیده می‌شود، ممکن می‌گردد.

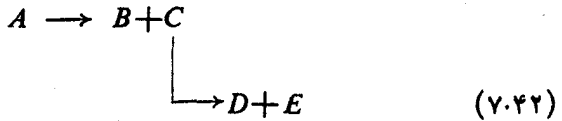
اکنون حالتی را در نظر می‌گیریم که

$$M_C > M_D + M_E \quad (۵.۴۲)$$

باشد، و واپاشی زیر هم صورت می‌گیرد



فرض می کنیم که  $C$  یک ذره تشدید می باشد و آنچنان سریع واپاشیده شود که حضور آن را نتوان مستقیماً مشاهده کرد. در نتیجه واپاشی (۲.۴۲) می تواند به طور مستقیم و یا در دو مرحله صورت گیرد

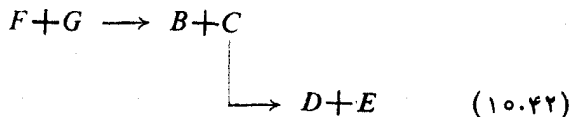
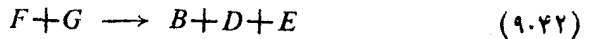


$C$  به اندازه کافی عمر نمی کند تا ردی از خود در اتاقک ابر برجای گذارد، ولی وجود آن را می توان با مشاهده تعدادی از واپاشیهای  $A$  استنباط کرد.

اگر واپاشی  $A$  به صورت معادله (۷.۴۲) صورت گیرد، توزیع  $T_B$  شبیه شکل ۱.۴۲ الف نخواهد شد. اگر  $C$  عمر نامحدودی می داشت و از آنجا که واپاشی  $A$  یک واپاشی دوجسمی می شد، انرژی  $E_B$  به طور یگانه ای تعیین می شد. ولی  $C$  عمر محدودی دارد، بنابراین بر اساس اصل عدم قطعیت انرژی یا جرم سکون آن پهنای محدودی خواهد داشت و در نتیجه توزیع  $T_B$  شبیه آن خواهد شد که در شکل ۱.۴۲ ج. نموده شده است. در حالت کلی واپاشی  $A$  هم به طور مستقیم، آنچنان که توسط معادله (۲.۴۲) داده شده، و هم به صورت فرایند دو مرحله ای، نظیر معادله (۷.۴۲)، صورت می گیرد و در نتیجه توزیع  $T_B$  شبیه آنچه در شکل ۱.۴۲ د. نموده شده است، خواهد بود. در این حالت هم می توان با اندازه گیری  $T_B$  برای چندین واپاشی، وجود ذره تشدید  $C$  را اثبات کرد و جرم  $M_C$  آن را به دست آورد. چون وقتی که ذره  $B$  دارای انرژی  $T_B$  باشد، از معادله (۳.۴۲) به دست می آید

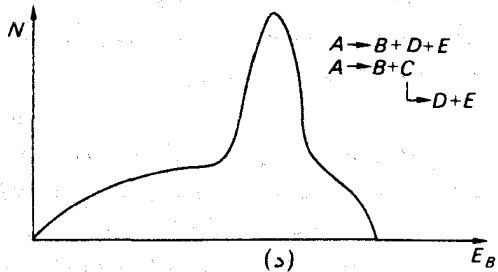
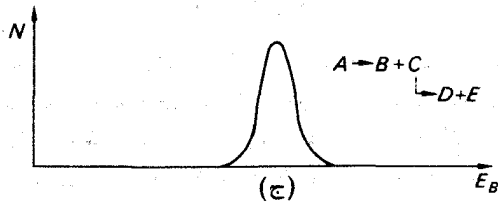
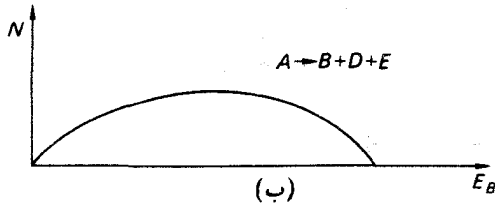
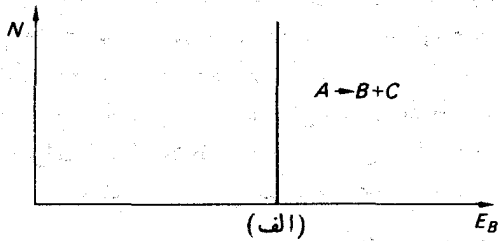
$$M_C = [(M_A - M_B)^2 - 2M_A T_{BC}^{-2}]^{\frac{1}{2}} \quad (8.42)$$

در عمل، آزمایش معمولی آشکارسازی تشدید کمی پیچیده تر از حالت مطرح شده در بالاست، زیرا حالت اولیه تنها از یک ذره تشکیل نمی شود، بلکه حالتی متشکل از دو ذره  $F$  و  $G$  است، یعنی آزمایش شامل واکنشی بدصورت زیر است



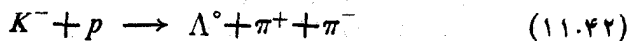
بحث بالا برای وقتی که ذره  $A$  را با حالتی از  $F$  و  $G$  با انرژی معین عوض کنیم هم صادق است، و با بررسی رویدادهایی که با فرود باریکه ای از ذرات  $F$  بر روی هدفی از ذرات  $G$  رخ می دهند، می توان وقوع ذره تشدید از قبیل  $C$  را جستجو کرد.



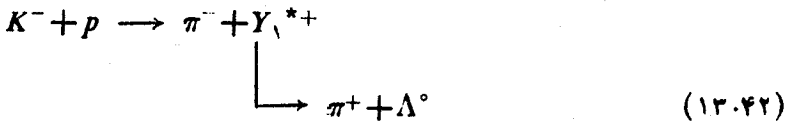
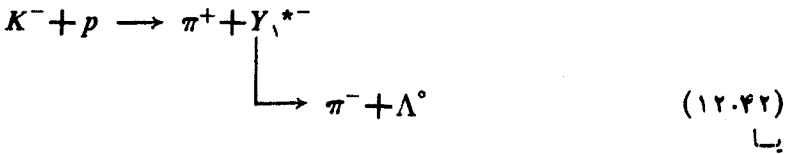


شکل ۱۰۴۲ توزیع  $T_B$  انرژی ذره  $B$ ، در واپاشی ذره  $A$  برای چند مد واپاشی امکان پذیر. مشاهده توزیعی از نوع نموده شده در شکل‌های ج و د نشانگر وجود یک ذره تشدیدي است و تعیین جرم  $M_C$  آن را ممکن می‌سازد.

کشف تشدید  $Y_1^*$  توسط آلستون و همکاران (۱۹۶۰) نمونه‌ای از این روش است. این تشدید در واکنش زیر



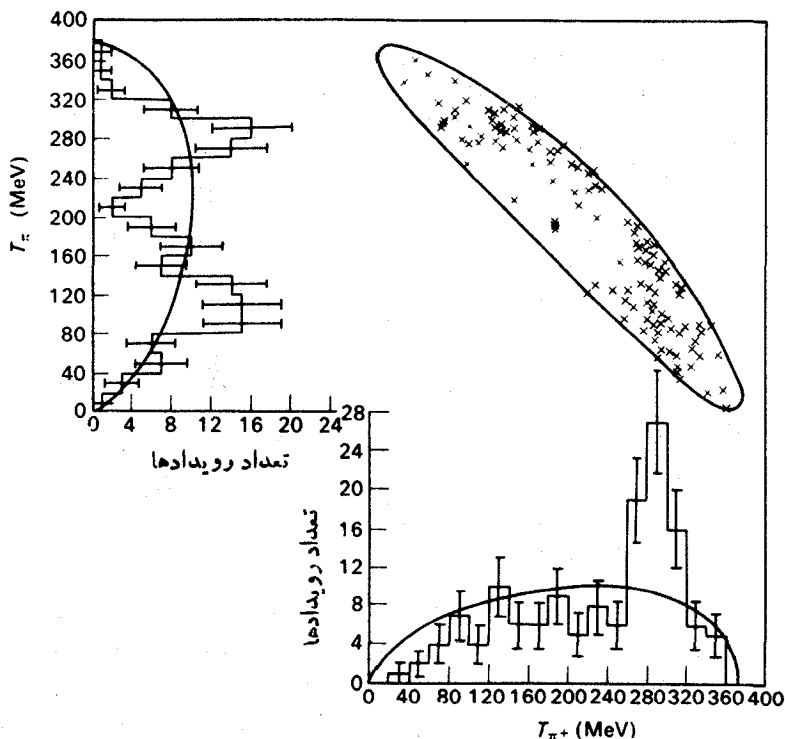
توسط مزونهای  $K^-$  با تکانه ۱۵ جیگا الکترون ولت بر سرعت نور تولید می شود. نتایج آزمایش در شکل ۲۰۴۲ نموده شده است. دو نمودار ستونی موجود در این شکل از نوع نمودارهای شکل ۱۰۴۲ هستند که در آن تعداد رویدادها نسبت به انرژی جنبشی یکی از ذرات رسم شده است. منحنیهای پر رنگ پیش بینیهای نظریه آماری را نشان می دهند و دیده می شود که انحراف قابل ملاحظه نتایج آزمایش از این منحنیها نمایشگر وجود تشدید در واکنش مزبور است. واکنش در دو مرحله صورت می گیرد



در شکل ۲۰۴۲ همچنین نمایش دالیتز برای واکنش مزبور نموده شده است. در نمایش دالیتز هر رویداد توسط يك نقطه در نموداری دو بعدی نشان داده می شود به طوری که محورهای این نمودار متناظر با انرژیهای مشاهده شده در واکنش مورد نظر هستند. در این حالت، همچنان که در شکل ۲۰۴۲ نموده شده است، محورهای متناظر با انرژی جنبشی پیونهای گسیل شده اند که در چارچوب مرکز جرم سنجیده می شوند. نظریه آماری پیش بینی می کند که برای حالت نهایی سه ذره ای، رویدادها در نمایش دالیتز می باید در ناحیه ای که از نظر سینماتیکی مجاز است و مرز این ناحیه در شکل ۲۰۴۲ نموده شده است، به طور یکنواخت توزیع شوند.

در شکل ۲۰۴۲ نمودارهای ستونی مربوط به  $\pi^+$  و  $\pi^-$  در انرژی جنبشی  $T_{\pi} = 280 \text{ MeV}$  قله هایی را نشان می دهند که با ذره تشدید  $\Sigma(1385)$  مگا الکترون ولت متناظرند. تشدیدهای  $\pi^+ \Lambda$  و  $\pi^- \Lambda$  که در يك انرژی واقع می شوند، دو حالت بار متفاوت از ذره ای به نام  $\Sigma(1385)$  هستند که در نوشته های قدیمی از آن به نام  $Y_1^*(1385)$  یاد می شود. چون این ذره به صورت تشدید در واکنشی قوی با پایستگی شگفتی دیده می شود، دارای شگفتی ۱- است. از آنجا که این تشدید حالتی باری  $Q = +1$  و  $Q = -1$  دارد، مقدار ایزوسپین آن حداقل می بایست  $I = 1$  باشد. آزمایشهای بعدی تأیید کرد که تشدید  $\pi \Lambda(1385)$  دارای  $I = 1$  است. در ابتدا تشدیدهای حاوی  $S = -1$  را به صورت  $Y^*$  با زیر نویسی که مقدار  $I$  را نشان می داد مشخص می کردند، ولی امروزه بیشتر مرسوم است که تشدیدهای با  $S = -1$ ،  $I = 1$  را با  $\Sigma$  و تشدیدهای حاوی  $S = -1$ ،  $I = 0$  را با  $\Lambda$  نشان دهند.

در نمودار ستونی مربوط به  $\pi^-$  قله دومی در انرژی جنبشی  $T_{\pi} = 100 \text{ MeV}$  وجود دارد. بررسی نمایش دالیتز نشان می دهد که این قله دوم عمدتاً ناشی از رویدادهای



**شکل ۲-۴۲** توزیع انرژی دربیون حاصل از واکنش  $K^- + p \rightarrow \Lambda + \pi^+ + \pi^-$ . هر رویداد فقط يك بار در نمایش دالیتز نشان داده شده است که در صورت غلبه داشتن فضای فاز می‌بایست به طور یکنواختی توزیع شود. دو نمودار ستونی انرژی، صرفاً تصاویر يك بمدی از نمایش دو بعدی‌اند، و هر رویدادی يك بار در هر نمودار ستونی نموده شده است. خطوط پر رنگ روی نمودارهای ستونی، منحنیهای فضای فاز هستند.

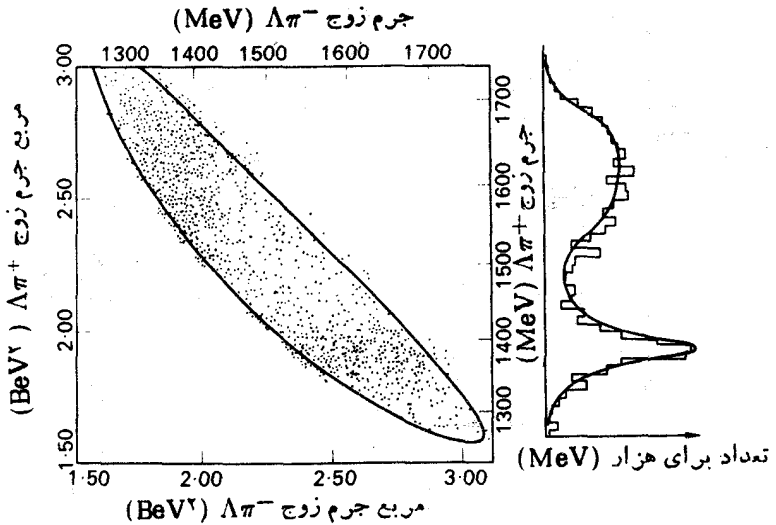
همراه با تشدید  $\Lambda - \pi^-$  است، و بدین ترتیب این قله دوم لزوماً دلیلی بر وجود تشدید دیگر  $\Lambda \pi$  نیست. وجود تشدیدها در نمایش دالیتز با وضوح خیلی بیشتری مشاهده می‌شود تا در نمودار ستونی انرژی يك ذره تنها.

به جای رسم داده‌ها بر حسب انرژی جنبشی يك ذره،  $T_B$ ، می‌توان از جرم ناوردای،  $M_{DE}$ ، ترکیب دو ذره دیگر  $D$  و  $E$  استفاده کرد. دو متغیر از طریق معادله (۸-۴۲) که در آن  $M_C$  توسط  $M_{DE}$  جایگزین شده است، با هم در ارتباط‌اند. همچنین توسط رابطه زیر داده می‌شود

$$M_{DE} = c^{-2} [E_{DE}^2 - c^2 \mathbf{p}_{DE}^2]^{1/2} \quad (۱۴-۴۲)$$

که در آن

$$E_{DE} = E_D + E_E \quad (۱۵-۴۲)$$



شکل ۳.۴۲ نمایش دالیتز برای رویداد  $\Lambda\pi^+\pi^-$  در برهم نشیهای  $K^-p$  در ۲۲ بیلیون الکترون ولت بر سرعت نور مربع جرم مؤثر  $\Lambda\pi^+$  بر حسب مربع جرم مؤثر  $\Lambda\pi^-$  نموده شده است. در شکل جرمها بر حسب مگا الکترون ولت هم داده شده اند. تصویر رویدادهای محور جرم  $\Lambda\pi^+$  در سمت راست شکل نموده شده است. منحنی انطباق فرمول تشدید برای  $\Lambda\pi^-$  و  $\Lambda\pi^+$  دستگامهای  $\Lambda\pi^-$  و  $\Lambda\pi^+$  نشان می دهد.

$$P_{DE} = P_D + P_E \quad (۱۶.۴۲)$$

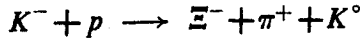
از آنجا که  $M_{DE}$  يك ناوردای نسبی است، با استفاده از معادلات (۱۴.۴۲)، (۱۵.۴۲) و (۱۶.۴۲) در هر چارچوب مقایسه لختی می توان آن را بدست آورد.  $M_{DE}$  را همچنین جرم مؤثر ترکیب  $DE$  می نامند.

اگر رویدادهای مربوط به حالت نهایی سه ذره ای را در يك نمایش دالیتز بر حسب مربع جرمهای ناوردای دو ترکیب دو ذره ای ممکن رسم کنیم، نظریه آماری پیش بینی می کند که چگالی رویدادها می باید در ناحیه ای که از نظر سینماتیک مجاز است، یکنواخت باشد. شکل ۳.۴۲ اطلاعات به دست آمده توسط شافر و همکاران (۱۹۶۳) را برای تشدید  $K^- + p \rightarrow \Lambda + \pi^+ + \pi^-$  ۱۳۸۵ مگا الکترون ولت نشان می دهد که در واکنش مشاهده شده است. شکل ۳.۴۲ را باید با شکل ۲.۴۲ مقایسه کرد.

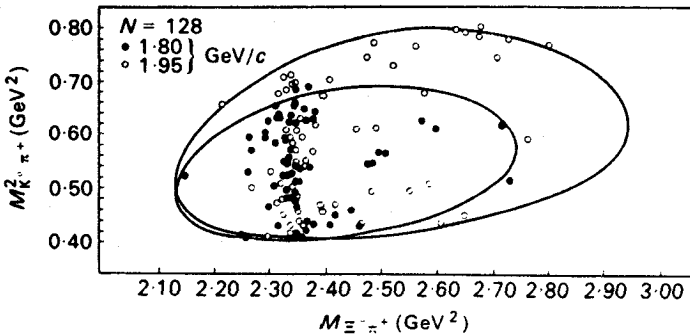
### ۴.۳ تشدیدهای باریونی دیگر

در سال ۱۹۶۲ بجر و همکاران و همچنین برتسازا و همکاران تشدید را در ۱۵۳۵

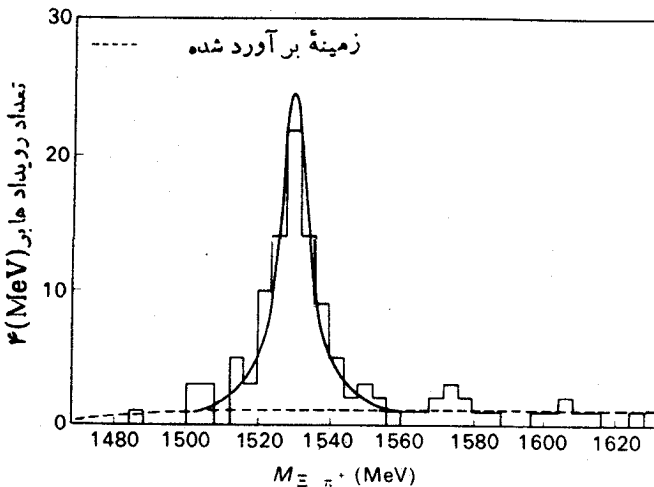
مگا الکترون ولت با  $I = 1/2$  و  $S = -2$  مشاهده کردند. در شکلهای ۱۰۴۳ و ۲۰۴۳ که به آزمایش شلین و همکاران (۱۹۶۳) مربوط است، واکنش



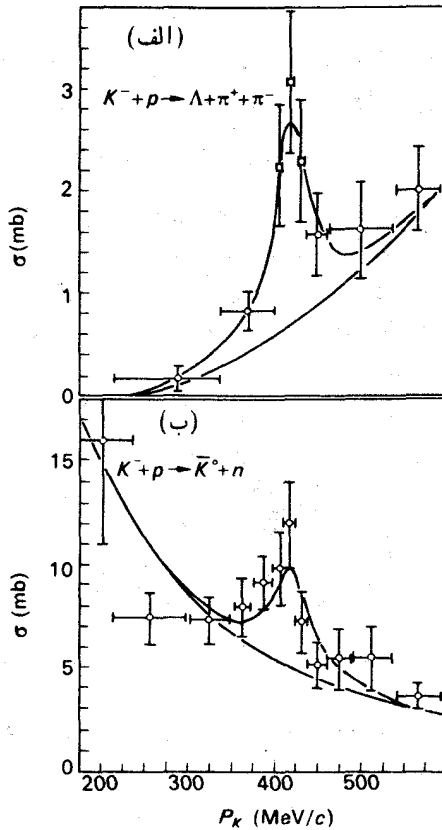
با مزونهای  $K^-$  و با تانههای  $1880$  و  $1995$  جیگا الکترون ولت بر سرعت نور تشدید  $\Xi^- + \pi^+$  در  $1530$  مگا الکترون ولت مشخص شده است. از آنجا که شگفتی و ایزوسپین این تشدید با مقادیر مربوط به  $\Xi^-$  برابر است، آن را  $\Xi^- (1530)$  می نامند. اغلب تشدیدهای هیبرونی را در نمودارهای دالیتز مربوط به حالت های نهایی سه جسمی



شکل ۱۰۴۳ نمایش دالیتز برای  $K^- + p \rightarrow \Xi^- + \pi^+ + K^0$

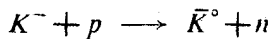
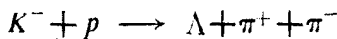


شکل ۲۰۴۳ نمودار ستونی  $M_{\Xi^- \pi^+}$  همراه با مناسبترین منحنی برایت-ویگنر با استفاده از منحنی تفکیک تجربی، مربوط به واکنش  $K^- + p \rightarrow \Xi^- + \pi^+ + K^0$



شکل ۳.۴۳ بستگی مقطع با تکانه برای واکنشهای  
 (الف)  $K^- + p \rightarrow \Lambda + \pi^+ + \pi^-$  و (ب)  
 $K^- + p \rightarrow \bar{K}^0 + n$  که تشدید متناظر با  
 $\Lambda(1520)$  را نشان می‌دهد. منحنیهای پایین  
 شکل‌های الف و ب زمینه‌های فرضی بدون  
 تشدید را نمایش می‌دهند، در حالی که منحنیهای  
 بالا تشدید اضافه شده آنها را نیز شامل می‌شوند.

مشاهده کرده‌اند. ولسی شکل ۳.۴۳ تشدید را نشان می‌دهد که به صورت قله در مقطع  
 واکنشهای زیر مشاهده شده است (فرو - لوزی، ۱۹۶۲)



این تشدید  $K^- p$  که در ۱۵۲۰ مگا الکترون ولت رخ می‌دهد دارای  $S = -1$  و  $I = 0$  است

$\Lambda(1520)$  نامیده می‌شود، و آن را  $Y_0^*(1520)$  هم نامیده‌اند.  $\Lambda(1520)$  در نمودار دالیتز مربوط به حالت‌های نهایی سه جسمی هم دیده شده است. تشدیدهای باریونی بیشتر از اینهاست و هر سال هم تعداد دیگری کشف می‌شوند. تعدادی از این تشدیدها در پیوست ز فهرست شده‌اند. برای فهرست کاملی از تشدیدها به جدیدترین مجله *Review of Particle Properties*، گردآوری گروه داده‌های ذرات بنیادی، مراجعه کنید (انتهای بخش ۴۱ را ببینید).

#### ۴۴. کشف $\Omega^-$

در میان تشدیدهای باریونی، تشدیدهای حاوی  $J^P = 3/2^+$  از اهمیت خاصی برخوردارند که عبارت‌اند از

$$\Delta(1236) \quad S=0, \quad I=\frac{3}{2} \quad \text{با چهار حالت باری}$$

$$\Sigma(1385) \quad S=-1, \quad I=1 \quad \text{با سه حالت باری}$$

$$\Xi(1530) \quad S=-2, \quad I=\frac{1}{2} \quad \text{با دو حالت باری}$$

مقادیر  $M_{\Xi} - M_{\Sigma} = 145 \text{ MeV}$  و  $M_{\Sigma} - M_{\Delta} = 149 \text{ MeV}$  تقریباً مساوی هستند. باریونهای  $J^P = 3/2^+$  در شکل ۱.۴۴ منظم شده‌اند، و این نظم با ذره‌ای به نام هیپرون  $\Omega^-$  کامل می‌شود. نظم شکل ۱.۴۴، همچنان که بعداً در بخش ۵۱ به طور کاملتری آن را مورد بحث قرار خواهیم داد، از دیدگاه نظریه گروه دارای اهمیت است، و انتظار می‌رود که فاصله بین جرمهای اعضای ردیفهای مختلف یکسان باشد. از این نقطه نظر بود که وجود هیپرون  $\Omega^-$  با جرمی حدود ۱۶۸۰ مگا الکترون ولت و با اعداد کوانتومی  $J^P = 3/2^+$  و  $S = -3$  پیش بینی شد. چنین ذره‌ای نمی‌تواند از طریق برهم-کنشهای قوی یا الکترومغناطیسی به ذرات شناخته شده واپاشیده شود، زیرا برای هر ترکیبی از ذرات شناخته شده که شگفتی آن  $S = -3$  باشد، جرم سکون کل آن از جرم سکون  $\Omega^-$  بیشتر خواهد شد. برای مثال

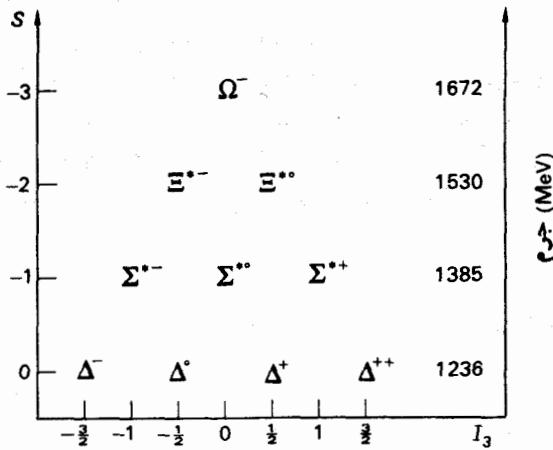
$$\Omega^- \rightarrow \Xi^- + K^0$$

چون

$$M_{\Xi^-} + M_{K^0} = 1809 \text{ MeV}$$

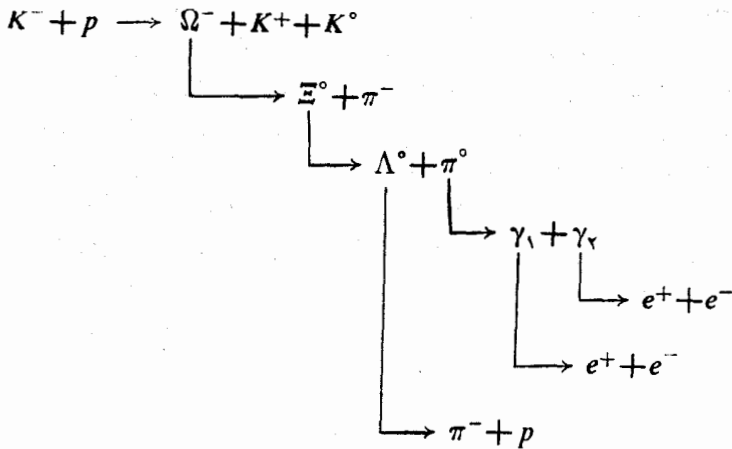
به طور قابل ملاحظه‌ای از جرم  $\Omega^-$  بزرگتر است. در واپاشی  $\Omega^-$  نمی‌توان شگفتی را پایسته دانست، و بنا بر این باید از طریق برهم‌کنشهای ضعیف صورت گیرد. بدین ترتیب  $\Omega^-$ ، برای مشاهده شدن به صورت دو مسیر در اتاقک حباب، عمری به اندازه کافی طولانی خواهد داشت.

به دنبال پیش‌بینی نظری وجود  $\Omega^-$ ، این ذره توسط بارنز و همکاران در آزمایشگاه ملی بروکهاون کشف شد. توضیح جالبی از این آزمایش توسط فولر و سامیوس (۱۹۶۴) ارائه شده است. در شکل ۲.۴۴ عکس و نمودار خطی رویداد مشاهده شده در



شکل ۱۰۴۴ باریونهای دارای  $J^P = 3/2^+$ .

اتاقک حباب هیدروژنی، برای باریکه‌ای از مزونهای  $K^-$  با تکانه  $5 \text{ BeV}/c$ ، نموده شده است. رویداد مشاهده شده به صورت زیر تفسیر می‌شود.



از آن زمان به بعد مدهای دیگر واپاشی  $\Omega^-$  هم مشاهده شده‌اند که عبارت‌اند از

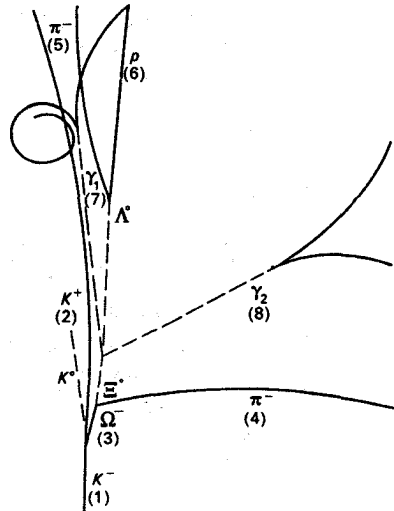
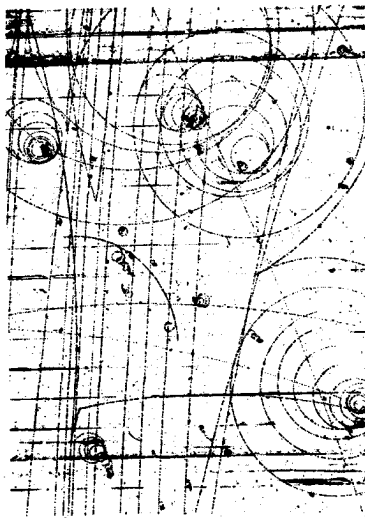
$$\Omega^- \rightarrow \Xi^- + \pi^0$$

$$\Omega^- \rightarrow \Lambda^0 + K^-$$

و جرم آن به صورت زیر اندازه‌گیری شده است

$$M_{\Omega^-} = (1672.5 + 0.5) \text{ MeV}$$

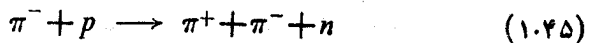




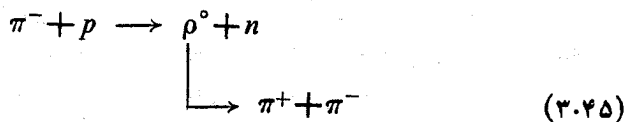
شکل ۲۰۴۴ عکس و نمودار خطی رویدادی که واپاشی  $\Omega^-$  را نشان می‌دهد.

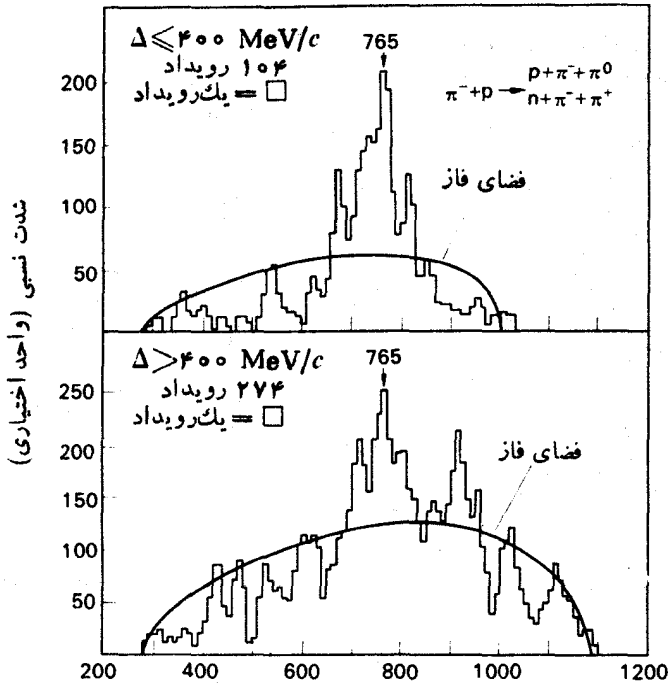
### ۴۵. تشدیدهای مزونی با $S=0$

شکل ۱۰۴۵ نشان دهنده نتایج به دست آمده توسط اروین و همکاران برای واکنش زیر است

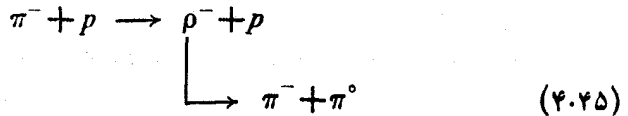


و وجود تشدید  $\pi-\pi$ ، به نام مزون  $\rho$ ، را اثبات می‌کند. مزون  $\rho$  دارای  $J^P = 1, S=0$ ، و  $M_\rho = 765 \text{ MeV}$  است. شکل ۱۰۴۵ طیف جرم ترکیبی دستگاه  $\pi^-\pi^0$  و  $\pi^-\pi^+$  را نشان می‌دهد. هم در طیف جرمی  $\pi^-\pi^0$  و هم در طیف جرمی  $\pi^-\pi^+$  قله‌ها ظاهر می‌شوند، ولی برای به دست آوردن آمار بهتر داده‌ها را باهم ترکیب می‌کنند. جرم مؤثر دوپيون توسط معادلات (۱۴۰۴۲)، (۱۵۰۴۲) و (۱۶۰۴۲) داده می‌شود. در طیف جرمی دو پيون، قله در ۷۶۵ مگا الکترون‌ولت دیده می‌شود. بدین ترتیب حداقل بخشی از واکنشهای داده شده توسط معادلات (۱۰۴۵) و (۲۰۴۵) به صورت زیر

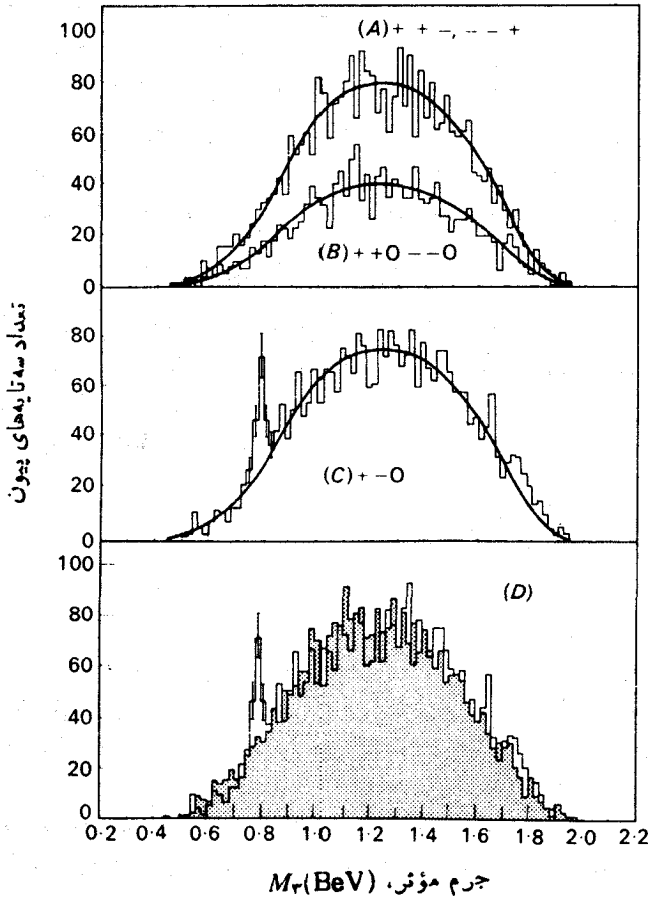




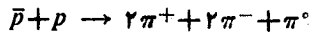
شکل ۱۰۴۵ طیف جرم ترکیبی برای دستگاه  $\pi^- \pi^+$  و  $\pi^- \pi^0$  که مزون  $p$  را در ۷۶۵ مگاالکترون ولت نشان می‌دهد. رویدادها به دو حالت  $\Delta \leq 400 \text{ MeV/c}$  و  $\Delta > 400 \text{ MeV/c}$  تقسیم بندی شده اند که در آن تکانه انتقالی به نوکلئون است. منحنی هموار که به عنوان «فضای فاز» علامت گذاری شده پیش بینی نظریه آماری در شرایطی است که نظریه با توجه به انتقال تکانه اصلاح شده و بر حسب تعداد رویدادهای ترسیمی بهنجار شده است.



انجام می‌گیرند. در آزمایشهای دیگری هم که بعداً انجام گرفتند، مزون  $p^+$  مشاهده شد. مزون  $\omega$  با  $S=0$ ،  $I=0$  و  $J^P=1^-$  تشدید مزونی دیگر است. مگلی و همکاران برای یافتن مزون  $\omega$  به صورت تشدید سه پیونی به جستجو در میان پیوندهای تولید شده از نابودی پاد پروتونها توسط پروتونها پرداختند. بررسی در شرایطی بود که

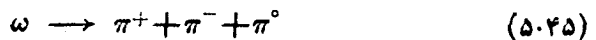


شکل ۲۰۴۵ تعداد سه تاییهای پیونی بر حسب جرم مؤثر  $M_\pi$  در واکنش زیر

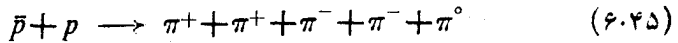


$A$  توزیع ترکیب  $|Q|=1$ ؛ برای  $B$ ؛  $|Q|=2$ ؛ و برای  $C$   $Q=0$  است که به ترتیب دارای سه تاییهای ۳۲۰۰، ۱۶۰۰ و ۳۲۰۰ هستند. در شکل  $D$ ، ترکیب توزیعیهای  $A$  و  $B$  (ناحیه خاکستری) با توزیع  $C$  (خط توپر) مقایسه شده‌اند.

باریکه‌ای از پادپروتونهای دارای تکانه  $1.61 \text{ BeV}/c$  را روی اتاقک حباب هیدروژنی فرود می‌آوردند. جستجو را با فرض  $M_\omega > 3M_\pi$  انجام دادند که برای آن واپاشی زیر



امکان پذیر است. جستجو برای یافتن يك چنین مد واپاشی سه بیونی، از طریق مطالعه توزیع جرمی سه تاییه‌های بیونی در واکنش زیر



صورت گرفت. برای ۲۵۰۰ رویداد چهارشاخه‌ای، انرژی و تکانه هر يك از بیونهای باردار اندازه گیری شد و با استفاده از قوانین پایستگی انرژی و تکانه وجود  $\pi^0$  برای ۸۰۰ حادثه استنتاج شد. در این ۸۰۰ رویداد، جرم مؤثر سه جسمی زیر

$$M_p = [(E_1 + E_2 + E_3)^2 + (p_1 + p_2 + p_3)^2 c^2]^{1/2} c^{-2} \quad (۷.۴۵)$$

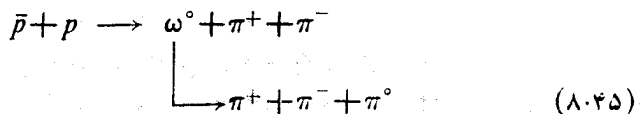
برای هر سه تایی بیونی در واکنش (۶.۴۵) محاسبه شد. البته، حتی اگر تشدید هم رخ دهد، راهی از پیش وجود ندارد که بدانیم کدام سه بیون از آن پنج بیون ذره تشدید را می‌سازند. بنابراین هر ترکیب ممکن سه تایی را باید در نظر گرفت. برای هر رویداد، ده ترکیب سه بیونی متناظر با حالت‌های باری زیر وجود دارد

$$|Q| = 1 : \pi^+ \pi^+ \pi^- \quad A \text{ (چهار ترکیب)}$$

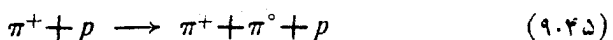
$$|Q| = 2 : \pi^+ \pi^+ \pi^0 \quad B \text{ (دو ترکیب)}$$

$$|Q| = 0 : \pi^+ \pi^- \pi^0 \quad C \text{ (چهار ترکیب)}$$

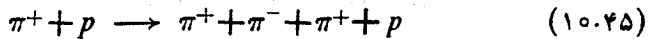
شکل ۲.۴۵ توزیع  $M_p$  را برای ۸۰۰ حادثه نشان می‌دهد. منحنیهای توپر تقریب نظریه آماری هستند. توزیعهای  $A$  و  $B$  دارای قله‌های تشدید نیستند و این نشان می‌دهد که هیچ گونه همبستگی بین این سه تاییه‌های مزونی خاص وجود ندارد. توزیع  $C$  در ۷۸۷ مگا الکترون ولت قله‌ای نشان می‌دهد، که وجود يك مزون خنثی  $\omega$  را اثبات می‌کند. وسیع بودن زمینه قله به خاطر این حقیقت است که فقط ربعی از سه تاییه‌های رسم شده در  $C$  احتمالاً به  $\omega$  مربوط می‌شوند و واکنش همیشه از طریق تشکیل ذره‌ای تشدید صورت نمی‌گیرد. از آنجا که قله متناظر با  $\omega$  فقط برای توزیع  $C$  که متناظر با حالت باری  $Q=0$  است رخ می‌دهد، ولی برای توزیع  $A$  که متناظر با  $|Q|=1$  و یا برای توزیع  $B$  که متناظر با  $|Q|=2$  است رخ نمی‌دهد، می‌توان ایزوسپین  $I=0$  را به  $\omega$ ، به عنوان يك تک تاییه ایزوسپینی، نسبت داد. حداقل بخشی از واکنش (۶.۴۵) به صورت زیر انجام می‌گیرد



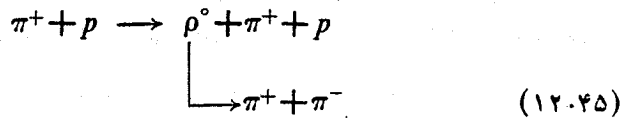
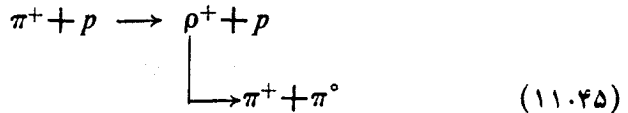
مزون  $\omega$  توسط آلف و همکاران (۱۹۶۶، ۱۹۶۲) در آزمایش مربوط به تولید تشدیدهای بیونی در واکنشهای  $\pi^+ p$  با وضوح بیشتری دیده شد. در این آزمایش مزون  $\rho$  و مزون  $\eta$  هم تولید می‌شوند. مزون  $\eta$  دارای  $J^P = 1^-$ ،  $S=0$ ،  $I=0$  و جرم  $M_\eta = 549 \text{ MeV}$  است. شکل ۳.۴۵ الف طیف جرمی ترکیبهای  $\pi^+ \pi^0$  را در واکنش زیر نشان می‌دهد



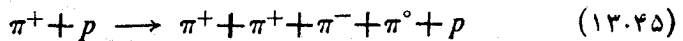
و طیف جرمی ترکیبهای  $\pi^+\pi^-$  در واکنش



در شکل ۳.۴۵ ب نموده شده است. منحنیهای تشدید برایت - و بزرگتر برزمینههای فضای فاز توزیع دویونی سوار شده اند. قلهها نشان می دهند که تعدادی از رویدادها از طریق ایجاد مزون  $p$  صورت می گیرند

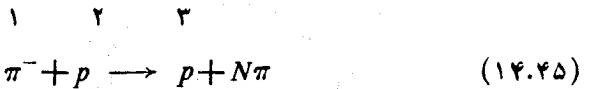


توزیع جرم مؤثر سه تاییهای  $\pi^+\pi^-\pi^0$  در واکنش

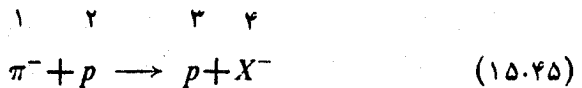


در شکل ۳.۴۵ ج نموده شده است. یک منحنی فضای فاز برای رویدادهای خارج از قله روی توزیع سه پیونی رسم شده است. قله ۷۸۲ مگا الکترون ولت با ۸۰۰ سه تایی به مزون  $\omega^0$ ، و قله ۵۴۸ مگا الکترون ولت با ۱۰۰ سه تایی به مزون  $\eta^0$  متناظر است.

در CERN شواهدی دال بر وجود تشدیدهای چند مزونی با  $S=۰$ ، در دستگاه آزمایش پیشنهادی مگلی و گوستا (۱۹۶۵) که طیف سنج جرم نایافته نامیده می شود، به دست آمده است. واکنش زیر را در نظر بگیرید



که در آن  $N=1, 2, \dots$  است. واکنش در تعدادی از حالتها پیونهای بی بدون همبستگی تولید می کند، و در تعداد دیگری از حالتها از طریق ایجاد تشدید که به  $N$  پیون و پاشیده می شود، ادامه می یابد. در حالت اخیر می توان واکنش را به صورت زیر نوشت



با ثابت گرفتن تکانه پیون فرودی،  $p_1$ ، و با اندازه گیری تکانه و زاویه پروتون پس زده نسبت به پیون فرودی،  $p_4$  و  $\theta_4$ ، جرم مؤثر  $N$  پیون را می توان به صورت «جرم نایافته» به دست آورد که توسط  $M$  داده می شود

$$M^2 = c^{-4} [(انرژی نایافته)^2 - c^2 (تکانه نایافته)^2]$$

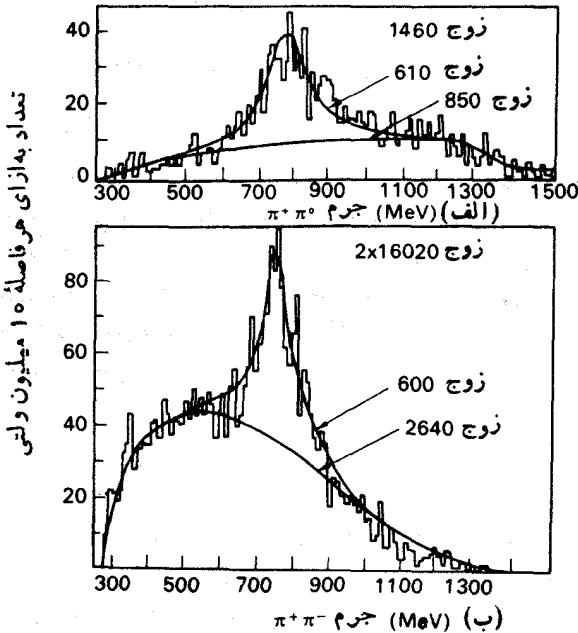
$$= c^{-2} [(E_1 + M_p c^2 - E_p)^2 - c^2 (p_1 - p_p)^2] \quad (۱۶.۴۵)$$

$$= c^{-2} [(E_1 + M_p c^2 - E_p)^2 - c^2 p_1^2 - c^2 p_p^2 + 2 p_1 p_p \cos \theta_p]$$

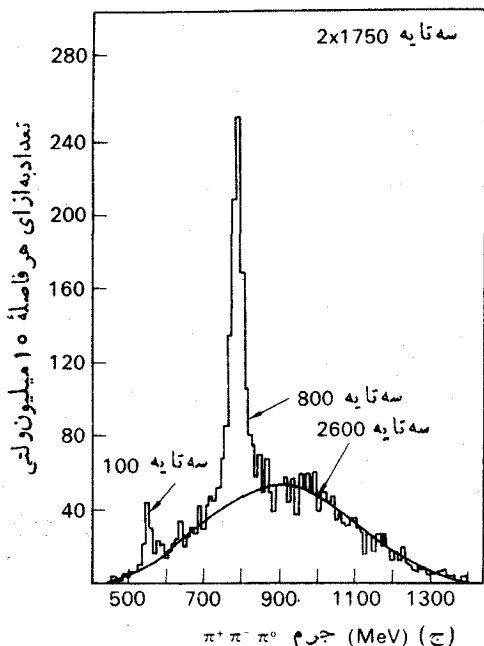
در تولید پیونهای ناهمبسته، توزیع  $M$  يك تابع هموار با کمینه‌ای پهن خواهد بود. ولی اگر  $N$  پیون به صورت تشدید  $X$  تولید شوند، در توزیع  $M$  در جرم تشدید  $M_X$  قله‌ای دیده خواهد شد. اگر

$$v_c > v'_p$$

باشد، که در آن  $v_c$  سرعت مرکز جرم در چارچوب آزمایشگاه و  $v'_p$  سرعت پروتون پس زده در چارچوب مرکز جرم است، زاویه  $\theta_p$  بیشینه‌ای کوچکتر از  $\pi/2$  خواهد داشت. در این



شکل ۳.۴۵. توزیعهای جرمی. (الف) برای زوجهای  $\pi^+ \pi^0$  از رویدادهای  $\pi^+ + p \rightarrow \pi^+ + p + \pi^0$ ، (ب) برای زوجهای  $\pi^+ \pi^-$  از رویدادهای  $\pi^+ + p \rightarrow \pi^+ + p + \pi^+ + \pi^-$  و (ج) برای سه تاییه‌های  $\pi^+ + p \rightarrow \pi^+ + p + \pi^+ + \pi^- + \pi^0$  از رویدادهای  $\pi^+ + p \rightarrow \pi^+ + p + \pi^+ + \pi^- + \pi^0$  قله  $\omega$  و قله  $\eta$  است. در ج، قله ۸۵۰ سه تاییه‌ای متناظر با  $\omega$ ، و قله ۱۰۵ سه تاییه‌ای متناظر با  $\eta$  است.



مقدار بیشینه  $\theta_p$ ، تبدیل بین مقطع چارچوب مرکز جرم و مقطع چارچوب آزمایشگاه، همچنان که در پیوست الف با معادله (الف. ۶۸) نموده شده است، منفرد خواهد بود. برای مقدار کاملاً معینی از  $M_X$ ، متناظر با نقطه زیر در مقطع آزمایشگاهی انفرادی وجود خواهد داشت

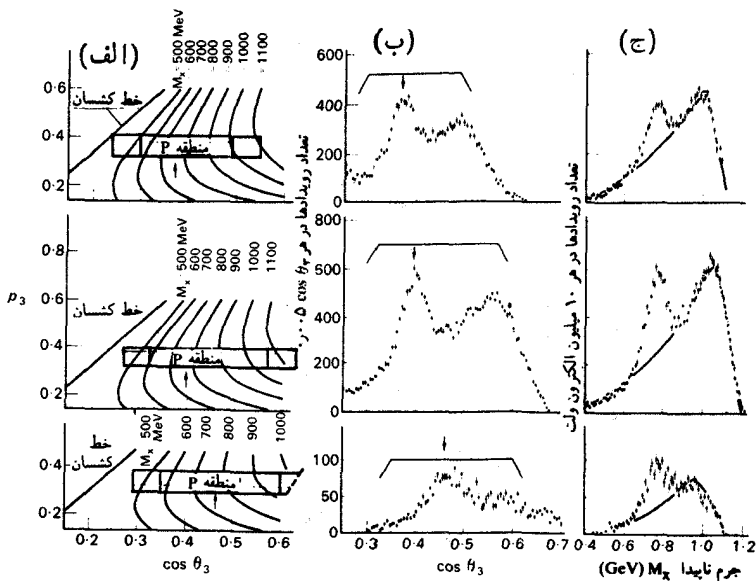
$$\sin \theta_p = \frac{p_p'}{M_p c \beta \gamma}$$

که در آن

$$\beta = \frac{v_c}{c} \quad \text{و} \quad \gamma = (1 - \beta^2)^{-\frac{1}{2}}$$

است [معادله (الف. ۶۹)]. در موردی که  $X$  تشدید با پهنای محدود باشد، قله‌ای در مقطع آزمایشگاه وجود خواهد داشت. این قله را قله ژاکوبی می‌نامند، زیرا که این به علت وجود نقطه منفردی در ژاکوبی مربوط به تبادل مختصات مرکز جرم به مختصات آزمایشگاه رخ می‌دهد.

در شکل ۴.۴۵ نتایج تجربی مربوط به مشاهده مزون  $\rho$ ، با طیف‌سنج جرم نیافته در CERN، نشان داده شده است (بلی‌دین و همکاران، ۱۹۶۶ و ۱۹۶۵). شکل ۴.۴۵ ب توزیع زاویه‌ای آزمایشگاهی پروتونهای پس‌زده را برای تمام /تکانه‌های ناحیه  $320 \leq p_p \leq 380 \text{ MeV}/c$ ، و برای سه مقدار متفاوت تکانه پيون /فرودی، نشان می‌دهد. قله متناظر با مزون  $\rho$  توسط يك پیکان نموده شده است، و همچنان که از سینماتیک انتظار



شکل ۴.۴۵ مشاهده مزون  $\rho$  در طیف سنج جرم نایافته در CERN (بلی دین وهمکاران، ۱۹۶۶). نتایج برای سه مقدار متفاوت تکانه پيون فرودی،  $p_1$ ، ارائه شده اند.

سطر بالایی  $p_1 = 500 \text{ GeV}/c$ ،  $17170$  رویداد

سطر میانی  $p_1 = 450 \text{ GeV}/c$ ،  $29145$  رویداد

سطر پایینی  $p_1 = 350 \text{ GeV}/c$ ،  $6069$  رویداد

(الف) خطوط سینماتیکی پروتون پس زده. مستطیلهای افقی پررنگ محدوده‌ای را مشخص می‌کنند که پروتونها با بازده کامل آشکار می‌شوند، در صورتی که مستطیلهای کم رنگ محدوده یا بازده کمتر از ۱۰۰ درصد را مشخص می‌کنند. موقعیت پروتون پس زده همیشه با تولید مزون  $\rho$  در واکنش زیر، توسط پیکان مشخص شده است.



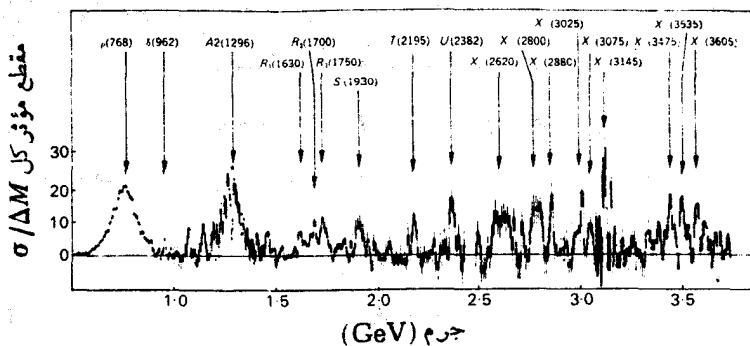
(ب) توزیع زاویه‌ای آزمایشگاهی پروتونهای پس زده ( $N$  برحسب  $\cos \theta_3$ ) در ناحیه تکانه  $320 \leq p_3 \leq 380 \text{ MeV}/c$ . برای تهیه این توزیعها از اندازه‌گیری تکانه پروتون پس زده  $p_3$  استفاده نشده است. با افزایش  $p_1$ ، به همان صورتی که از خطوط سینماتیکی در الف انتظار می‌رود، ازدیاد  $\rho^-$  (پیکانها را ببینید) به طرف مقادیر کوچکتر  $\cos \theta_3$  انتقال می‌یابد.

(ج) توزیع جرم نایافته همان داده‌های ب که در آن، علاوه بر زاویه آزمایشگاهی  $\theta_3$ ، از اندازه‌گیری مقادیر  $p_3$  برای هر رویداد نیز استفاده شده است.

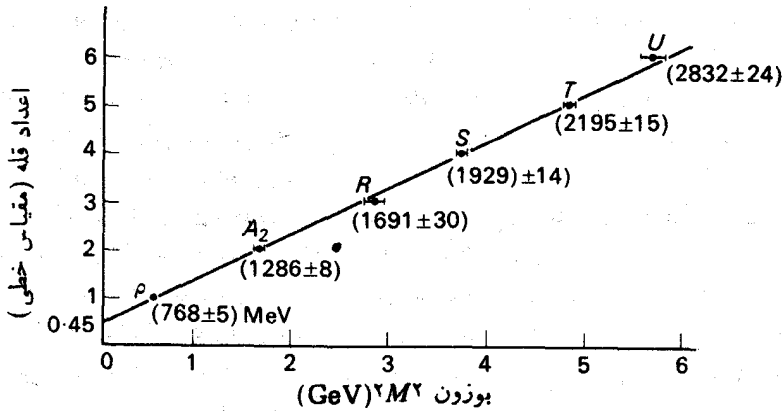


می‌رود، با افزایش  $p$  به طرف مقادیر کوچکتر  $\cos\theta_p$  انتقال پیدا می‌کند. شکل ۴.۴۵ ب نشان می‌دهد که وجود تشدید رامی توان با مشاهده قله  $\Delta$  کوبی، که برای آن فقط اندازه‌گیری  $\theta_p$  لازم است، استنتاج کرد. با استفاده از مقادیر  $\theta_p$  و  $p_p$  می‌توان جرم نایافته را از معادله (۱۶.۴۵) تعیین کرد. شکل ۴.۴۵ ج توزیع جرم نایافته را نشان می‌دهد که در آن قله متناظر با  $\rho$  به‌وضوح دیده می‌شود.

اندازه‌گیریهای متعددی توسط طیف سنج جرم نایافته صورت گرفته‌است که خلاصه این نتایج با اقتباس از شوبلین (۱۹۷۰) در شکل ۵.۴۵ نموده شده است. در مطالعات اولیه‌ای که روی طیف جرمی بوزونهای مشاهده شده در طیف سنج جرم نایافته توسط فوکاکی و همکاران (۱۹۶۶) صورت گرفت، او موفق به کشف نظم جالبی در جرم قله‌های اصلی طیف جرم نایافته شد. اگر قله‌های اصلی طیف جرمی را به ترتیب جرمشان در مقیاسی خطی نسبت به مربع جرم  $M_X^2$  رسم کنیم، نقاط روی خط مستقیمی با شیب  $2$  (GeV) قرار خواهند گرفت که در شکل ۶.۴۵ نموده شده است. عدد قله‌ای تشدید  $\rho$  و تشدید  $A_1$  در شکل ۶.۴۵ به ترتیب مساوی اسپین آنها، ۱ و ۲ است. بنا به دلایلی که در فصل ۱۲ مورد بحث قرار خواهد گرفت، حدس زده می‌شود که عدد قله‌ای تشدیدهای دیگر هم مساوی اسپین آنها باشد.



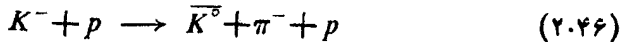
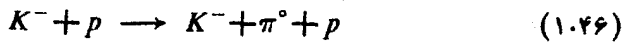
**شکل ۵.۴۵** تشدیدهای بوزونی ناشکفت در طیف جرم نایافته که از واکنش  $p + \pi^- \rightarrow p + X^-$  به دست آمده‌اند. در این واکنش  $X^-$  بوزون تولید شده‌ای است که توسط طیف سنج جرم نایافته و طیف سنج بوزون در CERN مشاهده شده است. پروتون پس‌زده برای جرم نایافته کمتر از ۲۴ جی‌کا- الکترون ولت در قله  $\Delta$  کوبی و برای مقادیر بالاتر از آن در جهت جلو مشاهده شده است.



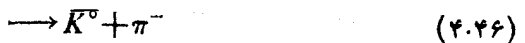
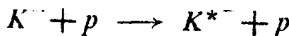
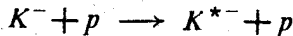
شکل ۶.۴۵ تعداد هر يك از قله های اصلی در طیف جرم نایافته در دنباله ای به ترتیب افزایش جرم بر حسب مربع جرم،  $M^2$ ، رسم شده است.

#### ۴.۶ تشدیدهای مزونی با $S = \pm 1$

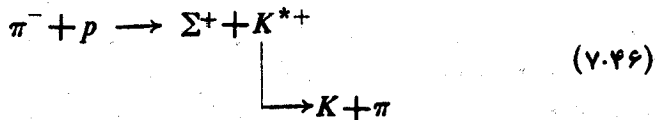
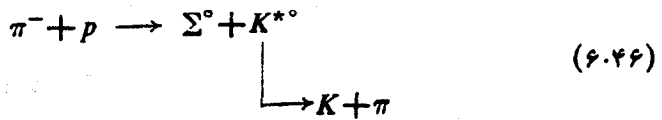
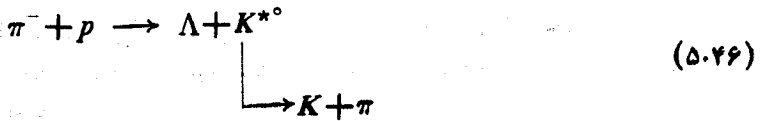
مزون  $K^*$  با جرم ۸۹۲ مگا الکترون ولت اولین مزون تشدیدي با  $S = \pm 1$  بود که شناخته شد. برای نخستین بار در واکنشهای زیر مشاهده شد



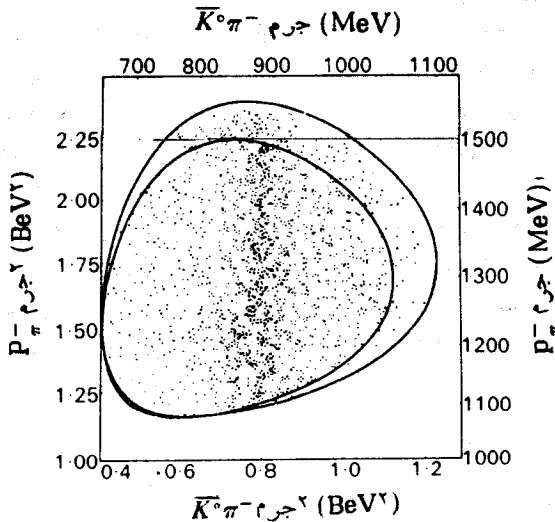
که بخشی از واکنش به طریق زیر صورت می گیرد



نمونه ای از داده های تجربی واکنش (۲.۴۶)، با اقتباس از وشوکی (۱۹۶۴) به صورت نمایش دالیتز در شکل ۱.۴۶ نموده شده است، که به طور وضوح تمرکز رویدادها را در جرم مؤثر  $\bar{K}^0 \pi^-$  که با جرم  $K^{*-}$  متناظر است، نشان می دهد. همچنین در واکنشهای دیگری از قبیل واکنشهای زیر مشاهده شده است



$K^*$  دارای اسپین و پارینه  $J^P = 1^-$  است.



شکل ۱۰۴۶ نمایش دالیتز برای واکنش  $K-p \rightarrow \bar{K}^0 \pi^- p$  برای کائونهای فرودی با تگانه‌های  $145 \text{ BeV}/c < P_{K^-} < 155 \text{ BeV}/c$ .

پوش منحنیهای مرز نواحی ای داکه از نقطه نظر سینماتیکی برای  $P_{K^-} = 145$  و  $155 \text{ BeV}/c$  مجازند، نشان می‌دهد.

تشدیدهای بوزونی دیگری هم با  $S = \pm 1$  مشاهده شده‌اند. تمام این گونه تشدیدها به صورت اعضای دوتایه‌های ایزوسپینی ظاهر می‌شوند و بنابراین دارای  $I = 1/2$  هستند.

این دو تابه‌ها، در صورتی که دارای  $S = -1$  باشند از يك ذره خنثی و يك ذره با بار واحد مثبت، و چنانچه دارای  $S = +1$  باشند از يك ذره خنثی و يك ذره با بار واحد منفی تشکیل خواهند شد.

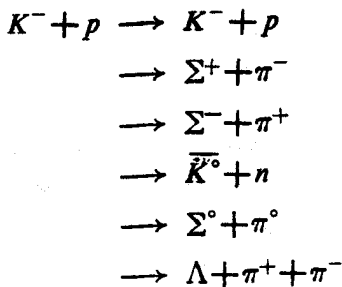
### ۴۷. تشدید در کانالهای مختلف

در تشخیص ذره تشدیدي بسايد دقت كرد، زیرا نمی‌توان هر برآمدگی در مقطع را و یا حتی هر خوشه‌ای را در نمایش دالیتز به‌عنوان ذره تشدیدي تعبیر کرد. در گذشته وجود تشدیدهایی را گزارش کرده‌اند که بعداً در اثبات آنها ناتوان شده‌اند. وجود يك ذره تشدیدي با قاطعیت بیشتری اثبات می‌شود اگر آن تشدید در چندین واکنش مختلف و در چندین کانال مختلف مشاهده شود. چو و همکاران (۱۹۶۴) بین ذرات تشدیدي حاوی برهم کنش قوی و پدیده‌های کاواک تشدیدي در الکترومغناطیس تشابهی به دست آوردند. کاواک الکترومغناطیسی ممکن است دارای چندین موجبر متصل به‌خود باشد. هر موجبر فقط به‌امواجی با بسامد بزرگتر از يك بسامد خاص اجازه عبور می‌دهد. اگر تابش الکترومغناطیسی درون کاواک دارای بسامدی پایینتر از بسامد قطع یکی از موجبرها باشد، آن تابش به‌طور دائم در کاواک باقی خواهد ماند. تابشهای دارای بسامد بالاتر امکان بیرون رفتن از طریق تعدادی از موجبرها را خواهند داشت. وضعیت مشابهی را در فیزیک ذرات، مثلاً در برخورد های  $\pi^+$  - پروتون، می‌توان مشاهده کرد. مقطع در مقادیر خاصی از انرژی فرودی  $\pi^+$ ، دارای بیشینه‌های نسبی است که با تشکیل تشدید  $(\pi^+, p)$  متناظر خواهد بود. این انرژیهای تشدیدي مشابه بسامدهای کاواک الکترومغناطیسی هستند. با توجه به اینکه انرژی تشدیدي خاص چقدر بالا باشد، چند مد واپاشی به نام کانالهای واپاشی برای تشدید مزبور وجود خواهد داشت، مثلاً

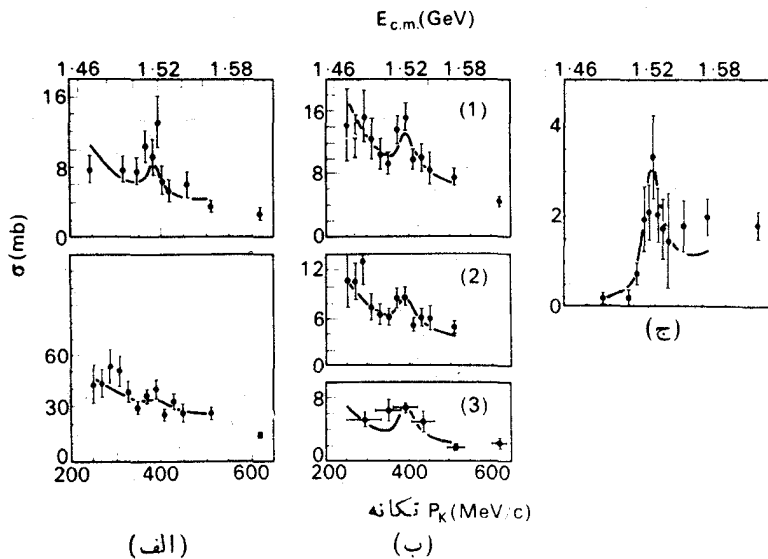
$$\left. \begin{aligned} (\pi^+, p) &\rightarrow \pi^+ + p && \text{در انرژیهای پایین داریم} \\ (\pi^+, p) &\rightarrow \pi^+ + p \\ &\rightarrow \rho^+ + p \\ &\rightarrow \pi^+ + \pi^0 + p \\ &\rightarrow \pi^+ + \pi^+ + n \end{aligned} \right\} \text{و در انرژیهای بالا داریم}$$

و غیره

این مدهای واپاشی که با افزایش انرژی تنوع بیشتری پیدا خواهند کرد، شبیه موجبرهای خروجی متصل به کاواک الکترومغناطیسی هستند. يك نمونه از تشدیدي که می‌تواند در تعدادی از کانالهای خروجی مختلف دیده‌شود، ذره  $\Lambda (1520)$  با  $S = -1$ ،  $I = 0$ ، و  $J^P = 3/2^-$  است. در شکل ۱۰۴۷ مقطع



و همچنین مقطع کل فرود  $K^-$  بر پروتونها نموده شده است. دیده می شود که تشدید  $\Lambda(1520)$  به هریک از شش کانال واپاشیده می شود.



شکل ۱۰۴۷ شواهد وجود تشدید  $\Lambda(1520, JP = 3/2^-)$  در چندین کانال. مقطعها به صورت تابعی از تکانه، برای واکنشهایی که در اثر فرود مزونهای  $K^-$  بر روی پروتونها رخ می دهند، رسم شده اند؛ (الف) منحنیهای مربوط به واکنش تبادل بار  $K^-p$  و پراکندگی کشان  $(1) K^0n, (2) K^-p$ ؛ (ب) منحنیهای مربوط به تولید  $\Sigma^-\pi^+, \Sigma^+\pi^-, \Sigma^0\pi^0$  و  $\Sigma^-\pi^+$ ؛ (ج) منحنیهای مربوط به تولید  $\Lambda\pi^+\pi^-$ . خط توپر متناظر با مناسبترین منحنی برای تمام مقطعها، توزیع زاویه ایها و قطبیدگیهاست.

## ۴۸. نامگذاری تشدیدها

نامگذاری تشدیدها در فیزیک ذرات تا اندازه‌ای بی‌نظم صورت گرفته، و زمانی به نظر می‌رسد که با آهنگی که تشدیدها کشف می‌شوند فیزیکدانها با کمبود حروف برای نامگذاری مواجه خواهند شد.

اما برای تمام ذرات دارای برهم‌کنش قوی، یا هادرونها که وجودشان به‌طور قطعی اثبات شده، یک شیوه نامگذاری مناسب وجود دارد که شامل ۱۵ علامت اصلی است. هادرونها را به‌طور طبیعی می‌توان به دو گروه مزونها و باریونها، به ترتیب دارای عدد باریونی ۱ و ۰، تقسیم کرد. برای مشخص کردن کامل یک چندتایی باری فقط به اعداد کوانتومی فوق‌بار،  $Y$ ، و ایزوسپین،  $I$ ، همراه با اسپین و پارته،  $J^P$ ، و جرم احتیاج است (می‌توان شگفتی  $S$  را به جای فوق‌بار به کار گرفت، زیرا  $S$  و  $Y$  با رابطه  $Y = B + S$ ، که در آن  $B$  عدد باریونی است، به هم مربوط‌اند). علائم تخصیص داده شده به هر یک از ترکیبهای مشاهده شده  $Y$  و  $I$  در جدول ۱۰۴۸ نموده شده است.

جدول ۱۰۴۸ نامگذاری هادرونها.

$I$	$Y$	باریونها	$I$	$Y$	مزونها
$\frac{1}{2}$	+۱	$N$	۰	۰	$\eta$
$\frac{3}{2}$	+۱	$\Delta$	۱	۰	$\pi$
۰	۰	$\Lambda$	$\frac{1}{2}$	+۱	$K$
۱	۰	$\Sigma$	$\frac{1}{2}$	-۱	$\bar{K}$
$\frac{1}{2}$	-۱	$\Xi$			
۰	-۲	$\Omega$			

یک ذره خاص را توسط جرم، اسپین و پارته،  $J^P$ ، آنکه در پرانتزی بعد از علامت اساسی قرار می‌دهند، مشخص می‌سازند. به عنوان مثال، مزون  $\rho$  و مزون  $\omega$  مورد بحث بخش ۴۵ را به صورت زیر نشان می‌دهند

$$\rho = \pi(765, 1^-)$$

$$\omega = \eta(784, 1^-)$$

$\rho$  را می‌توان به صورت حالت برانگیخته  $\pi$  و  $\omega$  را به صورت حالت برانگیخته  $\eta(549, 0^-)$  در نظر گرفت. در دیدی وسیعتر می‌توان تمام مزونها را به صورت حالت‌های مختلف تعدادی از مزونها، و تمام باریونها را به صورت حالت‌های مختلف تعدادی از باریونها در نظر گرفت.

تمام مزونهای  $\pi$  و  $\eta$  پاد ذره خود هستند، بنابراین برای پاد ذره مزونهای  $\pi$  و  $\eta$  نیازی به علامت نیست. برای پاد باریونها، علامت باریون مربوطه را با گذاشتن يك خط بر روی آن به کار می‌گیرند. در این روش، برای مشخص کردن بدون ابهام يك حالت باری خاص باید دقت کرد. برای این منظور قرارداد زیر را به کار می‌برند

$$\overline{\Sigma^+} \equiv \overline{\Sigma^-}$$

$$\overline{\Sigma^-} \equiv \overline{\Sigma^+}$$

و غیره

دقت کنید که يك پاد ذره دارای همان عدد کوانتومی ایزوسپین ( $I$ ) ذره متناظر است، ولی فوق بار آن ( $Y$ ) علامتی مخالف با فوق بار ذره دارد.

این شیوه نامگذاری را برای تشدیدي خاص، تا زمانی که اعداد کوانتومی آن معین نشده‌اند، نمی‌توان به کار گرفت. اشکال دیگر این روش در جرم مشخص شده ذره است که امکان دارد با انجام آزمایشهای بیشتر تغییر کند. مثلاً ذره‌ای که در بالا به صورت  $\pi(765, 1^-)$  مشخص شده است، همان ذره‌ای است که توسط چو و همکاران به صورت  $\pi(750, 1^-)$  مشخص شده بود. به این دلایل است که علائم دیگری از قبیل  $R$ ،  $S$ ،  $T$ ،  $U$ ، در شکل ۵.۴۵ را هم برای بعضی از ذرات به کار می‌برند.

در طرح اصلاح شده این شیوه نامگذاری، بین مزونهای دارای باریته  $G$  متفاوت تمایز قائل می‌شوند. عملگر  $G$  به صورت زیر تعریف می‌شود

$$G = CR_2$$

که در آن  $R_2$  دورانی به اندازه  $\pi$  حول محور ۲ در فضای ایزوسپین است، و  $C$  عملگر همیوگی بار است. برای اینکه ذره‌ای در حالت خاص  $G$  باشد باید دارای  $Y = 0$  و  $B = 0$  باشد، زیرا  $C$  در عمل روی حالتی با فوق بار  $Y$  و عدد باریونی  $B$  حالتی با فوق بار  $-Y$  و عدد باریونی  $-B$  به دست می‌دهد، ولی  $Y$  و  $B$  تحت دوران در فضای ایزوسپین تغییر نمی‌کنند. دقت کنید که عمل  $R_2$ ،  $I_3$  را به  $-I_3$  تبدیل می‌کند، و عمل  $C$  حالت  $I_3 -$  را به حالت  $I_3$  برمی‌گرداند. بدین ترتیب عملگر  $G$  و  $I_3$  بدون تغییر باقی می‌مانند، یعنی  $G$  و مؤلفه سوم عملگر ایزوسپین جابه‌جایی پذیرند

$$[G, I_3] = 0$$

می‌توان نشان داد که (لی و یانگ، ۱۹۵۶)

$$[G, I_2] = [G, I_1] = 0$$

بنابراین حالتی با ایزوسپین معین و  $Y=0$  و  $B=0$  نیز می‌تواند یک ویژه حالت  $G$  باشد.

ذرهٔ خنثایی مانند  $\pi^0$  با  $Y=0$  و  $B=0$  پاد ذرهٔ خودش است، بنابراین اگر  $\psi$  تابع حالت برای چنین ذره‌ای باشد، داریم

$$|C\psi\rangle = |\psi\rangle$$

$$C\psi = e^{i\delta}\psi$$

چون  $C^2 = 1$  است، بنابراین با ارائهٔ بحثی شبیه بحث مربوط به عملگر پارته در بخش ۱۳، خواهیم داشت

$$C\psi = \pm\psi$$

ویژه مقادارها عبارت‌اند از  $\pm 1$ . هادرون خنثی با  $Y=0$  و  $B=0$  دارای  $I_2=0$  است. داریم (فاینمن، ۱۹۶۵)

$$R_2\psi_{I, I_2=0} = (-1)^I \psi_{I, I_2=0}$$

بنابراین برای مزون خنثی با  $Y=0$  و  $B=0$  داریم

$$G = C(-1)^I$$

چون  $G$  با عملگر ایزوسپین جابه‌جایی پذیر است، دیگر مزونهای همان چندتایی ایزوسپینی نیز دارای همان ویژه مقدار  $G$  خواهند بود. ویژه مقادارهای  $G$  عبارت‌اند از  $\pm 1$ . ویژه مقدار  $G$  را پارتهٔ  $G$  مربوط به آن حالت می‌نامند. بیون دارای پارتهٔ فرد  $G$  است

$$G_\pi = -1$$

با استفاده از پارتهٔ  $G$  برای مزونهای  $Y=0$ ، اصلاحاتی در نامگذاری جدول

۱۰۴۸ توسط گروه داده‌های ذرات بنیادی، در مجلهٔ *Review of Particle Properties* (به انتهای بخش ۴۱ مراجعه کنید)، به ترتیب زیر صورت گرفته است

$I=0$ ؛ اگر  $G$  زوج باشد،  $\phi$  اگر  $G$  فرد باشد.

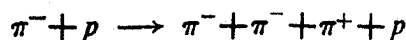
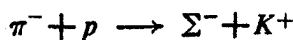
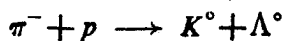
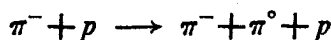
$I=1$ ؛ اگر  $\rho$  اگر  $G$  زوج باشد،  $\pi$  اگر  $G$  فرد باشد.

## تمرین

۱. واکنشهای زیر می‌توانند در مقطع کسل  $\pi^- p$  شرکت داشته باشند. انرژی جنبشی



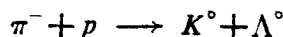
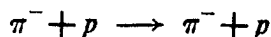
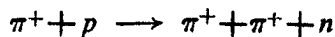
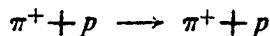
آستانه پیون را در چارچوب آزمایشگاه برای هر يك از واکنشهای زیر محاسبه کنید



۲. در حالت پراکندگی پیونها توسط پروتونها، تانه  $p_\pi$  و انرژی جنبشی  $T_\pi$  پیون را در چارچوب آزمایشگاه به صورت تابعی از  $E$  (انرژی کل دستگاه پیون - پروتون در چارچوب مرکز جرم)، محاسبه و ترسیم کنید.  $E$  و  $T_\pi$  را بر حسب جیگا الکترون ولت و  $p_\pi$  را بر حسب  $\text{GeV}/c$  بیان کنید. با استفاده از شکل ترسیمی،  $p_\pi$  و  $T_\pi$  را برای تشدیدهای زیر به دست آورید

$$N(1520), N(2450), \Delta(1236), \Delta(2850)$$

۳. چه حالتی ایزوسپینی در واکنشهای زیر شرکت دارند؟



۴. نشان دهید

$$\sigma_{\pi^+ p} = \frac{3}{4} \sigma_{\text{tot}}^- - \frac{1}{4} \sigma_{\text{tot}}^+$$

که در آن  $\sigma_{\text{tot}}^+$  و  $\sigma_{\text{tot}}^-$  به ترتیب مقطعی کل برای  $\pi^+ p$  و  $\pi^- p$  هستند، و  $\sigma_{\pi^+ p}$  مقطع  $I = 1/2$  پیون - نوکلئون است.

۵. شکل ۶.۴۵ نشان می دهد که منحنی  $M_x^2$  بر حسب عدد قله خطی مستقیم است. با در نظر گرفتن قله های دیگر شکل ۵.۴۵، نمودار مشابهی رسم کنید. آیا می توانید از این ترسیم نتیجه ای بگیرید؟

## مراجع

- Alff, C., D. Berley, D. Colley, N. Gelfand, U. Nauernberg, D. Miller, J. Schultz, J. Steinberger, T. H. Tan, H. Brugger, P. Kramer and R. Plano, *Phys. Rev. Lett*, **9** (1952) 322; *Phys. Rev.*, **145** (1966) 1072.
- Alston, M., L. Alvarez, P. Eberhard, M. Good, W. Graziano, H. Ticho and S. Wojcicki, *Phys. Rev. Lett*, **5** (1960) 520.
- Bareyre, P., C. Bricman and G. Villet, *Phys. Rev.*, **165** (1968) 1730.
- Barashenkov, V. S., *Interaction Cross Sections of Elementary Particles*, 1968. Israel Program for Scientific Translation, Jerusalem 1968.
- Barnes, V. E., P. L. Connolly, D. J. Crenell, B. B. Culwick, W. C. Delaney, W. B. Fowler, P. E. Hagerty, E. L. Hart, N. Horwitz, P. V. C. Hough, J. E. Jensen, J. K. Kopp, K. W. Lai, J. Leitner, J. L. Lloyd, G. W. London, T. W. Morris, Y. Oren, R. B. Palmer, A. G. Prodel, D. Radojičić, D. C. Rahm, C. R. Richardson, N. P. Samios, J. R. Sanford, R. P. Shutt, J. R. Smith, D. L. Stonehill, R. C. Strand, A. M. Thorndike, M. S. Webster, W. J. Willis and S. S. Yamamoto, *Phys. Rev. Lett*, **12** (1964) 204.
- Bertanza, L., V. Brisson, P. Connolly, E. Hart, I. Mittra, G. Moneti, R. Rau, N. Samios, S. Lichtman, I. Skillicorn, S. Yamamoto, L. Gray, M. Goldberg, J. Leitner and J. Westgard, *Phys. Rev. Lett*, **9** (1962) 180.
- Blieden, H. R., D. Freytag, J. Geibel, A. R. F. Hassan, W. Kienzle, F. Lefébres, B. Levrat, B. C. Maglić, J. Seiguinot and A. J. Smith, *Phys. Lett*, **19** (1965) 444; *Nuovo Cimento*, **43 A** (1966) 71.
- Carroll, L., *Through the Looking-glass*, 1872. Chapter 6.
- Cence, R. J., *Pion-Nucleon Scattering*, 1969. Princeton University Press.
- Chew, G. F., M. Gell-Mann and A. H. Rosenfeld, 'Strongly interacting particles', *Sci. Am*, February 1964. (Also available as reprint 296, Freeman, San Francisco.)
- Citron, A., W. Galbraith, T. F. Kycia, B. A. Leontic, R. H. Phillips, A. Rousset and P. H. Sharp, *Phys. Rev.*, **144** (1966) 1101.
- Diddens, A. N., E. W. Jenkins, T. F. Kycia and K. F. Riley, *Phys.*

- Rev. Lett*, **10** (1963) 262.
- Eisberg, R. M., *Fundamentals of Modern Physics*, 1961. Wiley, New-York.
- Erwin, A. R., R. March, W. D. Walker and E. West, *Phys. Rev. Lett*, **6** (1961) 628.
- Ferro-Luzzi, M., R. D. Tripp and M. B. Watson, *Phys. Rev. Lett*, **8** (1962) 28.
- Feynman, R. P., R. B. Leighton and M. Sands, *Quantum Mechanics*, Vol. III of *The Feynman Lectures on Physics*, 1965. Addison-Wesley, Reading, Mass. Chapter 18.
- Focacci, M. N., W. Kienzle, B. Levrat, B. C. Maglić and M. Martin, *Phys. Lett*, **17** (1966) 890.
- Fowler, W. B. and Samios, N. P., 'The omega-minus experiment', *Sci. Am*, October 1964.
- Halliday, D., *Introductory Nuclear Physics*, 1950. Wiley, New York.
- Lee, T. D. and C. N. Yang, *Nuovo Cimento*, **3** (1956) 749.
- Maglić, B. C., L. W. Alvarez, A. H. Rosenfeld and M. L. Stevenson, *Phys. Rev. Lett*, **7** (1961) 178.
- Maglić, B. and G. Gosta, *Phys. Lett*, **18** (1965) 185.
- Pjerrou, G., D. Prowse, P. Schlein, W. Slater, D. Stork and H. Ticho, *Phys. Rev. Lett*, **9** (1962) 114.
- Rittenberg, A., A. Barbaro-Galtieri, T. Lasinski, A. H. Rosenfeld, T. G. Trippe, M. Roos, C. Bricman, P. Söding, N. Barash-Schmidt, and C. G. Wohl. *Rev. Mod. Phys*, **43** (1971) No. 2, Pt. II.
- Schlein, P. E., D. D. Carmony, G. M. Pjerrou, W. E. Slater, D. H. Stork and H. K. Ticho, *Phys. Rev. Lett*, **11** (1963) 167.
- Schübelin, P., *Physics Today*, **23** (1970). No. 11, November, 32.
- Shafer, J. B., J. J. Murray and D. O. Huwe, *Phys. Rev. Lett*, **10** (1963) 179.
- Söding, P., J. Bartels, A. Barbaro-Galtieri, J. E. Enstrom, T. A. Lasinski, A. Rittenberg, A. H. Rosenfeld, T. G. Trippe, N. Barash-schmidt, C. Bricman, V. Chaloupka, and M. Roos. *Phys. Lett*, **39 B** (1972 No. 1.).

Tripp, R. D. *Baryon Resonances* in Proceedings of the International School of Physics 'Enrico Fermi' Course XXXIII, Strong Interactions, 1966. Academic Press, New York.

Wojcicki, S. G., *Phys. Rev.*, **135 B** (1964) 484.

چندتایه های  $SU(3)$  در هادرونها

۴۹. مقدمه

دیده‌ایم که ذرات حاوی برهم‌کنش قوی، یا هادرونها، که توسط جرم و مقدارهای  $J^P$ ،  $I$ ،  $I_3$  و  $Y$  مشخص می‌شوند، را می‌توان به‌طور طبیعی در چندتایه‌های باری دسته‌بندی کرد. به‌طوری که در هر یک از این چندتایه‌ها مقدار  $I_3$  بتواند از  $-I$  تا  $+I$  تغییر کند، ولی مشخصه‌های دیگر، به‌استثنای تفاوت‌های کوچک جرمی، یکسان باقی بمانند. برای مثال نوکلئون یک دوتایه ایزوسپینی با  $J^P = 1/2^+$ ،  $B = 1$ ،  $I = 1/2$  و  $Y = 1$  است که در آن برای پروتون  $I_3 = +1/2$  و برای نوترون  $I_3 = -1/2$  در نظر گرفته می‌شود، و جرمها عبارت‌اند از

$$M_p = 938.27 \text{ MeV}$$

$$M_n = 939.57 \text{ MeV}$$

تفاوت جرمی این دو

$$M_n - M_p = 1.3 \text{ MeV}$$

در مقایسه با جرم متوسط نوکلئون

$$M_N = \frac{1}{2}(M_p + M_n) = 939 \text{ MeV}$$

کوچک است.

امکان دارد که هادرونها را حتی در چندتایه‌های بزرگتری نیز قرار داد، به‌طوری که در آنها  $Y$ ،  $I$ ، و  $I_3$  متغیر باشند ولی  $J^P$  و  $B$  برای تمام عناصر چندتایه یکسان

بمانند. برای این چندتایه‌های بزرگتر تفاوت جرمی بزرگتری بین عناصر هر يك از آنها وجود خواهد داشت.

برای نمونه باریونهای با  $J^P = 1/2^+$  و جرمهای پایین را در نظر می‌گیریم. نوکلئونها در زمره این باریونها هستند که قبلا درباره آنها صحبت کردیم. اولین باریون سنگینتر با  $J^P = 1/2^+$  ذره  $\Lambda^0$  است که دارای  $Y = 0$ ,  $I = 0$ ,  $I_3 = 0$  و

$$M_{\Lambda^0} = 1115.6 \text{ MeV}$$

است. بنابراین

$$M_{\Lambda} - M_N = 1116 - 939 = 177 \text{ MeV}$$

باریونهای بعدی  $\Sigma^+$ ,  $\Sigma^0$  و  $\Sigma^-$  هستند که به ترتیب در آنها  $I_3 = +1, 0, -1$  و  $I = 1$ ,  $Y = 0$  عبارت‌اند از

$$\left. \begin{aligned} M_{\Sigma^-} &= 1197.3 \text{ MeV} \\ M_{\Sigma^0} &= 1192.5 \text{ MeV} \\ M_{\Sigma^+} &= 1189.5 \text{ MeV} \end{aligned} \right\} M_{\Sigma} = 1193 \text{ MeV}$$

تفاوتهای جرمی آنها چنین می‌شود

$$M_{\Sigma^-} - M_{\Sigma^0} = 4.8 \text{ MeV}$$

$$M_{\Sigma^0} - M_{\Sigma^+} = 3.0 \text{ MeV}$$

که در مقایسه با

$$M_{\Sigma} - M_{\Lambda} = 77 \text{ MeV}$$

کوچک است. باریونهای بعدی با  $J^P = 1/2^+$  عبارت‌اند از  $\Xi^0$  و  $\Xi^-$  که بدترتیب در آنها  $I_3 = +1/2$ ,  $I_3 = -1/2$  و  $I = 1/2$ ,  $Y = -1$  و جرمها چنین است

$$\left. \begin{aligned} M_{\Xi^-} &= 1321 \text{ MeV} \\ M_{\Xi^0} &= 1315 \text{ MeV} \end{aligned} \right\} M_{\Xi} = 1318 \text{ MeV}$$

تفاوت جرمی این ذرات

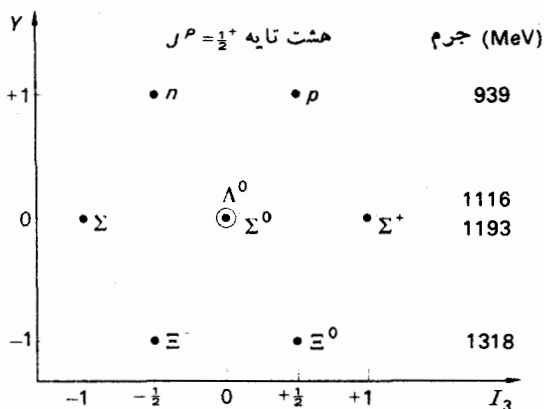
$$M_{\Xi^-} - M_{\Xi^0} = 6 \text{ MeV}$$

و در مقایسه با

$$M_{\Xi} - M_{\Sigma} = 125 \text{ MeV}$$

کوچک است.

ترتیب قرار گرفتن  $N$ ,  $\Lambda$ ,  $\Sigma$  و  $\Xi$  در يك چندتایه در شکل ۱.۴۹ نموده شده است که چون شامل هشت ذره می‌شود، يك هشت‌تایه به‌دست می‌آید. شکافتگی جرمی بین چند-تایه‌های ایزوسپینی متفاوت موجود در هشت‌تایه حدود ۲۰ برابر شکافتگی جرمی موجود



شکل ۱۰۴۹ هشت تاییه باریونهای  $J^P = 1/2^+$  در این گونه نمودارها، دایره اضافی بیانگر وجود ذره‌ای دیگر با همان  $I_3$  و  $Y$  است.

در هر چندتاییه ایزوسپینی است.

وجود این هشت تاییه و دیگر چندتاییه‌های هادرونی که هر کدام شامل چندین چندتاییه ایزوسپینی هستند، ما را به این تصور هدایت می‌کند که نوعی برهم کنش «فوق قوی» وجود دارد که خود به خود برای تمام ذرات چندتاییه بزرگ جرم یکسانی به دست می‌دهد. شکافتگی جرمی به نوعی اختلال تقارن - شکن نسبت داده می‌شود که بستگی به  $I$  و  $Y$  دارد. از آنجا که اختلال تقارن شکن قسمتی از برهم کنش قوی است، باعث شکافتگیهای بزرگ می‌شود.  $\Omega^-$  و تشدیدهای باریونی دارای  $J^P = 3/2^+$  را می‌توان در یک چندتاییه ذره‌ای، یعنی در یک ده تاییه، آنچنان که در بخش ۴۴ بحث شد و مجدداً در شکل ۲۰۴۹ نموده شده است، قرارداد.

به تقارن سه لای نمودار بساریونهای  $J^P = 1/2^+$  در شکل ۱۰۴۹ و بساریونهای  $J^P = 3/2^+$  در شکل ۲۰۴۹ توجه کنید.

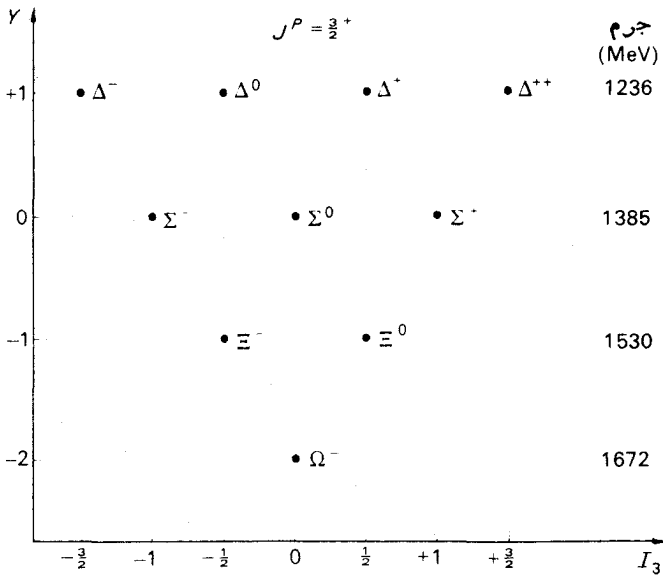
در سال ۱۹۶۱ گلמן و نیومن که مستقل از هم کار می‌کردند، تقارن هادرونها را به خواص گروه  $SU(3)$  مرتبط ساختند. گروه  $SU(3)$ ، گروه تمام ماتریسهای  $3 \times 3$  یکانی تک مدولی است، یعنی گروه تمام ماتریسهای  $3 \times 3$  ای که یکانی

$$U^\dagger = U^{-1}$$

و تک مدولی

$$U = 1 \text{ در میانه}$$

هستند.  $U^\dagger$  الحاقی هر میتی ماتریس  $U$  است، و می‌توان آن را با جابه‌جا کردن ردیفها و



شکل ۲۰۴۹ ده تاییه باریونیهای  $J^P = 3/2^+$ .

گرفتن همیوغ مختلط هر عنصر به دست آورد، یعنی

$$(U^\dagger)_{ij} = U_j^*$$

علامت  $SU$  به جای «یکانی ویژه» قرار می‌گیرد، که در آن واژه «ویژه» شرط تک مدولی بودن را نشان می‌دهد. در این کتاب، به تعریف مذکور در بالا برای  $SU(3)$  نیسازي نداریم و احتیاجی هم به داشتن اطلاعاتی از ریاضیات نظریه گروه نیست. معینا در بخش آینده اطلاعاتی درباره نظریه گروه ارائه خواهد شد.

گلمن تحلیل هادرونها توسط  $SU(3)$  را «راه هشت‌لا» نامید، زیرا هشت کمیت مورد توجه در ریاضیات این گروه وجود دارد و همچنین گفته‌ای منسوب به بودا را به خاطر می‌آورد که

«اکنون، ای راهبان، آن حقیقت ناب، این داه هشت‌گانه ناب است که به درمان درد منجر می‌شود: دیدن درست، نیت درست، سخن درست، عمل درست، زندگی درست، کوشش درست، اندیشه درست، تمرکز درست.»

(نقل از چو و همکاران، ۱۹۶۴)

سه مؤلفه ایزوسپین به همراه فوق‌بار، چهار کمیت از هشت کمیت راه هشت‌لای



فیزیک هادرونها را تشکیل می‌دهند. چهار کمیت دیگر را نمی‌توان به این سادگی مشخص کرد.

موارد کاربرد  $SU(3)$  در فیزیک ذرات را معمولاً «تقارن یکانی» می‌نامند. یکی از موفقیت‌های اولیهٔ راه هشت‌لا، پیش‌گویی ذره  $\Omega^-$  بود که برای کامل کردن ده‌تایی شکل ۲۰۴۹ صورت گرفت.

## ۵. نظریه گروه در فیزیک

اهمیت نظریه گروه در فیزیک از آنجاست که نظریه گروه همان ریاضیات تقارن است. از این نقطه نظر کتاب ویل (۱۹۵۲) جالب به نظر می‌رسد.

### تعریف یک گروه

یک گروه عبارت است از مجموعه‌ای از عناصر با نوعی ضرب، که ضرب هر دو عنصر گروه عنصر سومی متعلق به گروه را به دست می‌دهد. این ضرب انجمنی است. گروه یک عنصر واحد دارد و به علاوه هر عنصر گروه دارای معکوسی است که آنهم متعلق به گروه است، یعنی

الف) اگر عناصر  $a$  و  $b$  در گروه  $G$  باشند،  $ab$  هم در گروه  $G$  خواهد بود  
 ب) قانون انجمنی صادق است، یعنی برای هر دسته‌ای از  $a$ ،  $b$ ،  $c$  موجود در  $G$  داریم

$$a(bc) = (ab)c$$

ج) در گروه یک عنصر واحد  $e$  وجود دارد به طوری که  $ea = ae = a$

د) در مقابل هر عنصر  $a$  متعلق به  $G$ ، عنصر  $a^{-1}$  در  $G$  وجود دارد به طوری که

$$a^{-1}a = aa^{-1} = e$$

به عنوان مثال دورانهای حول یک محور، مثلاً محور  $z$ ، یک گروه تشکیل می‌دهند. حاصلضرب دو دوران، دورانی است که حاصل انجام آن دو دوران به دنبال یکدیگر باشد. عنصر واحد این است که هیچ چیزی انجام ندهیم (دوران صفر). معکوس دورانی به اندازه  $\theta$  دورانی به اندازه  $-\theta$  است. مجموعهٔ تمام دورانهای موجود در فضای سه بعدی یک گروه، گروه دوران سه بعدی  $O(3)$  را تشکیل می‌دهند. به طور مشابهی، انتقالات در فضای سه بعدی یک گروه تشکیل می‌دهند. ضرب دو انتقال، یعنی انتقالی به دنبال انتقال دیگر، هم یک انتقال است.

نمونه گروههای ذکر شده در بالا از زمره گروههای پیوسته اند. یک گروه پیوسته گروهی است که عناصر آن را می‌توان توسط پارامترهایی که در ناحیه‌ای معین به طور پیوسته تغییر می‌کنند، مشخص کرد. برای مثال، دورانهای حول یک محور توسط زاویه  $\theta$ ، که از ۰ تا  $2\pi$  تغییر می‌کند، مشخص می‌شوند. انتقالهای فضای سه بعدی را می‌توان توسط

سه مؤلفه‌ جا به جایی  $x, y, z$  از مبدأ مشخص کرد.  $x, y, z$  هر يك از  $-\infty$  تا  $+\infty$  تغییر می کنند.

همچنین گروه‌هایی وجود دارند که دارای تعداد محدودی عنصرند. برای نمونه  $e$ ، عنصر واحد، و  $P$  انعکاس نسبت به مبدأ يك گروه دو عنصری را تشکیل می دهند

$$eP = P = Pe$$

$$PP = e$$

مجموعه تبدیلهایی که معادله شرو دینگر يك دستگاه را ناورد می گذارند، گروهی به نام گروه تقارن آن دستگاه تشکیل می دهند. چون اگر تبدیلهای  $A$  و  $B$  هر يك به طور جداگانه معادله شرو دینگر را ناورد باقی بگذارد، حاصل ضرب این دو تبدیل هم معادله شرو دینگر را ناورد باقی خواهد گذاشت.

گروه تقارن يك دستگاه مکانیک کوانتومی، چندتایگیهای قابل وقوع ترازهای آن دستگاه را تعیین می کند. به عنوان مثال، برای گروه دوران سه بعدی  $O(3)$ ، چندتایگیهای

$$1, 3, 5, 7, \dots$$

که به ترتیب متناظر با اسپینهای زیر هستند

$$0, 1, 2, 3, \dots$$

وجود دارد. برای گروه  $SU(2)$ ، گروه ماتریسهای یکانی  $2 \times 2$  با دترمینان واحد، تمام چندتایگیها ممکن است رخ دهند. گروه  $O(3)$  بسا گروه  $SU(2)$  ارتباط دارد، و به عنوان نتیجه ای از این ارتباط است که اسپینهای نیم درست در مکانیک کوانتومی رخ می دهند، و ممکن می شود که هر اسپینی را با جمع کردن تعداد کافی از اسپینهای  $1/2$  به دست آورد. برای مثال، هم اسپین ۵ و هم اسپین ۱ را می توان با جمع کردن دو عبارت با اسپینهای  $1/2$  به دست آورد

$$1 \text{ یا } 0 = \frac{1}{2} + \frac{1}{2}$$

اسپین  $1/2$  متناظر با يك دوتایه است، یعنی دو حالت اسپین وجود دارد. ماتریسهای  $2 \times 2$  را می توان برای تبدیل این دو حالت تعریف کرد که گروه  $SU(2)$  را تشکیل می دهند. چندتایه های اسپینی مختلف تک تاییه، دوتایه، سه تاییه و غیره را می توان بسا ترکیب تعداد کافی از دوتایه ها به دست آورد.

عناصر گروه  $SU(3)$  ماتریسهای  $3 \times 3$  اند و می توان آنها را با به کار بردن سه حالت، یا يك سه تاییه، تعریف کرد. چندتایه های مختلف  $SU(3)$  را می توان با ترکیب سه تاییه ها به دست آورد، که این مسئله را در آینده بسا جزئیات بیشتری برای بعضی از چندتاییه ها

مطالعه خواهیم کرد. چندتایه‌های SU(۳) مربوط به هادرونها، تک‌تایه، هشت‌تایه و ده‌تایه‌اند.

### ۵.۱. رده‌بندی SU(۳) در باریونها و مزونها

در بخش ۵۰ با هشت‌تایه باریونهای  $J^P = 1/2^+$  و ده‌تایه باریونهای  $J^P = 3/2^+$  آشنا شدیم. ذره  $\Lambda(1405, 1/2^-)$  با  $Y=0$  و  $I=0$ ، مثالی از تک‌تایه SU(۳) است. جرم اعضای مختلف یک چندتایه SU(۳) یکسان نیست، شکل‌های ۱۰.۴۹ و ۲۰.۴۹ را ببینید، و بنابراین تقارن SU(۳) کامل نیست و باید شکسته شده باشد. اکوبو، با فرض شکسته شدن تقارن SU(۳)، به طریق مخصوصاً ساده‌ای توانست با استفاده از نظریه گروه رابطه زیر را برای جرم عناصر در یک چندتایه SU(۳) به دست آورد

$$M = M_0 + aY + b[I(I+1) - \frac{Y^2}{4}] \quad (1.51)$$

$M_0$ ،  $a$  و  $b$  در چندتایه‌ای معین ثابت‌اند. معادله (۱.۵۱) را فرمول جرمی گلמן-اکوبو می‌نامند. این فرمول در شکل بالا، معادله (۱.۵۱)، برای باریونها به کار می‌رود. برای مزونها با قراردادن  $M^2$  به جای  $M$  در معادله (۱.۵۱) توافق بهتری با آزمایش به دست می‌آید.

معادله (۱.۵۱) برای هشت‌تایه باریونی رابطه زیر را به دست می‌دهد

$$\frac{1}{4}(M_N + M_{\Xi}) = \frac{1}{4}(3M_{\Lambda} + M_{\Sigma}) \quad (2.51)$$

برای هشت‌تایه باریونهای  $J^P = 1/2^+$ ، مقدار تجربی جرمها با معادله (۲.۵۱) به خوبی در توافق آن است. (تمرین ۱)

برای ده‌تایه باریونهای  $J^P = 3/2^+$ ، توافق با فرمول جرمی گلמן-اکوبو عالی است. برای ده‌تایه (شکل ۲۰.۴۹) داریم

$$I = 1 + \frac{1}{4}Y \quad (3.51)$$

و معادله (۱.۵۱) به صورت زیر در می‌آید

$$M = (M_0 + 2b) + (a + \frac{3}{4}b)Y \quad (4.51)$$

بنابراین فرمول جرمی گلמן-اکوبو فاصله‌های جرمی یکسانی را برای عناصر ده‌تایه پیش‌بینی می‌کند

$$M_{\Sigma} - M_{\Delta} = M_{\Xi} - M_{\Sigma} = M_{\Omega} - M_{\Xi} \quad (5.51)$$

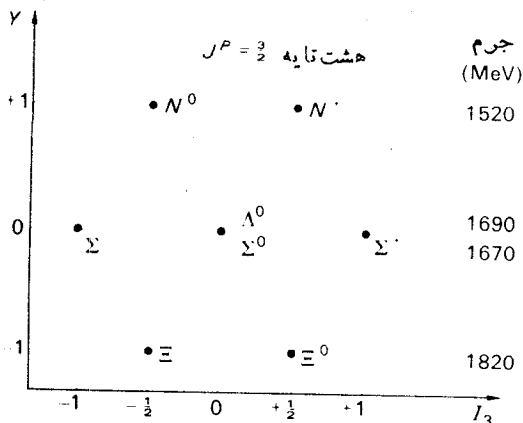
که با جرم‌های مشاهده شده در توافق است. در حقیقت جرم ذره  $\Omega^-$ ، قبل از کشف آن، به‌طور صحیحی توسط فرمول جرمی گلنن - اکوبو پیش‌بینی شده بود. سایر تشدیدهای باریونی را هم می‌توان در چندتا یه‌های  $SU(3)$  مرتب کرد. برای نمونه، مرجع *Review of Particle Properties* (سادی‌نگ و همکاران، ۱۹۷۲) باریونهای با  $J^P = 3/2^-$  را چنین ذکر می‌کند

$$N(1520, \frac{3}{2}^-)$$

$$\Lambda(1518, \frac{3}{2}^-) \text{ و } \Lambda(1690, \frac{3}{2}^-)$$

$$\Sigma(1670, \frac{3}{2}^-)$$

با در نظر گرفتن  $\Lambda(1518, 3/2^-)$  به‌صورت يك عضو هشت‌تایه، فرمول جرمی گلنن - اکوبو (۴.۵۱) وجود ذره  $\Xi(1582, 3/2^-)$  را پیش‌بینی می‌کند، ولی تا به‌حال تشدیدى که بتوان آن‌را با این ذره پیش‌بینی شده منطبق کرد، مشاهده نشده است. از طرف دیگر با در نظر گرفتن  $\Lambda(1690, 3/2^-)$  به‌عنوان يك عضو هشت‌تایه، معادله (۴.۵۱) وجود ذره  $\Xi(1840, 3/2^-)$  را پیش‌بینی می‌کند. مرجع *Review of Particle properties* (سادی‌نگ و همکاران، ۱۹۷۲) تشدیدى با جرم ۱۷۹۵ تا ۱۸۷۰ اسپین و پاریتته نامعلوم را نشان می‌دهد که می‌توان آن‌را با  $(1840, 3/2^-)$  پیش‌بینی شده یکی دانست. بدین ترتیب، روش  $SU(3)$  اسپین و پاریتته این تشدید را پیش‌بینی می‌کند. هشت تا یه باریونی  $J^P = 3/2^-$  مورد پیش‌بینی در شکل ۱۰۵۱ نموده شده است. بدین گونه است که ذره  $\Lambda(1518, 3/2^-)$  را به‌عنوان يك تک تا یه  $SU(3)$  در نظر می‌گیرند.



شکل ۱۰۵۱ باریونهای  $J^P = 3/2^-$ . برای ذره  $\Xi$  هنوز  $J^P$  تعیین نشده است و جرم آن هم نامعلوم است.

رده بندی  $SU(3)$  در باریونها و مزونها ۱۴۹

جدول ۱۰۵۱ چندتایه های ممکن  $SU(3)$  برای باریونها. جرم حالتیابی را که برای آنها  $J^P$  به دست نیامده است، در پرانتز قرار داده ایم.

هشت تایه ها

$\Xi$	$\Sigma$	$\Lambda$	$N$	$J^P$
۱۳۱۸	۱۱۹۳	۱۱۱۶	۹۳۹	$\frac{1}{2}^+$
—	(۱۶۲۰)	(۱۷۵۰)	۱۴۷۰	$\frac{1}{2}^+$
(۱۸۲۰)	۱۶۷۰	۱۶۹۰	۱۵۲۰	$\frac{3}{2}^-$
—	۱۷۵۰	۱۶۷۰	۱۵۳۵	$\frac{1}{2}^-$
(۱۹۳۰)	۱۷۶۵	۱۸۳۰	۱۶۷۰	$\frac{5}{2}^-$
(۲۰۳۰)	۱۹۰۵	۱۸۱۵	۱۶۸۸	$\frac{5}{2}^+$

تک تایه ها

$\Lambda$	$J^P$
۱۴۰۵	$\frac{1}{2}^-$
۱۵۱۸	$\frac{3}{2}^-$
۲۱۰۰	$\frac{7}{2}^-$

ده تایه ها

$\Omega$	$\Xi$	$\Sigma$	$\Delta$	$J^P$
۱۶۷۲	۱۵۳۰	۱۳۸۵	۱۲۳۶	$\frac{3}{2}^+$
—	—	۲۰۳۰	۱۹۵۰	$\frac{7}{2}^+$

جدول ۱۰۵۱ مشخصات تعدادی از تشدیدهای باریونی مشاهده شده را به عنوان اعضای چندتایه های  $SU(3)$  نشان می دهد. روش  $SU(3)$ ، با استفاده از فرمول جرمی گلن - اکوبو، پیش گوئی هایی درباره اسپین و پارته می کند، و همچنین جرم تشدیدها را به منظور کامل کردن چندتایه ها به دست می دهد.

انتظار داریم که تمام اعضای یک چندتایه  $SU(3)$  دارای اعداد کوانتومی یکسانی باشند مگر  $Y$ ،  $I$ ، و  $I_3$  که اعداد کوانتومی  $SU(3)$  هستند. مثلا عدد باریونی  $B$  برای تمام اعضای یک چندتایه یکسان است. بدین ترتیب برای هر چندتایه باریونی با  $B=1$  یک چندتایه متناظر از پاد باریونها با  $B=-1$  وجود خواهد داشت. برای باریونها،

ذرات و پاد ذرات در چندتایه‌های متفاوتی قرار می‌گیرند. مزونها دارای  $B = 0$  هستند و بنا بر این چندتایهٔ مزونی می‌تواند هم شامل ذرات و هم شامل پاد ذرات باشد. مثلاً  $\pi^-$  پاد ذرهٔ  $\pi^+$  است و هر دو در سه تاییهٔ ایزوسپینی  $I = 1$  قرار می‌گیرند. به همین ترتیب می‌توان انتظار داشت که  $K^0, K^+, K^-, \bar{K}^0$  در یک چندتایه قرار گیرند.

مزونهاى شبه نرده‌ای را که در جدول ۲.۵۱ فهرست شده‌اند، می‌توان به صورت یک هشت تاییهٔ SU(۳)، و یک تک تاییهٔ SU(۳)، آنچنان که در شکل ۲.۵۱ نموده شده است، تنظیم کرد. برای هشت تاییه‌های مزونی جرم ذرات  $Y = +1$  و  $Y = -1$  یکسان است، زیرا هر کدام از اینها پاد ذرهٔ دیگری است.

با به کار بردن مربع جرم مزونها در فرمول جرمی گلگن-اکوبو، معادلهٔ (۱.۵۱)، به دست می‌آوریم

$$M_K^2 = (3M_\eta^2 + M_\pi^2) / 4 \quad (۶.۵۱)$$

که در توافق خوبی با نتایج تجربی قرار دارد. همان فرمول وقتی که جرمها به طور خطی به کار برده می‌شوند، با نتایج مشاهده در توافق نخواهد بود.

$$J^P = 1^-$$

$$\pi(765, 1^-) = \rho$$

$$K(892, 1^-) = K^*$$

جدول ۲.۵۱ مزونهاى  $J^P = 0$ .

$I$	$Y$	جرم (Mev)	
۱	۰	$\left\{ \begin{array}{l} 13936 \\ 13500 \end{array} \right.$	$\left. \begin{array}{l} \pi^+, \pi^- \\ \pi^0 \end{array} \right\}$
$\frac{1}{2}$	+1	$\left. \begin{array}{l} 49378 \end{array} \right\}$	$\left. \begin{array}{l} K^+ \\ K^- \end{array} \right\}$
$\frac{1}{2}$	-1		
$\frac{1}{2}$	+1	$\left. \begin{array}{l} 49778 \end{array} \right\}$	$\left. \begin{array}{l} K^0 \\ \bar{K}^0 \end{array} \right\}$
$\frac{1}{2}$	-1		
۰	۰	۵۴۹	$\eta$
۰	۰	۹۵۸	$\eta'$

$$\eta(784, 1^-) = \omega$$

$$\eta(1019, 1^-) = \phi$$

را هم می‌توان به صورت يك هشت‌تایه و يك تك‌تایه، آنچنان‌که در شکل ۳۰۵۱ نموده شده است، مرتب کرد. اما به نظر نمی‌رسد که فرمول جرمی گلگن-اکوبو برای مزونهای  $1^-$  صادق باشد، چه وقتی که در آن خود جرم به کار برده شود یا مربع جرم. فرمول جرمی گلگن-اکوبو برای مربع جرم مزونها را می‌توان به صورت زیر نوشت

$$M_{\eta}^2 = (4M_K^2 - M_{\pi}^2) / 3$$

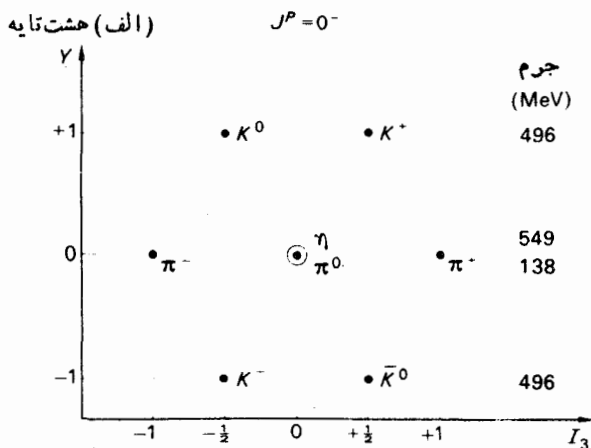
با به کار بردن مقدارهای اندازه گیری شده جرم ذرات  $K^*$  و  $\rho$  به دست می‌آوریم

$$M_{\eta}^2 = 0.87 \text{ (GeV)}^2$$

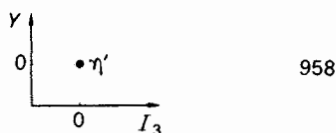
که بین مقدارهای تجربی

$$M_{\eta}^2(784) = 0.61 \text{ (GeV)}^2$$

$$M_{\eta}^2(1019) = 1.04 \text{ (GeV)}^2$$



ب) تک‌تایه

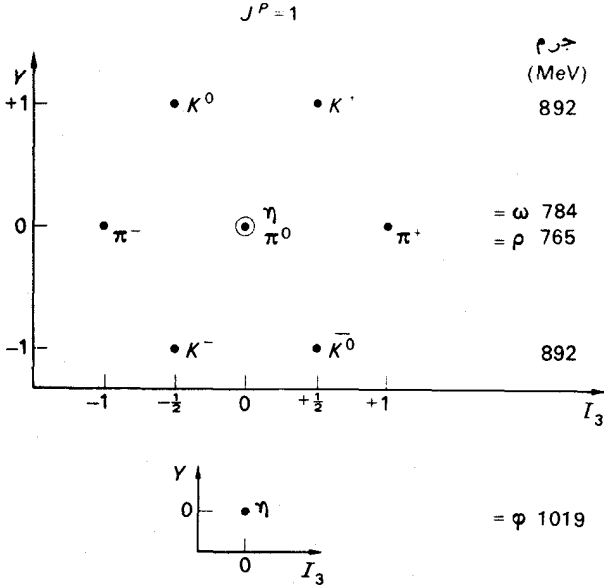


شکل ۳۰۵۱ هشت‌تایه و تک‌تایه SU(۳) مربوط به مزونهای شبه‌زده‌ای  $J^P = 0^-$ .

قرار می‌گیرد.  $\eta$  حاصل از هشت‌تاییه  $SU(3)$  را می‌توان به صورت ترکیب خطی از  $\eta(784)$  و  $\eta(1019)$  در نظر گرفت. مزونهای  $1^-$  را بهتر می‌توان به صورت يك نه‌تایه در نظر گرفت تا يك هشت‌تایه و يك تك‌تایه جدا از هم.  $\eta(784)$  و  $\eta(1019)$  را می‌توان به صورت دو برهنه‌ی متعامد يك  $\eta$  هشت‌تایه و يك  $\eta$  تك‌تایه در نظر گرفت. در بخشهای آینده با الگویی از مزونها روبه‌رو خواهیم شد که ما را به اینک انتظار داشته باشیم مزونها به صورت نه‌تایه وجود داشته باشند، هدایت می‌کند.

جدول ۳.۵۱ دسته‌بندی مزونها را به صورت نه‌تایه نشان می‌دهد.

برای گلچینی از مقاله‌های مربوط به  $SU(3)$  می‌توانید به کتاب گلمن-نیومن (۱۹۶۴) و برای توضیحی از نظریه  $SU(3)$ ، بدون محظورات مربوط به نظریه گرو، به کتاب لیبکین (۱۹۶۶) مراجعه کنید.



شکل ۳.۵۱ هشت‌تایه و تک‌تایه  $SU(3)$  مربوط به مزونها  $J^P = 1^-$  برداری.



جدول ۳.۵۱ رده بندی مزونها به صورت نه تاییه (علائم داخل جدول اسامی محاوره‌ای مزونها را نشان می‌دهد و جرمها بر حسب MeV هستند).

$I=0$ $\eta$	$I=\frac{1}{2}$ $K$	$I=1$ $\pi$	$J^P$
$\eta, 549$ $\eta', 958$	$K, 496$	$\pi, 138$	$0^-$
$\omega, 782$ $\phi, 1019$ $\gamma_{00}$	۸۹۲ —	$\rho, 765$ $\delta, 966$	$1^-$ $0^+$
$S^*, 1060$ $D, 1288$ —	۱۲۴۰	$A_1, 1070$	$1^+$
$f, 1260$ $f', 1512$ — —	۱۴۲۰ —	$A_2, 1300$ $B, 1235$	$2^+$ $1^+$

## ۵۲. الگوی کوارک

در بخشهای قبلی دیدیم که هادرونها را می‌توان بر طبق يك تقارن سه‌لا، که توسط گروه  $SU(3)$  توصیف می‌شود، رده‌بندی کرد. شکافتگی جرمی در يك چندتاییه را می‌توان تا حدودی با فرض نوعی اختلال تقارن‌شکن توضیح داد.

هادرونها را می‌توان در چندتاییه‌هایی مرتب کرد که چندتاییگی آنها ممکن است از نظریه گروه به‌دست آید. اما تمام چندتاییگیهایی که از تقارن  $SU(3)$  پیش‌بینی می‌شوند، در میان هادرونها وجود ندارند. این شاید زیاد ایجاد تعجب نکند اگر حالت مشابه موجود در نظریه اسپین معمولی را در نظر بگیریم، که در آن چندتاییگیهای مجاز عبارت‌اند از  $1, 2, 3, 4, 5$  و غیره که متناظر با اسپینهای  $0, 1/2, 1, 3/2, 2$  و غیره می‌شوند. ولی برای هر دستگانه مفروضی فقط اسپین درست یا اسپین نیم‌درست می‌تواند رخ دهد، بنابراین چندتاییگیهای يك دستگانه خاص یا همه زوج خواهند بود یا همه فرد. دستگانه‌های دیگری هم در فیزیک هستند که گروه تقارنی دارند، ولی همه چندتاییگیهایی که از لحاظ

نظریه گروه مجازند، در این دستگاها رخ نمی‌دهند. وجود شرایط اضافی برای چندتایه‌های مربوط به ذرات بنیادی، به طوری که آنها را به چندتایه‌های موجود در طبیعت محدود کند، امری غیر منطقی نیست.

به ویژه، به نظر می‌رسد که سه تایه  $SU(3)$  برای هادرونها رخ نمی‌دهد. سه تایه، چندتایه اصلی گروه  $SU(3)$  به شمار می‌رود، و تمام چندتایه‌های دیگر  $SU(3)$  را می‌توان با ترکیب سه تایه‌ها ساخت. در سال ۱۹۶۴ گلמן، و به طور مستقل زوئیگک (در سال ۱۹۶۵)، وجود يك سه تایه  $SU(3)$  را از ذراتی فرضی، که بتوان تمام هادرونها را از آنها ساخت، پیشنهاد کردند. گلמן این ذرات فرضی را «کوآرک» و زوئیگک آنها را «خرده ذرات» نامید. «کوآرک» کلمه‌ای است که جیمز جویس این (۱۹۳۹) در کتابش به کار برده است.

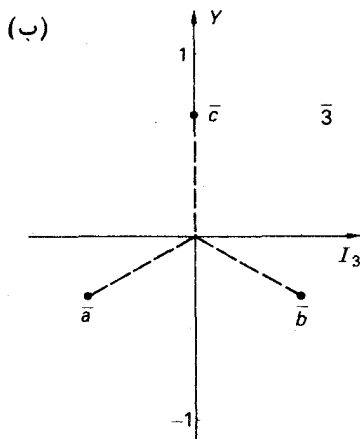
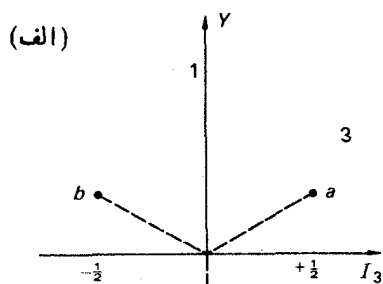
این سه کوآرک را با  $a$ ،  $b$ ، و  $c$  نشان می‌دهیم. کوآرکها هر يك دارای اسپین  $1/2$  هستند. اعداد کوانتومی دیگر کوآرکها در جدول ۱.۵۲ نموده شده است.  $a$  و  $b$  يك دوتایه ایزوسپینی و  $c$  يك تک‌تایه ایزوسپینی را تشکیل می‌دهند. سه تایه کوآرکها در شکل ۱.۵۲ الف ترسیم شده است، و این سه تایه را با ۳ نشان می‌دهند. پاد ذره کوآرکها سه تایه دیگری تشکیل می‌دهد که در شکل ۱.۵۲ ب نموده شده است، و آن را به صورت  $\bar{3}$  مشخص می‌سازند. نمودار  $\bar{3}$  از انعکاس نمودار ۳ نسبت به مبدأ به دست می‌آید.

باریونها از سه کوآرک تشکیل شده‌اند، و بنابراین دارای اسپین نیم درست فرد هستند. تمام اعضای يك چندتایه  $SU(3)$  دارای عدد باریونی  $B$  یکسانی هستند و چون باریونها دارای  $B = 1$  هستند، کوآرکها باید دارای  $B = 1/3$  باشند. به همین ترتیب پاد-کوآرکها دارای  $B = -1/3$  هستند. مزونها دارای  $B = 0$  بوده و از يك کوآرک و يك پاد کوآرک ساخته می‌شوند.

الگوی کوآرک اخیراً توسط مورپورگو (۱۹۷۵) مرور شده است، و گلچینی از مقاله‌های مربوط به آن توسط کوکدی (۱۹۶۹) جمع‌آوری شده است.

### جدول ۱.۵۲ اعداد کوانتومی کوآرکها.

$Y$	$I$	$I_3$	کوآرک
$+\frac{1}{3}$	$\frac{1}{2}$	$+\frac{1}{2}$	$a$
		$-\frac{1}{2}$	$b$
$-\frac{2}{3}$	$0$	$0$	$c$



شکل ۱۰۵۲ نمودار سه تاییهای کوآرک (۳) و پاد کوآرک (۳).

### ۵۳. الگوی کوآرکی مزونها

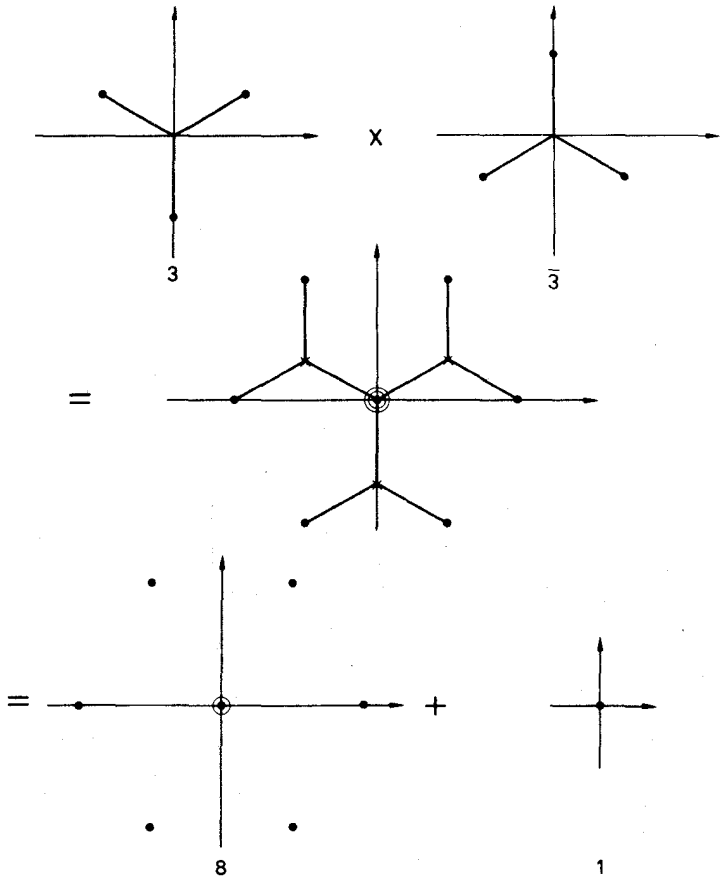
چون کوآرک و پاد کوآرک هر کدام دارای اسپین  $1/2$  هستند، حالتی از کوآرک و پاد کوآرک که بدون تکانه زاویه‌ای باشد، یعنی حالت  $S$  (یا  $I=0$ ) دارای اسپین ۰ یا ۱ خواهد بود. پارینه برای حالتی از دو ذره، که پارینه ذاتی یکسان و  $I=0$  داشته باشند، زوج خواهد شد. با استفاده از نظریه دیراک در مورد ذرات با اسپین  $1/2$ ، حالتی از یک ذره و پاد ذره آن با  $I=0$ ، دارای پارینه فرد است. این موضوع را می‌توان به این صورت در نظر گرفت که ذره و پاد ذره آن دارای پارینه ذاتی مخالف هستند. حالت‌های متشکل از یک

کوارک و یک پادکوارک با  $I = 0$  دارای اسپین و پاریته  $J^P = 0^-$  خواهند بود، و قبلاً دیدیم که مزونها به صورت  $1^-$  و  $0^-$  وجود دارند.

به طور کلی، برای حالتی از یک کوارک و پادکوارک با عدد کوانتومی تکانه زاویه‌ای مداری  $I$ ، پاریته  $(-1)^{L+1}$  است. برای حالتی از کوارک و پادکوارک با  $I = 1$  (حالت  $p$ ) پاریته زوج است، و مقدارهای ممکن تکانه زاویه‌ای کل ( $J$ ) از ترکیب اسپین کل کوارک و پادکوارک، یعنی  $S = 0$  یا  $S = 1$ ، با  $I = 1$  به دست می‌آید

$$J^P = 1+, 0+, 1+, 2+$$

نتیجاً مزونهای  $2+$  را می‌توان به صورت حالت‌های  $p$  کوارک و پادکوارک در نظر گرفت.



شکل ۱۰۵۳ چندتایی‌های  $SU(3)$  حاصل از ترکیب کوارک و پادکوارک. علامت  $X$  در ردیف دوم محل کوارک‌هایی را نشان می‌دهد که بر روی هر یک از آنها نمودار  $3$  نهاده شده است.

مزنهایی با مقادیر دیگر  $J^P$ ، که متناظر با حالت‌های  $p$  کوارک - پاد کوارک هستند، مشاهده شده‌اند.

نمودارهایی از قبیل نمودارهای شکل ۱.۵۱، ۲.۵۱، ۳.۵۱، و ۱.۵۲ را نمودارهای وزنی می‌نامند، چون  $I_3$  و  $Y$  متناظر با کمیت‌هایی در نظریه گروه هستند که وزن نامیده می‌شوند. چندتایه‌های بالاتر  $SU(3)$ ، حاصل از ترکیب تعدادی کوارک و پاد کوارک، را می‌توان توسط برهنه‌ی نمودارهای وزنی ۳ و  $\bar{3}$  نمایش داد. مثلاً ترکیب‌های مختلف یک کوارک و یک پاد کوارک را می‌توان با قراردادن نوبتی مبدأ نمودار وزنی پاد کوارکها بر هر کوارک نمودار وزنی ۳ تعیین کرد. این روش در شکل ۱.۵۳ نموده شده است. نه حالت به دست می‌آیند، که یک هشت‌تایه و یک یک‌تایه  $SU(3)$  را تشکیل می‌دهند. این را به‌طور نمادی به صورت زیر می‌نویسند

$$3 \otimes \bar{3} = 8 \oplus 1 \quad (1.53)$$

## ۵۴. خواص کوارکها

کوارکها را می‌توان یک وسیله مناسب ریاضی برای یافتن نتایج تقارن  $SU(3)$  در نظر گرفت، و مطلقاً لزومی ندارد که به صورت موجود فیزیکی در نظر گرفته شوند. اما اگر کوارکها وجود داشته باشند، خواص آنها خیلی قابل توجه خواهد بود. بار الکتریکی کوارکها را، با استفاده از  $Q = I_3 + Y/2$ ، می‌توان به صورت زیر نوشت

$$\begin{array}{rcl} a & +\frac{2}{3} & \bar{a} -\frac{2}{3} \\ b & -\frac{1}{3} & \bar{b} +\frac{1}{3} \\ c & -\frac{1}{3} & \bar{c} +\frac{1}{3} \end{array}$$

پایستگی بار و عدد باریونی تضمین می‌کند که حداقل یکی از کوارکها، یعنی کوارک‌داری کمترین جرم  $q_1$ ، به طور مطلق پایدار خواهد بود. آن دو کوارک دیگر از طریق واپاشیهای ضعیف به کوارک پایدار واپاشیده خواهند شد، مانند

$$q_2 \rightarrow q_1 + \mu + \nu$$

$$q_2 \rightarrow q_1 + \mu + \nu$$

اگر کوارکها وجود داشته باشند، می‌شود انتظار داشت که کوارک و پاد کوارک پایداری را که به صورت زوج، توسط پرتوهای کیهانی و یا توسط ذرات حامل از شتاب‌دهنده‌های

انرژی بالا، تولید شده‌اند بتوان مشاهده کرد. کاوشهایی که برای یافتن کوارکها صورت گرفته است، توسط مورپورگو (۱۹۷۰) مرورشده‌اند. تاکنون آزمایشهای صورت گرفته، با شتابدهنده ۷۰ جیگا الکترون ولت سرپوخف، اثبات کرده است که مقطع کل تولید کوارکهای با جرم کوچکتر از ۵ جیگا الکترون ولت بار، برای  $Q = 2/3$  کوچکتر از  $27 \times 10^{-4} \text{ سانتیمتر مربع}$  (آنتی بوف و همکاران، ۱۹۷۰)  $a$ ، و برای  $Q = -1/3$  کوچکتر از  $39 \times 10^{-4} \text{ سانتیمتر مربع}$  (آنتی بوف و همکاران، ۱۹۷۰)  $b$  است. ناتوانی در کشف کوارکها را می‌توان با فرض بزرگ بودن فوق‌العاده جرم آنها، و بنابراین نیاز به انرژیهای بیش از توان شتابدهنده‌های فعلی، توضیح داد. ولی فرض بزرگ بودن جرم کوارکها با خود وضعیت ناآشنایی را به همراه می‌آورد. برای اینکه زوج کوارک-پادکوارک جرم صحیح نسبتاً کوچک‌مزونی داشته باشد، انرژی بستگی باید قابل مقایسه با مجموع جرمهای ذرات تشکیل دهنده باشد. معمولاً در فیزیک زیراتمی هسته‌ای، جرم یک دستگاه مقید و مرکب فقط کمی کوچکتر از مجموع جرمهای ذرات تشکیل دهنده آن است. برای نمونه، انرژی بستگی دوترون خیلی کوچکتر از جرم سکون نوکلئون است. فیزیکدانها هیچ‌گونه تجربه قبلی از دستگاههایی با انرژی بستگی قابل مقایسه با جرمهای سکون ندارند. برای مطالعه چنین دستگاهی احتمالاً به یک نظریه فوق‌العاده نسبیتی نیاز است. ولی هنوز نظریه کوانتومی نسبیتی مکفی برای این منظور دسترس نیست.

تعداد بسیار کمی از ذرات پرتو-کیهانی حاوی انرژیهای خیلی بالا هستند، و بنابراین آهنگ تولید کوارکها توسط پرتوکیهانی خیلی کوچک خواهد بود. آزمایشهای بسیاری که با پرتوکیهانی صورت گرفته، هیچ‌گونه نشانه‌ای از وجود کوارک به دست نداده‌اند. در سال ۱۹۶۹ دو گروه از فیزیکدانها، مکوسکر و کایرنز (۱۹۶۹) و کایرنز و همکاران (۱۹۶۹)، در اتاقل ابرمسیرهایی را مشاهده کردند که آنان آنها را به عنوان مسیر کوارکهای ناشی از رگبارهای پرا انرژی پرتوکیهانی تفسیر می‌کنند. ولی چنین تفسیری از مسیرهای اتاقل عموماً پذیرفته نیست، و توسط چند نفر مورد انتقاد قرار گرفته است (به عنوان مثال آدایر و کاشا، ۱۹۶۹) این آزمایش را با حساسیت بیشتری تکرار کرده‌اند، ولی مدرکی دال بر وجود کوارکها به دست نیامده است (کلارک و همکاران، ۱۹۷۱).

## ۵۵. باریونها

باریونها را می‌توان به صورت حالت‌های مقید سه کوارک در نظر گرفت. چون برای هر کوارک سه امکان  $a$ ،  $b$  و  $c$  وجود دارد، برای ترکیب سه کوارک مجموعاً  $3 \times 3 \times 3 = 27$  حالت وجود خواهد داشت. می‌خواهیم بدانیم چه چندتاویه‌هایی از ترکیب سه سه‌تایه به دست می‌آیند.

برای  $SU(2)$ ، که گروه مربوط به اسپین یا ایزوسپین است، چند تاگیها را می‌توان توسط الگوی برداری به دست آورد. مثلاً ترکیب دو دستگاه با چند تاگیهای  $(1, +1/2)$  و

(۱+۲J) چندتایگیهای زیر را به دست می دهد

$$\{2(j_1 + j_2) + 1\}, \{2(j_1 + j_2) - 1\}, \dots, \{2|j_1 - j_2| + 1\}$$

یعنی به صورت (۱+۲J) که در آن از  $j_1 + j_2$  تا  $|j_1 - j_2|$  با گام واحد تغییر می کند. برای ترکیب ایزوسپین کوادرها می توان از الگوی برداری استفاده کرد، ولی بقیه مسئله به مراتب مشکلتر است. چندتایگیها را می توان توسط نظریه گروه، که در خارج چارچوب این کتاب قرار دارد، تعیین کرد. (لیختن برگ، ۱۹۷۰). جواب ترکیب سه سه تایی به طور نمادی در زیر داده شده است

$$3 \otimes 3 \otimes 3 = 1 \oplus 8 \oplus 8 \oplus 10 \quad (1.55)$$

حالتهای ۲۷ گانه سه کوادرك از يك تك تايه، دوهشت تايه، و يك ده تايه تشکیل می شود. و اینها فقط چندتایه های مشاهده شده برای باریونها هستند. در معادله (۱.۵۵) هشت تايه دوبار ظاهر می شود که شبیه حالت جمع کردن سه اسپین ۱/۲ است.

$$\frac{1}{2} + \frac{1}{2} + \frac{1}{2}$$

که در آن اسپین ۱/۲ دوبار ظاهر می شود. زیرا می توان نوشت

$$S_{12} = s_1 + s_2$$

$$S = s_{12} + s_3$$

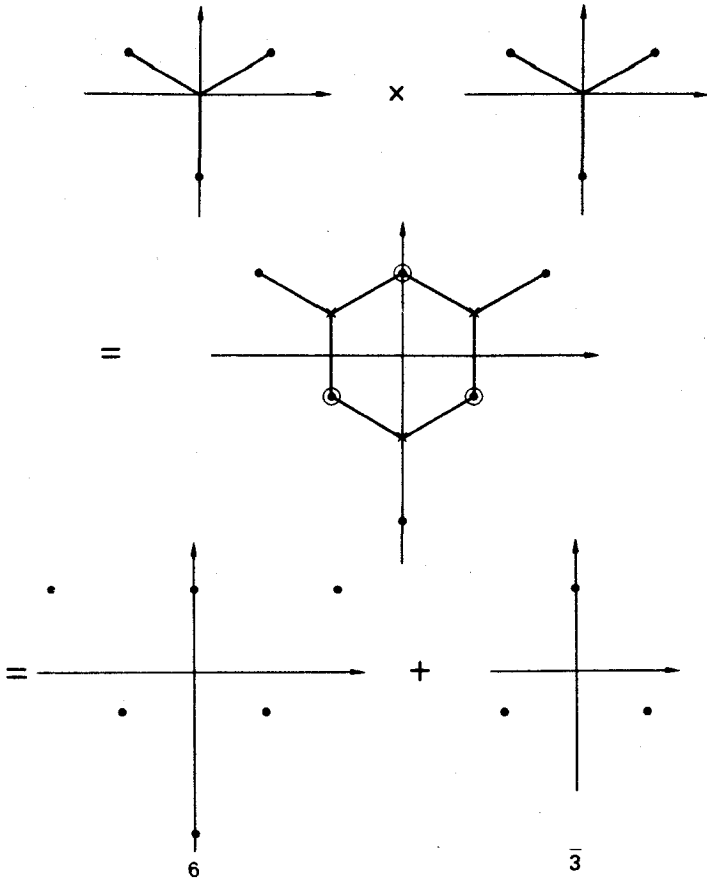
که در آن  $s_1, s_2, s_3$  مساوی ۱/۲ هستند، بنابراین داریم یا  $S_{12} = 0$  که نتیجه می دهد  $S = 1/2$  و یا  $S_{12} = 1$  که نتیجه می دهد  $S = 1/2$  و  $S = 3/2$ . در این شرایط  $S = 1/2$  از دو طریق مختلف، یعنی هم از  $S_{12} = 0$  و هم از  $S_{12} = 1$  ظاهر می شود. چندتایگیهای معادله (۱.۵۵) را می توان با ترکیب تصویری سه کوادرك، به همان طریقی که برای ترکیب کوادرك و پاد کوادرك در شکل ۱.۵۳ انجام گرفت، به دست آورد. ابتدا حالتی ترکیب دو کوادرك را، آنچنان که در شکل ۱.۵۵ نموده شده است، در نظر می گیریم. نتیجه این ترکیب را می توان به صورت زیر نوشت

$$3 \otimes 3 = 6 \oplus \bar{3} \quad (2.55)$$

این شش تايه و سه تايه دارای بار و عدد باریونی درست نیستند، و بنابراین در میان هادرونها فیزیکی یافت نمی شوند. حال کوادرك سوم را به توبت با ۶ و ۳ جمع می کنیم. شکل ۲.۵۵ نشان می دهد که

$$6 \otimes 3 = 10 \oplus 8 \quad (3.55)$$

با استفاده از همان روشی که در مورد مزونها به کار رفت، شکل ۱.۵۵، می توان نوشت



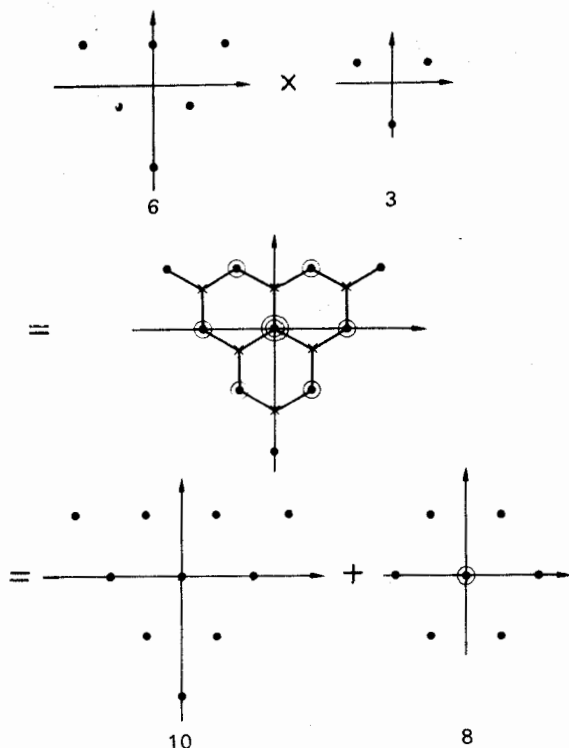
شکل ۱۰۵۵ تشریح تصویری ترکیب دو کوارک  $3 \otimes 3 = 6 \oplus \bar{3}$ .

$$3 \otimes 3 = 1 \oplus 8 \quad (۲.۵۵)$$

بالاخره از ترکیب معادلات (۲.۵۵)، (۳.۵۵)، و (۴.۵۵) چنین به دست می‌آید

$$\begin{aligned} 3 \otimes 3 \otimes 3 &= (6 \oplus \bar{3}) \otimes 3 \\ &= 1 \oplus 8 \oplus 8 \oplus 10 \end{aligned} \quad (۵.۵۵)$$





شکل ۲۰۵۵  $۶ \otimes ۳ = ۱۰ \oplus ۸$

### ۵۶. شکاف جرمی در چند تاییه‌های مزونی

در صورت کامل بودن تقارن  $SU(۳)$ ، تمام ذرات یک چند تاییه  $SU(۳)$  می‌بایست جرم یکسانی داشته باشند، و از آنجایی که چنین نیست، تقارن  $SU(۳)$  نمی‌تواند کامل باشد.

یک شیوه ساده برای شکستن تقارن  $SU(۳)$  این است که فرض کنیم کوآرک تک تاییه ایزوسپینی  $c$  دارای جرم  $m + \Delta$ ، متفاوت از جرم  $m$  کوآرکهای دو تاییه ایزوسپینی  $a$  و  $b$  باشد. برای نگهداری پایستگی ایزوسپین، کوآرکهای  $a$  و  $b$  باید، جدا از تصحیحات الکترومغناطیسی، جرمهای یکسان داشته باشند.

الگوی ساده‌ای در نظرمی گیریم که در آن برهم کنش بین کوآرک و پاد کوآرک توسط چاه پتانسیل مربعی خیلی عمیق، به عمق  $V$ ، نمایش داده می‌شود. فرض می‌کنیم که  $V$  و برد پتانسیل به اندازه کافی بزرگ باشند، به طوری که انرژی جنبشی  $T$  دستگاه مستقل از تغییرات کوچک جرم یک یا هر دو ذره از مقدار  $m$  باشد.

فرض می‌شود که عمق و برد پتانسیل مستقل از ایزوسپین و فوق بار باشد، و فقط به

حالت اسپین زوج کوآرک - پاد کوآرک بستگی داشته باشد. درحالت کلی پتانسیل برای  $S=0$  و  $S=1$  متفاوت خواهد بود، که در آن  $S$  عدد کوانتومی اسپین حاصل جمع اسپینهای کوآرک و پاد کوآرک است، یعنی

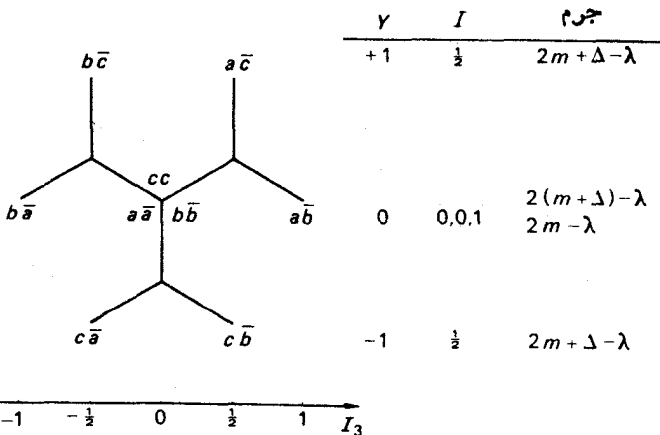
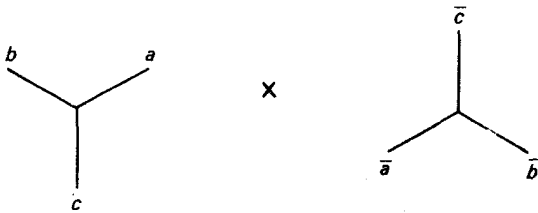
$$S = s_q + s_{\bar{q}}$$

با فرضهای بالا  $V$  و  $T$  برای تمام ذرات نه‌تایهٔ مسزونی ثابت می‌شود و در نتیجه انرژی پیوند

$$\lambda c^2 = V - T$$

هم ثابت خواهد ماند. جرم دستگاه کوآرک و پاد کوآرک، و بنابراین جرم مسزون، عبارت خواهد بود از

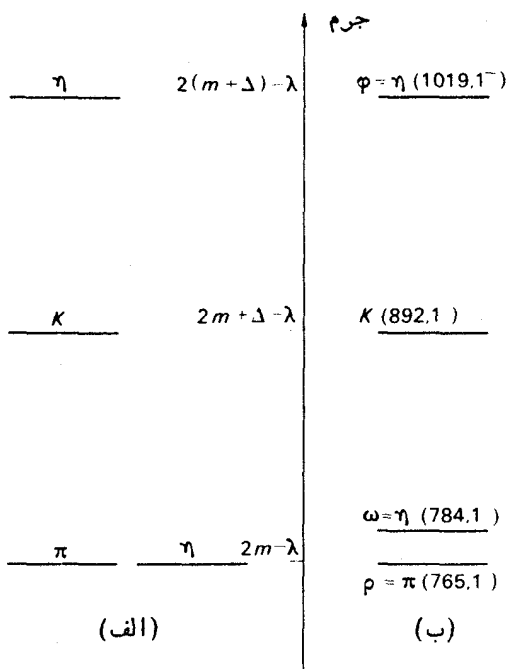
$$M = M_q + M_{\bar{q}} - \lambda \quad (1.56)$$



شکل ۱.۵۶ نه‌تایهٔ مسزونی ساخته شده از کوآرک و پاد کوآرک  $a$  و  $b$  دارای جرم  $m$  و  $c$  دارای جرم  $m + \Delta$  است.

حالت‌های يك نه‌تایه همراه با جرم‌هایشان در شکل ۱.۵۶ نموده شده است. حالت‌های  $bc$  و  $ac$  که از جمع کردن ایزوسپین  $1/2$  و  $a$  با ایزوسپین صفر  $c$  به دست آمده‌اند، دارای ایزوسپین  $I = 1/2$  بوده و بنا بر این دارای اعداد کوانتومی مربوط به کائون‌ها هستند. به‌طور مشابهی  $c\bar{a}$  و  $c\bar{b}$  دو تاییه ایزوسپینی  $K^-$  و  $\bar{K}^0$  هستند.  $c\bar{c}$  ایزوسپین  $I = 0$  دارد، زیرا برای  $c$  و  $\bar{c}$  هر دو  $I = 0$  است. ترکیب دو دو تاییه ایزوسپینی  $a$ ،  $b$  و  $\bar{a}$ ،  $\bar{b}$  ایزوسپینهای  $I = 0$  و  $I = 1$  را می‌دهد.  $a\bar{b}$  و  $b\bar{a}$  حالت‌های  $I = 1$  هستند که به ترتیب در آنها  $I_3 = +1$  و  $I_3 = -1$  می‌شود. از ترکیب  $a\bar{a}$  و  $b\bar{b}$  دو ترکیب خطی متعامد، یکی با  $I = 0$  و دیگری با  $I = 1$ ، به وجود خواهد آمد.

بر اساس این الگوی ساده، در داخل هر نه‌تاییه مزونی می‌توان نمونه جرم‌های نموده شده در شکل ۲.۵۶ الف را انتظار داشت. جرم‌های مشاهده شده برای مزونهای  $1^-$  که در شکل ۲.۵۶ ب نموده شده‌اند، در حدودی که می‌توان از یک چنین الگوی تقریبی انتظار داشت، در توافق خوبی با نتایج پیش‌بینی شده هستند. اما جرم‌های مشاهده شده برای



شکل ۲.۵۶ الف) نمونه جرم‌های چشمداشتی برای يك نه‌تاییه مزونی. ب) جرم‌های نه‌تاییه مزونهای  $1^-$ . مقیاس طوری انتخاب شده است که  $\rho = \pi (765.1^-)$  و  $K (892.1^-)$  در محل‌های پیش‌بینی شده قرار گیرند.

مزونهای  $0^-$ ، همچنان که از جدول ۳.۵۱ پیداست، آشکارا با این نمونه نمی‌خوانند. ولی در نه‌تایه دو حالت  $I=0$ ، وجود دارد و ذرات  $\eta$  مشاهده شده می‌توانند برهم‌نهشی از این دو حالت باشند، یعنی ممکن است اختلاطی از دو حالت  $I=0$  موجود باشد. حالت‌های  $I=1$  و  $I=1/2$  هیچکدام دارای حالت‌های قابل ترکیب نیستند، و با نوشتن جرم حالت  $I$  به صورت  $M^I$  این الگو پیش‌بینی می‌کند که

$$M_{1/2} - M_1 = \Delta$$

بنابراین  $M_{1/2} - M_1$  برای هر چندتایهٔ مزونی می‌باید یکسان و مستقل از ایزوسپین و پارته باشد.

## ۵.۷. شکاف جرمی در باریونها

در ابتدا می‌کوشیم که شکاف جرمی در یک چندتایهٔ باریونی را به همان طریقی که در بخش قبل برای مزونها عمل کردیم، و در آن شکاف جرمی را تماماً به‌خاطر اختلاف جرم کوارک‌ها گرفتیم، توضیح دهیم. ولی همچنان که خواهیم دید، این‌کوشش به‌طور کامل موفقیت‌آمیز نخواهد بود.

حالت‌های مختلف سه کوارک در شکل ۱.۵۷ نموده شده‌است. اگر انرژی پیوند در داخل یک چندتایه ثابت باشد، جرم باریون توسط رابطهٔ زیر داده خواهد شد

$$M = \sum m_i + \lambda c^2 \quad (1.57)$$

که در آن  $\lambda$  به‌اسپین و پارتهٔ چندتایه بستگی خواهد داشت.  $\sum m_i$  مجموع جرم‌های سه کوارک است. این الگو فاصلهٔ مساوی موجود بین جرم‌های ده‌تایهٔ باریونی  $J^P = 3/2^+$  را توضیح می‌دهد (شکل ۲.۴۹)، ولی پیش‌گویی می‌کند که جرم ذرات  $\Lambda$  و  $\Sigma$  موجود در هشت‌تایه می‌باید یکسان باشند. این موضوع با جرم‌های مشاهده شده برای باریون‌های  $J^P = 1/2^+$  ناسازگار است

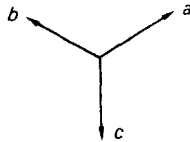
$$M_\Lambda = 1116 \text{ MeV}$$

$$M_\Sigma = 1193 \text{ MeV}$$

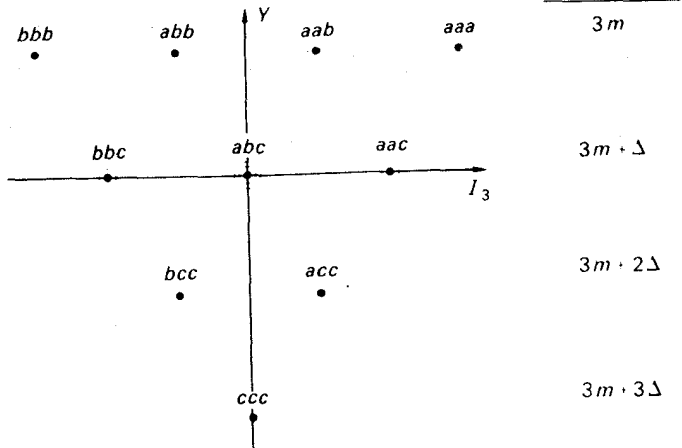
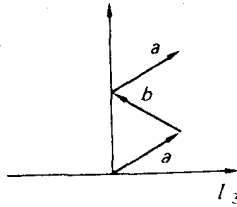
برای به‌دست آوردن نتایج بهتر باید شکست عمومتری از تقارن را در نظر گرفت که در این صورت، آنچنان که در بخش بعدی خواهیم دید، فرمول جرمی گلن-اکوبو به‌دست می‌آید.

تا به حال تاحدی که مطالعهٔ فیزیک ذرات با استفاده از ملاحظات فوق‌العاده ساده امکان‌پذیر بود، پیش‌آمدیم. برای جلوگیری از به‌مقداری کارهای پیچیده‌تر نیاز است. بنابراین این برای خواننده‌ای که مطالب گفته شده کفایت می‌کند، اینجامحل مناسبی برای مراجعه به فصل آخر است.

(الف)



(ب)



شکل ۱۰۵۷ ساختن باریونها از سه کوآرک. (الف) سه کوآرک را می توان به صورت سه بردار در نمودار وزن ترسیم کرد. حالت های باریونی را می توان با در نظر گرفتن تمام ترکیب های ممکن این سه بردار ساخت. برای نمونه (ب) ترکیبی را نشان می دهد که حالت  $Y=1$ ،  $I_3 = +1/2$  را به دست می دهد. (ج) تمام حالت های حاصل از این طریق نشان داده شده اند.

### ۵۸. محاسبه فرمول جرمی گلنن - اکوبو برای هشت تابه

به منظور تسهیل ریاضی هشت تابه ای را که توسط یک سه تابه و یک پاد سه تابه ساخته شده است، در نظر می گیریم

$$3 \otimes \bar{3} = 8 \oplus 1$$

(۱۰۵۸)

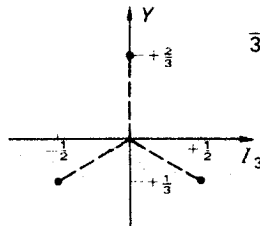
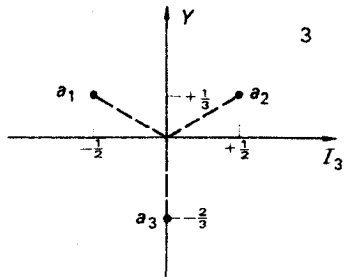
سه‌تایه و پاد سه‌تایهٔ نموده شده در شکل ۱۰۵۸ را نه به‌عنوان کوارک، بلکه فقط به‌صورت یک ابزار ریاضی مناسب در نظری می‌گیریم.

حالت  $3 \otimes \bar{3}$  با قراردادن نمودار  $\bar{3}$  روی هر حالت از نمودار ۳ به‌سهولت تصویر می‌شود، و نتایج حاصله در شکل ۲۰۵۸ نموده شده‌است.

$a_1$  و  $a_2$  با هم و همچنین  $\bar{a}_1$  و  $\bar{a}_2$  با هم یک دو تاییهٔ ایزوسپینی،  $I = 1/2$ ، تشکیل می‌دهند.  $a_1 \bar{a}_1$  و  $a_2 \bar{a}_2$  دو حالت از یک سه‌تاییهٔ ایزوسپینی  $I = 1$  هستند. در اینجا همان علائمی را که برای حالت به‌کار می‌بریم برای تابع حالت هم به‌کار می‌گیریم. عضو سوم سه‌تاییهٔ  $I = 1$  با  $I_3 = 0$ ، ترکیب متقارن دو دو تاییهٔ  $I = 1/2$  است، یعنی

$$\frac{1}{\sqrt{3}}(a_1 \bar{a}_2 + a_2 \bar{a}_1) \quad (2.58)$$

می‌توان یک اسپین  $U$  چنان معرفی کرد که (مانند شکل ۲۰۵۸) محور  $U_3$  آن با محور  $I_3$  زاویهٔ  $120^\circ$  درجه بسازد، و حالت‌ها را در چندتایه‌های این اسپین  $U$  مرتب کرد. در نتیجه  $a_1$  و  $a_2$  یک دو تاییهٔ اسپین  $U$  با  $I = 1/2$ ، و  $a_3$  یک تک تاییهٔ اسپین  $U$  با  $I = 0$  خواهد بود. تقارن سه‌لایه‌ای نمودارهای وزن تعریف سه اسپین به‌نام‌های اسپین  $U$ ، اسپین  $I$  و اسپین  $V$



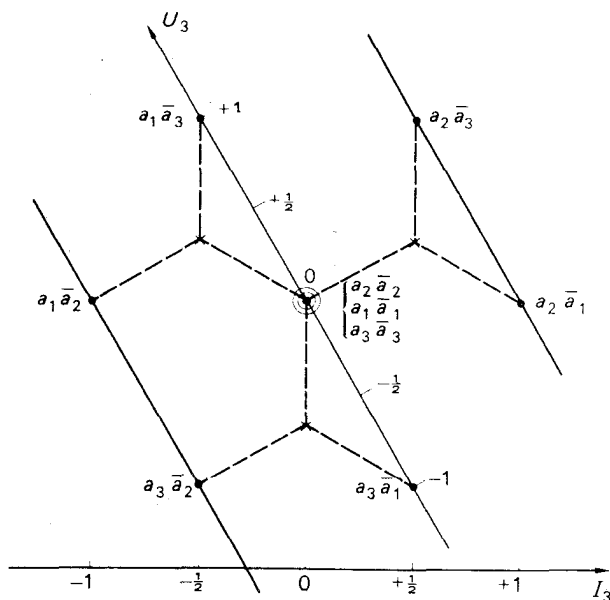
شکل ۱۰۵۸ سه‌تایه و پاد سه‌تایه. دقت کنید که  $a_1 a_2 a_3$  کموارک نیستند.

محورهای  $U_3, I_3, V_3$  در زاویه  $۱۲۰$  درجه نسبت به یکدیگر را مجازمی شمارد. اما استفاده از اسپین  $V$  هیچ مزیتی نسبت به اینکه فقط از اسپین  $I$  و اسپین  $U$  استفاده شود ندارد. دقت کنید که اسپین  $U$  و اسپین  $V$ ، همچون اسپین  $I$ ، هیچ ارتباطی با تکانه زاویه‌ای و یا اسپین ندارند و فقط شیوه‌هایی مناسب برای عملیات ریاضی مربوط به چندتایه‌ها هستند (برای توضیح کاملتری از استفاده اسپین  $U$  به لیکین ۱۹۶۶ مراجعه کنید).

به همان طریقی که در بالا سه تاییه  $I = ۱$  را از جمع دو اسپین  $I$  با مقادیر  $۱/۲$  به دست آوردیم، می‌توانیم سه تاییه اسپین  $U$  را هم از جمع دو اسپین  $U$  با مقادیر  $۱/۲$  به دست آوریم.

$$\begin{aligned} a_1 \bar{a}_2 & \quad U_3 = +1 \\ \frac{1}{\sqrt{3}}(a_1 \bar{a}_1 + a_2 \bar{a}_2) & \quad U_3 = 0 \\ a_3 \bar{a}_1 & \quad U_3 = -1 \end{aligned} \quad (3.58)$$

این سه تاییه اسپین  $U$  هم بخشی از هشت تاییه  $SU(3)$  است. اما حالت  $U = ۱, U_3 = ۰$  بر حالت  $I_3 = ۰, I = ۱$  معادله (۲.۵۸)، که آن را به علت اینکه مقادیر دقیق  $I$  و  $I_3$  ذرات مشاهده شده به عنوان حالت فیزیکی انتخاب می‌کنیم، عمود نیست. چون بعضی از حالتها با اسپین  $U$



شکل ۲.۵۸ ساختن  $\bar{3} \otimes 3$ .

معین، ترکیب خطی حالت‌هایی با اسپینهای  $I$  متفاوت هستند، اسپین  $U$  مربوط به حالت ذرات مشاهده شده همیشه خوب نیست. یعنی اینکه ذرات مشاهده شده، اگرچه دارای مقادیر معینی از  $U_3$  هستند، همیشه مقدارهای معینی از  $U$  نخواهند داشت. راحت است که با حالت‌های متعامدکار کنیم، و بنابراین به آن قسمتی از حالت  $U=1$ ،

$$U_3 = 0$$

$$|U=1, U_3=0\rangle$$

نیاز داریم که عمود بر حالت  $I=1, J=0$ ،

$$|I=1, I_3=0\rangle$$

باشد. یعنی به قسمت زیر نیازمندیم

$$|U=1, U_3=0\rangle - \langle I=1, I_3=0 | U=1, U_3=0 \rangle |I=1, I_3=0\rangle \quad (۴.۵۸)$$

حال

$$\begin{aligned} \langle I=1, I_3=0 | U=1, U_3=0 \rangle &= \frac{1}{\sqrt{2}} \langle (a_2 \bar{a}_2 + a_1 \bar{a}_1) | (a_1 \bar{a}_1 + a_2 \bar{a}_2) \rangle \\ &= \frac{1}{\sqrt{2}} \quad (۵.۵۸) \end{aligned}$$

زیرا

$$\begin{aligned} \langle a_i \bar{a}_j | a_k \bar{a}_l \rangle &= \langle a_i | a_k \rangle \langle \bar{a}_j | \bar{a}_l \rangle \\ &= \delta_{ik} \delta_{jl} \quad (۶.۵۸) \end{aligned}$$

از آنجا که سه تایی  $a_1, a_2, a_3$  و پادسه تایی  $\bar{a}_1, \bar{a}_2, \bar{a}_3$  مستقل از یکدیگرند، در اینجا  $\bar{a}_i$  هیچ ارتباطی با  $a_i$  ندارد.

عبارت (۴.۵۸) را می‌توان به صورت زیر نوشت

$$\frac{1}{\sqrt{2}}(a_1 \bar{a}_1 + a_2 \bar{a}_2) - \frac{1}{\sqrt{2}}(a_2 \bar{a}_2 + a_1 \bar{a}_1) = \frac{1}{\sqrt{2}}(a_1 \bar{a}_1 - a_2 \bar{a}_2) \quad (۷.۵۸)$$

این حالت دارای  $I=0$  است، چون هم برای

$$a_2 \bar{a}_2$$

و هم برای

$$\frac{1}{\sqrt{2}}(a_1 \bar{a}_1 - a_2 \bar{a}_2)$$



$I=0$  است، اولی به این خاطر که ترکیبی از دو حالت با  $I=0$  است و دومی به این علت که ترکیب پاد متقارن دو حالت  $I=1/2$  است. رابطه (۷.۵۸) پس از بهنجار شدن به صورت زیر درمی آید

$$|I=0\rangle = \frac{1}{\sqrt{6}} (a_1 \bar{a}_1 - a_2 \bar{a}_2 + 2a_3 \bar{a}_3) \quad (۸.۵۸)$$

چون در شکل ۲.۵۸ سه حالت با  $I_3=0$ ،  $Y=0$  وجود دارند، حالت دیگری هم  $I=0$  وجود دارد که تک تابه  $SU(3)$  است و برای مسئله شکاف جرمی اهمیتی ندارد. می توانیم بنویسیم

$$|U=1, U_3=0\rangle = \langle I=0 | U=1, U_3=0 \rangle |I=0\rangle + \langle I=1, I_3=0 | U=1, U_3=0 \rangle |I=1, I_3=0\rangle \quad (۹.۵۸)$$

حال

$$\begin{aligned} \langle I=0 | U=1, U_3=0 \rangle &= \frac{1}{\sqrt{12}} \langle (a_1 \bar{a}_1 - a_2 \bar{a}_2 + 2a_3 \bar{a}_3) | \\ & \quad (a_1 \bar{a}_1 + a_2 \bar{a}_2) \rangle \\ &= \frac{\sqrt{3}}{2} \end{aligned} \quad (۱۰.۵۸)$$

با جایگزین کردن معادلات (۱۰.۵۸) و (۵.۵۸) در معادله (۹.۵۸) بدست می آوریم

$$|U=1, U_3=0\rangle = \frac{\sqrt{3}}{2} |I=0\rangle + \frac{1}{2} |I=1, I_3=0\rangle \quad (۱۱.۵۸)$$

برای محاسبه جرمها، شکسته شدن تقارن را به صورتی ساده فرض می کنیم، به طوری که جرم در هر چند تابه اسپین  $U$  به صورت زیر باشد

$$M = M_0 + \alpha U_3 \quad (۱۲.۵۸)$$

با در نظر گرفتن سه تابه اسپین  $U$ ، آنچنان که در شکل ۳.۵۸ نموده شده است، داریم

$$\langle U_3=+1 | M | U_3=+1 \rangle = M_0 + \alpha = M_N \quad (۱۳.۵۸)$$

$$\langle U_3=-1 | M | U_3=-1 \rangle = M_0 - \alpha = M_{\Xi} \quad (۱۴.۵۸)$$

$$\langle U_3=0 | M | U_3=0 \rangle = M_0$$

$$= \left\{ \frac{\sqrt{3}}{2} \langle I=0 | + \frac{1}{2} \langle I=1, I_3=0 | \right\} M \left\{ \frac{\sqrt{3}}{2} | I=0 \rangle + \frac{1}{2} | I=1, I_3=0 \rangle \right\}$$

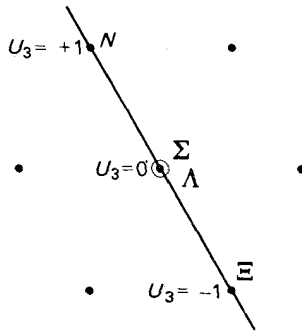
$$= \frac{3}{4} \langle I=0 | M | I=0 \rangle + \frac{1}{4} \langle I=1, I_3=0 | M | I=1, I_3=0 \rangle$$

$$= \frac{3}{4} M_{\Lambda} + \frac{1}{4} M_{\Sigma} \quad (15.58)$$

از معادلات (۱۳.۵۸)، (۱۴.۵۸)، و (۱۵.۵۸) به دست می‌آید

$$M_N + M_{\Xi} = \frac{1}{3} (3M_{\Lambda} + M_{\Sigma})$$

که همان فرمول جرمی گلמן-اکوبرو برای هشت‌تایهٔ باریونی است.



شکل ۳.۵۸ سه‌تایهٔ اسپینی در هشت‌تایهٔ باریونی.

### نماین

۰۱ با استفاده از آخرین اطلاعات داده شده در مجلهٔ *Review of Particle Properties* (به انتهای بخش ۴۱ مراجعه کنید) دقت فرمول جرمی گلמן-اکوبرو را برای هشت تایه‌ها و ده تایه‌های باریونی تحقیق کنید (جدول ۱۰.۵۱).

### مراجع

Adair, R. K. and H. Kasha, *Phys. Rev. Lett.*, **23** (1969) 1355.  
 Antipov, Yu. M., N. K. Vishnevskii, F. A. Ech, A. M. Zaitsev, I. I. Karpov, L. G. Landsberg, V. G. Lapshin, A. A. Lebedev, A. G. Morozov, Yu. D. Prokoshkin, Yu. V. Rodnov, V. G. Rybakov, V. I. Rykalin, V. A. Sen'ko, B. A. Utochkin and V. P. Khromov, *Sov. J. Nucl. Phys.*, **10** (1970a) 199. Translation of *Yadernaya Fizika*, **10** (1969) 346.

- Antipov, Yu. M., V. N. Bolotov, N. K. Vishnevskii, M. I. Devishev, M. N. Devisheva, F. A. Ech, A. M. Zaitsev, V. V. Isakov, I. I. Karpov, V. A. Krendelev, L. G. Landsberg, V. G. Lapshin, A. A. Lebedev, A. G. Morozov, Yu. D. Prokoshkin, V. G. Rybakov, V. I. Rykalin, A. V. Samoïlov, V. A. Sen'ko and Yu. S. Khodyrev, *Sov. J. Nucl. Phys.*, **10** (1970b)561. Translation of *Yadernaya Fizika*, **10** (1969)976.
- Cairns, I., C. B. A. Mc Cusker, L. J. Peak and R. L. S. Woolcott, *Phys. Rev.*, **186** (1969) 1394.
- Chew, G. F., M. Gell-Mann and A. H. Rosenfeld, 'Strongly interacting particles', *Sci. Am*, February 1964. (Also available as reprint 296, Freeman, San Francisco.)
- Clark, A. F., R. D. Ernst, H. F. Finn, G. G. Griffen, N. E. Hansen, D. E. Smith and W. M. Powell, *Phys. Rev. Lett.*, **27** (1971) 51.
- Gell-Mann, M., *Phys. Lett.*, **8** (1964) 214. Also contained in GellMann and Ne'eman (1964) and Kokkedee (1969).
- Gell-Mann, M. and Y. Ne'eman, *The Eightfold Way*, 1964. Benjamin, New York.
- Joyce, J., *Finnegan's Wake*, 1939. Viking Press, New York, p. 383.
- Kokkedee, J. J. J., *The Quark Model*, 1969. Benjamin, New York.
- Lichtenberg, D. B., *Unitary Symmetry and Elementary Particles*, 1970. Academic Press, New York.
- Lipkin, H. J., *Lie Groups for Pedestrians*, 2nd edition, 1966. North-Holland, Amsterdam.
- McCusker, C. B. A. and I. Cairns, *Phys. Rev. Lett.*, **23** (1969) 658.
- Morpurgo, G., *Ann. Rev. Nucl. Sci.*, **20** (1970) 105.
- Söding, P., J. Bartels, A. Barbaro-Galtieri, J. E. Enstrom, T. A. Lasinski, A. Rittenberg, A. H. Rosenfeld, T.G. Trippe, N. Barash-Schmidt, C. Bricman, V. Chaloupka, and M. Roos. *Phys. Lett.*, **39B** (1972) No. 1.
- Weyl, H., *Symmetry*, 1952. Princeton University Press.
- Zweig, G., 'Symmetries in Elementary Particle Physics', 1965. 1964 International School of Physics *Ettore Majorana* edited by A. Zichichi. Academic Press, New York, p. 192.

## قطبهای رگه

## ۵۹. قطبهای رگه

یکی از ایده‌های مهم فیزیک ذرات ایده قطبهای رگه است. قطبهای رگه توسط رگه در سال ۱۹۵۹ در جریان مطالعه خواص تحلیلی دامنه پراکندگی ذرات پراکنده توسط یک پتانسیل، با استفاده از معادله شرودینگر، به دست آمدند. مطالعه خواص تحلیلی دامنه‌های پراکندگی برای تمام شاخه‌های فیزیک نظری، به خصوص در فیزیک ذرات که برای آن نظریه دینامیکی کاملی نداریم، دارای اهمیت است.

پراکندگی ذره بدون اسپین با تکانه اولیه  $\hbar k$  و انرژی اولیه

$$E = \hbar^2 k^2 / 2m$$

توسط پتانسیلی با تقارن کروی را با استفاده از مکانیک کوانتومی نانسیتی در نظر بگیرید، دامنه پراکندگی را می‌توان به صورت زیر نوشت (ساکسون، ۱۹۶۸)

$$f(k, \theta) = \sum_{l=0}^{\infty} (2l+1) f_l(k) P_l(\cos \theta) \quad (1.59)$$

که در آن  $f_l(k)$  دامنه پراکندگی ذره‌ای است که دارای تکانه زاویه‌ای مداری  $l\hbar$  است.  $\theta$  زاویه پراکندگی است.

برای پراکندگی‌های واقعاً موجود تنها در ناحیه فیزیکی، یعنی به ازای  $k$  حقیقی و مثبت دامنه  $f_l(k)$  مورد نیاز است. ولی با مطالعه  $f_l(k)$  به صورت تابعی از  $k$  برای مقادیرهای غیر فیزیکی و از جمله مقادیر مختلط  $k$  می‌توان مطالب فراوانی به دست آورد. در نیمه بالای صفحه مختلط  $k$ ، به جز برای قطبها و بریدگیهای محور موهومی،  $f_l(k)$  تابعی تحلیلی از  $k$  است.

رگه در سال ۱۹۵۹ نشان داد که ممکن است تابعی از دو متغیر مختلط  $l$  و  $k$

$$F(l, k)$$

چنان تعریف کرد که برای  $l$ های درست غیر منفی بر  $f_1(k)$  منطبق شود و برای  $Re l > -1/2$ ، به جز برای قطبهای بالا یا روی محور حقیقی، تابعی تحلیلی از  $l$  باشد. این قطبهای موجود در صفحه مختلط تکانه زاویه‌ای را قطبهای رگه می‌نامند. محل قطبها تابعی تحلیلی از انرژی  $E$  است

$$l = \alpha_i(E), i = 1, 2, 3, \dots$$

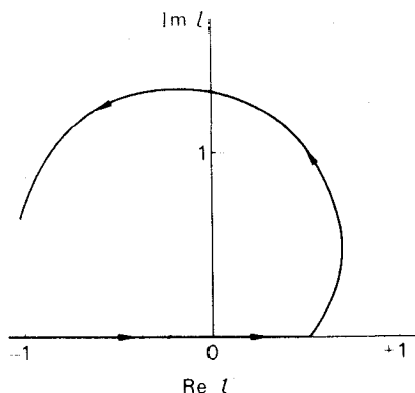
بنابراین همچنان که انرژی تغییر می‌کند، هر قطب رگه مسیری در صفحه مختلط  $l$  طی خواهد کرد.

برای  $E < 0$ ، به ازای هر انرژی که در آن  $\alpha_i(E)$  از یک مقدار درست غیر منفی بگذرد یک حالت مقید وجود خواهد داشت. برای  $E > 0$  حالت مقیدی وجود ندارد، ولی مسیر رگه ممکن است برای مقادیرهایی از  $E$ ، از نزدیکی یک عدد درست غیر منفی عبور کند، یعنی

$$\alpha_i(E) = n + i\beta$$

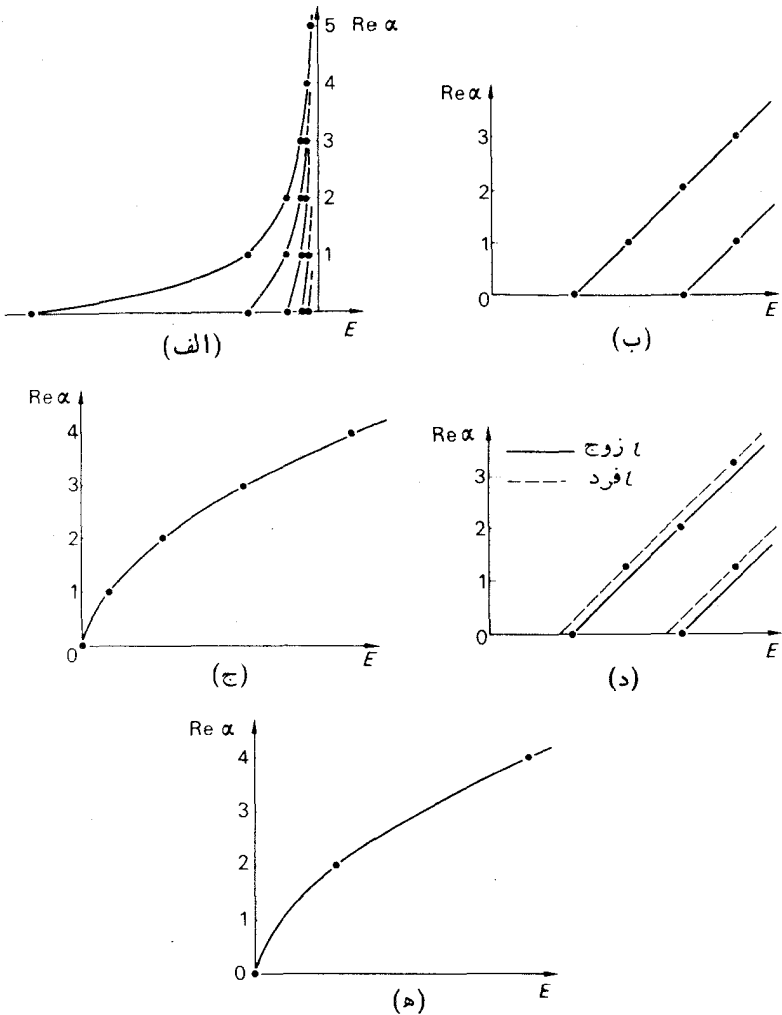
باشد، که در آن  $n$  یک عدد درست غیر منفی، و  $\beta$  عددی حقیقی مثبت است. این وضع متناظر با تشدید پراکندگی در انرژی  $E$  با تکانه زاویه‌ای  $n\hbar$  است، و  $\beta$  به پهنای تشدید مربوط می‌شود. هر چه مسیر به محور حقیقی نزدیکتر باشد، تشدید باریکتر است.

شکل ۱۰۵۹ نمونه‌ای از یک مسیر رگه را نشان می‌دهد. برای  $E$  منفی، قطب رگه در امتداد محور حقیقی حرکت می‌کند، و برای  $l = 0$  در انرژی حالت مقید قرار می‌گیرد. در  $E = 0$  قطب رگه محور حقیقی را ترک کرده و به طرف نیمه بالای صفحه مختلط حرکت



شکل ۱۰۵۹ مسیر رگه. پیکان جهتی را که در آن قطب رگه با افزایش انرژی حرکت می‌کند، نشان می‌دهد. مثالی از احمدزاده و همکاران (۱۹۶۳).

می‌کند. چندین مثال از مسیرهای رگه برای پتانسیل یوکاوا توسط احمدزاده، بورک و تات (۱۹۶۳) محاسبه شده‌اند، و تعدادی از این نمونه‌ها همچنین توسط اومنز و فروسارت



شکل ۲۰۵۹ مسیرهای رگه برای (الف) پتانسیل کولنی، (ب) پتانسیل نوسانگر هماهنگ، (ج) ترازهای چرخنده سخت، (د) اثر نیروهای تبادلی بر پتانسیل نوسانگر هماهنگ، (ه) ترازهای دورانی یک مولکول دو اتمی هم‌هسته با هسته‌های حاوی اسپین صفر. حالت‌های فیزیکی در انرژی‌هایی که برای آنها  $Re \alpha$  یک عدد درست زوج غیر منفی است، رخ می‌دهند.

(۱۹۶۳) ارائه شده‌اند.

تشدیدها و حالت‌های مقید را می‌توان با ترسیم  $\text{Rea}$  به صورت تابعی از  $E$  در گروه‌هایی مشاهده کرد. این چنین طرح‌هایی برای پتانسیلهای کولنی و نوسانگر هماهنگ در شکل‌های ۲۰۵۹ الف و ب و برای سطوح انرژی چرخنده‌ای سخت در شکل ۲۰۵۹ ج نمودار شده‌اند.

## ۶۰. نیروهای تبدالی

با استفاده مجدد از مکانیک کوانتومی نانسیتی پراکنده‌گی ذره بدون اسپین را توسط ذره‌ای دیگر، وقتی که برهم‌کنش بین دوزره را بتوان توسط یک پتانسیل توصیف کرد، در نظر می‌گیریم. این مسئله، با جدا کردن حرکت مرکز جرم، به حرکت ذره‌ای با جرم کاهش یافته در یک پتانسیل معین تبدیل می‌شود که می‌توان ملاحظات بخش قبلی را برای آن به کار گرفت. اثر نیروهای تبدالی در کاربردهای مربوط به فیزیک ذرات، از جمله موارد مهمی است که می‌تواند توسط نظریه‌ای نانسیتی توصیف شود. نیروهای معمولی (غیر تبدالی) را می‌توان در نظریه شرودینگر با یک عملگر پتانسیل  $\hat{V}$  نمایش داد

$$\hat{V} \psi(\mathbf{r}_1, \mathbf{r}_2) = V(|\mathbf{r}_1 - \mathbf{r}_2|) \psi(\mathbf{r}_1, \mathbf{r}_2)$$

که در آن  $V(|\mathbf{r}_1 - \mathbf{r}_2|)$  همان پتانسیل است. نیروی تبدالی با یک عملگر  $\hat{V}_e$ ، که ذرات را هم تعویض می‌کند، نمایش داده می‌شود

$$\hat{V}_e \psi(\mathbf{r}_1, \mathbf{r}_2) = V_e(|\mathbf{r}_1 - \mathbf{r}_2|) \psi(\mathbf{r}_2, \mathbf{r}_1)$$

از آنجا که داریم

$$\psi(\mathbf{r}_2, \mathbf{r}_1) = (-1)^l \psi(\mathbf{r}_1, \mathbf{r}_2)$$

که در آن  $l$  تکانه زاویه‌ای حول مرکز جرم است، اثر نیروهای تبدالی این است که یک پتانسیل مؤثر برای  $l$ -های زوج

$$V + V_e$$

و یک پتانسیل مؤثر برای  $l$ -های فرد

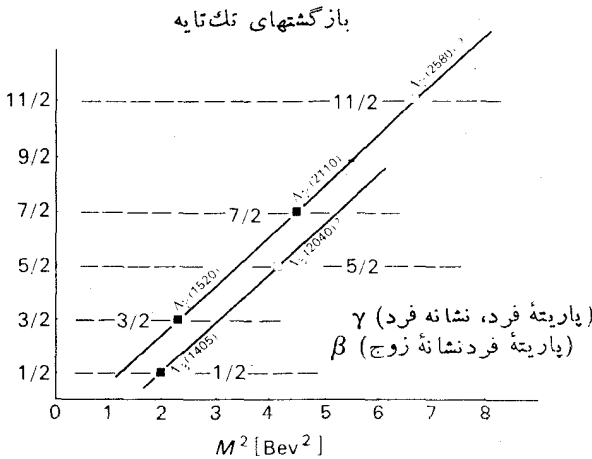
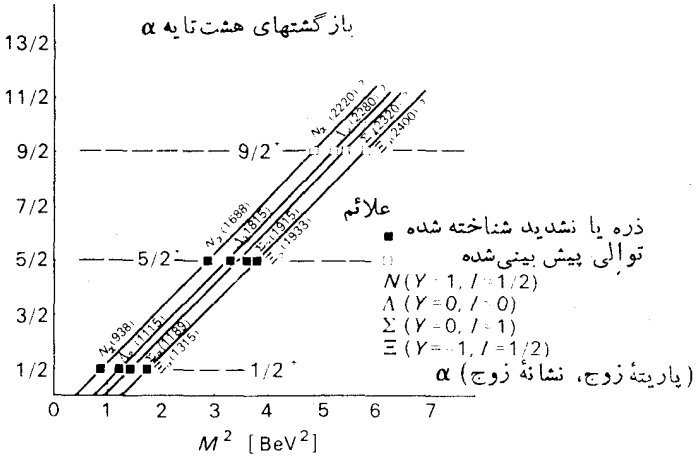
$$V - V_e$$

به وجود آورد. بنابراین مسیرهای رگه جداگانه‌ای برای  $l$ -های زوج و فرد وجود خواهد داشت. در مثالی که در شکل ۲۰۵۹ د نموده شده است هم  $V$  و هم  $V_e$  به صورت پتانسیل نوسانگر هماهنگ در نظر بوده‌اند. در حالت در فواصل تکانه زاویه‌ای ۲ از یکدیگر می‌دهند.

پدیده مشابهی، ولی با علتی متفاوت (لانداؤ، ۱۹۵۸)، در طیف دورانی مولکول‌های دو اتمی رخ می‌دهد (هالیدی، ۱۹۵۰؛ هرزبرگ، ۱۹۳۹)، که در آن مجموعه‌های متفاوتی از حالت‌های دورانی بر طبق اینکه اسپین  $J$  فرد یا زوج باشد به وجود می‌آید. برای نمونه،

اگر هسته های مولکول دارای اسپین صفر باشند، از آمار بوز تبعیت خواهند کرد و تابع موج کل باید نسبت به تعویض دو هسته متقارن باشد، و (با فرض حالت معمولی تابع موج متقارن برای الکترون) فقط حالت هایی با  $J$  زوج می توانند وجود داشته باشند، همچنان که در شکل ۲۰۵۹ ه. نموده شده است.

برای تمیز دادن انواع مختلف مسیرهای رگه یک عدد کوانتومی  $\pi$  به نام نشانه معرفی



شکل ۱۰۶۱ نمودارهای باریونی جو- فرانتی برای بازگشتهای رگه که طبق چندتاییه های ۸، ۱ و ۱۰ گروه  $SU(3)$  رده بندی شده اند.



می‌کنند.  $\tau$  برای بوزونها به صورت

$$\tau = (-1)^J$$

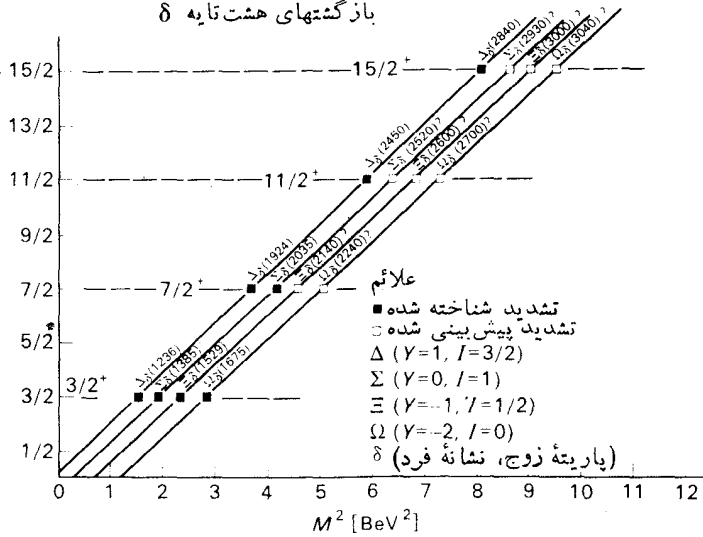
و برای فرمیونها به صورت

$$\tau = (-1)^{J-\frac{1}{2}}$$

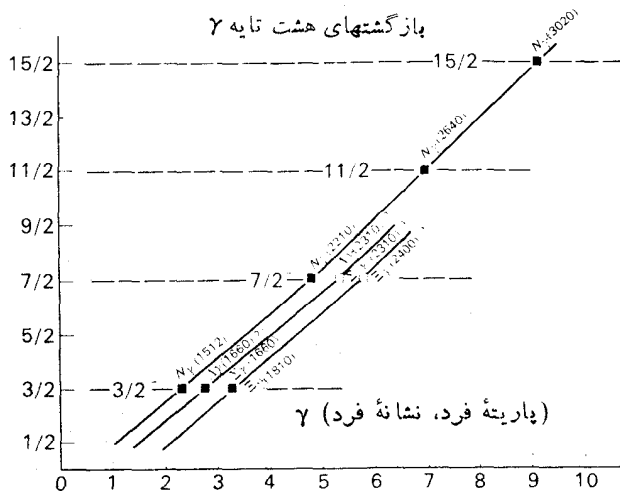
تعریف می‌شود.

### ۶۱. کاربرد مسیرهای رگه در فیزیک ذرات

گرچه نظریه کاملی از مکانیک کوانتومی نسبیستی وجود ندارد، ولی می‌توان تصور کرد که رسم بازگشتهای هشت تاییه  $\delta$



### بازگشتهای هشت تاییه $\gamma$



مسیرهای رگه برای ذرات حاوی برهم کنش قوی میسر باشد. ذراتی که روی يك مسیر رگه قرار می گیرند، همه باید دارای اعداد کوانتومی درونی یکسان باشند، اعدادی از قبیل فوق بار، ایزوسپین و غیره. مزونها می باید بر مسیرهایی با مقادیر فیزیکی  $J$  که همگی با زوج و یا فرد هستند قرار گیرند، بنا بر این بازگشتهای رگه بر حسب  $J$  در فواصل ۲ از یکدیگر رخ خواهند داد.

برای باریونها، که دارای اسپین نیم درست فرد هستند، مسیرهایی با مقادیر فیزیکی  $J$  که نیم درست فرد و به فواصل ۲ از یکدیگر باشند، انتظار می رود. با در نظر گرفتن پارته و نشانه باهم، چهار نوع مسیر رگه انتظار می رود که به صورت زیر با  $\alpha, \beta, \gamma, \delta$  مشخص می شوند

$$\alpha. \tau = +1 \quad J^P = \frac{1^+}{2}, \frac{5^+}{2}, \frac{9^+}{2}, \dots$$

$$\beta. \tau = +1 \quad J^P = \frac{1^-}{2}, \frac{5^-}{2}, \frac{9^-}{2}, \dots$$

$$\gamma. \tau = -1 \quad J^P = \frac{3^-}{2}, \frac{7^-}{2}, \frac{11^-}{2}, \dots$$

$$\delta. \tau = -1 \quad J^P = \frac{3^+}{2}, \frac{7^+}{2}, \frac{11^+}{2}, \dots$$

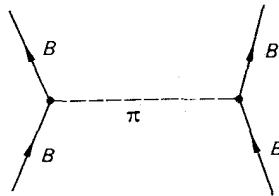
تثبیت شده ترین مسیر رگه برای هادرونها به تشدید  $I = 3/2$  مربوط می شود که در پراکندگی مزون-نوکلئون صورت می گیرد، یعنی  $\Delta$  ها که برای آنها اسپین بر حسب مربع جرم در شکل ۱۰۶۱ نموده شده است. چنین نموداری را نمودار چو-فرا تشی می نامند (چو، ۱۹۶۱ و ۱۹۶۲). گرچه انتظار می رفت که نمودار چو-فرا تشی منحنی همواری باشد، ولی دلیلی وجود نداشت که چنین خط مستقیمی نتیجه شود، و هنوز هم توضیح رضایت بخشی براینکه چرا باید با تقریب بسیار خوبی

$$M^2 \propto J$$

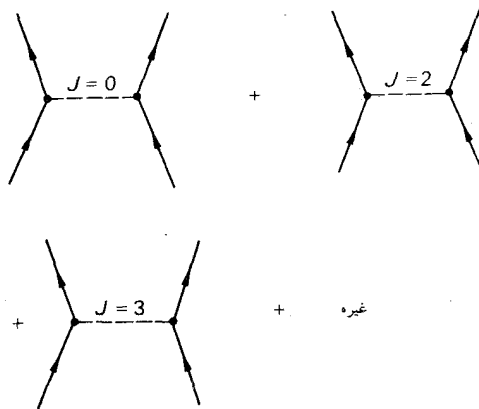
باشد، ارائه نشده است. چون  $\Delta(J^P = 3/2^+)$  جزئی از يك ده تایی  $SU(3)$  است، انتظار می رود که بازگشتهای رگه هم اجزائی از ده تاییهای  $SU(3)$  باشند. از دیگر اعضای ده تایی  $J^P = 3/2^+$  فقط يك بازگشت رگه برای  $\Sigma$  به طور قطعی اثبات شده است. مسیرهای رگه مورد انتظار برای باریونها ده تایی در شکل ۱۰۶۱ نموده شده اند. رده بندی مشروحي از باریونها، با ۱۰ استفاده از قطبهای رگه و  $SU(3)$ ، توسط بارگروکلین (بارگر، ۱۹۶۷ و  $a, b$ ، ۱۹۶۸) صورت گرفته است که در شکل ۱۰۶۱ نموده شده است.

رده بندی ذرات با استفاده از مسیرهای رگه، به اندازه ای که برای باریونها مفید بوده، برای مزونها مفید نیست. شواهد مربوط به مسیرهای رگه برای مزونها بیشتر غیر مستقیم است، و اساساً از تحلیل پراکندگی در انرژیهای بالا به دست می آید.

نیروی بین دو باریون معمولاً به تبادل مزونهای مجازی بین دو باریون نسبت داده می‌شود. طرح این موضوع در شکل ۲۰۶۱ نمونه شده است، که در آن مزون تبادل یسک مزون  $\pi$  در نظر گرفته شده است. اگر مزون تبادل روی یک مسیر رگه قرار گیرد، آنگاه هر یک از بازگشتهای رگه مربوط به مزون می‌تواند به صورت یک ذره مجازی بین باریونها مبادله شود، همچنان که در شکل ۳۰۶۱ برای تبادل زنجیره‌ای از پیونهای با اسپینهای ۴، ۲، ۰، و غیره نمونه شده است. استفاده از صورتبندی قطبهای رگه برای دامنه پراکنندگی، اثر تبادل را در هر یک از اعضای مجزای زنجیره مزونها در فرایندها پراکنندگی مجسم می‌سازد (بارگر و کلین، ۱۹۶۹ به خصوص صفحه ۴۱). امید می‌رفت که برهم‌کنش بین هادرونها در انرژیهای بالا را بتوان برحسب تبادل تعداد کمی از مسیرهای رگه توصیف کرد، به طوری که با هر مسیر رگه یک هادرون شناخته شده همراه باشد. اگرچه نشانه‌های امیدوارکننده‌ای وجود داشته‌اند، ولی این آرزو هنوز تحقق نیافته است، و به علاوه مدارکی در دست است که دلالت بر وجود توصیف مناسب‌تری از برهم‌کنشهای هادرونی در انرژیهای بالا می‌کند.



شکل ۲۰۶۱ نمودار طرح واره تبادل مزون  $\pi$  بین دو باریون.



شکل ۳۰۶۱ نمودار طرح واره تبادل مزون  $\pi$  بازگشتهای رگه مربوط به آن بین دو باریون، صورتبندی قطب رگه اثر تبادل در تمامی اعضای زنجیره مزونها را مجسم می‌کند.

مزونهای  $I = 1$  نیز، همچنان که از شکل ۶.۴۵ و تیرین ۵ فصل ۱۰ برمی آید، نشانه‌هایی از قرار گرفتن مزونها روی مسیرهای رگه به دست می‌دهند. مسیرهای رگه مربوط به باریونها و مزونها همگی شیب یکسانی دارند، یعنی

$$\frac{dJ}{dM^2} \approx 1 \text{ (GeV)}^{-2}$$

## ۶.۲. پیچیدگیها

اگرچه پراکندگی پتانسیلی در مکانیک کوانتومی ناسبیتی را می‌توان به‌طور ساده‌ای بسا استفاده از قطبهای رگه توضیح داد، ولی وضعیت در فیزیک نسبیتی خیلی پیچیده‌تر است (کولینز، ۱۹۶۸). در سال ۱۹۶۳ مندلاستام نشان داد که در صفحه مختلط  $J$ ، علاوه بر قطبها بریدگیهایی هم وجود دارند. همچنین نشان داده شده است که در نظریه نسبیتی، نقطه‌های منفرد (تکینیها) در صفحه مختلط  $J$  به صورت خانواده‌گی رخ می‌دهند. به‌خصوص قطبهای رگه به صورت خانواده‌گی رخ می‌دهند، یعنی هر مسیر رگه با مسیرهای دختر همراهی می‌شود. یک مسیر مادر در  $(M^2 = 0)$  دلالت بر وجود مسیرهای دختر در  $K - \alpha_0(0) = \alpha_k(0)$  می‌کند که در آن  $K = 1, 2, \dots$  است. نمونه‌هایی از مسیرهای مادر و دختر توسط چونگ و سیندر (۱۹۶۷) محاسبه شده‌اند.

نظریه قطبهای رگه اثر بزرگی بر نظریه ذرات حاوی برهم‌کنش قوی داشته‌است، به‌طوری که هم موفقیتها و هم شکستهای آن هر دو به پیشرفتهای بیشتری منجر شده‌اند. متأسفانه مطالعه بیشتر نظریه رگه به ریاضیاتی فراتر از دامنه این کتاب نیاز دارد. مطالب ارائه شده در اینجا بر استفاده از مسیرهای رگه برای رده‌بندی هادرونها متمرکز شده بود، که این نه فقط به علت ساده بودن این جنبه از نظریه رگه بود، بلکه همچنین به این علت بود که این روش رده‌بندی هادرونها برای پیش‌بینی اسپین و جرم تقریبی تشدیدها قابل استفاده است. ولی بیشتر کارهای نظریه رگه مربوط به توصیف فرایند برخورد هاست، که در این زمینه الگوی قطب رگه نظریه‌ای با قدرت پیش‌گویی زیاد نیست.

اطلاعات مفصلتر درباره کاربرد نظریه قطب رگه در زمینه‌های رده‌بندی ذرات و پراکندگی در انرژیهای بالا را در مقالاتی که توسط هیت (۱۹۶۹)، بارگروکلین (۱۹۶۹) ارائه شده‌اند، می‌توان یافت. امکانات توسعه بیشتر این نظریه توسط ونزیانو (۱۹۶۹) مرور شده‌است.

در خاتمه باید گفت که نظریه قطبهای رگه تا به حال مفید بودنش را در فیزیک انرژیهای بالا به اثبات رسانده‌است، اگرچه به آن اندازه که در ابتدا امید می‌رفت مفید و ساده نبوده‌است.

## تیرین

۱. با استفاده از آخرین نتایج گروه داده‌های ذرات، در مجله مرودی برخواص ذرات، ترسیم

## مراجع

- Ahmadzadeh, A., P. G. Burke and C. Tate. *Phys. Rev*, **131** (1963) 1315.
- Barger, V. and D. Cline, *Phys. Rev*, **155** (1967a) 1792.
- Barger, V. and D. Cline, 'High energy scattering', *Sci. Am*, December 1967b.
- Barger, V. *Rev. Mod. Phys*, **40** (1968) 129.
- Barger, V. and D. Cline, *Phenomenological Theories of High Energy Scattering*, 1969. Benjamin, New York.
- Chew, G. F. and S. C. Frautschi, *Phys. Rev. Lett*, **7** (1961) 394.
- Chew, G. F. and S. C. Frautschi, *Phys. Rev. Lett*, **8** (1962) 41.
- Chung, V. and D. R. Snider, *Phys. Rev*, **162** (1967) 1639.
- Collins, P. D. B. and E. J. Squires, 'Regge poles in particle physics', *Springer Tracts in Modern Physics*, **45** (1968).
- Halliday, D., *Introductory Nuclear Physics*, 1950. Wiley, New York, p.484
- Herzberg, G., *Molecular Spectra and Molecular Structure I*, 1939. Prentice-Hall, New York.
- Hite, G. E., *Rev. Mod. Phys*, **41** (1969) 669.
- Landau, L. D. and E. M. Lifshitz, *Quantum Mechanics*, 1958. Pergamon, London, p. 293.
- Leader, E. and M. R. Pennington, *Phys. Rev. Lett*, **27** (1971) 1325.
- Mandelstam, S., *Nuovo Cimento*, **30** (1963) 1127 : 1148.
- Omnés, R. and M. Froissart, *Mandelstam Theory and Regge Poles*, 1963. Benjamin, New York.
- Regge, T., *Nuovo Cimento*, **14** (1959) 951.
- Saxon, D. S., *Elementary Quantum Mechanics*, 1968. Holden-Day, San-Francisco.
- Veneziano, G., *Physics Today*, **22** (1969) No. 9, September, p. 31.

## ۶۳. الگوی کوارک و SU(6)

کوارکها هر کدام دارای اسپین  $1/2$  هستند. با در نظر گرفتن حالتهاي اسپين، مجموعاً ۶ حالت کوارک وجود دارد

دو حالت اسپين  $\times$  سه حالت  $SU(3) = 6$  حالت

فرض يکسان بودن برهم کنش کوارکها براي تمام اين حالتها منجر به تقارن  $6$  لایه ای می شود، که گروه آن را  $SU(6)$  می نامند.  $SU(6)$  گروه ماتریسهای یکانی  $6 \times 6$  دارای اندازه واحد است.

وضعیت  $SU(6)$  در فیزیک هادرونها خیلی شبیه نظریه فوق چندتاییه و یکنر در فیزیک هسته ای است، که گروه آن  $SU(4)$  است. چهار حالت پایه در نظریه فوق چندتاییه هسته ای همان حالتهاي چهارگانه نوکلئون با دو حالت اسپين برای هر پروتون و نوترون است. فرض استقلال بار و استقلال اسپين نیروهای هسته ای به ناوردایی تحت  $SU(4)$  منجر می شود. از آنجا که نیروهای هسته ای مستقل از اسپين نیستند، تقارن  $SU(4)$  فقط يك تقارن تقریبی است.

برای ترکیب يك کوارک و پادکوارک  $6 \times 6 = 36$  حالت ممکن مزونی، شامل مزونهای  $0^-$  و  $1^-$  وجود دارد که می تواند به دو چندتاییه  $SU(6)$ ، يك تک تايه و يك چندتاییه  $35$  گانه، تقسیم شود. تک تايه  $SU(6)$  يك مزون  $0^-$  است. چندتاییه  $35$  مزونی  $SU(6)$  را می توان به صورت يك هشت تايه  $SU(3)$  از مزونهای با اسپين  $0^-$  (۸ حالت)، يك هشت تايه  $SU(3)$  از مزونهای با اسپين  $1^-$  (۲۴ حالت، چون چندتايگی اسپين ۳ است)، و يك تک تايه

$SU(۳)$  از مزونهای  $۱^-$  (سه حالت) مرتب کرد.

ترکیب سه کوارک به طوری که هم نسبت به حالت‌های  $SU(۳)$  و هم نسبت به حالت‌های اسپینی متقارن باشد، يك چند تایی  $SU(۶)$  با ۵۶ باریون را به دست می‌دهد که متشکل از يك هشت تایی  $SU(۳)$  از باریون‌های با اسپین  $۱/۲$  (۱۶ حالت) و يك ده تایی  $SU(۳)$  از باریون‌های با اسپین  $۳/۲$  (۴۵ حالت) است. بدین ترتیب حالت‌های باریونی که در تراز پایین قرار می‌گیرند، دقیقاً همانهایی هستند که برای يك چند تایی  $SU(۶)$  با چند تاییگی ۵۶ ضرورت دارند.

### ۶.۴. نسبت گشتاورهای مغناطیسی نوترون و پروتون

یکی از مهمترین نتایج به کارگیری  $SU(۶)$  در فیزیک ذرات تعیین نسبت گشتاور مغناطیسی پروتون و نوترون، با در نظر گرفتن آنها به صورت اعضای ۵۶ تایی  $SU(۶)$  و با نتیجه زیر است

$$\mu_p / \mu_n = -\frac{3}{2}$$

که به مقدار تجربی ۱۰۴۶ - نزدیک است. این نتیجه به سهولت با استفاده از الگوی کوارک به دست می‌آید. از بخش ۵۷ داریم

پروتون از دو کوارک 'a' و يك کوارک 'b' تشکیل شده است،

نوترون از يك کوارک 'a' و دو کوارک 'b' تشکیل شده است،

عملگر مکانیک کوانتومی گشتاور مغناطیسی برای نوکلئون را به صورت زیر می‌نویسیم

$$\hat{\mu} = g\hat{J} = g_a\hat{J}_a + g_b\hat{J}_b \quad (۱.۶۴)$$

علامت  $\wedge$  را برای تمیز دادن عملگرها از ویژه مقدارشان به کار می‌بریم.  $\hat{J}$  معبر اسپین

کل يك یا دو کوارک a و  $\hat{J}$  معرف اسپین کل دو یا يك کوارک b است.

حال با استفاده از

$$\hat{J} = \hat{J}_a + \hat{J}_b \quad (۲.۶۴)$$

$$\hat{J} \cdot \hat{\mu} = \hat{J}^2 g$$

$$= (\hat{J}_a + \hat{J}_b) \cdot (g_a \hat{J}_a + g_b \hat{J}_b)$$

$$= g_a \hat{J}_a^2 + g_b \hat{J}_b^2 + (g_a + g_b) \hat{J}_a \cdot \hat{J}_b \quad (۳.۶۴)$$

از آنجا که

$$\hat{J}_a \cdot \hat{J}_b = \frac{1}{2} (\hat{J}^2 - \hat{J}_a^2 - \hat{J}_b^2)$$

$$\widehat{J}^2 g = \frac{1}{2} [(g_a + g_b) \widehat{J}^2 + (g_a - g_b) (\widehat{J}_a^2 - \widehat{J}_b^2)] \quad (4.64)$$

با قراردادن ویژه مقدارهای  $\widehat{J}^2, \widehat{J}_a^2, \widehat{J}_b^2$  یعنی به ترتیب  $J(J+1), J_a(J_a+1), J_b(J_b+1)$  در معادله (۴.۶۴) به دست می آوریم

$$g = \frac{1}{2} \frac{(g_a + g_b)J(J+1) + (g_a - g_b)\{J_a(J_a+1) - J_b(J_b+1)\}}{J(J+1)} \quad (5.64)$$

تابع موج نوکلئون کلاً متقارن است، و بنابراین باید نسبت به تعویض اسپینهای دو کوآرک یکسان هم متقارن باشد. بدین ترتیب دو کوآرک یکسان در نوکلئون دارای اسپین کل ۱ هستند.

در پرتون  $J_b = \frac{1}{2}, J_a = 1$

$$g_p = \frac{g_a + g_b}{2} + \frac{5}{3} \frac{g_a - g_b}{2}$$

و برای نوترون  $J_b = 1, J_a = \frac{1}{2}$

$$g_n = \frac{g_a + g_b}{2} - \frac{5}{3} \frac{g_a - g_b}{2}$$

بفرض اینکه عامل  $g$  در کوآرکها متناسب با بار الکتریکی آنهاست، داریم

$$g_a = -2g_b$$

بنابراین

$$\mu_p / \mu_n = \frac{g_p}{g_n} = -\frac{3}{2}$$

برای اطلاعات بیشتری درباره  $SU(6)$  و کاربردهایش در فیزیک ذرات می توانید به لیختن برگ (۱۹۷۰) یا لیبکین (۱۹۶۵، ۱۹۶۶) رجوع کنید.

مراجع



Lipkin, H. J., 'Now we are  $SU(6)$ ' in *High-Energy Physics and Elementary Particles—Lectures held at the International Centre for Theoretical Physics, Trieste, 1965*. International Atomic Energy Agency, Vienna.

Lipkin, H. J., *Lie Groups for Pedestrians*, 2nd edition, 1966. North-Holland, Amsterdam.

## برهم کنشهای الکترومغناطیسی

### ۶۵. مقدمه

دانش ما از برهم کنشهای الکترومغناطیسی نسبتاً کامل است. برای نمونه، محاسبات مربوط به برهم کنشهای الکترومغناطیسی خالص را می‌توان با استفاده از الکترودینامیک کوانتومی تا دقت مورد نظر انجام داد. دانش ما از برهم کنشهای الکترومغناطیسی ما را قادر می‌سازد تا آنها را برای بررسی خواص ذرات بنیادی، و به‌خصوص ذرات دارای برهم کنش قوی (هادرونها) مورد استفاده قرار دهیم.

بررسی خواص هادرونها توسط برهم کنشهای قوی خیلی مشکل است، زیرا به علت میزان قدرت برهم کنشهای قوی محاسبات در برگیرنده آنها خیلی مشکل و پدیده‌های مربوط به آنها خیلی پیچیده است.

آزمایشهای متنوعی روی برهم کنشهای الکترومغناطیسی هادرونها صورت گرفته است، که تولید فوتونی پیونها از طریق فرود فوتونها بر پروتونها و پراکندگی فوتونها توسط پروتونها از آن جمله است (پانفسکی، ۱۹۷۵؛ برابن، ۱۹۶۹). ولی ما توجه خود را به فرایندهایی که در پراکندگی الکترونها رخ می‌دهند، محدود خواهیم کرد. بررسی خواص هادرونها توسط فرایندهایی که در پراکندگی الکترونها رخ می‌دهند، نسبت به فرایندهایی که توسط جذب يك فوتون صورت می‌گیرند، يك مزیت دارد. در جذب فوتونی با انرژی  $h\nu$  توسط يك هادرون تکانه منتقل شده به هادرون  $h\nu/c$  است، که به طور یگانه‌ای توسط انرژی منتقل شده تعیین می‌شود. در پراکندگی يك الکترون تکانه منتقل شده،  $\mathbf{p} - \mathbf{p}'$ ،

توسط انرژی منتقل شده،  $E - E'$ ، تعیین نمی شود ( $E$  و  $\mathbf{p}$  تکانه و انرژی الکترون فرودی و  $E'$  و  $\mathbf{p}'$  تکانه و انرژی الکترون پراکنده است)، یعنی انرژی انتقالی و تکانه انتقالی می توانند به طور مستقل تغییر کنند.

بررسی نوکلئون به کمک پراکندگی الکترونی با انرژی بالا با کارهای هفتادتر دراستانفورد شروع شد و نشان داد که نوکلئون ذره ای نقطه ای نیست بلکه اندازه محدودی دارد. بارپروتون درحجم محدودی توزیع شده است. گلچین جالبی از مقاله های اولیه مربوط به پراکندگی الکترون توسط هفتادتر (۱۹۶۳) تهیه شده است.

### ۶.۶ عامل شکل

قبل از مطالعه پراکندگی الکترونها توسط نوکلئونهای با ابعاد محدود، ابتدا مسئله بسیار ساده تر پراکندگی ذرات بدون اسپین حاوی بار  $e$  توسط یک توزیع بار الکتریکی، با بار کلی  $Ze$  که در ناحیه محدودی پخش شده باشد، را در نظر می گیریم.

با استفاده از نظریه اختلال مکانیک کوانتومی می توان عنصر ماتریسی مربوط به پراکندگی ذره ای با تکانه  $\mathbf{p}$  و تابع موج فرودی

$$\psi_i = N_i \exp(i\mathbf{p} \cdot \mathbf{r} / \hbar) \quad (۱.۶۶)$$

به حالتی با تکانه پراکنده  $\mathbf{p}'$  و تابع موج نهایی

$$\psi_f = N_f \exp(i\mathbf{p}' \cdot \mathbf{r} / \hbar) \quad (۲.۶۶)$$

را به صورت زیر نوشت

$$\langle \psi_f | V | \psi_i \rangle \quad (۳.۶۶)$$

که در آن

$$V(\mathbf{r}) = Ze^2 \int \frac{\rho(\mathbf{r}')}{|\mathbf{r} - \mathbf{r}'|} d^3\mathbf{r}' \quad (۴.۶۶)$$

و  $Zep(\mathbf{r})$  چگالی بار است.  $N_f, N_i$  ضریبهای بهنجار کردن هستند.

$$\begin{aligned} \langle \psi_f | V | \psi_i \rangle &= Ze^2 \int \psi_f^*(\mathbf{r}) \int \frac{\rho(\mathbf{r}')}{|\mathbf{r} - \mathbf{r}'|} d^3\mathbf{r}' \psi_i(\mathbf{r}) d^3\mathbf{r} \\ &= N_f^* N_i Ze^2 \int \int e^{i\mathbf{q} \cdot \mathbf{r}} \frac{\rho(\mathbf{r}')}{|\mathbf{r} - \mathbf{r}'|} d^3\mathbf{r}' d^3\mathbf{r} \end{aligned} \quad (۵.۶۶)$$

که در آن  $\mathbf{q} = (\mathbf{p} - \mathbf{p}') / \hbar$  تکانه انتقالی بر حسب واحد  $\hbar$  است. با تغییر متغیرها به

$$\xi = \mathbf{r} - \mathbf{r}' \quad \text{داریم}$$

$$\begin{aligned} \langle \psi_f | V | \psi_i \rangle &= N_f^* N_i Z e^\gamma \int \frac{e^{i\mathbf{q} \cdot \xi}}{\xi} d^3\xi \int e^{i\mathbf{q} \cdot \mathbf{r}'} \rho(\mathbf{r}') d^3\mathbf{r}' \\ &= X(q) F(q) \end{aligned} \quad (۶.۶۶)$$

که در آن

$$X(q) = N_f^* N_i Z e^\gamma \int \frac{e^{i\mathbf{q} \cdot \mathbf{r}'}}{r'} d^3\mathbf{r}' \quad (۷.۶۶)$$

عنصر ماتریسی مربوط به پراکندگی توسط بار نقطه‌ای است و

$$F(q) = \int e^{i\mathbf{q} \cdot \mathbf{r}} \rho(\mathbf{r}) d^3\mathbf{r} \quad (۸.۶۶)$$

را عامل شکل می‌نامند. عامل شکل تبدیل فوریه توزیع بار است. مقطع پراکندگی مناسب است با

$$|\langle \psi_f | V | \psi_i \rangle|^2$$

و بنابراین توسط رابطه زیر داده می‌شود

$$\frac{d\sigma}{d\Omega} = \left( \frac{d\sigma}{d\Omega} \right)_{\text{نقطه}} |F(q)|^2 \quad (۹.۶۶)$$

$\left( \frac{d\sigma}{d\Omega} \right)_{\text{نقطه}}$  مقطع دیفرانسیلی پراکندگی توسط بار نقطه‌ای است، که پراکندگی رادرفورد نامیده می‌شود

$$\left( \frac{d\sigma}{d\Omega} \right)_{\text{نقطه}} = \left( \frac{Ze^\gamma E}{\gamma c^2 p^2} \right)^2 \frac{1}{\sin^4 \theta} \quad (۱۰.۶۶)$$

که در آن  $Ze$  بار پراکننده است (فرمول ناسیبتی رادرفورد با جایگزینی  $E$  توسط  $mc^2$  در معادله (۱۰.۶۶) به دست می‌آید).

در اینجا توجه خود را به توزیع باری با تقارن کروی محدود می‌کنیم، یعنی برای  $\rho(\mathbf{r}) = \rho(r)$  می‌توان معادله (۸.۶۶) را به صورت زیر نوشت

$$\begin{aligned} F(q) &= \int \left( 1 + i\mathbf{q} \cdot \mathbf{r} - \frac{(\mathbf{q} \cdot \mathbf{r})^2}{r} + \dots \right) \rho(r) d^3r \\ &= \int \rho(r) d^3r - \frac{\gamma \pi}{3} q^2 \int \rho(r) r^4 dr + \dots \\ &= 1 - \frac{q^2}{6} \int \rho(r) r^2 d^3r + \dots \\ &= 1 - \frac{q^2}{6} \langle r^2 \rangle + \dots \end{aligned} \quad (۱۱.۶۶)$$

که در آن  $\langle r^2 \rangle$  میانگین مربع شعاع توزیع بار است. برای انرژی معین، مقدار بیشینه  $q$  برابر  $2ph^{-1}$  است. در انرژی‌هایی که به اندازه کافی پایین هستند، به طوری که

$$p^2 h^{-2} \langle r^2 \rangle \ll 1$$

باشد، داریم

$$F(q) \approx 1$$

و پراکندگی همانند پراکندگی توسط بار نقطه‌ای می‌شود.

برای ذراتی با انرژی‌های فوق‌العاده زیاد که در آنها  $E \gg mc^2$  باشد، معادله (۱۰.۶۶) به معادله زیر تبدیل می‌شود

$$\left( \frac{d\sigma}{d\Omega} \right)_{\text{قطه}} = \left( \frac{Ze^2}{2E} \right)^2 \frac{1}{\sin^4 \frac{\theta}{2}} \quad (12.66)$$

پراکندگی الکترونی با انرژی بالا توسط بار نقطه‌ای  $e$  را، با در نظر گرفتن اثر اسپین الکترون، پراکندگی مات می‌نامند که توسط رابطه زیر داده می‌شود

$$\left( \frac{d\sigma}{d\Omega} \right)_{\text{مات}} = \left( \frac{e^2}{2E} \right)^2 \frac{\cos^2 \frac{\theta}{2}}{\sin^4 \frac{\theta}{2}} \quad (13.66)$$

اگر بار نقطه‌ای هدف دارای جرم  $M$  و بدون اسپین باشد، مقطع پراکندگی در چارچوب آزمایشگاه با رابطه زیر داده می‌شود

$$\left( \frac{d\sigma}{d\Omega} \right)_{\text{NS}} = \left( \frac{e^2}{2E} \right)^2 \frac{\cos^2 \frac{\theta}{2}}{\sin^4 \frac{\theta}{2}} \frac{1}{1 + \left( \frac{2E}{Mc^2} \right) \sin^2 \frac{\theta}{2}} \quad (14.66)$$

آخرین عبارت در معادله (۱۴.۶۶) ناشی از پس زنی هدف است.

## ۶۷. عامل شکل پروتون

نظریه پراکندگی الکترونی توسط پروتونها به طور قابل ملاحظه‌ای از نظریه ساده بخش قبلی پیچیده‌تر است، زیرا پروتون دارای اسپین و در نتیجه دارای گشتاور مغناطیسی است که آن‌هم در پراکندگی الکترون نقش دارد. بدین ترتیب پروتون دو عامل شکل دارد، که یکی اثرات گسترده‌گی محدود بار آن در فضا، و دیگری اثرات گسترده‌گی محدود گشتاور مغناطیسی آن در فضا را توضیح می‌دهد.

برای تأمین ناوردایی نسیتی نظریه، عوامل شکل پروتون را به صورت توابعی از مربع انتقال تکانه چهاربعدی ناوردا بیان می کنند [به بخش الف. ۲ رجوع کنید]

$$(\mathbf{p}-\mathbf{p}')^2 - c^{-2}(E-E')^2$$

در باقیمانده این فصل از واحدهای طبیعی  $\hbar = c = 1$ ، استفاده خواهیم کرد. در نتیجه مربع انتقال تکانه چهاربعدی ناوردا را می توان به صورت زیر نوشت

$$Q^2 = (\mathbf{p}-\mathbf{p}')^2 - (E-E')^2 \quad (۱.۰۶۷)$$

که با رابطه زیر داده می شود

$$Q^2 = \frac{4E^2 \sin^2 \frac{\theta}{2}}{1 + \left(\frac{\gamma E}{M}\right) \sin^2 \frac{\theta}{2}} \quad (۲.۰۶۷)$$

در اینجا  $M$  جرم پروتون، و  $E$  انرژی الکترون فرودی در چارچوب آزمایشگاهی است که پروتون در آغاز در آن در حال سکون است.

پراکندگی الکترون توسط پروتون را می توان به صورت تبادل يك فوتون مجازی بین الکترون و پروتون، آنچنان که در شکل ۱.۰۶۷ نموده شده است، در نظر گرفت و مقطع با فرمول روزن بلو داده می شود

$$\frac{d\sigma}{d\Omega} = \left(\frac{d\sigma}{d\Omega}\right)_{Ns} \left\{ \frac{G_E^2(Q^2) + (Q^2/4M^2)G_M^2(Q^2)}{1 + Q^2/4M^2} + 2 \tan^2 \frac{\theta}{2} \frac{Q^2}{4M^2} G_M^2(Q^2) \right\} \quad (۳.۰۶۷)$$

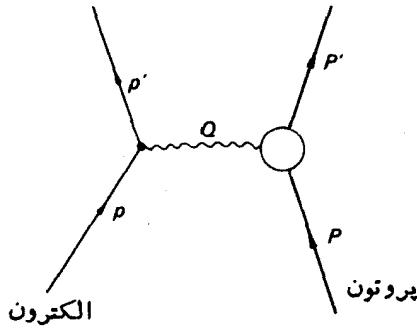
$G_E(Q^2)$  عامل شکل بار یا عامل شکل الکتریکی پروتون و  $G_M(Q^2)$  عامل شکل مغناطیسی پروتون است.

در انرژیهای کم، پراکندگی از پروتون همانند پراکندگی بار نقطه ای و گشتاور مغناطیسی نقطه ای است، بنا بر این

$$G_E(0) = 1 \quad (۴.۰۶۷)$$

$$G_M(0) = \mu_p = 2.718 \quad (۵.۰۶۷)$$

که در آن  $\mu_p$  گشتاور مغناطیسی پروتون، بر حسب مگنتون هسته ای، است.

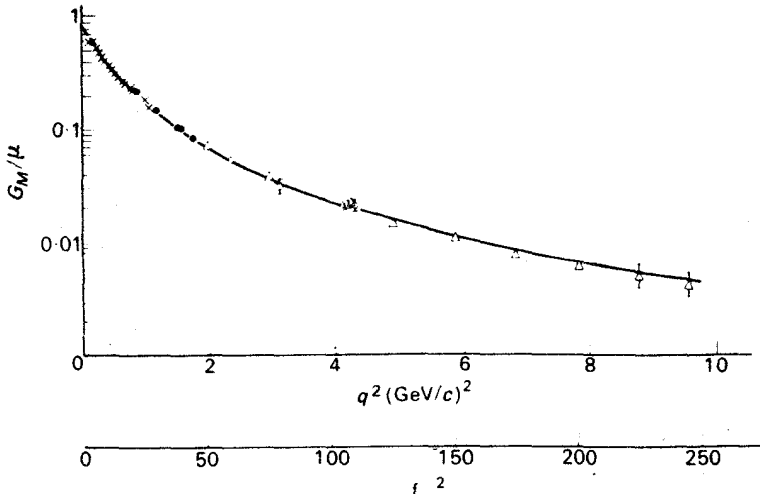


**شکل ۱۰۶۷** پراکندگی کشسان الکترون پروتون. حباب رأس فوتون-پروتون مشخص می کند که پروتون ذره ای نقطه ای نیست و با عوامل شکل خود توصیف می شود.

به علت اثر پیم زنی پروتون، عوامل شکل پروتون را نمی توان به سادگی با استفاده از تبدیلهای فوریه، به طریقی شبیه معادله (۸.۶۶)، به توزیع بار یا توزیع گشتاور مغناطیسی مربوط کرد. بحث کاملتری از عوامل شکل پروتون توسط گری فی و شیف (۱۹۶۷) ارائه شده است.

بعضی از نتایج تجربی مربوط به عوامل شکل پروتون در شکلهای ۲.۶۷ و ۳.۶۷ نموده شده اند. تا تقریب خوبی، نتایج تجربی با رابطه زیر

$$G_E(Q^2) = G_M(Q^2) / \mu_p \quad (۶.۶۷)$$



**شکل ۲.۶۷** عامل شکل مغناطیسی پروتون، و منحنی تطبیق دو قطبی (۷.۶۷).  $Q^2$  در این شکل همان  $Q^2$  متن است.

که به قانون مقیاس معروف است، و با آنچه تطبیق دو قطبی نامیده می شود

$$G_M(Q^2)/\mu_P = G_D(Q^2) \quad (۷.۶۷)$$

در توافق است، که در آن

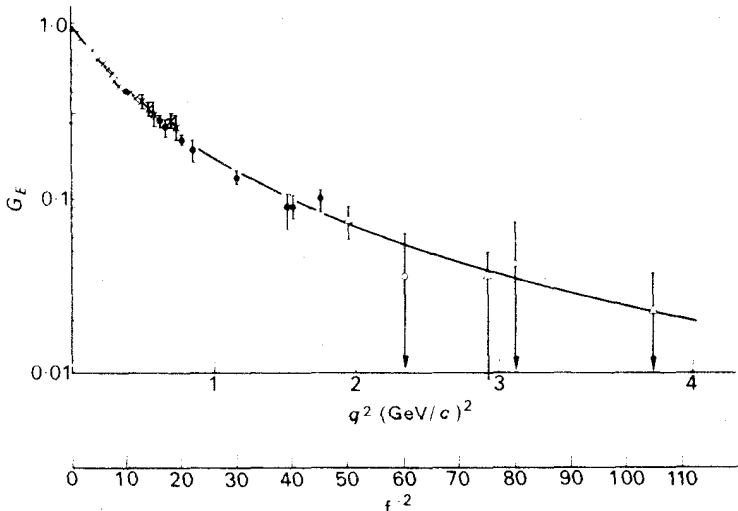
$$G_D(Q^2) \equiv [1 + Q^2/D]^{-2} \quad (۸.۶۷)$$

و  $D = ۰.۷۱ \text{ (GeV/c)}^2$  است. در شکل ۲.۶۷ تطبیق دو قطبی، معادله (۷.۶۷)، با بعضی از نتایج تجربی مقایسه شده است. عامل شکل الکتریکی معادلات (۶.۶۷) و (۷.۶۷) در شکل ۳.۶۷ نمونه شده است.

به طور تجربی هنوز اینکه آیا انحرافی از قانون مقیاس، معادله (۶.۶۷)، وجود دارد روشن نشده است (روتر گلن، ۱۹۶۹). ولی روشن است که نتایج تجربی انحرافات کوچک ولی منظم از تطبیق دو قطبی را نشان می دهد. برای مثال، داده های گردآوری شده توسط بارتل و همکاران (۱۹۷۰) و برگر و همکاران (۱۹۷۱) برای  $G_M/\mu / G_D$  در شکل ۴.۶۷ نمونه شده است.

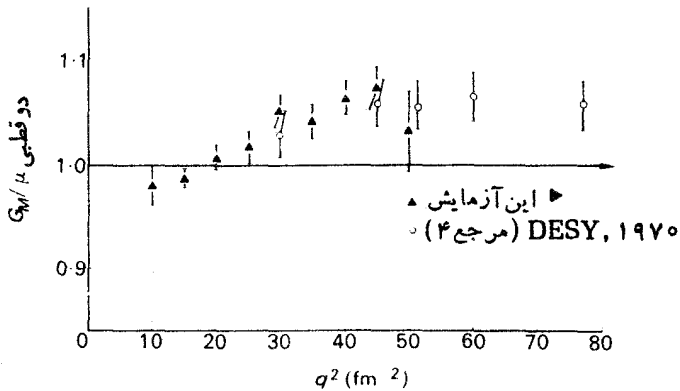
چون از واحدهای طبیعی استفاده می کنیم  $\hbar = 1$ ،  $Q^2$  می تواند مربع تکانه انتقالی یا مربع تکانه انتقالی تقسیم بر  $\hbar^2$  باشد که دارای بعد  $L^{-2}$  است.  $Q^2$  معمولاً بر حسب واحد  $(\text{GeV/c})^2$  یا  $\text{fm}^{-2}$  بیان می شود. ( $\text{fm}$ ) یا  $f$  مخفف فرمی است، و

$$1 \text{ fm} = 10^{-13} \text{ cm}$$



شکل ۳.۶۷ عامل شکل الکتریکی پروتون ( $q^2$  شکل همان  $Q^2$  متن است). منحنی عامل شکل الکتریکی با استفاده از تطبیق دو قطبی و قانون مقیاس داده شده است.





شکل ۴.۶۷ عامل شکل مغناطیسی  $G_M$ ، که نسبت به تطبیق دوقطبی بهنجار شده است ( $q^2$  شکل همان  $Q^2$  متن کتاب است). مسرجه شماره ۴ در شکل همان بارتل و همکاران (۱۹۷۰) است.

### ۶.۸. عوامل شکل نوترون

نوترون به خاطر گشتاور مغناطیسی اش می تواند الکترون را پراکنده سازد. همچنین اگر چه مجموع بار نوترون صفر است، ممکن است چگالی باری آن مخالف صفر باشد. پراکندگی الکترون توسط نوترون هم توسط فرمول روزن بلسو [معادله (۳.۶۷)] داده می شود، ولی از آنجایی که مجموع بار نوترون صفر است، داریم

$$(۱.۶۸)$$

$$G_E^{\text{نوترون}}(0) = 0$$

$$G_M^{\text{نوترون}}(0) = \mu_n = -1.913 \quad (۲.۶۸)$$

که در آن  $\mu_n$  گشتاور مغناطیسی نوترون بر حسب مگنتون هسته ای است. پراکندگی الکترونها توسط نوترونها را نمی توان مستقیماً با آزمایش مورد بررسی قرارداد، ولی می توان مقطع پراکندگی الکترونها توسط نوترونها را از آزمایشهای مربوط به پراکندگی الکترونها توسط دوترونها تعیین کرد. بدین علت، اندازه گیریهای عوامل شکل نوترون از عوامل شکل پروتونها دقت کمتری دارند. نتایج تجربی توسط روترگان (۱۹۶۹) گردآوری شده اند. داده های مربوط به نوترون  $G_M$  با تطبیق دوقطبی

$$G_M(Q^2)/\mu_n = G_D(Q^2) \quad (۳.۶۸)$$

که در آن  $G_D$  از معادله (۸.۶۷) به دست می آید، ناسازگاری ندارند، ولی دقت داده های تجربی به آن اندازه کافی نیست که بتوان انحراف از تطبیق دوقطبی را در همان حدود مربوط به پروتون مشاهده کرد. بنابراین در محدوده خطای آزمایش داریم

$$G_M(Q^2)/\mu_n = G_M(Q^2)/\mu_p \quad (۴.۶۸)$$

عامل شکل بارنوترون را برای  $Q^2$  های کوچک می توان با پراکندگی نوترونهای حرارتی توسط الکترونهای اتمی مورد بررسی قرارداد، که نتیجه زیر را به دست می دهد

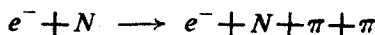
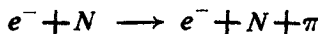
$$\left( \frac{dG_E}{dQ^2} \right)_{Q^2=0} = (0.050 \pm 0.001) \left( \frac{\text{GeV}}{c} \right)^{-2} \quad (۵.۶۸)$$

نتایج آزمایشهای پراکندگی الکترون با معادله (۵.۶۸) برای  $Q^2$  های کوچک سازگارند، و به طریق دیگری نشان می دهد که نوترون  $G_E$  کوچک است.

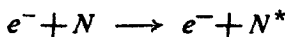
هنوز نظریه رضایت بخشی برای عوامل شکل الکترومغناطیسی نوترون در دست نیست. مقایسه ای بین نتایج تجربی و نظری عوامل شکل روتر گلن (۱۹۶۹) انجام گرفته است. یک نکته جالب در مورد نظریه عوامل شکل نوترونها، پیش بینی تشدیدهای مزونی توسط نظریه ابتدایی مربوطه بود (فراز و فولکو، ۱۹۵۹) که متعاقباً با آزمایشهایی دیگر کشف شدند. از طرف دیگر، این نظریه در ارائه عوامل شکلی که با مقادیر تجربی آنها به طور کمی سازگار باشند ناموفق بود. توضیحی از نظریه ابتدایی عوامل شکل نوترونها توسط مویهد (۱۹۶۵) ارائه شده است.

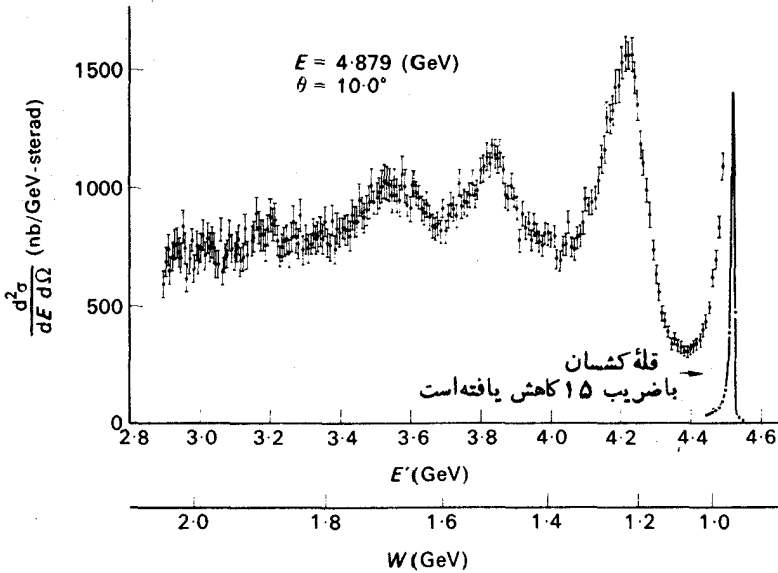
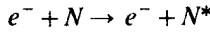
## ۶۹. پراکندگی ناکشان

در انرژیهای بالا، در پراکندگی الکترونها توسط نوترونها علاوه بر پراکندگی کشان، ممکن است یک یا چند پیون تولید شود



و در انرژیهای به اندازه کافی بالا ذرات دیگری هم ممکن است تولید شوند. شکل ۱۰۶۹ بعضی از نتایج آزمایش بارتل و همکاران (۱۹۶۸) را درباره پراکندگی ناکشان الکترونها توسط پروتونها نشان می دهد. قله های طیف الکترونهای پراکنده متناظر با برانگیختگی حالت های برانگیخته نوترون است که پس از برانگیختگی از طریق گسیل پیونها واپاشیده می شوند، یعنی





شکل ۱۰۶۹ نمونه‌ای از طیف الکترون برای پراکندگی ناکشان،  $e-p$  (قبل از انجام تصحیحات تابشی).

در شکل ۱۰۶۹ می‌توان توجه کرد که قله کشان در طرف راست با دنباله بزرگتر طرف چپ نامتقارن است. این بدان علت است که در تمام برخوردهای الکترون، تعدادی فوتون گسیل می‌شوند و الکترون همیشه مقداری از انرژی را به صورت تابش الکترومغناطیسی ازدست می‌دهد. بعد از تصحیحات تابشی مربوط به گسیل فوتونها، عبارت نظری مقطع برای پراکندگی کشان به صورت معادله (۳۰۶۷) و برای پراکندگی ناکشان به صورت معادله (۱۰۶۹) درمی‌آید.

در طرف چپ قله‌های شکل ۱۰۶۹ طیف پیوسته و هموارتری از الکترونها پراکنده وجود دارد. با افزایش انرژی الکترونها فرودی، قله‌ها گرایش به از بین رفتن می‌کنند ولی طیف پیوسته باقی می‌ماند.

یک مشخصه جالب نتایج تجربی، بستگی ضعیف مقطع ناکشان با تکانه انتقالی برای برانگیختگیهایی است که کاملاً در آن سوی ناحیه تشدید قرار می‌گیرند. شکل ۲۰۶۹ جلوه‌ای از این بستگی ضعیف را نشان می‌دهد (بریدن باخ و همکاران، ۱۹۶۹). حاصل تقسیم مقطع دیفرانسیل بر مقطع مات،  $d^2\sigma/d\Omega dE' / (d\sigma/d\Omega)$ ، بر حسب مربع انتقال تکانه چهار بعدی  $Q^2 = 2EE'(1 - \cos\theta) = q^2$  برای مقادیر ثابتی از جرم ناوردای دستگاه هدف پس زد،  $W$  رسم شده است، که در آن  $W^2 = 2M(E - E') + M^2 - Q^2$

است. منظور از عمل تقسیم بر مقطع مسات معادله (۱۳.۶۶)، حذف کردن قسمت اصلی وابستگی به انتقال تکانه چهار بعدی است. نتایج شکل ۲.۶۹ برای تمام مقادیر  $W$ ، از اندازه گیریهای صورت گرفته در دو حالت  $\theta = 6^\circ$  و  $\theta = 10^\circ$  حاصل شده اند. به منظور نمایش تفاوت برجسته بین رفتار مقطعی کَشسان و نا کَشسان، در شکل ۲.۶۹ حاصل تقسیم مقطع کَشسان بر مقطع مسات هم برای  $\theta = 10^\circ$  رسم شده است. تغییرات نسبتاً آهسته مقطع نا کَشسان نسبت به  $Q^2$ ، در مقایسه با مقطع کَشسان، به طور روشنی در شکل ۲.۶۹ دیده می شود. در پراکندگی کَشسان، به علت ابعاد محدود پروتون، مات  $\sigma/\sigma$  با افزایش  $Q^2$  سریعاً نزول می کند. در پراکندگی نا کَشسان، بستگی ضعیف مات  $\sigma/\sigma$  به  $Q^2$  را می توان با فرض اینکه الکترونها توسط اجزای تشکیل دهنده پروتون پراکنده می شوند، و اینکه این اجزای سازنده نسبت به پروتون ابعاد بسیار کوچکتری دارند، توضیح داد. فاینمن در سال ۱۹۶۹ این اجزای فرضی را «پسارتون» نامید و فرض کرد که آنها بار نقطه ای هستند (فاینمن، ۱۹۶۹).

طرح فرایند پراکندگی نا کَشسان الکترون توسط نوکلئون در شکل ۳.۶۹ نموده شده است. الکترونی با انرژی  $E$  توسط نوکلئونی (با تکانه چهار بعدی  $P$ ) و با حالت نهایی  $n$  از طریق مبادله یک فوتون مجازی (با تکانه چهار بعدی  $Q$ ) در زاویه  $\theta$  پراکنده می شود. آزمایشهایی را در نظر می گیریم که در آنها فقط الکترونها پراکنده مشاهده شوند، یعنی جزئیات حالت نهایی هادرون  $n$  را مشاهده نکنیم. در نتیجه، مقطع در چارچوب آزمایشگاه در عمومیتترین شکلش با رابطه زیر داده خواهد شد

$$\begin{aligned} \frac{d^2\sigma}{d\Omega dE'} &= \frac{4e^4}{Q^4} E'^2 \cos^2 \frac{\theta}{2} \left[ W_2 + 2W_1 + \tan^2 \frac{\theta}{2} \right] \\ &= \frac{e^4}{4E'^2 \sin^4 \frac{\theta}{2}} \cos^2 \frac{\theta}{2} \left[ W_2 + 2W_1 + \tan^2 \frac{\theta}{2} \right] \quad (1.69) \end{aligned}$$

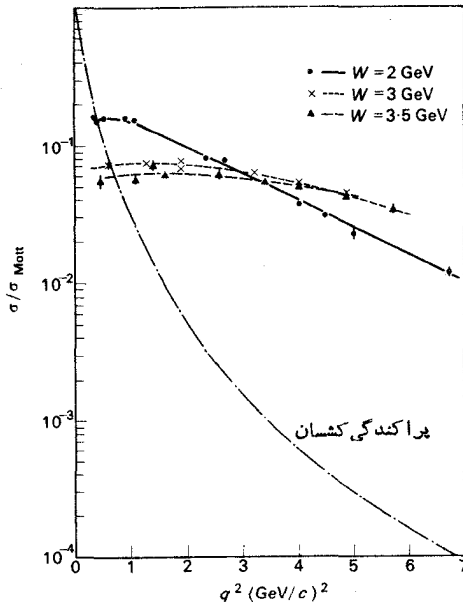
که در آن  $W_1$  و  $W_2$  به فیزیک هادرون مربوط می شوند. چون جزئیات هادرون نهایی مشاهده نمی شود،  $W_1$  و  $W_2$  باید توابعی از متغیرهای ناوردای نسبتی  $Q^2$  و

$$v = -\frac{1}{M} Q \cdot P \quad (2.69)$$

باشند که در آن  $Q \cdot P$  حاصل ضرب ناوردای دوچاربردار است، (به بخش الف ۲. رجوع کنید). ضرب  $\frac{1}{M}$  برای راحتی به کار گرفته می شود تا با علامتگذاری کلی توافق داشته باشد.

$$v = -\frac{1}{M} \{ \mathbf{q} \cdot \mathbf{P} - (E - E')(\mathbf{P}^2 + M^2)^{1/2} \}$$

در چارچوب آزمایشگاه داریم  $\mathbf{P} = 0$ ، و



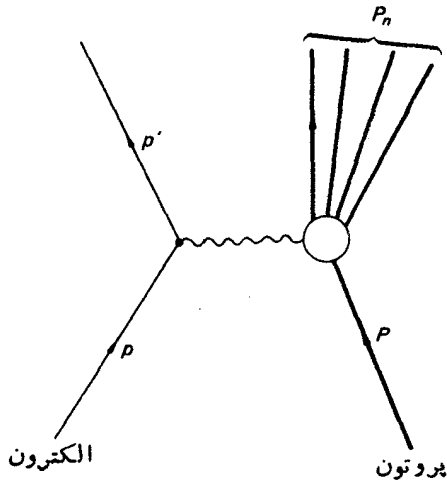
شکل ۲-۶۹ نمودار تغییرات مات  $(d^2\sigma/d\Omega dE')/\sigma$  بر حسب  $\text{GeV}^{-1}$ ، نسبت به  $q^2$  (همان  $Q^2$  متن) برای  $W = 2, 3, 3.5 \text{ GeV}$  رسم شده است. خطوط گذشته از میان داده‌ها برای وضوح بیشتر رسم شده‌اند. همچنین حاصل تقسیم مقطع پراکندگی کشسان  $e-p$  بر مات  $\sigma$ ، مات  $(d\sigma/d\Omega)/\sigma$ ، برای  $\theta = 10^\circ$  با استفاده از عامل شکل دوقطبی معادله (۷-۶۷)، رسم شده است. تغییرات نسبتاً آهسته مقطع ناکسان نسبت به  $Q^2$  در مقایسه با مقطع کشسان به روشنی دیده می‌شود.

$$\nu = E - E' \quad (۳-۶۹)$$

$$Q^2 = 4EE' \sin^2 \frac{\theta}{2} \quad (۴-۶۹)$$

حال الگوی پارتونی نوکلئون را به تبعیت از شیوه بروکن و پاشوز (۱۹۶۹) در نظریه‌گیرییم. در الگوی پارتون، پراکندگی ناکسان الکترونها توسط نوکلئونها را به صورت پراکندگی کشسان توسط پارتونها در نظریه‌گیرییم. برای بررسی بیشتر این ایده، ابتدا پراکندگی کشسان از یک ذره نقطه‌ای آزاد به جرم  $m$ ، باتکانه و انرژی اولیه  $E_m, \mathbf{P}_m$  و تکانه و انرژی نهایی  $E'_m, \mathbf{P}'_m$  را در نظر می‌گیریم. پراکندگی را در چارچوب مرجعی که در آن  $\mathbf{P}_m = 0$  است، مورد مطالعه قرار می‌دهیم. در نتیجه  $E'_m = E - Q^2/m$  و

$$-Q \cdot \mathbf{P}_m = (E - E'_m)m = (E'_m - m)m$$



شکل ۳.۶۹ پراکندگی ناکشسان الکترون - نوکلئون.

$$Q^2 = q^2 - (E - E')^2 = q^2 - (E'_m - m)^2$$

$$= q^2 + m^2 - E'^2_m + 2(E'_m - m)m$$

ولی

$$E'^2_m = q^2 + m^2$$

بنابراین در این چارچوب داریم

$$Q^2 = -2Q \cdot P_m \quad (۵.۶۹)$$

ولی هر دو طرف معادله (۵.۶۹) به طور نسبی ناوردایند، و بنابراین معادله بالا در چارچوب دلخواه هم صادق خواهد بود. در نتیجه برای پراکندگی توسط این ذره خواهیم داشت

$$W_{\nu}(v, Q^2) = K \delta(v - Q^2/2m) \quad (۶.۶۹)$$

که در آن ثابت تناسب  $K$  را می توان با این خواست که جا گذاری (۶.۶۹) در (۱.۶۹) پراکندگی بار نقطه ای را به دست دهد، تعیین کرد.  $\delta(y)$  تابع دلتای دیراک به صورت زیر تعریف می شود

$$y \neq 0 \quad \delta(y) = 0$$

$$\int f(y) \delta(y) = f(0)$$

(فاینمن ۱۹۶۵؛ مرزباخر ۱۹۷۵). اکنون داریم

$$\begin{aligned} \frac{d\sigma}{d\Omega} &= \int dE' \frac{d\sigma}{d\Omega dE'} = K \int dE' \frac{e^{\varphi}}{\sqrt{E'} \sin^{\varphi} \frac{\theta}{\gamma}} \cos^{\varphi} \frac{\theta}{\gamma} \delta\left(E - E' - \frac{\gamma E E'}{m} \sin^{\varphi} \frac{\theta}{\gamma}\right) \\ &= K \frac{e^{\varphi}}{\sqrt{E'} \sin^{\varphi} \frac{\theta}{\gamma}} \frac{\cos^{\varphi} \frac{\theta}{\gamma}}{\left[1 + (\gamma E/m) \sin^{\varphi} \frac{\theta}{\gamma}\right]} \\ &= \left(\frac{d\sigma}{d\Omega}\right)_{NS} \end{aligned}$$

که اگر قرار دهیم  $K = 1$ ، آنچه خواسته شد به دست می‌آید. در اینجا، از خاصیت زیر

$$\delta(a y) = |a|^{-1} \delta(y) \quad (۷.۶۹)$$

در محاسبات استفاده شده است. معادله (۶.۶۹) را می‌توان به صورت زیر نوشت

$$W_{\gamma} = \delta\left(\frac{P_m \cdot Q}{m} - \frac{Q^{\varphi}}{\gamma m}\right) \quad (۸.۶۹)$$

اگر پراکندگی ناکشان الکترون توسط پروتون را در چارچوب مرجعی در نظر بگیریم که در آن پروتون دارای تکانه نامحدودی است، حرکت پارتونهای تشکیل دهنده درون پروتون با اتساع نسبیتهی زمان آهسته می‌شود، والکترون را به صورتی که گویی در هر لحظه توسط يك پارتون پراکنده می‌شود می‌توان تصویر کرد. پارتون پس‌زده باقیه پارتون برهم کنش می‌کند تا حالت نهایی هادرون را ایجاد کند، ولی این برهم کنش با بقیه پارتون دیرتر صورت می‌گیرد و پارتون را می‌توان در پس‌زنی اول به صورت يك ذره آزاد در نظر گرفت. طرح پراکندگی ناکشان الکترون توسط پروتون برطبق الگوی پارتسون در شکل ۴.۶۹ نمایش داده شده است. در این شکل، پروتون در ابتدا به صورت ترکیب تعداد دلخواهی پارتون در نظر گرفته شده است که یکی از پارتونها الکترون را پراکنده می‌سازد. در چارچوب مرجعی که در آن پروتون دارای تکانه نامحدودی است، چاربردار تکانه - انرژی پارتون به صورت کسری،  $x$ ، از چاربردار تکانه - انرژی پروتون در نظر گرفته می‌شود

$$P_m = xP \quad (۹.۶۹)$$

چارچوب مرکزجرم الکترون-پروتون در انرژیهای بالا، تقریب خوبی برای چنین چارچوبی است. در نتیجه، سهم پارتون منفردی به بار  $Z_i$  در  $W_{\gamma}$  از معادله (۸.۶۹) به دست می‌آید

$$W_{\gamma}^{(i)} = Z_i^{\varphi} \delta\left(\frac{xP \cdot Q}{m} - \frac{Q^{\varphi}}{\gamma m}\right)$$

$$= Z_i^2 \delta \left( \frac{P \cdot Q}{M} - \frac{Q^2}{2Mx} \right)$$

$$= Z_i^2 \delta \left( v - \frac{Q^2}{2Mx} \right) \quad (10.69)$$

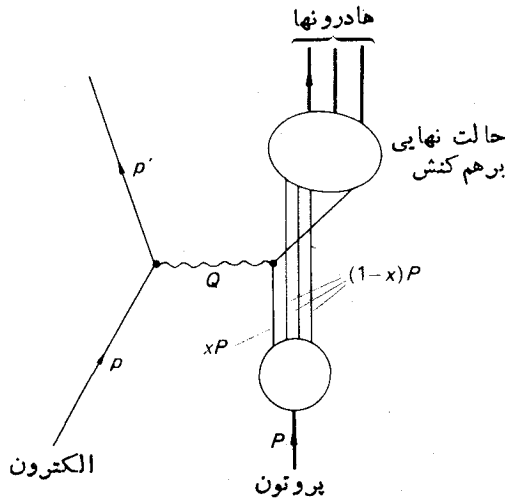
زیرا که با استفاده از معادله (۹.۶۹)، جرم سکون مؤثر پارتون چنین به دست می‌آید

$$m = xM \quad (11.69)$$

برای توزیع کلی پارتونها در پرتون داریم

$$W_{\nu}(v, Q^2) = \sum_N P(N) \langle \sum_i Z_i^2 \rangle_N \int_0^1 dx f_N(x) \delta \left( v - \frac{Q^2}{2xM} \right) \quad (12.69)$$

که در آن  $P(N)$  احتمال پیدا کردن هیثی از  $N$  پارتون در پرتون،  $\langle \sum_i Z_i^2 \rangle_N$  مساوی مقدار میانگین  $\sum_i Z_i^2$  در این هیثتها، و  $f_N(x)$  احتمال یافتن پارتونی است که سهم تکانه آن در این هیثتها به اندازه  $x$  از تکانه پرتون باشد.



**شکل ۴.۶۹** پراکندگی ناکشسان الکترون-نوکلئون بر اساس الگوی پارتون. نوکلئون را می‌توان به صورت ترکیبی از پارتونها در نظر گرفت که یکی از آنها الکترون را پراکنده می‌سازد، و پس از پس‌زنی با پارتونهای دیگر برهم‌کنش می‌کند و حالت نهایی را به وجود می‌آورد.



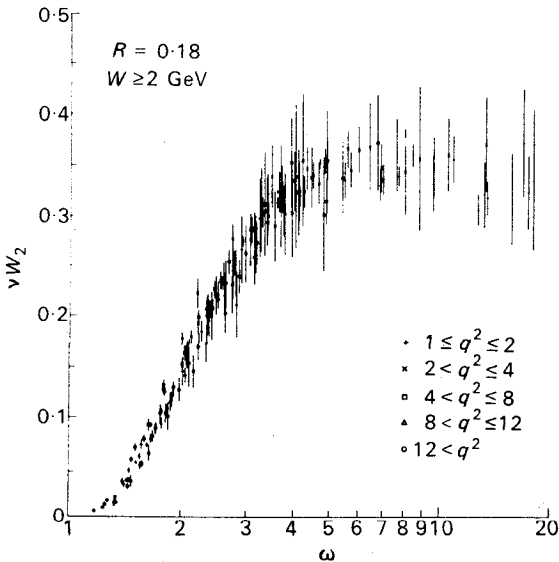
با تغییر متغیر انتگرال به  $Q^2/2xM$  و پس از انتگرال گیری، معادله (۱۲.۶۹) به صورت زیر درمی آید

$$\begin{aligned} \nu W_2(\nu, Q^2) &= \sum_N P(N) \langle \sum_i Z_i^2 \rangle_N x f_N(x) \\ &\equiv F(x) \end{aligned} \quad (13.69)$$

با

$$x = Q^2/2M\nu \quad (14.69)$$

بنابراین پیش بینی می شود که  $\nu W_2$  تابعی از یک متغیر منفرد  $x$  باشد. شکل ۵.۶۹ نشان می دهد که این پیش بینی الگوی پارتون با نتایج تجربی سازگار است، و مدرکی دال بر تشکیل پروتونها از ذرات نقطه ای را ارائه می دهد. امکان دارد که پارتونها همان کوارکها باشند، ولی چنین چیزی الزامی نیست. به هر حال، می توان نشان داد (بروکن و پاشوز، ۱۹۶۹) الگویی که در آن پروتون از سه کوارک تشکیل شده باشد، با نتایج تجربی پراکنندگی ناکشان الکترون از پروتون توافق ندارد. الگوی کوارک و الگوی پارتون در صورتی سازگار می شوند که پروتون از سه کوارک و تعداد ناممینی از زوجهای کوارک-پادکوارک تشکیل شده باشد.



شکل ۵.۶۹ نمودار  $\nu W_2$  بر حسب  $\omega = 2M\nu/q^2$  برای  $W > 2 \text{ GeV}$  و  $q^2 > 1 (\text{GeV}/c)^2$  رسم شده است. حدود  $q^2$  بر حسب  $(\text{GeV}/c)^2$  داده شده است. داده ها در هر زاویه نموده شده اند. ( $q^2$  همان  $Q^2$  در متن کتاب است.)

و انمود نمی شود که بحث الگوی پارتونها که در اینجا ارائه شد، منطقی، خود-سازگار، و یا حتی معقول باشد. مشخصه برجسته الگوی پارتون این است که با بعضی از نتایج تجربی موافق است. این احتمال را نمی توان نادیده گرفت که توضیحات ملموستری یافت شوند که جانشین الگوی پارتون شوند. امکان دیگر این است که توسعه بیشتر الگوی کوآرک و الگوی پارتون به تدریج به نظریه کاملتری منجر شود، همچنان که نظریه بور در مورد مدارهای کوآنتیده مقدمه ای بر مکانیک کوآنتومی بود.

اطلاعات بیشتر راجع به پارتونها را می توان در نوشته درل (۱۹۷۰) پیدا کرد. توضیح جالبی از ساخت نوکلئونها، آنچنان که به کمک پراکندگی کشسان و ناکشسان الکترون به دست می آید، توسط کندال و بانفسکی (۱۹۷۱) ارائه شده است.

### ۷۰. باریکه های برخورد کننده $e^+ - e^-$

آزمایشهای مربوط به برخورد باریکه های  $e^+ - e^-$  نتایج مهمی را به دست می دهند. چنین آزمایشهایی در اوریسی، نوسیرسک و فراشانی انجام گرفته اند. واکنشهای زیر از جمله واکنشهایی هستند که در این زمینه مورد مطالعه قرار گرفته اند

$$e^+ + e^- \rightarrow e^+ + e^- \quad (\text{پراکندگی کشسان}) \quad (۱۰۷۰)$$

$$\rightarrow \mu^+ + \mu^- \quad (۲۰۷۰)$$

$$\rightarrow \pi^+ + \pi^- \quad (۳۰۷۰)$$

$$\rightarrow \pi^+ + \pi^- + \pi^0 \quad (۴۰۷۰)$$

$$\rightarrow K^+ + K^- \quad (۵۰۷۰)$$

خواص تشدیدهای بوزونی را می توان توسط آزمایشهای باریکه های برخورد کننده  $e^+ - e^-$  بررسی کرد، زیرا برای نمونه واکنشهای (۳۰۷۰) و (۵۰۷۰) تا حدود زیادی از طریق تولید تشدیدهای

$$e^+ + e^- \rightarrow \rho^0 \rightarrow \pi^+ + \pi^- \quad (۶۰۷۰)$$

$$e^+ + e^- \rightarrow \phi \rightarrow K^+ + K^- \quad (۷۰۷۰)$$

صورت می گیرند. اطلاعات بیشتر راجع به آزمایشهای  $e^+ - e^-$  توسط بون (۱۹۷۰)، بانفسکی (۱۹۷۰)، پل گرینی و سلسر (۱۹۷۰)، سیدرف (۱۹۶۹) ارائه شده اند.

### مراجع

- Phys. Rev. Lett*, **18** (1967) 1014.
- Bartel, W., B. Dudelzak, H. Krehbiel, J. Mcelroy, U. Meyerbarkhout, W. Schmidt, V. Walther and G. Weber, *Phys. Lett*, **28B** (1968) 148.
- Bartel, W., F. W. Büszer, W. R. DIX, R. Felst, D. Harms, H. Krehbiel, P. E. Kuhlman, J. Mcelroy and G. Weber, *Phys. Lett*, **33B** (1970) 245.
- Berger, CH., V. Burkert, G. Knop, B. Langenbeck and K. Rith, *Phys. Lett*, **35B** (1971) 87.
- Bjorken, J. D. and E. A. Paschos, *Phys. Rev*, **185** (1969) 1975.
- Braben, D. W., editor, *Proceedings 4th International Symposium on Electron and Photon Interactions at High Energies, Liverpool. Daresbury Nuclear Physics Laboratory, 1969.*
- Briedenbach, M., J. I. Friedman, H. W. Kendall, E. D. Bloom, D. H. Coward, H. De Staebler, J. Drees, L. W. Mo and R. E. Taylor, *Phys. Rev. Lett*, **23** (1969) 935.
- Buon, J., *Particles and Nuclei*, **1** (1970) 141.
- Drell, S.D., *Comments on Nuclear and Particle Physics*, **4** (1970) 147.
- Feynman, R. P., R. B. Leighton and M. Sands, *Quantum Mechanics*, Vol. III of *The Feynman Lectures in Physics*, 1965. Addison-Wesley, Reading, Mass. Section 16. 4.
- Feynman, R. P., 'The behaviour of Hadron collisions at extreme energies', *High Energy Physics—Third International Conference*, p. 237. Stony Brook, 1969. Gordon and Breach, New York.
- Frazer, W. R. and J. R. Fulco, *Phys. Rev. Lett*, **2** (1959) 365.
- Griffy, T. A. and L. I. Schiff, 'Electromagnetic Form Factors', p. 341 of *High Energy Physics*, Vol. I, edited E. H. S. Burhop, 1967. Academic Press, New York.
- Hofstadter, R., *Electron Scattering and Nuclear and Nucleon Structure*, 1963. Benjamin, New York.
- Kendall, H. W. and W. K. H. Panofsky, 'The structure of the proton and the neutron', *Sci. Am*, June 1947, p. 61.
- Krohn, V. E. and G. R. Ringo, *Phys. Rev*, **148** (1966) 1303.
- Merzbacher, E., *Quantum Mechanics*, 2nd edition, 1970. Wiley, New-York.

Muirhead, H., *The Physics of Elementary Particles*, 1965. Pergamon Press, Oxford. Chapter 11.

Panofsky, W. K. H., *Comments on Nuclear and Particle Physics*, 4 (1970) 159.

Pellegrini, C. and A. M. Sessler, *Comments on Nuclear and Particle Physics*, 4 (1970) 55.

Rutherglen, J. G., 'Nucleon form factors', p. 163 of Braben (1969).

Sidorov, V. A., 'Storage rings - Novosibirsk', p. 227 of Braben (1969).

## مؤخره

دانش ما از فیزیک ذرات بنیادی مرتب در حال تغییر است. بدون شك نادرستی بخشی از مطالب ارائه شده در این کتاب سرانجام معلوم خواهد شد. خواننده‌ای که علاقمند است از آخرین پیشرفت‌ها آگاه شود، می‌تواند به مروره‌های مختلفی که در مجله‌های *Comments on Nuclear and Particle Physics*, *Reviews of Modern Physics*, *Annual Review of Nuclear Science and Physics Today* صورت می‌گیرد، مراجعه کند. مجله *Scientific American* به ویژه از این بابت مفید است که تا مطلب یا نتیجه‌ای از فیزیک انرژی بالا به‌طور کامل درك و هضم نشده باشد، در آن نمی‌آید. و گاهی حتی پس از درك و هضم نیز در آن درج نمی‌شود. هدف این کتاب ارائه اطلاعاتی از فیزیک ذرات برای غیرمتخصصین است. خواننده‌ای که می‌خواهد اطلاعات بیشتری کسب کند، می‌تواند به بعضی از منابع زیر مراجعه کند.

## مراجع

- Burhop. E. H. S., editor, *High Energy Physics*, 1967. Academic Press, New York. Three volumes.
- Feld, B. T., *Models of Elementary Particles*, 1969. Blaisdell, Waltham, Mass.
- Gasiorowicz, S., *Elementary Particle Physics*, 1966. Wiley, New York.
- Källén, G., *Elementary Particle Physics*, 1964. Addison-Wesley, Reading, Mass.

- Lichtenberg, D. B., *Unitary Symmetry and Elementary Particles*, 1970. Academic Press, New York.
- Muirhead, H., *The Physics of Elementary Particles*, 1965. Pergamon, Oxford.
- Pilkuhn, H., *The Interactions of Hadrons*, 1967. North - Holland, Amsterdam.

# پیوست الف

## مختصری از نسبیت خاص<sup>۱</sup>

### الف. ۱. مقدمه

چارچوبهای مرجعی وجود دارند که در آنها يك ذره آزاد ساکن باقی مانده یا با سرعت ثابتی حرکت می کند.

اصل نسبیت خاص بیان می کند که برای فرمولبندی قوانین فیزیکی تمام چارچوبهای لخت معادل یکدیگرند. بالاخص سرعت نور در تمام چارچوبهای لخت یکسان است.

تبدیل مختصات از يك چارچوب لخت  $F$  با مختصات  $x, y, z$  و  $t$  به چارچوب دیگر  $F'$  توسط تبدیل لورنتس انجام می گیرد. برای حالتی که محورهای  $x, y, z$  به ترتیب با محورهای  $x', y', z'$  موازی اند، مبدأهای  $F$  و  $F'$  در لحظه  $t = t' = 0$  بر یکدیگر منطبق اند، و  $F'$  با سرعت ثابت  $v$  در جهت مثبت  $x$  نسبت به  $F$  حرکت کند، تبدیل لورنتس چنین است

$$x' = \gamma(x - vt) \quad (\text{الف. ۱.})$$

$$y' = y \quad (\text{الف. ۲.})$$

$$z' = z \quad (\text{الف. ۳.})$$

$$t' = \gamma \left( t - \frac{vx}{c^2} \right) \quad (\text{الف. ۴.})$$

که در آن

$$\gamma = (1 - \beta^2)^{-\frac{1}{2}} \quad (\text{الف. ۵.})$$

$$\beta = \frac{v}{c} \quad (\text{الف. ۶})$$

اگر در چارچوب  $F$  سرعت ذره‌ای  $\mathbf{u}$  و مؤلفه‌های  $u_x$ ،  $u_y$ ، و  $u_z$  باشد، مؤلفه‌هایش در چارچوب  $F'$  به صورت زیر در می‌آیند

$$u'_x = \frac{u_x - v}{1 - u_x v / c^2} \quad (\text{الف. ۷})$$

$$u'_y = \frac{u_y}{\gamma(1 - u_x v / c^2)} \quad (\text{الف. ۸})$$

$$u'_z = \frac{u_z}{\gamma(1 - u_x v / c^2)} \quad (\text{الف. ۹})$$

### الف. ۲. چاربردار

مختصات مکان-زمان یک نقطه  $(x, y, z, ct)$  را می‌توان مؤلفه‌های یک چاربردار  $x_\lambda$  ( $\lambda = 1, 2, 3, 4$ ) دانست. به‌طور کلی یک چاربردار را می‌توان به صورت

$$(\mathbf{a}, a_\varphi) \quad \text{یا} \quad (a_x, a_y, a_z, a_\varphi) \quad (\text{الف. ۱۰})$$

نوشت، و تحت تبدیل لورنتس، معادلات (الف. ۱۰) تا (الف. ۴) به صورت

$$a'_x = \gamma(ax - \beta a_\varphi) \quad (\text{الف. ۱۱})$$

$$a'_y = a_y \quad (\text{الف. ۱۲})$$

$$a'_z = a_z \quad (\text{الف. ۱۳})$$

$$a'_\varphi = \gamma(a_\varphi - \beta a_x) \quad (\text{الف. ۱۴})$$

تغییر شکل می‌دهند.

همچنین در بعضی مواقع راحت‌تر است که چاربردار (الف. ۱۰) را به صورت  $\mathbf{a}$  نوشت.

مجدور بزرگی نرده‌ای یک چاربردار چنین است

$$\begin{aligned} a \cdot a &= a_x^2 + a_y^2 + a_z^2 - a_\varphi^2 \\ &= \mathbf{a} \cdot \mathbf{a} - a_\varphi^2 \end{aligned} \quad (\text{الف. ۱۵})$$

و تحت تبدیل لورنتس ناورد است.

ضرب نرده‌ای هر دو چاربردار  $\mathbf{a} = (a_x, a_y, a_z, a_\varphi)$ ،  $\mathbf{b} = (b_x, b_y, b_z, b_\varphi)$  را به صورت زیر تعریف می‌کنیم



$$\begin{aligned} a \cdot b &= a_x b_x + a_y b_y + a_z b_z - a_4 b_4 \\ &= \mathbf{a} \cdot \mathbf{b} - a_4 b_4 \end{aligned}$$

که تحت تبدیلهای لورنتس ناورد است.

تکانه و انرژی یک ذره، یک چاربردار  $(\mathbf{p}, E/c)$  را تشکیل می‌دهند که مجذور بزرگی نردهای آن  $M^2 c^2 -$  خواهد شد.

$$p^2 - \left(\frac{E}{c}\right)^2 = -M^2 c^2 \quad (\text{الف. ۱۶})$$

برای هر دستگاهی از ذرات، تکانه کل و انرژی کل تشکیل یک چاربردار می‌دهند و در آن

$$\left(\sum_i \mathbf{p}_i\right)^2 - \left(\sum_i \frac{E_i}{c}\right)^2 \quad (\text{الف. ۱۷})$$

کمیتی ناورد است. با استفاده از ناوردایی (الف. ۱۷) می‌توان خیلی از مسائل را به سادگی حل کرد.

توجه کنید که  $E$  انرژی کل است و شامل انرژی جرم سکون هم می‌شود، یعنی

$$E = Mc^2 + T \quad (\text{الف. ۱۸})$$

که در آن  $T$  انرژی جنبشی است. بعضی از روابط مفید برای ذره‌ای با سرعت  $v$  عبارت‌اند از

$$p = \gamma M c \beta \quad (\text{الف. ۱۹})$$

$$E = \gamma M c^2$$

$$= c(p^2 + M^2 c^4)^{\frac{1}{2}} \quad (\text{الف. ۲۰})$$

$$\beta = c p / E \quad (\text{الف. ۲۱})$$

برای نوشتن چاربردارها قراردادی قابل قبول همه وجود ندارد، و بنابراین در مواقعی که چاربردارها و سه بردارهای معمولی در کنار هم مورد استفاده قرار گیرند، امکان بعضی از درهم برهمیها وجود دارد. دی بندتی (۱۹۶۴) از نمادگذاری زیر استفاده می‌کند

$\mathbf{A}, \mathbf{a}, \mathbf{k}$ ، و غیره چاربردارند

$A, a, k$ ، و غیره سه بردارند

$A, a, k$ ، و غیره بزرگی چاربردارند

$A, a, k$ ، و غیره بزرگی سه بردارند

اما متأسفانه همد از این نماد گذاری استفاده نمی کنند.

الف ۳۰. تبدیل بین چارچوب آزمایشگاه و چارچوب مرکز جرم  
واکنش زیر را در نظر بگیرید

$$۱ + ۲ \rightarrow ۳ + ۴ \quad (\text{الف. ۲۲})$$

که در آن ذره ۲ در آغاز در چارچوب آزمایشگاه ساکن است. تکانه کل در چارچوب مرکز جرم صفر است. در اینجا، مقادیر بدون پریم را برای مختصات آزمایشگاه و مقادیر با پریم را برای مختصات مرکز جرم به کار می بریم. انرژی کل عبارت است از

$$E_0 = M_\nu c^2 + E_1 \quad (\text{الف. ۲۳})$$

از ناوردایی (الف. ۱۷) داریم

$$p_1^2 - \frac{E_0^2}{c^2} = -\frac{E_1^2}{c^2} \quad (\text{الف. ۲۴})$$

می توان نتیجه گرفت که

$$E_0'^2 = M_1^2 c^4 + M_\nu^2 c^4 + 2M_\nu E_1 c^2 \quad (\text{الف. ۲۵})$$

و

$$E_1 = (E_0'^2 - M_1^2 c^4 - M_\nu^2 c^4) / 2M_\nu c^2 \quad (\text{الف. ۲۶})$$

چارچوب مرکز جرم با سرعت  $v$  نسبت به چارچوب آزمایشگاه حرکت می کند. می توان معادله (الف. ۲۱) را برای دستگاه دو ذره ای هم به کار برد، نتیجه آن به صورت زیر است

$$\beta = \frac{v}{c} = \frac{cp_1}{E_1 + M_\nu c^2} \quad (\text{الف. ۲۷})$$

توجه کنید

$$E_0 = \gamma E_1' \quad (\text{الف. ۲۸})$$

در واکنش (الف. ۲۲) انرژی آزاد شده، یا مقدار  $Q$ ، عبارت است از

$$Q = (M_1 + M_\nu - M_3 - M_4) c^2 \quad (\text{الف. ۲۹})$$

اگر  $Q$  مثبت باشد، واکنش (الف. ۲۲) برای تمام مقادیر  $E_1$  امکان پذیر است. اگر  $Q$  منفی باشد، واکنش انرژی آستانه ای دارد، بدین معنی که برای انرژی  $E_1$  کمینه ای به نام  $E_1^{\text{th}}$  وجود دارد که در آن انرژی، واکنش می تواند انجام گیرد. در آستانه داریم

$$E_1' = (M_3 + M_4) c^2 \quad (\text{الف. ۳۰})$$

و از (الف. ۲۶) به دست می آید

$$E_{\gamma}^{\text{th}} = \frac{[(M_{\gamma} + M_{\varphi})^2 - M_{\gamma}^2 - M_{\varphi}^2] c^2}{2M_{\gamma}} \quad (\text{الف. ۳۱})$$

یا

$$T_{\gamma}^{\text{th}} = \frac{[(M_{\gamma} + M_{\varphi})^2 - (M_{\gamma} + M_{\varphi})^2] c^2}{2M_{\varphi}} \quad (\text{الف. ۳۲})$$

در بسیاری موارد به رابطه بین مقطعی دیفرانسیلی در چارچو بهای آزمایشگاه و مرکز جرم احتیاج داریم.  $(d\sigma/d\Omega)d\Omega$  احتمال گسیل ذره مورد بررسی حاصل از واکنش در داخل زاویه فضایی  $d\Omega$  است. از آنجایی که احتمال وقوع یک رویداد خاص در تمام چارچوها باید یکسان باشد

$$\frac{d\sigma}{d\Omega} d\Omega = \left(\frac{d\sigma}{d\Omega'}\right)' d\Omega' \quad (\text{الف. ۳۳})$$

$$\frac{d\sigma}{d\Omega} = \left(\frac{d\sigma}{d\Omega'}\right)' \frac{d\Omega'}{d\Omega} \quad (\text{الف. ۳۴})$$

$$d\Omega = d\phi \, d(\cos \theta) \quad (\text{الف. ۳۵})$$

که در آن  $\theta$  و  $\phi$  زوایای مختصات قطبی کروی هستند. ما جهت  $x$  را در جهت  $\mathbf{p}_1$  در نظر گرفته و زاویه  $\theta$  را با محور  $x$  اندازه می گیریم.  $\phi$  زاویه سمتی حول محور  $z$  است. بنابراین  $\phi = \phi'$

$$\frac{d\sigma}{d\Omega} = \left(\frac{d\sigma}{d\Omega'}\right)' \frac{d \cos \theta'}{d \cos \theta} \quad (\text{الف. ۳۶})$$

برای ذره در نظر گرفته شده (ذره ۳ یا ۴)، داریم

$$p'_x = \gamma(p_x - \beta E/c) \quad (\text{الف. ۳۷})$$

$$p'_y = p_y \quad (\text{الف. ۳۸})$$

$$p'_z = p_z \quad (\text{الف. ۳۹})$$

$$\frac{E'}{c} = \gamma \left( \frac{E}{c} - \beta p_x \right) \quad (\text{الف. ۴۰})$$

یا به صورت

$$p' \cos \theta' = \gamma(p \cos \theta - \beta E/c) \quad (\text{الف. ۴۱})$$

$$p' \sin \theta' = p \sin \theta \quad (\text{الف. ۴۲})$$

$$E' = \gamma(E - c\beta p \cos \theta) \quad (\text{الف. ۴۳})$$

انرژی و بزرگی تکانه ذره در چارچوب مرکز جرم مستقل از جهت حرکت ذره است. به طوری که

$$\frac{dp'}{d \cos \theta} = 0 \quad \text{و} \quad \frac{dE'}{d \cos \theta} = 0 \quad (\text{الف. ۴۴})$$

با مشتق گیری از رابطه (الف. ۴۱) نسبت به  $\cos \theta$  و استفاده از رابطه زیر

$$\frac{dE}{dp} = \frac{c^2 p}{E} \quad (\text{الف. ۴۵})$$

[که از رابطه (الف. ۲۰) ناشی می شود]، به دست می آوریم

$$p' \frac{d \cos \theta'}{d \cos \theta} = \gamma \left( p + \cos \theta \frac{dp}{d \cos \theta} - \beta \frac{c p}{E} \frac{dp}{d \cos \theta} \right) \quad (\text{الف. ۴۶})$$

و از (الف. ۴۳)

$$0 = \gamma \left( \frac{c^2 p}{E} \frac{dp}{d \cos \theta} - c\beta p - c\beta \cos \theta \frac{dp}{d \cos \theta} \right) \quad (\text{الف. ۴۷})$$

با حذف  $dp/d \cos \theta$ ، حاصل می شود

$$\frac{d \cos \theta'}{d \cos \theta} = \frac{p'}{\gamma p' \left( p - \frac{\beta E}{c} \cos \theta \right)} \quad (\text{الف. ۴۸})$$

$$= \frac{p}{\gamma p' \left( 1 - \frac{\beta}{\beta_u} \cos \theta \right)}$$

که در آن

$$\beta_u = u/c = cp/E$$

که در آن  $u$  سرعت ذره است. بنابراین

$$\frac{d\sigma}{d\Omega} = \frac{p}{\gamma p' \left( 1 - \frac{\beta}{\beta_u} \cos \theta \right)} \left( \frac{d\sigma}{d\Omega} \right)' \quad (\text{الف. ۴۹})$$

همچنین مناسب است رابطه (الف. ۴۸) را بر حسب  $\theta'$  و  $E'$  نیز به دست آوریم. با استفاده از معکوس تبدیل لورنتس که نتیجه آن معادلات (الف. ۴۱) و (الف. ۴۳) بودند، خواهیم داشت

$$p \cos \theta = \gamma \left( p' \cos \theta' + \frac{\beta E'}{c} \right) \quad (\text{الف. ۵۰})$$

$$E = \gamma (E' + c\beta p' \cos \theta') \quad (\text{الف. ۵۱})$$

حال

$$\frac{\cos \theta}{p} = \frac{p \cos \theta}{p^2} = \frac{1}{p^2} \gamma \left( p' \cos \theta' + \frac{\beta E'}{c} \right) \quad (\text{الف. ۵۲})$$

از معادلات (الف. ۵۲) و (الف. ۵۱) داریم

$$\frac{\beta E}{pc} \cos \theta = \frac{1}{p^2} \frac{\beta \gamma^2}{c} (E' + c\beta p' \cos \theta') \left( p' \cos \theta' + \frac{\beta E'}{c} \right)$$

بنابراین

$$1 - \frac{\beta E}{pc} \cos \theta = \left[ p^2 - \frac{\beta \gamma^2}{c} (E' + c\beta p' \cos \theta') \left( p' \cos \theta' + \frac{\beta E'}{c} \right) \right] / p^2$$

(الف. ۵۳)

با جایگزینی  $p^2$  در صورت رابطه بالا

$$p^2 = \frac{E^2}{c^2} - M^2 c^2 = \frac{E^2}{c^2} - \frac{E'^2}{c^2} + p'^2 \quad (\text{الف. ۵۴})$$

$$= p'^2 - \frac{E'^2}{c^2} + \frac{\gamma^2}{c^2} (E' + c\beta p' \cos \theta')^2$$

به دست می آوریم

$$1 - \frac{\beta E}{pc} \cos \theta = \frac{p'^2}{p^2} \left( 1 + \frac{\beta E'}{p'c} \cos \theta' \right) \quad (\text{الف. ۵۵})$$

بنابراین

$$\frac{d \cos \theta'}{d \cos \theta} = \frac{p^2}{\gamma p'^2 \left( 1 + \frac{\beta E'}{p'c} \cos \theta' \right)} \quad (\text{الف. ۵۶})$$

$$= \frac{p^2}{\gamma p'^2 \left( 1 + \frac{\beta}{\beta'_u} \cos \theta' \right)}$$

که در آن

$$\beta'_u = u'/c \quad (\text{الف. ۵۷})$$

چون زاویه‌ای که به صورت تجربی اندازه گیری می شود  $\theta$  است، و  $p'$  و  $E'$  مستقل از زاویه اند، مناسب است که  $E, p$  و  $d \cos \theta' / d \cos \theta$  بر حسب  $\theta$  و  $p'$  بیان شوند.

از معادله (الف.۴۳)، داریم

$$E = \frac{E'}{\gamma} + c\beta p \cos \theta \quad (\text{الف.۵۸})$$

سپس

$$\begin{aligned} c^2 p^2 &= E^2 - M^2 c^4 \\ &= \frac{E'^2}{\gamma^2} + \frac{2c\beta p E' \cos \theta}{\gamma} + c^2 \beta^2 p^2 \cos^2 \theta - M^2 c^4 \end{aligned}$$

یعنی

$$(1 - \beta^2 \cos^2 \theta) p^2 - 2 \frac{\beta E'}{c\gamma} p \cos \theta + M^2 c^2 - \frac{E'^2}{c^2 \gamma^2} = 0$$

با حل کردن معادله برای  $p$

$$p = \left[ \frac{\beta E' \cos \theta}{c\gamma} \pm Y \frac{1}{\gamma} \right] / (1 - \beta^2 \cos^2 \theta) \quad (\text{الف.۵۹})$$

که در آن

$$\begin{aligned} Y &= \frac{E'^2}{c^2 \gamma^2} - M^2 c^2 (1 - \beta^2 \cos^2 \theta) \\ &= p'^2 (1 - \beta^2) - M^2 c^2 \beta^2 \sin^2 \theta \end{aligned} \quad (\text{الف.۶۰})$$

می توان معادله (الف.۶۰) را به نحوی مرتب کرد که نتیجه زیر حاصل شود

$$Y = \left( \frac{\beta E' \cos \theta}{c\gamma} \right)^2 + E'^2 (1 - \beta^2 \cos^2 \theta) \frac{\beta'^2 - \beta^2}{c^2} \quad (\text{الف.۶۱})$$

برای

$$\beta'_u > \beta$$

$$Y > \left( \frac{\beta E' \cos \theta}{c\gamma} \right)^2$$

و از آنجایی که  $p$  بزرگی تکانه است و می بایست مثبت باشد، علامت مثبت را در رابطه (الف.۵۹) باید در نظر گرفت.

برای

$$\beta'_u < \beta$$

در معادله (الف.۵۹) هر دو علامت می‌توانند ظاهر شوند، اما برای

$$\sin \theta > p' / \gamma M c \beta \quad (\text{الف.۶۲})$$

$\gamma$  منفی است، و برای  $p$  جواب حقیقی وجود ندارد. در این حالت که در آن سرعت مرکز جرم بزرگتر از سرعت ذره گسیل یافته در چارچوب مرکز جرم است، ذره نمی‌تواند در جهت عقب گسیل یابد. پس برای این حالت ( $\beta' < \beta$ ) داریم

$$\sin \theta < \frac{p'}{\gamma M c \beta} \quad (\text{الف.۶۳})$$

و

$$\theta < \pi/2 \quad (\text{الف.۶۴})$$

و هر دو علامت در معادله (الف.۵۹) ظاهر می‌شوند، همچنان که برای يك زاویه معین  $\theta$  که متناظر با گسیل در دو مقدار  $\theta'$  است دو مقدار ممکن  $p$  وجود دارد. با جاگذاری معادله (الف.۵۹) در

$$E = c(p^2 + M^2 c^2)^{1/2}$$

یا به‌طور ساده‌تر با نوشتن معادله (الف.۴۳) به‌صورت

$$p = \frac{E - E' / \gamma}{c \beta \cos \theta} \quad (\text{الف.۶۵})$$

و سپس جاگذاری  $p$  از معادله (الف.۴۳) در

$$c^2 p^2 = E^2 - M^2 c^4$$

و حل معادله درجه دوم حاصل برای  $E$ ، به‌دست می‌آوریم

$$E = \frac{E' / \gamma \pm c \beta \cos \theta Y^{1/2}}{(1 - \beta^2 \cos^2 \theta)} \quad (\text{الف.۶۶})$$

از معادلات (الف.۶۶) و (الف.۵۹) به‌دست می‌آوریم

$$1 - \frac{\beta E}{c p} \cos \theta = \pm \frac{Y^{1/2} (1 - \beta^2 \cos^2 \theta)}{\beta E' \cos \theta \pm Y^{1/2} c \gamma} \quad (\text{الف.۶۷})$$

و معادله (الف.۶۸) را می‌توان به‌صورت

$$\frac{d \cos \theta'}{d \cos \theta} = \frac{(\beta E' \cos \theta / c\gamma + Y^{1/2})^2}{\gamma p^{1/2} Y (1 - \beta^2 \cos^2 \theta)^2} \quad (\text{الف. ۶۸})$$

نوشت. توجه کنید  $Y$  که توسط معادله (الف. ۶۰) داده شده است، به  $\theta$  بستگی دارد. بدین ترتیب، بستگی  $d \cos \theta' / d \cos \theta$  به  $\theta$  به وضوح توسط معادلات (الف. ۶۰) و (الف. ۶۸) نموده شده است. عبارت  $(1 - \beta^2 \cos^2 \theta)^2$  در مخرج معادله (الف. ۶۸) نشان می‌دهد که برای واکنشی در انرژی خیلی زیاد، به طوری که  $\beta \approx 1$  باشد، قسمت اعظم ذرات نهایی در جهت ذره فرودی تولید می‌شوند. از معادله (الف. ۶۰) دیده می‌شود که کمیت  $d \cos \theta' / d \cos \theta$  در حالت زیر دارای تکینگی است

$$\begin{aligned} \sin \theta &= p' / Mc\beta\gamma \\ &= \frac{\beta'_u}{(1 - \beta'^2_u)^{1/2}} \frac{(1 - \beta^2)^{1/2}}{\beta} \end{aligned} \quad (\text{الف. ۶۹})$$

و این به شرطی است که  $\beta'_u < \beta$ ، یعنی سرعت ذره گسیل یافته در چارچوب مرکز جرم از سرعت مرکز جرم کمتر باشد. در این حالت، در توزیع زاویه‌ای ذرات نهایی در چارچوب آزمایشگاه در زاویه  $\theta$  که به وسیله معادله (الف. ۶۹) داده شده، قله‌ای به وجود می‌آید. از این خصوصیت رابطه (الف. ۶۸) در طیف سنجی جرمهای نایافته برای تشدیدهای بوزونی که در بخش ۴۵ مورد بحث قرار گرفت، بهره برداری شد. توجه کنید که معادله (الف. ۶۸) را به صورت زیر هم می‌توان نوشت

$$\frac{d \cos \theta'}{d \cos \theta} = \frac{p^2}{\gamma p' Y^{1/2}} \quad (\text{الف. ۷۰})$$

نتایج این بخش در مورد واپاشی يك ذره متحرك به دو ذره نیز به کار برده می‌شود، مثلاً در مورد

$$5 \rightarrow 3 + 2$$

بدین ترتیب،  $v$  سرعت ذره واپاشنده در چارچوب آزمایشگاه است. چارچوب مرکز جرم چارچوب سکون ذره واپاشنده است. در حالتی که توزیع زاویه‌ای ذرات ۳ و ۴ در چارچوب سکون ۵ همسانگرد است، اگر ذره ۵ بسیار پرانرژی باشد به طوری که  $\beta \approx 1$ ، از معادله (الف. ۶۸) می‌بینیم که قسمت اعظم ذرات حاصل از واپاشی در چارچوب آزمایشگاه به جهت جلوگسیل می‌یابند. تمرینهای ۲ و ۳ فصل هشتم را ببینید.

#### الف ۴. استعاض زمان

استعاض زمان یا کندکاری ساعت‌های متحرك، نتیجه‌ای مهم از نظریه نسبیت خاص است. باریکه‌ای از ذرات واپاشی‌کننده به صورت يك ساعت متحرك رفتار می‌کند، و باریکه‌ای



از ذرات واپاشی کننده آهسته تر از ذرات در حال سکون واپاشیده می شود. اگر  $\tau_0$  عمر متوسط (پیوست ج را ببینید) ذره ای در چارچوب سکونش باشد، عمر متوسط مشاهده شده در چارچوب آزمایشگاهی که ذره با سرعت  $v$  نسبت به آن حرکت می کند، عبارت است از

$$\tau = \frac{\tau_0}{(1 - v^2/c^2)^{1/2}} \quad (\text{الف. ۷۱})$$

(ریندلر، ۱۹۶۶).

### مراجع

De Benedetti, S., *Nuclear Interactions*, 1964. Wiley, New York.  
 Rindler, W., *Special Relativity*, 1966. Oliver and Boyd, London.

## پیوست ب

### مکانیک کوانتومی

#### ب.۱ مقدمه

در اینجا فقط شرحی مختصر و مقدماتی از مکانیک کوانتومی ارائه می‌شود. بعضی از منابع مفید عبارت‌اند از فساینمن (۱۹۶۵)، زیوک (۱۹۶۹)، ساکسون (۱۹۶۸)، و در سطح بالاتری شیف (۱۹۶۸)، لاندائو و لیفشیتز (۱۹۵۸).  
برای هر ذره‌آزادی با تکانه  $\mathbf{p}$  و انرژی  $E$  یک موج دو بروی وابسته وجود دارد

$$\psi(\mathbf{r}, t) = \exp \{i(\mathbf{p} \cdot \mathbf{r} - Et)/\hbar\} \quad (ب.۱)$$

این موج دو بروی دارای طول موج

$$\lambda = h/p \quad (ب.۲)$$

و بسامد

$$\nu = E/h \quad (ب.۳)$$

است. عدد موج عبارت است از

$$k = 2\pi/\lambda = p/\hbar \quad (ب.۴)$$

در نظریهٔ ناسبیتی،  $E$  انرژی جنبشی ذره و به صورت زیر است

$$E = \frac{p^2}{2M} = \frac{\hbar^2 k^2}{2M} \quad (ب.۵)$$

و در نظریهٔ نسبیتی،  $E$  به صورت انرژی کل ذره ظاهر می‌شود

$$E = c(p^2 + M^2 c^2)^{\frac{1}{2}} \quad (ب.۶)$$

در مکانیک کوانتومی ناسبیتی، حالت فیزیکی یک دستگاه مشتمل بر  $N$  ذره توسط

يك تابع موج (یا تابع حالت) توصیف می‌شود

$$\psi(\mathbf{r}_1, \mathbf{r}_2, \dots, \mathbf{r}_N, t)$$

که برای آن معادلهٔ شرودینگر برقرار است

$$i\hbar \frac{\partial}{\partial t} \psi(\mathbf{r}_1, \dots, \mathbf{r}_N, t) = \left[ -\hbar^2 \sum_{i=1}^N \frac{1}{2M_i} \nabla_i^2 + V(\mathbf{r}_1, \dots, \mathbf{r}_N) \right] \psi(\mathbf{r}_1, \dots, \mathbf{r}_N, t) \quad (7.ب)$$

که در آن  $V(\mathbf{r}_1, \dots, \mathbf{r}_N)$  تابع پتانسیل است. برای حالت‌های با انرژی معین (که ویژه-حالت‌ها هم نامیده می‌شوند)، داریم

$$\psi(\mathbf{r}_1, \dots, \mathbf{r}_N, t) = \psi_n(\mathbf{r}_1, \dots, \mathbf{r}_N) e^{-iE_n t/\hbar} \quad (8.ب)$$

که در آن  $\psi_n$  جوابی از معادلهٔ مستقل از زمان شرودینگر است

$$\left[ -\hbar^2 \sum_{i=1}^N \frac{1}{2M_i} \nabla_i^2 + V(\mathbf{r}_1, \dots, \mathbf{r}_N) \right] \psi_n(\mathbf{r}_1, \dots, \mathbf{r}_N) = E_n \psi_n(\mathbf{r}_1, \dots, \mathbf{r}_N) \quad (9.ب)$$

برای يك ذرهٔ منفرد داریم

$$i\hbar \frac{\partial}{\partial t} \psi(\mathbf{r}, t) = \left[ -\frac{\hbar^2}{2M} \nabla^2 + V(\mathbf{r}) \right] \psi(\mathbf{r}, t) \quad (10.ب)$$

و برای حالتی با انرژی معین

$$\psi(\mathbf{r}, t) = \psi_n(\mathbf{r}) e^{-iE_n t/\hbar}$$

$$\left[ -\frac{\hbar^2}{2M} \nabla^2 + V(\mathbf{r}) \right] \psi_n(\mathbf{r}) = E_n \psi_n(\mathbf{r}) \quad (11.ب)$$

برای يك ذرهٔ آزاد،  $V=0$ ، خواهیم داشت

$$i\hbar \frac{\partial}{\partial t} \psi(\mathbf{r}, t) = -\frac{\hbar^2}{2M} \nabla^2 \psi(\mathbf{r}, t) \quad (12.ب)$$

که حل آن توسط معادلات (1.ب) و (5.ب) داده شده‌اند.

ب.۲. حالتها و عملگرها

مکانیک کوانتومی يك دستگاه دلخواه فیزیکی با بررسی نظری بعضی از وجوه مکانیک

کوانتومی نانسیتی قابل ارائه است. هر حالت يك دستگاه فیزیکی به وسیله تابع حالت  $\psi$  نمایش داده می شود. تابع  $\psi$  برای يك ذره منفرد و بدون اسپین را می توان به صورت تابعی از زمان و مختصات ذره، یعنی به صورت  $(\mathbf{r}, t, \psi)$ ، در نظر گرفت، اما در حالت عمومیتر  $\psi$  به سایر کمیات نظیر اسپین هم وابسته است. کمیاتی که بتوان آنها را اندازه گیری و یا مشاهده کرد، مشاهده پذیر نامیده می شوند. متناظر با هر کمیت مشاهده پذیر  $A$  از دستگاه، يك عملگر خطی  $\hat{A}$  وجود دارد. در صورتی  $A$  يك عملگر است که برای هر تابع حالت دلخواه  $\psi$ ،  $\hat{A}\psi$  يك تابع حالت باشد. در صورتی  $A$  يك عملگر خطی است که برای تمام توابع حالت  $\psi_1, \psi_2$  و برای تمام اعداد مختلط  $\lambda_1, \lambda_2$  رابطه زیر برقرار باشد

$$\hat{A}(\lambda_1\psi_1 + \lambda_2\psi_2) = \lambda_1\hat{A}\psi_1 + \lambda_2\hat{A}\psi_2$$

در این پیوست با پیروی از لاندائو و لیف شیتز (۱۹۵۸) و فاینمن (۱۹۶۵) برای مشخص کردن يك عملگر علامت  $\hat{A}$  را به کار می بریم. بعضی از مؤلفین شاخص  $op$ ، نظیر  $A_{op}$  را به کار می برند، اما غالباً هیچ علامت مشخص کننده ای به کار برده نمی شود و در این صورت از محتوی باید فهمید که  $A$  يك مشاهده پذیر است یا يك عملگر. در متن اصلی این کتاب، هنگامی که ممکن است اشتباهی صورت گیرد، برای عملگرها علامت  $\hat{A}$  به کار رفته است. هر دو تابع حالت  $\psi_1$  و  $\psi_2$  با هم يك عدد مختلط را معین می کنند که حاصلضرب نرده ای نامیده شده و به صورت زیر نوشته می شود

$$\langle \psi_2 | \psi_1 \rangle$$

و خاصیت زیر را دارد

$$\langle \psi_1 | \psi_2 \rangle = \langle \psi_2 | \psi_1 \rangle^* \quad (13.ب)$$

برای توابع حالت يك ذره منفرد و بدون اسپین، داریم

$$\langle \psi_1 | \psi_2 \rangle = \int \psi_1^* \psi_2 d^3r \quad (14.ب)$$

هنگامی که  $\psi_1$  و  $\psi_2$  بهنجار شده باشند، یعنی

$$\langle \psi_1 | \psi_1 \rangle = 1$$

$$\langle \psi_2 | \psi_2 \rangle = 1$$

در این صورت، چنانچه دستگاهی در حالت  $\psi_1$  آماده شود، احتمال پیدا کردن آن در حالت  $\psi_2$  عبارت است از  $|\langle \psi_2 | \psi_1 \rangle|^2$ . عملگر  $\hat{B}$  را الحاقی هر میتی  $\hat{A}$  می نامند اگر به ازای هر  $\psi_1$  و  $\psi_2$  داشته باشیم

$$\langle \psi_1 | \hat{B}\psi_2 \rangle = \langle \psi_2 | \hat{A}\psi_1 \rangle^*$$

و آن را به صورت زیر می‌نویسند

$$\hat{B} = \hat{A}^\dagger$$

اگر

$$\hat{A}^\dagger = \hat{A}$$

باشد، عملگر  $\hat{A}$  عملگر هرمیتی نامیده خواهد شد. مشاهده پذیرهای حقیقی، نظیر تکانه و انرژی توسط عملگرهای هرمیتی نمایش داده می‌شوند. برای هر عملگر هرمیتی  $\hat{A}$ ، می‌توان یک مجموعه توابع حالت  $\psi_n$ ، که ویژه تابعهای  $\hat{A}$  نامیده می‌شوند، پیدا کرد به طوری که داریم

$$\hat{A}\psi_n = a_n\psi_n \quad (15.ب)$$

که در آن  $a_n$  اعداد حقیقی بوده و ویژه مقادیرهای  $\hat{A}$  نامیده می‌شوند. حالت‌های متناظر با  $\psi_n$  را ویژه حالت‌های  $\hat{A}$  می‌نامند. نتیجه اندازه‌گیری یک مشاهده‌پذیر  $A$  یکی از ویژه-مقادیرهای  $a_n$  خواهد بود. مقدار میانگین حاصل از تعداد زیادی اندازه‌گیری روی مشاهده‌پذیر  $A$  که با تابع حالت  $\psi$  توصیف می‌شود، عبارت است از

$$\langle A \rangle = \frac{\langle \psi | \hat{A} | \psi \rangle}{\langle \psi | \psi \rangle} \quad (16.ب)$$

در حالت کلی، عملگرها جابه‌جایی‌پذیر نیستند

$$\hat{A}\hat{B} - \hat{B}\hat{A} \neq 0$$

مثلاً برای یک ذره منفرد که توسط تابع حالت  $\psi(\mathbf{r}, t)$  توصیف می‌شود، مؤلفه‌های تکانه توسط عملگرهای زیر نمایش داده می‌شوند

$$\hat{p}_x = \frac{\hbar}{i} \frac{\partial}{\partial x}$$

$$\hat{p}_y = \frac{\hbar}{i} \frac{\partial}{\partial y} \quad (17.ب)$$

$$\hat{p}_z = \frac{\hbar}{i} \frac{\partial}{\partial z}$$

و مختصات مکان  $x$ ،  $y$ ، و  $z$  توسط عملگرهای  $\hat{x} = x$ ،  $\hat{y} = y$ ، و  $\hat{z} = z$  نمایش داده می‌شوند، یعنی عملگر  $x$  دقیقاً یک ضرب در  $x$  است. در این صورت

$$p_x \hat{x} - \hat{x} p_x = \hbar/i$$

$$\hat{p}_y \hat{y} - \hat{y} \hat{p}_y = \hbar/i \quad (18.ب)$$

$$\hat{p}_z \hat{z} - \hat{z} \hat{p}_z = \hbar/i$$

علامت گذاری

$$[\hat{A}, \hat{B}] = \hat{A}\hat{B} - \hat{B}\hat{A}$$

عموماً برای جابه‌جاپذیرها به‌کار می‌رود.

## ب. ۳. تکانه زاویه‌ای

عملگر تکانه زاویه‌ای مداری برای یک ذره منفرد عبارت است از

$$\hat{M} = \hbar \hat{L} = \hat{\mathbf{r}} \times \hat{\mathbf{p}} \quad (\text{ب. ۱۹})$$

و دارای روابط جابه‌جایی زیر است

$$[\hat{L}_x, \hat{L}_y] = i\hat{L}_z, [\hat{L}_y, \hat{L}_z] = i\hat{L}_x, [\hat{L}_z, \hat{L}_x] = i\hat{L}_y \quad (\text{ب. ۲۰})$$

برای یک پتانسیل با تقارن کروی،  $V(\mathbf{r}) = V(r)$ ، می‌توان حل معادله (ب. ۱۱) را به‌صورت

$$\psi_n(\mathbf{r}) = R_{nl}(r) Y_{lm}(\theta, \phi) \quad (\text{ب. ۲۱})$$

نوشت، که در آن  $r$ ،  $\theta$ ، و  $\phi$  مختصات قطبی کروی هستند

$$x = r \sin \theta \cos \phi$$

$$y = r \sin \theta \sin \phi$$

$$z = r \cos \theta$$

و  $Y_{lm}(\theta, \phi)$  هماهنگ کروی است

$$Y_{lm}(\theta, \phi) = (-1)^m \left[ \frac{(2l+1)(l-m)!}{4\pi(l+m)!} \right]^{\frac{1}{2}} e^{im\phi} P_l^{|m|}(\cos \theta) \quad (\text{ب. ۲۲})$$

که در آن  $P_l^{|m|}(z)$  چند جمله‌ای وابسته لژاندر است.  $l$  عدد کوانتومی تکانه زاویه‌ای مداری و  $m$  عدد کوانتومی مؤلفه  $z$  تکانه زاویه‌ای مداری ذره است. هماهنگهای  $Y_{lm}$  ویژه تابعهای مؤلفه  $z$  تکانه زاویه‌ای مداری و بزرگی تکانه زاویه‌ای مداری هستند

$$\hat{M}_z Y_{lm}(\theta, \phi) = \hbar m Y_{lm}(\theta, \phi) \quad (\text{ب. ۲۳})$$

$$\hat{M}^2 Y_{lm}(\theta, \phi) = \hbar^2 \hat{L}^2 Y_{lm}(\theta, \phi) = \hbar^2 l(l+1) Y_{lm}(\theta, \phi) \quad (\text{ب. ۲۴})$$

$l$  عدد درست و مثبت، و  $m$  عدد درست است

$$-l \leq m \leq +l$$

با در نظر گرفتن اسپین، ممکن است عدد کوانتومی تکانه زاویه‌ای نیم درست شود. کلیه

عملگرهای تکانه زاویه‌ای از روابط جابه‌جایی زیر

$$[\hat{J}_x, \hat{J}_y] = i\hat{J}_z, [\hat{J}_y, \hat{J}_z] = i\hat{J}_x, [\hat{J}_z, \hat{J}_x] = i\hat{J}_y \quad (25.ب)$$

پیروی می‌کنند، و ویژه تابع  $\hat{J}^2$  نیز می‌تواند ویژه تابع یکی از مؤلفه‌های  $\hat{J}$ ، که معمولاً  $\hat{J}_z$  انتخاب می‌شود، باشد

$$\hat{J}^2 \psi_{JM} = J(J+1) \psi_{JM} \quad (26.ب)$$

$$\hat{J}_z \psi_{JM} = M \psi_{JM} \quad (27.ب)$$

که در آن  $J$  عدد مثبت درست و یا نیم درست است، و  $M$  تعداد  $(2J+1)$  مقدار زیر را اختیار می‌کند

$$M = -J, -J+1, \dots, J-1, J$$

#### ب. ۴. جمع تکانه‌های زاویه‌ای

جمع دو تکانه زاویه‌ای  $\hat{J}_a$  و  $\hat{J}_b$  را با تکانه زاویه‌ای کل  $\hat{J}$  در نظر می‌گیریم

$$\hat{J} = \hat{J}_a + \hat{J}_b \quad (28.ب)$$

مثلاً امکان دارد  $\hat{J}_a$ ،  $\hat{J}_b$  تکانه زاویه‌ای مداری دو ذره مختلف، و یا تکانه زاویه‌ای مداری واسپین یک ذره منفرد باشند. برای  $\hat{J}_a$ ،  $\hat{J}_b$  مربوط به دستگاه‌های مستقل، داریم

$$[\hat{J}_a, \hat{J}_b] = 0 \quad (29.ب)$$

فرض کنید  $\psi_{J_a M_a}^a$ ،  $\psi_{J_b M_b}^b$  به ترتیب ویژه تابعهای  $\hat{J}_a^2$ ،  $\hat{J}_a$ ،  $\hat{J}_b^2$ ،  $\hat{J}_b$  باشند.

$$\hat{J}_a^2 \psi_{J_a M_a}^a = J_a(J_a+1) \psi_{J_a M_a}^a, \hat{J}_a \psi_{J_a M_a}^a = M_a \psi_{J_a M_a}^a \quad (30.ب)$$

$$\hat{J}_b^2 \psi_{J_b M_b}^b = J_b(J_b+1) \psi_{J_b M_b}^b, \hat{J}_b \psi_{J_b M_b}^b = M_b \psi_{J_b M_b}^b$$

حاصلضرب  $\psi_{J_a M_a}^a \psi_{J_b M_b}^b$  ویژه تابعهای  $\hat{J}_a^2$ ،  $\hat{J}_a$ ،  $\hat{J}_b^2$ ،  $\hat{J}_b$  هستند. در مورد ویژه-تابعهای  $\hat{J}_a^2$ ،  $\hat{J}_a$ ،  $\hat{J}_b^2$ ،  $\hat{J}_b$  الزاماً داریم

$$\hat{J}^2 \psi_{JM} = J(J+1) \psi_{JM}$$

$$\hat{J}_z \psi_{JM} = M \psi_{JM}$$

$$\hat{J}_a^2 \psi_{JM} = J_a(J_a+1) \psi_{JM} \quad (31.ب)$$

$$\hat{J}_b^2 \psi_{JM} = J_b(J_b+1) \psi_{JM}$$

$\psi_{JM}$  توسط رابطه زیر داده می‌شود

$$\psi_{JM} = \sum_{M_a, M_b} \langle J_a M_a J_b M_b | J_a J_b JM \rangle \psi_{J_a M_a}^a \psi_{J_b M_b}^b \quad (۳۲.ب)$$

که در آن  $\langle J_a M_a J_b M_b | J_a J_b JM \rangle$  ضرایب کلیش وگوردن نامیده می‌شوند و همان طوری که علامت گذاری نشان می‌دهد، حاصلضرب نرده‌ای هستند.

$$\langle J_a M_a J_b M_b | J_a J_b JM \rangle = \langle \psi_{J_a M_a}^a \psi_{J_b M_b}^b / \psi_{JM} \rangle \quad (۳۳.ب)$$

توجه کنید، برای  $M \neq M_a + M_b$  داریم

$$\langle J_a M_a J_b M_b | J_a J_b JM \rangle = 0 \quad (۳۴.ب)$$

بانوشتن تابع حالت  $\psi_a$  به صورت  $|a\rangle$  علامت گذاری ساده تری به دست خواهیم آورد. در این علامت گذاری  $a$  مجموعه اعداد کوانتومی یا علائم حالت است، به عنوان مثال  $\psi_{JM}$  را با  $|JM\rangle$  نشان می‌دهیم. اگر تابع حالتی، مثلاً  $\psi_a$ ، به صورت عامل مقدم ضرب نرده‌ای ظاهر شود، نظیر  $\langle \psi_a | \psi_b \rangle$ ، آن را به شکل  $\langle b | a \rangle$  می‌نویسند. پس می‌توان نوشت

$$\langle \psi_b | \psi_a \rangle = \langle b | a \rangle$$

$\langle b | a \rangle$  برا و  $|a\rangle$  کت نامیده شده و هر دو با هم به صورت براکت درمی‌آیند. مقصود از به کار بردن براها و کتها تنها به خاطر ساده کردن علائم نیست، ولی در اینجا به مفاهیم عمیقتر آنها نخواهیم پرداخت. برای بررسی بیشتر آنها به کتابهای فاینمن (۱۹۶۵)، و دیراک (۱۹۵۸) مراجعه کنید.

با به کار بردن کتها می‌توان معادلات (ب.۲۶) و (ب.۲۷) را به صورت

$$\hat{J}^2 |J, M\rangle = J(J+1) |J, M\rangle$$

$$\hat{J}_z |J, M\rangle = M |J, M\rangle \quad (۳۵.ب)$$

نوشت. معادله (ب.۳۲) به صورت زیر نوشته خواهد شد.

$$|J_a J_b JM\rangle = \sum_{M_a, M_b} \langle J_a M_a J_b M_b | J_a J_b JM \rangle |J_a M_a J_b M_b\rangle \quad (۳۶.ب)$$

معکوس معادله (ب.۳۶) به صورت زیر درمی‌آید

$$|J_a M_a J_b M_b\rangle = \sum_{J, M} \langle J_a J_b JM | J_a M_a J_b M_b \rangle |J_a J_b JM\rangle \quad (۳۷.ب)$$

$$\langle J_a J_b JM | J_a M_a J_b M_b \rangle = \langle J_a M_a J_b M_b | J_a J_b JM \rangle^* \quad (۳۸.ب)$$

معمولاً فازهای نسبی توابع حالت تکانه زاویه‌ای چنان انتخاب می‌شوند که ضرایب کلیش وگوردن به صورت حقیقی درآیند. فقط برای



$$J = J_a + J_b, J_a + J_b - 1, \dots, |J_a - J_b| \quad (39.ب)$$

مقدارهای کلیش و گوردن مخالف صفر است

$$\langle J_a M_a J_b M_b | J_a J_b JM \rangle \neq 0$$

بدین ترتیب ترکیب تکانه زاویه‌ای طبق الگوی برداری که در ایزبرگ (۱۹۶۱) توصیف شده، انجام می‌شود. با استفاده از معادلات (ب.۳۹) و (ب.۳۴) می‌توان معادله (ب.۳۷) را به صورت زیر نوشت

$$\begin{aligned} \langle J_a M_a J_b M_b | J_a J_b JM \rangle &= \sum_{J=|J_a-J_b|}^{J_a+J_b} \langle J_a J_b J (M_a + M_b) | J_a M_a J_b M_b \rangle \\ &\quad \times \langle J_a J_b J (M_a + M_b) \rangle \quad (40.ب) \end{aligned}$$

در جدول ب.۱ ضرایب کلیش و گوردن برای  $J_a$  و  $J_b = 1/2$  دلخواه ارائه شده‌اند.

جدول ب.۱  $\langle J_a (M - M_b) 1/2 M_b | J_a 1/2 JM \rangle$

$M_b = -\frac{1}{2}$	$M_b = +\frac{1}{2}$	$J$
$\left[ \frac{J_a - M + \frac{1}{2}}{2J_a + 1} \right]^{\frac{1}{2}}$	$\left[ \frac{J_a + M + \frac{1}{2}}{2J_a + 1} \right]^{\frac{1}{2}}$	$J_a + \frac{1}{2}$
$\left[ \frac{J_a + M + \frac{1}{2}}{2J_a + 1} \right]^{\frac{1}{2}}$	$-\left[ \frac{J_a - M + \frac{1}{2}}{2J_a + 1} \right]^{\frac{1}{2}}$	$J_a - \frac{1}{2}$

مراجع

Dirac, P. A. M., *The Principles of Quantum Mechanics*, 4th edition, 1958. Oxford University Press.

Eisberg, R. M., *Fundamentals of Modern Physics*, 1961. Wiley, New-York.

Feynman, R. P., R. B. Leighton and M. Sands, *Quantum Mechanics*,

Vol. III of *The Feynman Lectures on Physics*, 1965. Addison-Wesley, Reading, Mass.

Landau, L. D. and E. M. Lifshitz, *Quantum Mechanics*, 1958. Pergamon, London.

Saxon, D. S., *Quantum Mechanics*, 1968, Holden-Day, San Francisco.

Schiff, L. I., *Quantum Mechanics*, 3rd edition, 1968. McGraw-Hill, New York.

Ziock, K., *Basic Quantum Mechanics*, 1969. Wiley, New York.

## پیوست ج

### ج. ۱۰ طول عمر

اگر احتمال واپاشی ذره‌ای در واحد زمان  $\lambda$  باشد، و اگر  $N$  ذره وجود داشته باشند و در زمان  $dt$  تعداد  $dN$  از آنها واپاشیده شوند، می‌توان نوشت

$$dN = -N\lambda dt \quad (\text{ج. ۱})$$

یا

$$N = N_0 \exp(-\lambda t) \quad (\text{ج. ۲})$$

که در آن  $N_0$  تعداد ذرات در شروع بررسی  $t=0$  است. طول عمر ذرات واپاشنده  $\tau$  به صورت معکوس احتمال واپاشی در واحد زمان تعریف می‌شود

$$\tau = \frac{1}{\lambda} \quad (\text{ج. ۳})$$

پس

$$N = N_0 \exp(-t/\tau) \quad (\text{ج. ۴})$$

بنابراین طول عمر فاصله زمانی است که در طی آن تعداد ذرات موجود به  $1/e$  تعداد آن در شروع فاصله زمانی کاهش یافته باشد.

طول عمری که در معادله (ج. ۳) تعریف شد، طول عمر میانگین است زیرا طول عمر میانگین توسط رابطه زیر داده می‌شود

$$\frac{\int t \exp(-t/\tau) dt}{\int \exp(-t/\tau) dt} = \tau \quad (\text{ج. ۵})$$

گرچه غالباً عمر میانگین برای اندازه‌گیری احتمال واپاشی در فیزیک ذرات به کار

برده می‌شود، بعضی از مؤلفین (مثلا لیوینگستون، ۱۹۶۸) نیمه عمر  $T$  را نیز به کار می‌برند، که بدین صورت تعریف می‌شود: مدت زمانی که طول می‌کشد تا تعداد ذرات اولیه به نصف تقلیل یابد، و با عمر میانگین توسط رابطه زیر مربوط است

$$T = \tau \ln 2 = 0.693 \tau$$

ج. ۲. سطح مقطع

معمولا احتمال يك واکنش توسط سطح مقطع بیان می‌شود. واکنش زیر

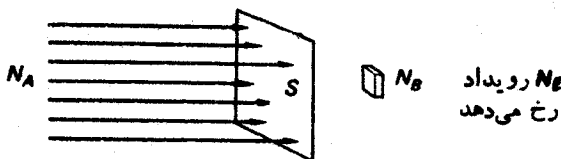


که در آن باریکه‌ای از ذرات  $A$  بسا تکانه معین بر روی هدفی از ذرات  $B$  فرود می‌آید را در نظر بگیرید، به طوری که احتمال انجام واکنش بین ذره‌های  $A$  و  $B$  به اندازه کافی کوچک باشد که تضعیف باریکه ذرات  $A$  در گذار از هدف ناچیز گرفته شود. سطح مقطع (یا سطح مقطع کل) به صورت تعداد رویدادهایی، نظیر آنچه در معادله (ج. ۶) آمده است، تعریف می‌شود که در واحد زمان به ازای واحد شار ذرات فرودی برای هر ذره هدف رخ می‌دهند. شار ذرات فرودی عبارت است از تعداد ذراتی که در واحد زمان از واحد سطح عمود بر جهت باریکه عبور می‌کنند. برای موقعیتی که در شکل ج. ۱. نموده شده است، و در آن تعداد  $N_A$  ذره از سطح  $S$  می‌گذرند و  $N_B$  رویداد در طول زمان  $t$  و برای هدفی که شامل  $N_B$  ذره است رخ می‌دهند، سطح مقطع به صورت زیر در می‌آید

$$\sigma = \frac{N_B/t}{N_B N_A t^{-1} S^{-1}} = \frac{N_B S}{N_B N_A} \quad (ج. ۷)$$

و سطح مقطع دارای بعد مساحت است.

هنگامی که جهت حرکت بعضی از ذرات، مثلا  $C$ ، در حالت نهایی اندازه گیری می‌شود، سطح مقطع دیفرانسیلی  $d\sigma/d\Omega$  را می‌توان معین کرد، تعداد رویدادها در واحد زمان به ازای واحد شار فرودی برای هر ذره هدف، به طوری که راستای حرکت ذره  $C$  در



شکل ج. ۱.

داخل زاویه فضایی مشخص  $d\Omega$  باشد، عبارت است از

$$\frac{d\sigma}{d\Omega}d\Omega$$

مرجع

Livingston, M. S., *Particle Physics : The High-Energy Frontier*, 1968.  
McGraw-Hill, New York.

## پیوست د

### اصل توازن تفصیلی

واکنش زیر را در نظر بگیرید



وکانالهای  $A+a$  و  $B+b$  را به ترتیب با  $\alpha$  و  $\beta$  نشان دهید.

تصور کنید که تعداد دلخواهی اذرات  $A$ ،  $a$ ،  $B$ ، و  $b$  در یک جعبهٔ بزرگ با حجم  $\Omega$  وجود داشته باشند. در حالت تعادل، تعداد گذارهای در واحد زمان  $\alpha \rightarrow \beta$  مساوی با تعداد گذارهای در واحد زمان  $\beta \rightarrow \alpha$  است. اصل توازن تفصیلی بیان می‌کند که این تعادل در آهنگ گذارها در جزئیات برای گسترهٔ انرژی  $(E, E+dE)$  برقرار است. فرض کنید که در گسترهٔ  $(E, E+dE)$  تعداد  $N_\alpha$  حالت کانال  $\alpha$  و  $N_\beta$  حالت کانال  $\beta$  وجود دارد. بر طبق اصول مکانیک آماری، به هنگام تعادل تمام حالت‌های موجود در گسترهٔ  $(E, E+dE)$  احتمال اشغال شدن یکسانی خواهند داشت. بنابراین تعداد حالت‌های اشغال شده در کانالهای  $\alpha$  و  $\beta$  به ترتیب متناسب با  $N_\alpha$  و  $N_\beta$  خواهند بود.

اگر میانگین احتمال گذار در واحد زمان از یک حالت  $\alpha$  در گسترهٔ  $(E, E+dE)$  به کل حالت‌های  $\beta$  در گسترهٔ  $(E, E+dE)$  را به صورت  $w(\alpha \rightarrow \beta)$  و احتمال گذار متناظر در واحد زمان برای گذارهای  $\beta \rightarrow \alpha$  را به صورت  $w(\beta \rightarrow \alpha)$  نمایش دهیم، توازن آهنگ گذارها در گسترهٔ  $(E, E+dE)$  عبارت است از

$$N_\alpha w(\alpha \rightarrow \beta) = N_\beta w(\beta \rightarrow \alpha) \quad (2.0)$$

کار کردن در چارچوب مرکز جرم که توسط رابطهٔ زیر تعریف می‌شود، آسانتر است.

$$p_A + p_a = 0 = p_B + p_b \quad (3.0)$$

بنابر مکانیک کوانتومی، برای ذرات بدون اسپین در فضای فاز یک حالت به ازای واحد

حجم  $h^3$  وجود دارد. بنابراین در حجم  $\Omega$ ، تعداد

$$\Psi \pi h^{-3} p_a^3 dp_a \Omega$$

حالت  $a$  در گستره  $(p_a, p_a + dp_a)$  وجود دارد. از آنجایی که در چارچوب مرکز جرم کار می‌کنیم، حالت  $a$  به‌طور یگانه‌ای حالت  $A$  را تعیین خواهد کرد، به‌طوری‌که

$$N_a = \Psi \pi h^{-3} p_a^3 dp_a \Omega \quad (۴.د)$$

با نوشتن

$$p_a = p_A = p_a \quad (۵.د)$$

در این صورت، به‌دست می‌آید

$$E = E_a + E_A \quad (۶.د)$$

که در آن

$$E_a = c(p_a^2 + M_a^2 c^2)^{1/2} \quad (۷.د)$$

$$E_A = c(p_A^2 + M_A^2 c^2)^{1/2}$$

در نتیجه

$$\begin{aligned} dE &= \frac{c^2 p_a}{E_a} dp_a + \frac{c^2 p_A}{E_A} dp_A \\ &= (v_a + v_A) dp_a \\ &= V_a dp_a \end{aligned} \quad (۸.د)$$

که در آن  $V_a$  عبارت است از آهنگ تغییر  $\mathbf{r}_a - \mathbf{r}_A$  که در چارچوب مرکز جرم محاسبه می‌شود.

در نتیجه

$$N_a = \Psi \pi h^{-3} \Omega p_a^3 V_a^{-1} dE \quad (۹.د)$$

و به‌طور مشابه

$$N_B = \Psi \pi h^{-3} \Omega p_B^3 V_B^{-1} dE \quad (۱۰.د)$$

باجا گذاری (۹.د) و (۱۰.د) در معادله (۲.د) خواهیم داشت

$$p_a^3 V_a^{-1} w(\alpha \rightarrow \beta) = p_B^3 V_B^{-1} w(\beta \rightarrow \alpha) \quad (۱۱.د)$$

موقعیتهایی که در بالا مورد بررسی قرار دادیم، متناظر با شار فرودی  $V\Omega^{-1}$  بر واحد سطح در واحد زمان است، با  $V = V_\alpha$  یا  $V = V_\beta$  بر حسب اینکه واکنش به سمت جلو و یا در جهت عکس آن در نظر گرفته شود. سطح مقطع کل به صورت تعداد گذارهای در واحد زمان به ازای واحد شار فرودی تعریف می شود، آنگاه خواهیم داشت

$$\sigma = \Omega w / V \quad (12.d)$$

و معادله (۱۱.د) را می توان به صورت زیر نوشت

$$p_\alpha \sigma(\alpha \rightarrow \beta) = p_\beta \sigma(\beta \rightarrow \alpha) \quad (13.d)$$

اگر ذره ای دارای اسپین  $J$  باشد، برای مشخص کردن کامل حالت ذره باید مؤلفه ای از اسپین مثلا  $J_z$  را تعیین کرد، و هر حالت فضایی متناظر با  $(2J+1)$  حالت است. بنابراین چگالی حالت های متناظر باید در  $(2J+1)$  ضرب شود. اگر ذرات  $A, a, B, b$ ، به ترتیب دارای اسپین های  $J_A, J_B, J_a, J_b$  باشند، معادله (۱۳.د) به صورت زیر تصحیح خواهد شد

$$(2J_A+1)(2J_a+1)p_\alpha \sigma(\alpha \rightarrow \beta) = (2J_B+1)(2J_b+1)p_\beta \sigma(\beta \rightarrow \alpha) \quad (14.d)$$

ما فرض کرده ایم که ذرات باریکه فرودی و هدف قطبی نشده باشند و قطبیدگی حالت نهایی ذرات را اندازه گیری نکنیم. اگر برای حالت های خاصی از اسپین سطح مقطعها اندازه گیری شوند، مثلا در يك آزمایش قطبش، باید از معادله (۱۳.د) استفاده شود. در محاسبه چگالی حالتها، فرض شده است که ذرات  $a$  و  $A$  همچنین ذرات  $b$  و  $B$  از یکدیگر قابل تمایزند. به عنوان نمونه، اگر ذرات  $a$  و  $A$  یکسان باشند، واکنش به صورت زیر در می آید

$$a+a \rightleftharpoons B+b \quad (15.d)$$

در این موقعیت، بر حسب اینکه ذره  $a$  بوزون یا فرمیون باشد، حالت کوانتومی ابتدایی نسبت به تمویض دو ذره  $a$  می باید متقارن یا پاد متقارن باشد، و تنها نصف حالت هایی که در نظر گرفته ایم به صورت فیزیکی وجود دارند. در این حالت داریم

$$\frac{1}{2}(2J_a+1)^2 p_\alpha \sigma(\alpha \rightarrow \beta) = (2J_b+1)(2J_B+1) p_\beta \sigma(\beta \rightarrow \alpha) \quad (16.d)$$



## پیوست ۵

### تشدید در نوسانگر کلاسیک

معادله حرکت نوسانگر هماهنگ میرا عبارت است از

$$m \frac{d^2 x}{dt^2} + \beta \frac{dx}{dt} + kx = 0 \quad (1.5)$$

حل این معادله به صورت زیر ارائه می شود

$$x = ae^{\lambda_1 t} + be^{\lambda_2 t} \quad (2.5)$$

که در آن  $\lambda_1$  و  $\lambda_2$  ریشه های معادله زیرند

$$m\lambda^2 + \beta\lambda + k = 0 \quad (3.5)$$

یسی

$$\lambda_1 = \frac{-\beta}{2m} + \left[ \frac{\beta^2}{4m^2} - \frac{k}{m} \right]^{1/2} \quad (4.5)$$

$$\lambda_2 = \frac{-\beta}{2m} - \left[ \frac{\beta^2}{4m^2} - \frac{k}{m} \right]^{1/2}$$

دو نوع جواب برای این معادله وجود دارد

الف) اگر  $\beta^2 \geq 4km$  باشد،  $\lambda$  حقیقی و نوسانی درکار نیست. بررسی این حالت مورد نظر ما نیست.

ب) اگر  $\beta^2 < 4mk$  باشد، جواب نوسانی است و دامنه این نوسان به طور نمایی کاهش می یابد

$$x = e^{(-\beta/2m)t} [ae^{i\omega t} + be^{-i\omega t}] \quad (5.5)$$

که در آن

$$\omega = \left( \frac{k}{m} - \frac{\beta^2}{4m^2} \right)^{1/2} \quad (6.8)$$

این جواب را به صورت دیگری نیز می توان نوشت

$$x = c e^{-(\beta/2m)t} \cos(\omega t - \gamma) \quad (7.8)$$

و نمونه‌ای از آن به طور ساده در شکل ۱.۵ نموده شده است. بسامد میرای

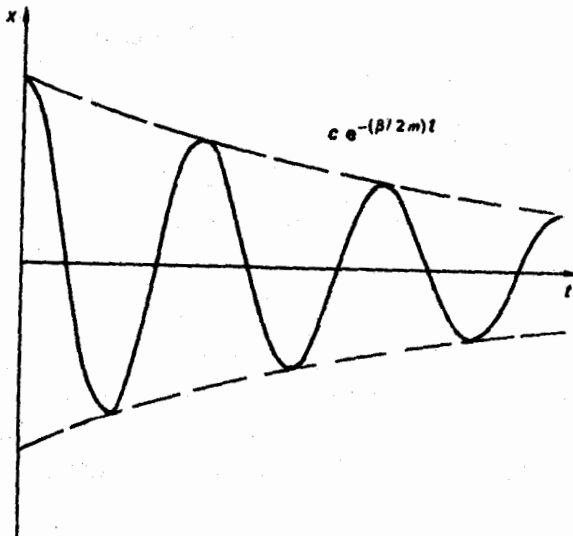
$$\nu = \frac{1}{2\pi} \left[ \frac{k}{m} - \frac{\beta^2}{4m^2} \right]^{1/2} \quad (8.8)$$

تا اندازه‌ای از بسامد نامیرا

$$\nu_0 = \frac{1}{2\pi} \left[ \frac{k}{m} \right]^{1/2} \quad (9.8)$$

کوچکتر است.

مربع دامنه حرکت میرا به صورت تابع نمایی  $\exp[-(B/m)t]$  کاهش می‌یابد بنابراین می‌توانیم عبارت  $m/\beta$  را به عنوان عمر میانگین فرو افت نوسان مشخص کنیم



شکل ۱.۵ تغییرات دامنه بر حسب زمان برای نوسانگر میرا.

$$\tau = m/\beta \quad (10.8)$$

حال اثر نیروی وادارنده  $F_0 e^{i\omega t}$  را در نظر بگیرید. معادله حرکت برای ارتعاش واداشته عبارت است از

$$m \frac{d^2 x}{dt^2} + \beta \frac{dx}{dt} + kx = F_0 e^{i\omega t} \quad (11.8)$$

جواب این معادله برای نوسانهای پابرجا با مقادیرهای حقیقی  $a$  و  $\phi$  به صورت زیر است

$$x = a e^{i(\omega t - \phi)} \quad (12.8)$$

با جاگذاری (۱۲.۸) در (۱۱.۸)، رابطه زیر را به دست می آوریم

$$a \left( \omega_0^2 - \omega^2 + i \frac{\beta \omega}{m} \right) = \frac{F_0}{m} e^{i\phi} \quad (13.8)$$

که در آن

$$\omega_0 = \left( \frac{k}{m} \right)^{1/2} \quad (14.8)$$

مربع قدر مطلق طرفین معادله (۱۳.۸) را محاسبه می کنیم

$$a^2 \left[ (\omega^2 - \omega_0^2)^2 + \frac{\beta^2 \omega^2}{m^2} \right] = \left( \frac{F_0^2}{m} \right)^2 \quad (15.8)$$

$$\therefore \frac{a^2}{F_0^2} = \frac{1}{m^2} \frac{1}{\left[ (\omega - \omega_0)(\omega + \omega_0) \right]^2 + \beta^2 \omega^2 / m^2}$$

برای  $\omega$  نزدیک به  $\omega_0$

$$\frac{a^2}{F_0^2} \approx \frac{1}{4\omega_0^2 m^2} \frac{1}{(\omega - \omega_0)^2 + \beta^2 / 4m^2} \quad (16.8)$$

معادله (۱۵.۸) یا معادله (۱۶.۸) نشان می دهد که بزرگترین حساسیت نوسانگر در شرایط  $\omega = \omega_0$ ، زمانی که بسامد نیروی وادارنده مساوی با بسامد طبیعی نوسانگر است، نمایان می شود.

برای تشبیه آن با نظریه کوانتومی، می نویسیم

$$E = \hbar \omega, \quad E_0 = \hbar \omega_0.$$

و آنگاه معادله (۱۶.۸) را به صورت زیر می توان نوشت

$$\frac{a^2}{F_0^2} = \frac{\hbar^2}{4\omega_0^2 m^2} \frac{1}{(E - E_0)^2 + \hbar^2 \beta^2 / 4m^2} \quad (17.8)$$

قسمت دوم حاصلضرب شکل زیر را دارد

$$\frac{1}{(E - E_0)^2 + \Gamma^2/4} \quad (18.8)$$

با

$$\Gamma = \hbar^2 \beta^2 / m^2 \quad (19.8)$$

عبارت (۱۸.۸) در  $E = E_0$  بیشینه‌ای به مقدار  $4/\Gamma^2$ ، و در نیم-بیشینه يك پهنای کامل  $\Gamma$  دارد. از معادله‌های (۱۹.۸) و (۱۰.۸) می‌توان رابطه زیر را به دست آورد

$$\Gamma \tau = \hbar \quad (20.8)$$

بین پهنای تشدید ارتعاش و اداشته و عمر حرکت آزاد نوسانگر کلاسیک ارتباط معینی وجود دارد. متناظر رابطه فوق در دستگاه کوانتومی رابطه عدم قطعیت هایزنبرگ است.

# پیوست و

## روشهای تجربی در فیزیک انرژی بالا

### ۱.۰ مقدمه

برای ارائه توضیحی مفکی از فیزیک تجربی انرژی بالا به حجمی بیش از تمامی این کتاب نیاز است، و بنابراین در این پیوست فقط می توان توضیح خیلی مختصری را که بتواند به صورت یک راهنما برای منابع ذکر شده عمل کند، ارائه داد. برای بررسی کلی فیزیک تجربی انرژی بالا می توانید به سگریه (۱۹۶۴) و در سطحی خیلی ابتدایی به گویرن (۱۹۶۷) مراجعه کنید.

### ۲.۰ شتابدهنده های ذرات

آزمایشهای مربوط به فیزیک ذرات شامل یک منبع ذرات، یک وسیله آشکارسازی و اغلب تجهیزات فوق العاده پیچیده ای برای کارگردانی باریکه ذرات هستند. در کارهای اولیه، از ذرات پرتو کیهانی به عنوان منبع ذرات استفاده می شد که هنوز هم تنها منبع ذرات با انرژی فوق العاده زیاد است. شتابدهنده ها ذراتی تا انرژی ۲۰۰ جیگا الکترون ولت را تولید می کنند. انواع مختلف شتابدهنده های به کار گرفته شده در فیزیک ذرات در جدول ۱.۰-۱.۰ آمده شده اند. تمایز نوعهای مختلف اساساً در روش به کارگیری میدان الکتریکی برای شتاب دادن ذرات است. در تمام شتابدهنده های انرژی بالا از میدانهای الکتریکی با بسامد رادیویی استفاده می کنند که در چندین دفعه بر روی ذرات اعمال می شوند. در یک شتابدهنده خطی استفاده از میدان با بسامد رادیویی در چندین مکان در طول یک مسیر مستقیم صورت می گیرد. در شتابدهنده های دایره ای، از قبیل سنکروسیکلوترون و سنکروترون، ذرات توسط میدانهای مغناطیسی محدود به حرکت در مسیرهای دایره ای یا مارپیچی می شوند، به طوری که می توانند به دفعات خیلی زیادی از میان یک یا چند منبع بسا بسامد رادیویی عبور کنند.

سنکروترون‌ها معمولاً به منظور تهیه فضا برای دستگاه شتابدهنده بسامد رادیویی و تجهیزات کمکی، و برای استخراج باریکه اصلی یا باریکه‌های ثانوی، قسمتهایی مستقیم هم دارند. با برخورد باریکه اصلی باریک هدف داخلی و یا خارجی، می‌توان باریکه‌های ثانوی از ذراتی مانند پیونها، کائونها و پاد پروتونها ایجاد کرد. استفاده از فنون اشتراک باریکه اجرای چندین آزمایش را به‌طور هم‌زمان امکان‌پذیر می‌کند.

جدول ۱.۰ انواع شتابدهنده‌های مورد استفاده در فیزیک انرژی بالا.

پیشینه انرژی (۱۹۷۲)	روش شتابدهی	میدان مغناطیسی	مدار ذره	نوع شتابدهنده
۱ GeV	RF با بسامد کاهش یا بنده (حدود ۲۰-۳۰ مگاهرتز)	ثابت نسبت به زمان	دایره‌ای با شعاع افزایش یا بنده	سنکروترون- ترون پروتونی
۳۰۰ GeV	RF با بسامد افزایشی با بردهای بزرگ	افزایشی نسبت به زمان	دایره‌ای با شعاع ثابت	سنکروترون پروتونی
۱۰ GeV	RF با بسامد ثابت (۴۰-۷۰۰ مگاهرتز)	افزایشی نسبت به زمان	دایره‌ای با شعاع افزایش یا بنده	سنکروترون الکترونی
۲۱ GeV	RF با بسامد ثابت (۱۳۰۰-۳۰۰۰ مگاهرتز)	هیچ	خط مستقیم	شتابدهنده خطی الکترون

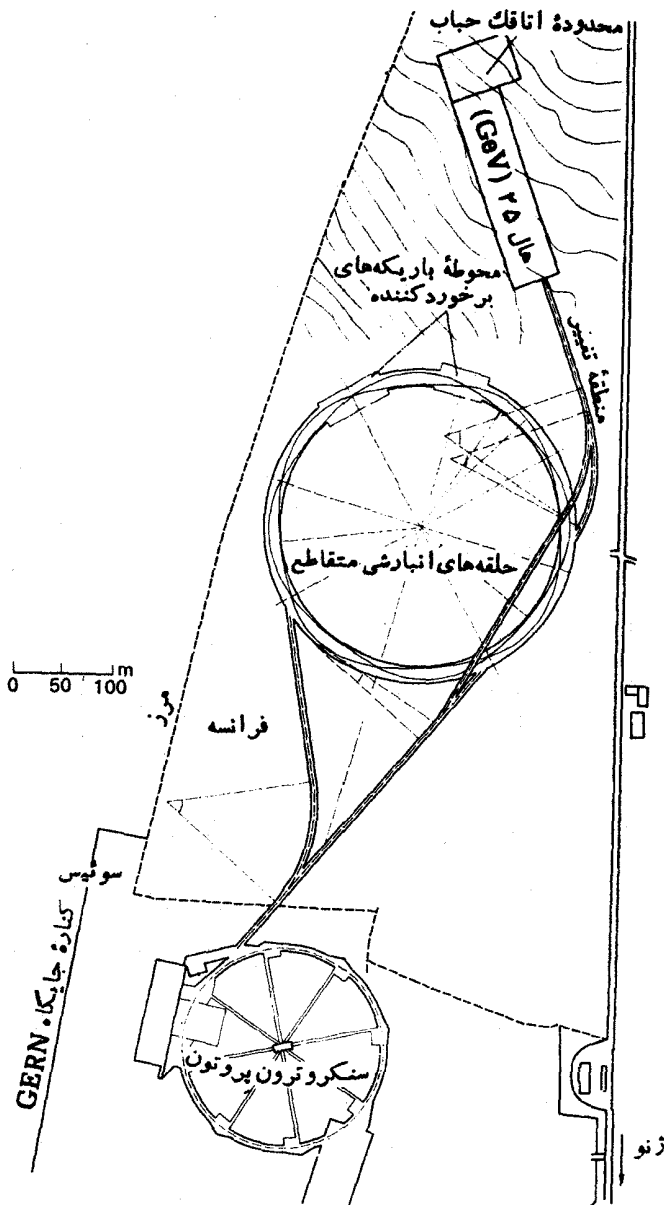
توضیحات مقدماتی راجع به شتابدهنده‌ها را می‌توانید در ویلسون (۱۹۵۸) گوپرن (۱۹۶۷) پیدا کنید و برای اطلاعات بیشتر می‌توانید به روزن بلات (۱۹۶۸) مراجعه کنید. توضیحات با جنبه تخصصی بیشتر در لیوینگستون و بلوت (۱۹۶۲)، بلوت (۱۹۶۷، ۱۹۶۹) و کورانت (۱۹۶۸) ارائه شده‌اند.

### ۳.۰ حلقه‌های انبارنده متقاطع

هر گاه ذره‌ای به جرم  $M_1$  بر روی هدف ساکنی به جرم  $M_2$  فرود آید، انرژی موجود برای تولید ذرات اضافی عبارت است از

$$W = E_{c.m.} - (M_1 + M_2)c^2 = (E_1^2 - c^2 p_1^2)^{1/2} - (M_1 + M_2)c^2$$

که در آن  $E_c$  و  $E_1$  به ترتیب انرژی کل در چارچوب مرکز جرم و در چارچوب آزمایشگاه هستند، و  $p_1$  تکانه ذره شتاب یافته در چارچوب آزمایشگاه است. در نتیجه



شکل ۱۰۹ نقشه کلی از تشکیلات حلقه‌های انبارنده متقاطع در CERN.

برای حرکت نانسیتی،  $p_1 \ll M_1 c$  و  $p_2 \ll M_2 c$ ، خواهیم داشت

$$W \simeq \frac{M_2}{M_1 + M_2} T_1$$

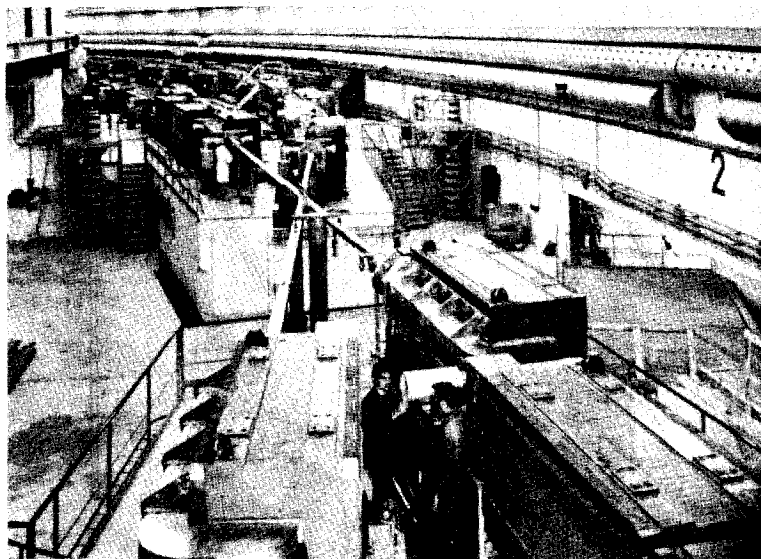
که در آن  $T_1$  انرژی جنبشی ذره فرودی در چارچوب آزمایشگاه است. برای حرکت شدیداً نسبی،  $p_2 \gg M_2 c$ ،  $p_1 \gg M_1 c$ ، داریم

$$W \simeq c(\gamma M_2 T_1)^{\frac{1}{2}}$$

بنا براین

$$\frac{W}{T_1} \simeq \left(\frac{\gamma M_2}{T_1}\right)^{\frac{1}{2}}$$

یعنی اینکه نسبت کاهش یا بندهای از انرژی جنبشی فرودی برای تولید ذرات در دسترس



شکل ۲.۹ محل تقاطع در حلقه‌های انبارنده متقاطع CERN. در اینجا قسمت داخلی تونل به اندازه ۳ متر (طرف چپ) پهنتر شده است و کف تونل به اندازه ۲.۴ متر پایین آورده شده است تا بتوانند تجهیزات آزمایشگاهی را در آن قرار دهند. درست در مرکز انتهای یکی از تونلهای انتقال باریکه قرار دارد، که پرتونها را از سنکروترون به ISR می‌آورد. نقطه تزریق یکی از حلقه‌ها در نقطه تقاطع بدمی قرار دارد، که ۱۰۰ متر از انتهای تصویر فاصله دارد.



قرار می‌گیرد. مثلاً برای پروتونهای با انرژی فرودی ۳۰ جیگا الکترون ولت بسرروی پروتونهای ساکن، فقط ۶ جیگا الکترون ولت انرژی برای تولید ذرات در دسترس قرار می‌گیرد. ولی اگر پروتونهایی با ۳۰ جیگا الکترون ولت را به طور رود در رو برخورد دهیم، برای تولید ذرات ۶۰ جیگا الکترون ولت انرژی در دسترس خواهد بود. بنا براین می‌توان با به کارگیری باریکه‌های برخورد کننده ذرات، انرژیهای مؤثر بزرگتری به دست آورد، و بدین خاطر است که حلقه‌های انبارنده متعددی برای آزمایشهای باریکه‌های برخورد کننده، از جمله برای الکترون-الکترون، الکترون-پوزیترون، پروتون-پروتون و حتی پروتون-پادپروتون ساخته‌اند. در تعدادی از آزمایشها، باریکه برخورد کننده ذرات در یک حلقه هم شتاب داده و هم انباشته شوند، و در بعضی از آزمایشهای دیگر، نظیر تشکیلات حلقه‌های انبارنده متقاطع (ISR) در CERN، حلقه‌های انبارنده از شتابنده‌ها جدا هستند. حلقه‌های ISR در CERN در شکلهای ۱۰ و ۲۰ و ۲۱ مشاهده شده‌اند. نخستین مشاهده رویدادهای مربوط به باریکه‌های برخورد کننده در CERN (ISR) در اوایل ۱۹۷۱ با استفاده از پروتونهای ۱۵ جیگا الکترون-ولت صورت گرفت (کارکنان ISR، ۱۹۷۱). این تشکیلات هنگامی که با انرژی کامل ۲۸ جیگا الکترون-ولت کار کند، برخوردهایش متناظر با برخورد باریکه‌ای با انرژی ۱۷۰۰ جیگا الکترون ولت بر روی هدفی ساکن است.

شرحی مقدماتی از حلقه‌های انبارنده متقاطع توسط اونیل (۱۹۶۶) ارائه شده است. برای بررسی مفصلتر می‌توانید به کورانت (۱۹۶۸) و بلوت (۱۹۶۹) مراجعه کنید.

#### ۴.۹ آشکار سازهای ذرات

تمام روشهای آشکارسازی ذرات به مشاهده اثرات بار ذره‌ها بستگی دارند، زیرا که فقط ذرات باردار را می‌توان به طور مستقیم آشکار ساخت. حضور ذرات خنثی را فقط می‌توان از برهم کنش آنها با ذرات باردار یا از ذرات باردار حاصل از واپاشی آنها استنتاج کرد. جز شمارگرهای چرنکوف، تمام روشهای دیگر آشکارسازی ذرات متکی بر یونش ایجاد شده توسط ذرات باردار در گذار از میان ماده هستند. وسایل آشکارسازی ذرات را می‌توان به دو گروه تقسیم کرد، شمارگرها که در آنها یک تب نور یا تب الکتریکی عبور ذره‌ای را از میان آشکارساز نشان می‌دهد و ردنماها که در آنها تصویری از مسیر طی شده توسط ذره باردار تشکیل می‌شود.

مهمترین آشکارسازهای شمارگر برای فیزیک انرژی بالا شمارگرهای سوسون و شمارگرهای چرنکوف هستند. در شمارگر سوسون، پس از یونیدگی حاصل از گذار یک ذره باردار، در نتیجه گذارهای اتمی در ماده شمارگر یک درخش نوری به وجود می‌آید. نور توسط تکثیر کننده فوتونی به یک تب الکتریکی که به اندازه کافی بزرگ شده تبدیل می‌شود تا به صورت ورودی دستگاه الکترونیکی مورد استفاده برای تجزیه و تحلیل آزمایش، در آید.

در شمار گره‌های چرنکوف از نوری استفاده می‌شود که در اثر عبور ذره‌ای باردار از محیطی شفاف، با سرعتی بزرگتر از سرعت نور در ماده، به صورت شوک موج الکترو-مغناطیسی تولید می‌شود. سرعت نور در محیطی با ضریب شکست  $n$  برابر است با  $c/n$ . راستای گسیل تابش چرنکوف ناشی از ذره‌ای با سرعت  $\beta c$  در مخروطی با نیم زاویه رأس  $\theta$  حول جهت حرکت ذره قرار دارد، به طوری که

$$\cos\theta = \frac{1}{\beta n}$$

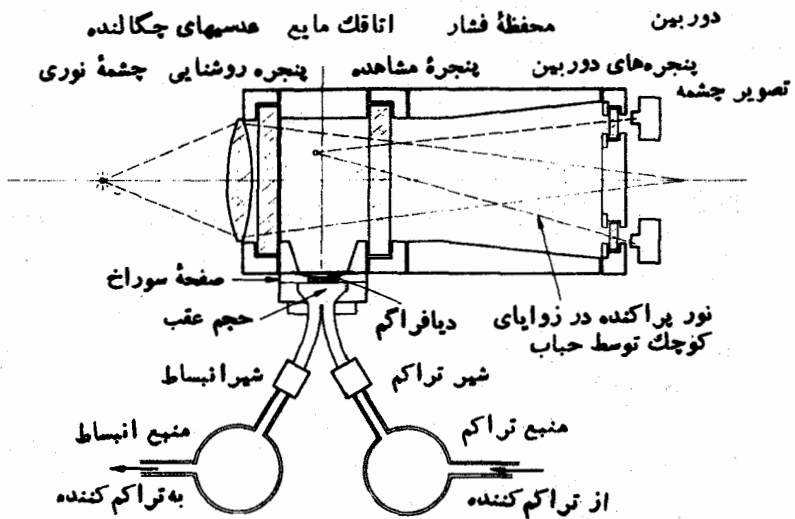
بدین ترتیب، با انتخاب ضریب شکست محیط و حدود زوایایی که در آنها نور مشاهده می‌شود، می‌توان بین ذرات با سرعت‌های مختلف تمایز قائل شد. در این شمار گره‌ها هم، مانند مورد شمار گره‌های سوسوزن، نور توسط تکثیرکننده‌های فوتونی جمع‌آوری می‌شود. برای بررسی کاربرد شمار گره‌ها در فیزیک ذرات می‌توانید به گیسون (۱۹۷۰) مراجعه کنید. شرح مفصلتر شمار گره‌های سوسوزن را می‌توانید در بریکس (۱۹۶۴)، و شمار گره‌های چرنکوف را در هاپنسون (۱۹۶۰) بیابید.

از میان آشکارسازهای رد نما، اتاقک ابر ویلسون (هندرسون، ۱۹۷۰) و امولسیون عکاسی (باؤل و همکاران، ۱۹۵۹) شیوه‌های اساسی مورد استفاده فیزیک ذرات بودند که برای سال‌ها به کار گرفته می‌شدند، ولی اکنون از آنها برای مقاصد خاصی استفاده می‌کنند. در اتاقک ابر، یون‌هایی که رد ذرات باردار را مشخص می‌سازند همچون مراکز تراکم قطرات آب حاصل از بخار فوق اشباع، عمل می‌کنند. در امولسیون عکاسی، یونش باعث می‌شود که دانه‌های نقره قابلیت تبدیل به تفرقه فلزی را پیدا کنند. دو تا از مهمترین آشکارسازهای رد نما، در حال حاضر، اتاقک حباب و اتاقک جره‌ه هستند.

## ۵.۰ اتاقک حباب

اتاقک حباب در سال ۱۹۵۲ توسط گلاسر اختراع شد (گلاسر، ۱۹۵۵). در اتاقک حباب، در مسایعی فوق گرم به علت گرمای موضعی ایجاد شده در مسیر حرکت یک ذره باردار، دنباله‌ای از حباب‌ها شکل می‌گیرد. حالت فوق گرم مایع با کاهش سریع فشار، و با شروع از یک فشار تعادل به اندازه کافی بالا که مانع جوشیدن می‌شود، به دست می‌آید. معمولاً از رد حباب‌ها در سه وضعیت متفاوت عکس برداری می‌کنند. سپس عکسها را مورد تجزیه و تحلیل قرار می‌دهند تا اطلاعات لازم درباره ذراتی که رد‌ها را تولید کرده‌اند، به دست آید. مشخصات اصلی اتاقک حباب در شکل ۳.۰ نموده شده است.

رد گرمای ایجاد شده توسط عبور ذره باردار از اتاقک حباب، در مدتی کمتر از  $10^{-6}$  ثانیه سرد می‌شود. از آنجایی که به کار انداختن اتاقک حباب چندین میلی ثانیه طول می‌کشد، امکان اینکه از شمار گره‌ها برای به کار انداختن اتاقک حباب به نحوی استفاده شود که فقط انواع خاصی از رویدادها را انتخاب کند، وجود ندارد. لازم است که مایع



شکل ۳.۹ مشخصات اصلی اتاقک حباب.

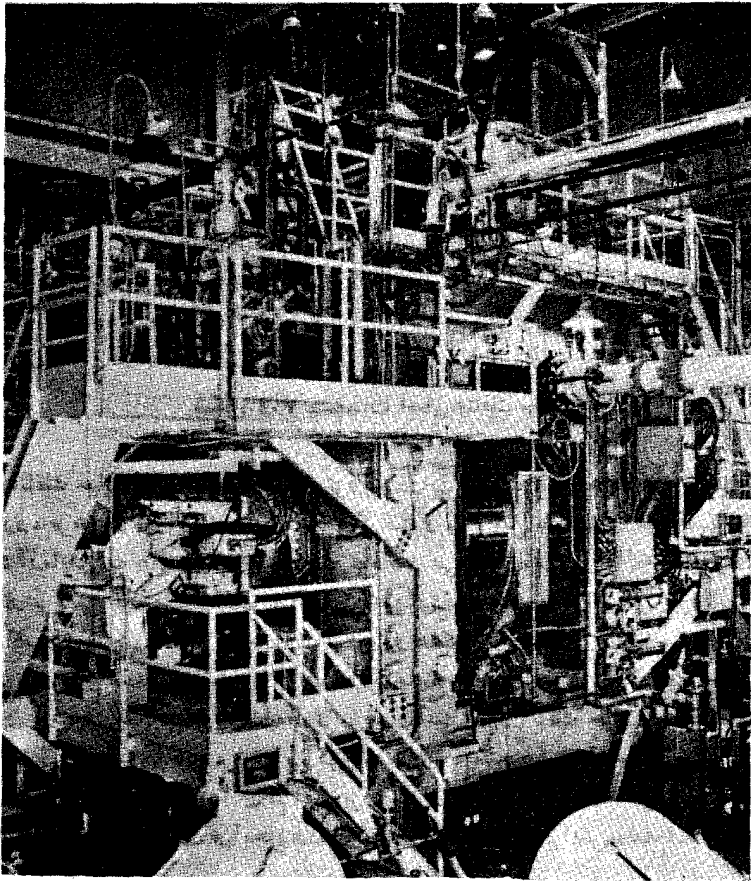
درون اتاقک حباب را لحظه‌ای قبل از تزریق ذرات از یک شتابدهنده، به حالت فوق گرم درآورد، و هربار از اتاقک حباب عکس گرفت و بعداً این عکسها را که اغلب تعداد آنها در یک آزمایش به ۱۰۰,۰۰۰ تا ۱,۰۰۰,۰۰۰ می‌رسند، مورد مطالعه قرار داد. نظر به ابعاد کار بررسی عکسهای اتاقک حباب، کوششهای قابل ملاحظه‌ای برای خودکار کردن آن توسط کامپیوترها صورت گرفته است (آلستون و همکاران، ۱۹۶۷ و هوق، ۱۹۶۷).

نوعهای مختلف مایعات، از هیدروژن مایع به عنوان مایمی با کمترین چگالی گرفته تا زنون به عنوان چگالترین آنها، به‌طور موفقیت آمیزی در اتاقک حباب مورد استفاده قرار گرفته‌اند. اتاقکهای حباب ابتدایی کوچک بودند، با حجمی تا حدود چند لیتر، ولی اتاقکهای حباب بزرگی با حجم مفید بزرگتر از ۲۰۰۰۰ لیتر به منظور افزایش آهنگ مشاهده رویدادهای کمیاب و ایجاد ردهای طولانیتر، برای افزایش دقت اندازه‌گیریها، ساخته شده‌اند.

فضای حساس یک اتاقک حباب را معمولاً در یک میدان مغناطیسی قوی قرار می‌دهند، و بدین ترتیب می‌توانند به کمک شعاع انحنای رد، تکانه ذره را تعیین کنند.

شکل ۳.۱۰ می‌تواند تا حدودی از پیچیدگیهای اتاقک حباب تصویری به دست دهد. یک نمونه از عکسهای اتاقک حباب در شکل ۳.۱۰ آمده شده است. ردها به خاطر تأثیر میدان مغناطیسی خمیده شده‌اند.

يك بررسی مقدماتی بسیار خواندنی دربارهٔ اتاقکهای حباب و کاربردهایشان در فصلهای اول و آخر شوت (۱۹۶۷) توسط تورندايك ارائه شده است. برای توضیحات بیشتر می‌توانید به کئیون (۱۹۷۲)، بولاك (۱۹۷۵) و هندرسن (۱۹۷۵) مراجعه کنید. اطلاعات مفصلتر در شوت (۱۹۶۷) ارائه شده است.



شکل ۴.۹ تصویری از اتاقك حباب ۲ متری با هیدروژن مایع که در BNL ساخته شده است. اتاقك با ۲۵۵ سانتیمتر طول، ۶۷ سانتیمتر عرض و ۶۵ سانتیمتر عمق در مرکز سازهٔ مغناطیسی قرار دارد که در تصویر دیده می‌شود. تصاویر ردها توسط دوربینهایی که در طرف چپ دیده می‌شوند، گرفته می‌شوند.



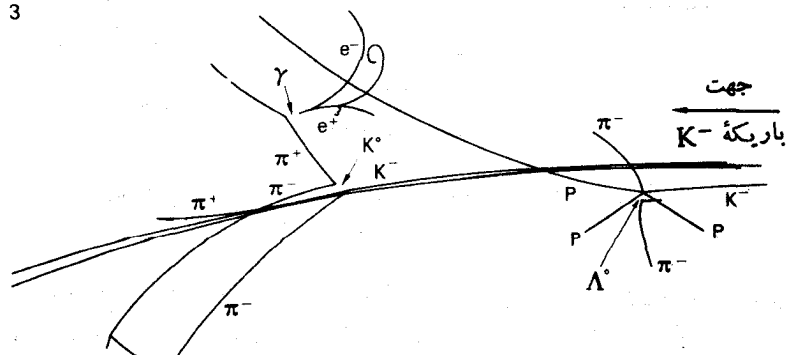
1



2



3

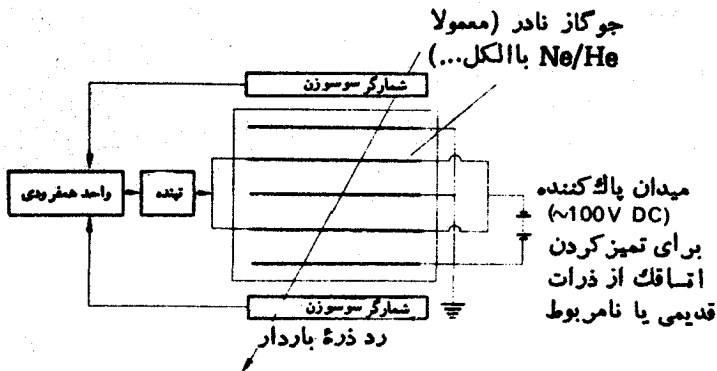


شکل ۵.۹ سه تاییه استریویی از اتاقک حباب آزمایشگاه رادرفورد در کالج دانشگاهی لندن، و تفسیر قسمتی از رویدادها.

## ۶.۶ اتاقک جرقه

نوعهای مختلفی از اتاقک جرقه موجودند. ابتدا اتاقک جرقه رد - نمونه گیر را در نظر می گیریم که اتاقک جرقه باگاف باریک نیز نامیده می شود، و آن از يك سری الکترودهای متوازی با فاصله‌هایی به پهنای تقریبی ۱ سانتیمتر تشکیل می شود که در شکل ۶.۶ نموده شده است. در این نوع اتاقکها، بین الکترودهای مجاور میدان الکتریکی کافی اعمال می شود که بتواند در هر جایی که گاز یونیده باشد، تخلیه الکتریکی ایجاد کند، ولی بدون حضور یونش تخلیه‌ای صورت نمی گیرد. بدین ترتیب، رد يك ذره باردار از میان اتاقک جرقه توسط يك سری جرقه مشخص می شود. میدان الکتریکی فقط برای مدت کوتاهی، حدود يك میکروثانیه، عمل می کند و می تواند به اندازه کافی سریع به کار گرفته شود، به طوری که یونش ایجاد شده توسط عبور لحظه‌ای ذرات از میان اتاقک بتواند باعث ایجاد جرقه‌ها شود. اتاقک جرقه این امتیاز را دارد که می توان با استفاده از علائم شمارگرها آن را به کار انداخت. ساده ترین حالتی که با عبور يك ذره از میان اتاقک، اتاقک شروع به کار می کند، در شکل ۶.۶ نموده شده است. در اتاقک جرقه باگاف باریک، اگر چه هر جرقه به تعقیب رد ذره یوننده تمایل دارد، ولی اساساً نمونه‌هایی از مسیر ذره در يك سری محلهای جدا از هم به دست می آیند.

در اتاقکهای جرقه باگاف پهن، فاصله الکترودها حدود ۳۰-۴۰ سانتیمتر است، و جرقه‌ها رد ذره یوننده را تا زاویه  $45^\circ$  نسبت به میدان اعمال شده تعقیب می کنند.

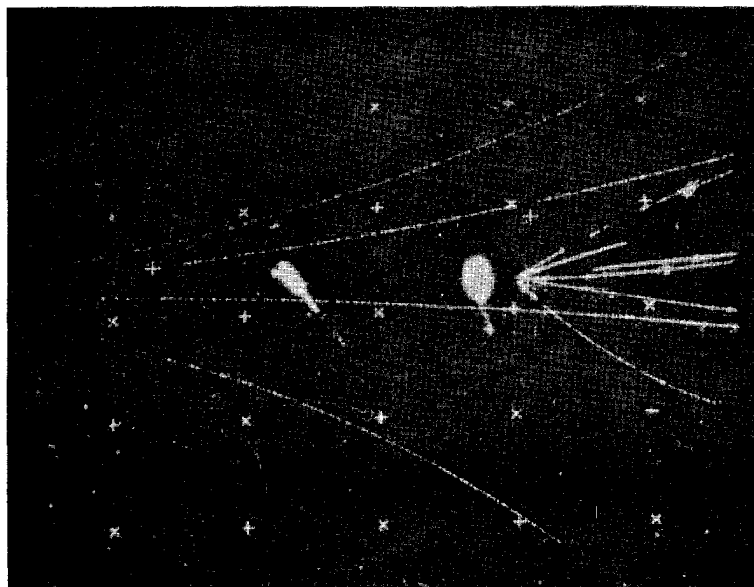


شکل ۶.۶ اتاقک جرقه باگاف باریک چند صفحه‌ای، کاراندازی با استفاده از شمارگر سوسون.

در اتاقک جریان، تخلیه الکتریکی امکان گسترش کامل را پیدا نمی کند و فقط جریانهای کوچک قابل رؤیت باقی می ماند که رد ذره یوننده را می نمایانند. در این اتاقکها الکترودها شفاف هستند و میدان الکتریکی در راستای عمود بر رد ذره اعمال می شود. شکل ۶.۷ نمونه تصویری از اتاقک جریان را نشان می دهد.

در نخستین اتاقکهای جرقه از عکسبرداری استریوسکوپیکی برای ضبط مکان جرقه استفاده می کردند. ولی امروزه از چندین روش خودکار الکترونیکی برای خواندن مستقیم عددی مکان جرقه ها استفاده می شود. در برخی موارد، با استفاده از این روشها می توان داده ها را برای تجزیه و تحلیل مستقیماً از اتاقکهای جرقه به کامپیوتر فرستاد. برای جزئیات بیشتری راجع به اتاقکهای جرقه خودکار، که اتاقکهای جرقه بدون فیلم هم نامیده می شوند، به لئوینگر (۱۹۷۰) و چارپاک (۱۹۷۰) مراجعه کنید.

شرح مقدماتی اتاقکهای جرقه را می توانید در اونیل (۱۹۶۲) پیدا کنید. توضیحات مفیدی در این مورد توسط لئوینگر (۱۹۷۰) ارائه شده است. برای اطلاعات مفصلتر می توانید به شوت (۱۹۶۷) مراجعه کنید.



شکل ۷.۹ رویدادی از اتاقک جریان که چهار رد زمینه، یک رأس پنج شاخه ای، و یک واپاشی دوشاخه ای را نشان می دهد.

## مراجع

- Alston, M., J. V. Franck and L. T. Kerth, 'Conventional and Semi-automatic Data Processing and Interpretation', Vol. II of Shutt (1967), p. 52.

- Birks, J. B., *The Theory and Practice of Scintillation Counting*, 1964. Pergamon Press, Oxford.
- Blewett, M. H., 'Characteristics of typical accelerators', *Ann. Rev. Nucl. Sci.*, **17** (1967) 427.
- Blewett, M. H., 'Future prospects for high-energy accelerators', *Proc. Lund Int. Conf. on Elementary Particles*, 1969, p. 111.
- Bullock, F. W., 'Bubble chambers', *Sci. Prog. Oxf.*, **58** (1970) 301.
- Charpak, G., 'Evolution of the automatic spark chambers', *Ann. Rev. Nucl. Sci.*, **20** (1970) 195.
- Courant, E. D., 'Accelerators for high intensities and high energies', *Ann. Rev. Nucl. Sci.*, **18** (1968) 435.
- Gibson, W. M., 'Counter experiments on elementary particles', *Sci. Prog., Oxf.*, **58** (1970) 201.
- Glaser, D. A., 'The bubble chamber', *Sci. Am.*, February 1955. (available as reprint 214, Freeman, San Francisco.)
- Gouiran, R., *Particles and Accelerators*, 1967, McGraw-Hill, New York.
- Henderson, C., *Cloud and Bubble Chambers*, 1970. Methuen, London.
- Hough, P. V. C., 'Fast precision digitizers on-line to computers measurement and scanning', Vol. II of Shutt (1967), p. 141.
- Hutchinson, G. W., 'Cerenkov detectors', *Prog. Nucl. Phys.*, **8** (1960) 195.
- Isr Staff., 'First observation of colliding beam events in the CERN intersecting storage rings', *Phys. Lett.*, **34B** (1971) 425. See also *Physics Today*, April 1971, p. 17.
- Kenyon, I. R., 'Bubble chamber film analysis', *Contemp. Phys.*, **13** (1972) 75.
- Loebinger, F. K., 'Spark chambers', *Sci. Prog. Oxf.*, **58** (1970) 459.
- Livingston, M. S. and Blewett, J. P., *Particle Accelerators*, 1962. McGraw-Hill, New York.
- O'Neill, G.K., 'The spark chamber', *Sci. Am.*, August 1962. (available as reprint 282, Freeman, San Francisco); 'Particle storage rings', *Sci. Am.*, November 1966, p. 107.
- Powell, C. F., P.H. Fowler and D. H. Perkins, *The Study of Elementary Particles by the Photographic Method*, 1959. Pergamon, New York.



- Rosenblatt, J., *Particle Acceleration*, 1968. Methuen, London.
- Segré, E., *Nuclei and Particles*, 1964. Benjamin, New York.
- Shutt, R. P. (editor), *Bubble and Spark Chambers*, 2 volumes, 1967. Academic Press, New York. In particular Thorndike, A. M., 'Introduction', 'Summary and future outlook'.
- Wilson, R., 'Particle accelerators', *Sci. Am*, March 1958). available as reprint 251, Freeman, San Francisco.)

# پیوست ز

## فهرست ذرات

جدول ز ۱۰ خواص ذرات و اطلاعات مختصری راجع به ذرات.

فوتون					
نام	$J$	جرم، $M$ (MeV)	عمر میانگین (s)	پاره - مدهای واپاشی	
			نسبت (%)		
			مد		
$\gamma$	$J^P = 1^-$	جرم صفر	پایدار		
لپتونها					
نام	$J$	جرم، $M$ (MeV)	عمر میانگین (s)	پاره - مدهای واپاشی	
$\nu_e$	$\frac{1}{2}$	$0 (< 60\text{eV})$	پایدار		
$\nu_\mu$	$\frac{1}{2}$	$0 (< 1.6)$	پایدار		
$e$	$\frac{1}{2}$	$0.5110041$ $\pm 0.0000016$	پایدار $(> 2 \times 10^{21}$ سال)		
$\mu$	$\frac{1}{2}$	$105.6599$ $\pm 0.0014$	$2.1983 \times 10^{-6}$ $\pm 0.0008$	$e\bar{\nu}$ $e\gamma\gamma$ $3e$ $e\bar{\nu}$	$100\%$ $< 1.6 \times 10^{-5}$ $< 1.3 \times 10^{-7}$ $< 2.2 \times 10^{-8}$
هادرونها					
مزونها					
نام	$J^P, J^C$ (برای خنثی ها)	جرم، $M$ (MeV)	بهنا، $\Gamma$ (MeV)	پاره - مدهای واپاشی	
			نسبت (%)		
			مد		
$\pi^\pm$	$1^-, 0^-$	$139.576$ $\pm 0.011$	$0.0$ عمر متوسط = $(2.6024 \pm 0.0024) \times 10^{-8}$ ثانیه	$\mu\nu$ $e\nu$ $\mu\nu\gamma$ $\pi^0 e\nu$ $e\nu\gamma$ $e\nu e^+ e^-$	$100$ $(1.24 \pm 0.03)10^{-2}$ $(1.24 \pm 0.25)10^{-2}$ $(1.02 \pm 0.07)10^{-6}$ $(3.0 \pm 0.5)10^{-6}$ $< 3.4 \times 10^{-6}$

نام	$I^C, J^P, C$ (برای خنثی‌ها)	جرم، $M$ (MeV)	پهنای، $\Gamma$ (MeV)	بارہ - مدهای واپاشی	
				مد	نسبت (%)
$\pi^0$	$1^-, 0^-, +$	$134.972 \pm 0.012$	$7.2 \text{ eV} \pm 1.2 \text{ eV}$ عمر متوسط = $(0.84 \pm 0.10) \times 10^{-16}$ ثانیه	$\gamma\gamma$ $\gamma e^+ e^-$	$(98.84 \pm 0.04)$ $(1.16 \pm 0.04)$
$\eta(549)$	$0^+, 0^-, +$	$548.8 \pm 0.6$	$2.63 \text{ keV} \pm 0.59 \text{ keV}$	$\gamma\gamma\gamma$ $e^+ e^- e^+ e^-$ $\gamma\gamma$ $\pi^0 \gamma\gamma$ $3\pi^0$ $\pi^+ \pi^- \pi^0$ $\pi^+ \pi^- \gamma$ $\pi^0 e^+ e^-$ $\pi^+ \pi^- e^+ e^-$ $\pi^+ \pi^- \pi^0 \gamma$ $\pi^+ \pi^- \gamma\gamma$ $\mu^+ \mu^-$ $\mu^+ \mu^- \pi^0$	$< 0.0005$ $0.00347$ $38.6 \pm 1.1$ $3.3 \pm 1.1$ $30.3 \pm 1.1$ $23.1 \pm 1.0$ $4.7 \pm 0.2$ $< 0.03$ $0.1 \pm 0.1$ $< 0.2$ $< 0.2$ $(2 \pm 1) 10^{-3}$ $< 0.05$
$\eta_{0+}$ (700-1000) $\epsilon$ یا	$0^+, 0^+, +$	$\geq 750$	$>> 100$	$\pi\pi$	100
$\rho(765)$	$1^+, 1^-, -$	$765 \pm 10$	$125 \pm 20$	$\pi\pi$ $e^+ e^-$ $\mu^+ \mu^-$	$\approx 100$ $0.0060 \pm 0.0008$ $0.0067 \pm 0.0012$
$\omega(784)$	$0^-, 1^-, -$	$783.9 \pm 0.3$	$11.4 \pm 0.9$	$\pi^+ \pi^- \pi^0$ $\pi^+ \pi^-$ $\pi^0 \gamma$ $e^+ e^-$	$89.8 \pm 4.0$ $0.93 \pm 0.25$ $9.3 \pm 1.2$ $0.0066 \pm 0.0017$
$\eta'(958)$ یا $X^0$ یا $2^-$	$0^+, -, /+$ $J^P = 0^-$	$957.5 \pm 0.8$	$< 4$	$\eta\pi\pi$ $\pi^+ \pi^- \gamma$ (عمدتاً $\rho^0 \gamma$ ) $\gamma\gamma$	$64.0 \pm 5.0$ $29.4 \pm 2.7$ $6.6 \pm 3.7$
$\delta(962)$	$\geq 1, ,$	$962 \pm 5$	$< 5$		
$\pi_N(975)$	$1^-, 0^+, +$	$975 \pm 10$	$58 \pm 11$	$\eta\pi$ احتمالاً دیده شده	تفسیر این سه هنوز روشن نیست
$\pi_N(1016)$	$1^-, 0^+, +$	$1016 \pm 10$	$\approx 25$	تنها مد دیده شده $K^\pm K^0$	
$\phi(1019)$	$0^-, 1^-, -$	$1019.5 \pm 0.6$	$4.0 \pm 0.3$	$\eta\pi$ $K^+ K^-$ $K_L K_S$ $\pi^+ \pi^- \pi^0$ $e^+ e^-$ $\mu^+ \mu^-$	
$\eta_{0+}$ (1060)	$0^+, 0^+, +$	$1070 \pm 30$	$150-300$	$\pi\pi$ $KK$	$< 65$ $> 35$
$A_1$ (1070)	$1^-, 1^+, +$	$1070 \pm 20$	$50-200$	$3\pi$ $KK$	$\approx 100$ $< 0.25$

نام	$J^P, J^P, C$ (of neutrals)	جرم $M$ (MeV)	پهنا $\Gamma$ (MeV)	پاره - مدهای واپاشی	
				مد	نسبت (%)
$B(1235)$	$1^+, 1^+, -$	$1233 \pm 10$	$100 \pm 20$	$\omega\pi$ $\pi\pi$ $KK$	$\approx 100$ $< 30$ $< 2$
$f(1260)$	$0^+, 2^+, +$	$1269 \pm 10$	$154 \pm 25$	$\pi\pi$ $2\pi^+ 2\pi^-$ $KK$	$\approx 80$ $7 \pm 2$ $\approx 5$
$D(1285)$	$0^+, A, +$	$1286 \pm 4$	$33 \pm 4$	$K\bar{K}\pi$ [عمدتاً $\pi_N(1016)$ ] $\pi\pi\eta$ $\pi_N(975)\pi$ $\pi\pi\rho$	دیده شده ممکن است بزرگ باشد احتمالاً دیده شده دیده نشده
$A_2$	$1^-, 2^+, +$	$\approx 1300$		$\rho\pi$ $KK$ $\eta\pi$ $\eta(958)\pi$	
$E(1422)$	$0^+, 0^-, +$	$1422 \pm 4$	$69 \pm 8$	$K^*K + \bar{K}^*K$ $\pi_N(1016)\pi$ $\pi\pi\eta$ $\pi\pi\rho$	$50 \pm 10$ $50 \pm 10$ $< 60$ دیده نشده
$f'(1514)$	$0^+, 2^+, +$	$1514 \pm 5$	$73 \pm 23$	$K\bar{K}$ $K^*K + \bar{K}^*K$ $\pi\pi$ $\eta\pi\pi$ $\eta\eta$	$72 \pm 12$ $10 \pm 10$ $< 14$ $18 \pm 10$ $< 40$
$\pi/\rho$ (1540) $F_{14}$	$1, A$	$1540 \pm 5$	$40 \pm 15$	$K^*K + \bar{K}^*K$	
$\pi_A(1640)$	$1^-, A, +$	$1640 \pm 10$	$50-200$	$f\pi$ $3\pi$ $\omega\pi\pi$	مسلط احتمالاً مشاهده شده
$\phi_N$ (1650)	$0^-, N, -$	$1664 \pm 13$	$141 \pm 17$	$\rho\pi$ $3\pi$ $5\pi$	مسلط احتمالاً مشاهده شده $10 \pm 10$
$\rho_N(1660)$ $g_4$	$1^+, N, -$	$1660 \pm 20$	$\leq 200$	$2\pi$ $K\bar{K}$	مسلط $7 \pm 3$
$\rho(1710)$	$1^+, , -$	$1712 \pm 10$	$125 \pm 25$	$4\pi$ $\pi^\pm A_2^0$ $\pi^\pm \omega$ $\rho^\pm \rho^0$ $\pi^\pm \phi$ $\pi^\pm 2\pi^+ 2\pi^- \pi^0$ $\pi\pi\rho$	ممکن است $\rho_N(1660)$ و $\rho(1710)$ تشدیدهایی متفاوت نباشند

نام	$I^G, J^P$	جرم، $M$ (MeV)	پهنای، $\Gamma$ (MeV)	پاره-مدهای وایاشی	
				مد	نسبت (%)
مزونهای با $Y = \pm 1$ ، علامت $K$					
$K^{\pm}$	$\frac{1}{2}, 0^{-}$	493.84 $\pm 0.11$	= عمر متوسط (1.2371 $\pm 0.0026$ ) $\times 10^{-8}$ ثانیه	$\mu\nu$ $\pi\pi^0$ $\pi\pi^+\pi^-$ $\pi\pi^0\pi^0$ $\mu\pi^0\nu$ $e\pi^0\nu$ $\pi\pi^{\pm}e^{\pm}\nu$ $\pi\pi^{\pm}e^{\mp}\nu$ $\pi\pi^{\mp}\mu^{\pm}\nu$ $\pi\pi^{\pm}\mu^{\mp}\nu$ $e\nu$ $\pi\pi^0\gamma$ $\pi\pi^+\pi^-\gamma$ $\pi e\nu\gamma$ $\pi e^+e^-$ $\pi\mu^+\mu^-$ $\pi\gamma\gamma$ $\pi\nu\bar{\nu}$ $\pi\gamma$	63.77 $\pm$ 0.28 20.92 $\pm$ 0.29 5.58 $\pm$ 0.03 1.68 $\pm$ 0.04 3.20 $\pm$ 0.11 4.86 $\pm$ 0.07 (3.3 $\pm$ 0.3) $10^{-3}$ ( $<$ 7) $10^{-5}$ (0.9 $\pm$ 0.4) $10^{-3}$ ( $<$ 3) $10^{-4}$ (1.30 $\pm$ 0.18) $10^{-3}$ ( $<$ 1.9) $10^{-2}$ (10 $\pm$ 4) $10^{-3}$ $10^{-2}$ ( $<$ 0.4) $10^{-4}$ ( $<$ 2.4) $10^{-4}$ ( $<$ 0.4) $10^{-2}$ ( $<$ 1.2) $10^{-4}$ ( $<$ 4) $10^{-4}$
$K^0$	$\frac{1}{2}, 0^{-}$	497.79 $\pm$ 0.15	کوتای، $K_1$ 50%	$50\%_0 K_1$ بلند	
$K_S^0$	$\frac{1}{2}, 0^{-}$		= عمر متوسط (0.862 $\pm 0.006$ ) $\times 10^{-10}$	$\pi^+\pi^-$ $\pi^0\pi^0$ $\mu^+\mu^-$ $e^+e^-$ $\pi^+\pi^-\gamma$	68.7 $\pm$ 0.5 31.3 $\pm$ 0.5 ( $<$ 0.7) $10^{-3}$ $<$ 0.035 0.23 $\pm$ 0.08
$K_L^0$	$\frac{1}{2}, 0^{-}$		= عمر متوسط (5.172 $\pm 0.043$ ) $\times 10^{-8}$	$\pi^0\pi^0\pi^0$ $\pi^+\pi^-\pi^0$ $\pi\mu\nu$ $\pi e\nu$ $\pi^+\pi^-$ $\pi^0\pi^0$ $\pi^+\pi^-\gamma$ $\gamma\gamma$ $e\mu$ $\mu^+\mu^-$ $e^+e^-$	21.4 $\pm$ 0.7 12.6 $\pm$ 0.3 26.8 $\pm$ 0.6 38.9 $\pm$ 0.6 0.157 $\pm$ 0.005 0.094 $\pm$ 0.019 $<$ 0.04 (5.6 $\pm$ 0.5) $10^{-2}$ ( $<$ 1.6) $10^{-7}$ ( $<$ 1.9) $10^{-7}$ ( $<$ 1.6) $10^{-7}$
$K^*(892)$	$\frac{1}{2}, 1^{-}$	892.6 $\pm 0.5$	50.3 $\pm 1.1$	$K\pi$ $K\pi\pi$	$\approx 100$ 0.2
$K_A$ (1240) or $C$	$\frac{1}{2}, 1^{+}$	1242 $\pm 10$	127 $\pm 25$	$K\pi\pi$	
$K_N$ (1420) or $K^{**}$	$\frac{1}{2}, 2^{+}$	1408 $\pm 10$	107 $\pm 15$	$K\pi$ $K^*\pi$ $K\rho$ $K\omega$ $K\eta$	56.9 $\pm$ 4.0 27.4 $\pm$ 3.2 9.2 $\pm$ 3.5 4.5 $\pm$ 1.8 2.0 $\pm$ 1.8
$L(1770)$	$\frac{1}{2}, A$	1770 $\pm 10$	50-140	$K\pi\pi$ $K\pi\pi\pi$	مسلط احتمالا دیده شده

## باریونها

نام	$I^G, J^P$	جرم، $M$ (MeV)	پهنای، $\Gamma$ (MeV)	پاره - مدهای واپاشی	
				مد	نسبت (%)
$N$ باریونهای با $I = \frac{1}{2}$ ، $Y = 1$ ، علامت					
$p$	$\frac{1}{2}, \frac{1}{2}^+$	938.2592 $\pm 0.0052$	پایدار عمر متوسط $> 2 \times 10^{28}$ سال		
$n$	$\frac{1}{2}, \frac{1}{2}^+$	939.5527 $\pm 0.0052$	عمر متوسط = (0.932 $\pm 0.014$ ) $\times 10^3$ ثانیه	$pe^- \nu$	100
$N'(1470)$	$\frac{1}{2}, \frac{1}{2}^+$	1435-1505	165-400	$N\pi$ $N\pi\pi$	60 40
$N'(1520)$	$\frac{3}{2}, \frac{3}{2}^-$	1510-1540	105-150	$N\pi$ $N\pi\pi$ $N\eta$	50 50 ~0.6
$N'(1535)$	$\frac{1}{2}, \frac{1}{2}^-$	1500-1600	50-160	$N\pi$ $N\eta$ $N\pi\pi$	35 55 ~10
$N(1670)$	$\frac{1}{2}, \frac{5}{2}^-$	1655-1680	105-175	$N\pi$ $N\pi\pi$ $\Lambda K$ $N\eta$	40 60 <0.3 <1
$N(1688)$	$\frac{1}{2}, \frac{5}{2}^+$	1680-1692	105-180	$N\pi$ $N\pi\pi$ $\Lambda K$ $N\eta$	60 40 <0.2 <0.5
$N''(1700)$	$\frac{1}{2}, \frac{1}{2}^-$	1665-1765	100-400	$N\pi$ $\Lambda K$ $N\eta$	65 5
$N''(1780)$	$\frac{1}{2}, \frac{1}{2}^+$	1650-1860	50-450	$N\pi$ $\Lambda K$ $N\eta$	30 ~7 ~10
$N(1860)$	$\frac{1}{2}, \frac{3}{2}^+$	1770-1900	180-330	$N\pi$ $N\pi\pi$ $\Lambda K$ $N\eta$	25 ~5 ~4
$N(2190)$	$\frac{1}{2}, \frac{7}{2}^-$	2000-2260	270-325	$N\pi$ $N\pi\pi$	25
$N(2220)$	$\frac{1}{2}, \frac{9}{2}^+$	2200-2245	260-330	$N\pi$ $N\pi\pi$	15
$N(2650)$	$\frac{1}{2}, ?^-$	2650	360	$N\pi$ $N\pi\pi$	
$N(3030)$	$\frac{1}{2}, ?$	3030	400	$N\pi$ $N\pi\pi$	

نام	$J^G, J^P$	جرم، $M$ (MeV)	پهنای، $\Gamma$ (MeV)	پاره-مدهای واپاشی	
				نسبت (%)	مد
<b><math>\Delta</math> باریونهای با <math>Y=1, I=\frac{3}{2}</math>، علامت <math>\Delta</math></b>					
$\Delta(1236)$	$\frac{3}{2}, \frac{3}{2}^+$	1230-1236	110-122	$N\pi$ $N\pi^+\pi^-$ $N\gamma$	99.4 0 ~0.6
$\Delta(1650)$	$\frac{3}{2}, \frac{1}{2}^-$	1615-1695	130-200	$N\pi$ $N\pi\pi$	28 72
$\Delta(1670)$	$\frac{3}{2}, \frac{3}{2}^-$	1650-1720	175-300	$N\pi$ $N\pi\pi$	15
$\Delta(1890)$	$\frac{3}{2}, \frac{5}{2}^+$	1840-1920	135-350	$N\pi$ $N\pi\pi$	17
$\Delta(1910)$	$\frac{3}{2}, \frac{1}{2}^+$	1780-1935	230-420	$N\pi$ $N\pi\pi$	25
$\Delta(1950)$	$\frac{3}{2}, \frac{7}{2}^+$	1930-1980	140-220	$N\pi$ $\Delta(1236)\pi$ $\Sigma K$ $\Sigma(1385)K$	45 $\approx 50$ $\sim 2$ 1.4
$\Delta(2420)$	$\frac{3}{2}, \frac{1}{2}^+$	2320-2450	270-350	$N\pi$ $N\pi\pi$	11 > 20
$\Delta(2850)$	$\frac{3}{2}, ?^+$	2850	400	$N\pi$ $N\pi\pi$	
$\Delta(3230)$	$\frac{3}{2}, ?$	3230	440	$N\pi$ $N\pi\pi$	
<b><math>\Lambda</math> باریونهای با <math>Y=0, I=0</math>، علامت <math>\Lambda</math></b>					
$\Lambda$	$0, \frac{1}{2}^+$	1115.59 $\pm 0.06$	عمر متوسط = (2.517 $\pm 0.024$ ) ثانیه $\times 10^{-10}$	$p\pi^-$ $n\pi^0$ $p\pi^0$ $p\mu\nu$	64.0 $36.0 \pm 0.7$ $0.080 \pm 0.006$ $(1.35 \pm 0.60)10^{-2}$
$\Lambda(1405)$	$0, \frac{1}{2}^-$	$1405 \pm 5$	$40 \pm 10$	$\Sigma\pi$	100
$\Lambda'(1520)$	$0, \frac{3}{2}^-$	$1518 \pm 2$	$16 \pm 2$	$\bar{N}\bar{K}$ $\Sigma\pi$ $\Lambda\pi\pi$ $\Sigma\pi\pi$	$46 \pm 1$ $41 \pm 1$ $9.6 \pm 0.7$ $1.0 \pm 0.1$
$\Lambda''(1670)$	$0, \frac{1}{2}^-$	1670	15-38	$\bar{N}\bar{K}$ $\Lambda\eta$ $\Sigma\pi$	$\sim 20$ $\sim 35$ $\sim 45$
$\Lambda'''(1690)$	$0, \frac{3}{2}^-$	1690	27-85	$\bar{N}\bar{K}$ $\Sigma\pi$ $\Lambda\pi\pi$ $\Sigma\pi\pi$	$\sim 30$ $\sim 40$ $\sim 20$ $\sim 10$
$\Lambda(1815)$	$0, \frac{5}{2}^+$	$1820 \pm 5$	64 to 100	$\bar{N}\bar{K}$ $\Sigma\pi$ $\Sigma(1385)\pi$	62 11 17
$\Lambda(1830)$	$0, \frac{5}{2}^-$	1835	74-150	$\bar{N}\bar{K}$ $\Sigma\pi$	$\sim 10$ $\sim 30$

نام	$I^G, J^P$	جرم، $M$ (MeV)	پهنای، $\Gamma$ (MeV)	پاره-مدهای واپاشی	
				مد	(نسبت (%))
$\Lambda(2100)$	$0, \frac{1}{2}^-$	2100	60-140	$\bar{N}\bar{K}$ $\Sigma\pi$ $\Lambda\eta$ $\Xi K$ $\Lambda\omega$	25 ~5 <3  <10
$\Lambda(2350)$	$0, ?$	2350	140-324	$\bar{N}\bar{K}$	

$\Sigma$  باریونهای با  $I=1, Y=0$ ، علامت  $\Sigma$

$\Sigma^+$	$1, \frac{1}{2}^+$	1189.42 $\pm 0.11$	عمر متوسط = (0.800 $\pm 0.006$ ) $\times 10^{-10}$	$p\pi^0$	51.7
				$n\pi^+$	$48.3 \pm 0.8$
				$p\gamma$	$0.124 \pm 0.018$
				$n\pi^+\gamma$	$(1.30 \pm 0.24)10^{-2}$
				$\Lambda e^+ \nu$	$(2.02 \pm 0.47)10^{-3}$
$\Sigma^0$	$1, \frac{1}{2}^+$	1192.51 $\pm 0.10$	عمر متوسط = < 1.0 $\times 10^{-14}$ ثانیه	$\Lambda\gamma$	100
				$\Lambda e^+ e^-$	0.545
				$n\pi^-$	100
				$ne^- \nu$	$0.109 \pm 0.005$
				$n\mu^- \nu$	$0.045 \pm 0.004$
$\Sigma^-$	$1, \frac{1}{2}^+$	1197.37 $\pm 0.07$	عمر متوسط = (1.489 $\pm 0.022$ ) $\times 10^{-10}$ ثانیه	$\Lambda e^- \nu$	$(0.6 \pm 0.06)10^{-2}$
				$n\pi^- \gamma$	$(1.0 \pm 0.2) 10^{-2}$
				$\Lambda\pi$	$90 \pm 3$
				$\Sigma\pi$	$10 \pm 3$
				$\Sigma(1385)$	$1, \frac{3}{2}^+$
$\Sigma(1670)$	$1, \frac{3}{2}^-$	1670	50	$\bar{N}\bar{K}$	~8
				$\Sigma\pi$	
				$\Lambda\pi$	
				$\Sigma\pi\pi$	
				$\Lambda\pi\pi$	
$\Sigma(1750)$	$1, \frac{1}{2}^-$	1750	50-80	$\bar{N}\bar{K}$	~15
				$\Lambda\pi$	seen
				$\Sigma\eta$	seen
$\Sigma(1765)$	$1, \frac{5}{2}^-$	$1765 \pm 5$	~120	$\bar{N}\bar{K}$	~44
				$\Lambda\pi$	~15
				$\Lambda(1520)\pi$	~14
				$\Sigma(1385)\pi$	~13
				$\Sigma\pi$	~1
$\Sigma(1915)$	$1, \frac{5}{2}^+$	1910	70	$\bar{N}\bar{K}$	~11
				$\Lambda\pi$	
				$\Sigma\pi$	
$\Sigma(2030)$	$1, \frac{7}{2}^+$	2030	100-170	$\bar{N}\bar{K}$	10-27
				$\Lambda\pi$	14-38
				$\Sigma\pi$	2-5
				$\Xi K$	<2



نام	$J^G, J^P$	جرم، $M$ (MeV)	پهنای، $\Gamma$ (MeV)	پاره - مدهای واپاشی	
				نسبت (%)	مد
$\Sigma(2250)$	$1, ?$	2250	100-230	$\bar{N}\bar{K}$ $\Sigma\pi$ $\Lambda\pi$	
$\Sigma(2455)$	$1, ?$	2455	$\sim 120$	$\bar{N}\bar{K}$	
$\Sigma(2620)$	$1, ?$	2620	$\sim 175$	$\bar{N}\bar{K}$	

$\Xi$  باریونهای با  $Y = -1$ ،  $I = \frac{1}{2}$ ، علامت  $\Xi$

$\Xi^0$	$\frac{1}{2}, \frac{1}{2}^+$	1314.7 $\pm 0.7$	عمر متوسط = (3.03 $\pm 0.18$ ) $\times 10^{-10}$	$\Lambda\pi^0$ $\rho\pi^-$ $\rho e^- \nu$ $\Sigma^+ e^- \nu$ $\Sigma^- e^+ \nu$ $\Sigma^+ \mu^- \nu$ $\Sigma^- \mu^+ \nu$ $\rho\mu^- \nu$	100 <0.09 <0.13 <0.15 <0.15 <0.15 <0.15 <0.13
$\Xi^-$	$\frac{1}{2}, \frac{1}{2}^+$	1321.31 $\pm 0.17$	عمر متوسط = (1.660 $\pm 0.037$ ) $\times 10^{-10}$ ثانیه	$\Lambda\pi^-$ $\Lambda e^- \nu$ $\Sigma^0 e^- \nu$ $\Lambda\mu^- \nu$ $\Sigma^0 \mu^- \nu$ $n\pi^-$ $ne^- \nu$	100 $0.067 \pm 0.023$ <0.05 <0.13 <0.5 <0.11 <1.0
$\Xi(1530)$	$\frac{1}{2}, \frac{3}{2}^+$	(0)1528.9 $\pm 1.1$ (-)1533.8 $\pm 1.9$	$7.3 \pm 1.7$	$\Xi\pi$	100
$\Xi(1820)$	$\frac{1}{2}, ?$	1795-1870	12-99	$\Lambda\bar{K}$ $\Xi\pi$ $\Xi(1530)\pi$ $\Sigma K$	کلیه مدهای چهارگانه واپاشی دیده شده اند
$\Xi(1940)$	$\frac{1}{2}, ?$	1894-1961	42-140	$\Xi\pi$ $\Xi(1530)\pi$	

$\Omega$  باریونهای با  $Y = -2$ ،  $I = 0$ ، علامت  $\Omega$

$\Omega^-$	$0, \frac{3}{2}^+$	$1672.5 \pm 0.5$	عمر متوسط = ( $1.3^{+0.4}$ $-0.3$ ) $\times 10^{-10}$ ثانیه	$\Xi^0\pi^-$ $\Xi^- \pi^0$ $\Lambda K^-$	
------------	--------------------	------------------	--	--	--

توجه: در اسبین و پارایته هایی که به ذرات نسبت داده شده اند،  $N$  به مفهوم  $J^P = 0^-, 1^+, 2^-, 3^+, \dots$  به مفهوم  $A$  و  $J^P = 0^+, 1^-, 2^+, 3^-, \dots$  قرار داده شده اند.

# پیوست ح

## ثابتهای فیزیکی

مقادیر زیر از جدول ثابتهای فیزیکی مرجع

B. N. Taylor, W. H. Parker; D. N. Langenberg, *Rev. Mod. Phys.*, **41**  
(1969) 375.

اقتباس شده‌اند. اعداد درون پرانتزها خطاهای انحراف معیار در آخرین رقم مقدار داده شده‌اند.

$$c = 2999999250(10) \times \begin{cases} 10^{10} \text{cms}^{-1} \\ 10^8 \text{ms}^{-1} \end{cases} \quad \text{سرعت نور}$$

$$\alpha = \frac{e^2}{\hbar c} = 7297351(11) \times 10^{-3} \quad \text{ثابت ساختار ریز}$$

$$\frac{1}{\alpha} = 137.03597(21)$$

$$e = 4.803206(21) \times 10^{-10} \text{ esu} \quad \text{بار الکترون}$$

$$= 1.6021917(70) \times 10^{-19} \text{ C}$$

$$h = 6.626196(50) \times 10^{-27} \text{ erg s} \quad \text{ثابت پلانک}$$

$$\hbar = \frac{h}{2\pi} = 1.0545719(80) \times 10^{-27} \text{ erg s}$$

$$M_e = 9.109558(54) \times 10^{-31} \text{ kg} \quad \text{جرم سکون الکترون}$$

$$= 0.5110041(16) \text{ MeV}$$

(1 MeV = 10<sup>6</sup> eV)

$M_p = 1.672614(11) \times 10^{-27} \text{ kg}$  جرم سکون پروتون

$= 938.273161(52) \text{ MeV}$

$M_n = 1.674927(11) \times 10^{-27} \text{ kg}$  جرم سکون نوترون

$= 939.565346(52) \text{ MeV}$

$\mu_{\text{بور}} = \frac{e\hbar}{2M_p c}$  مگنتون بور

$= 9.2740096(65) \times \begin{cases} 10^{-21} \text{ erg G}^{-1} \\ 10^{-24} \text{ JT}^{-1} \end{cases}$

$= 5.788381(18) \times 10^{-5} \text{ eVT}^{-1}$

(T = تسلا = 10<sup>4</sup> گاوس . J = ژول)

$\mu_{\text{هسته}} = \frac{e\hbar}{2M_p c}$  مگنتون هسته‌ای

$= 5.788381(18) \times \begin{cases} 10^{-24} \text{ erg G}^{-1} \\ 10^{-27} \text{ JT}^{-1} \end{cases}$

$= 3.1524526(21) \times 10^{-8} \text{ eVT}^{-1}$

(1 MeV = 1.6021917(70) × 10<sup>-6</sup> erg)

1 b = 1 بارن (سطح مقطع) = 10<sup>-28</sup> cm<sup>2</sup>

1 mb = 10<sup>-27</sup> b

1 μb = 10<sup>-6</sup> b

1 nb = 10<sup>-9</sup> b

1 fm = 10<sup>-13</sup> cm

1 fm<sup>2</sup> = 10 mb

معمولا تکانه  $p$  بر حسب واحد جیگا الکترون ولت بر سرعت نور (GeV/c) بیان می‌شود.

$p(\text{GeV}/c) = \{[E(\text{GeV})]^2 + [M(\text{GeV})]^2\}^{1/2}$

(1 GeV = 1 BeV = 10<sup>9</sup> eV)

## پیوست ط

### جواب تمرینهای زوج

#### فصل اول

۲. طول موج دوبروی توسط رابطه

$$\lambda = h/p$$

داده می شود. با استفاده از

$$p^\gamma = (E^\gamma - m^\gamma c^4)/c^\gamma$$

و با نوشتن  $E$  به صورت

$$E = T + mc^2$$

خواهیم داشت

$$\lambda = hc[T(T + 2mc^2)]^{-1/2}$$

$$1.74 \times 10^{-10} \text{ cm (ب)} \quad 3.79 \times 10^{-8} \text{ cm (الف)}$$

$$1.723 \times 10^{-12} \text{ cm (ج)}$$

۴. (الف) ۱۴۵ مگا الکترون ولت، (ب) ۰.۷۹ مگا الکترون ولت

#### فصل دوم

۲. در چارچوب مرکز جرم، تکانه کل

$$P_c = 0$$

است. انرژی آستانه برای تولید زوج، در حالت نهایی که در آن دو الکترون و یک پوزیترون همگی در حالت سکون باشند، برابر است با

$$E_c = 3Mc^2$$

در چارچوب آزمایشگاه در حالی که الکترون اولیه ساکن است، داریم

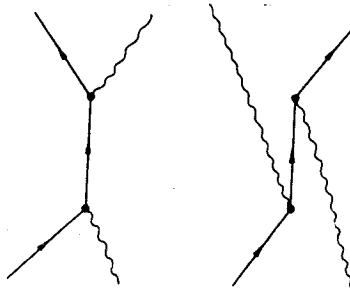
$$E_L = h\nu + Mc^2$$

$$P_L = h\nu/c$$

از آنجایی که  $E^2 - c^2P^2$  یک ناوردای نسبیتی است، می‌نویسیم

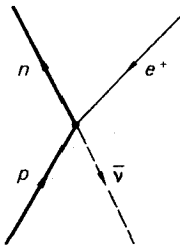
$$(Mc^2)^2 = (h\nu + Mc^2)^2 - (h\nu)^2$$

$$\therefore h\nu = 2Mc^2$$



۴.

شکل ط. ۱۰



۶.

شکل ط. ۲۰

$$\pi^+ \rightarrow \mu^+ + \nu_\mu$$

۸. (الف)

$$\pi^- \rightarrow \mu^- + \bar{\nu}_\mu$$

$\nu_\mu$  و  $\bar{\nu}_\mu$  بار صفر دارند.

$$Q = M_\pi c^2 - M_\mu c^2 = 33.9 \text{ MeV}$$

برای پيون اولیه ساکن می‌نویسیم

$$\mathbf{p}_\nu = -\mathbf{p}_\mu = \mathbf{p}$$

$$E_{\mu} + E_{\nu} = M_{\pi} c^2$$

$$c(p^{\nu} + M_{\mu}^{\nu} c^{\nu})^{1/2} + cp = M_{\pi} c^2$$

با حل معادله فوق برای  $p$  خواهیم داشت

$$p = c(M_{\pi}^{\nu} - M_{\mu}^{\nu}) / 2M_{\pi}$$

$$E_{\mu} = c^{\nu}(M_{\pi}^{\nu} + M_{\mu}^{\nu}) / 2M_{\pi}$$

$$T_{\mu} = E_{\mu} - M_{\mu} c^{\nu}$$

$$= c^{\nu}(M_{\pi} - M_{\mu})^{\nu} / 2M_{\pi}$$

$$= 4.12 \text{ MeV}$$

$$\pi^0 \rightarrow \gamma + \gamma \quad (\text{ب})$$

$\gamma$  بدون بار است.  $Q = 135 \text{ MeV}$

$$\mu^+ \rightarrow e^+ + \nu_e + \bar{\nu}_{\mu} \quad (\text{ج})$$

$$\mu^- \rightarrow e^- + \bar{\nu}_e + \nu_{\mu}$$

بین نوترینوی همراه با میون و نوترینوی همراه با الکترون تفاوت قائل می‌شویم، زیرا همچنان‌که در بخش ۳۴ خواهیم دید، دو نوع مختلف نوترینو وجود دارند.

ذرات  $\nu_e$ ،  $\bar{\nu}_e$ ،  $\nu_{\mu}$ ، و  $\bar{\nu}_{\mu}$  بدون بار هستند.  $Q = 105.7 \text{ MeV}$

۱۰. در چارچوب آزمایشگاه و در آستانه واکنش، پروتون فرودی دارای انرژی جنبشی  $6M_p c^2$  است.

### فصل سوم

۲. (الف)  $+$ ، (ب)  $+$ ، (ج)  $-$

۴. (الف) و (ه) ممنوع هستند، زیرا عدد باریونی در آنها پایسته نیست. (ج)، (د)، و (ز) به علت اینکه بار در آنها پایسته نیست، ممنوع هستند.

### فصل چهارم

۲. برای  $L = 1$ ،  $\psi(\mathbf{r})$  نسبت به تعویض دو نوکلئون پاد متقارن است. (الف) برای پاد متقارن بودن

$$\Psi = \psi(\mathbf{r}) \psi_{\text{اسپین}} \psi_{\text{اسپین}}$$

لازم است که ایزوسپین  $I_3$  اسپین  $S$  متقارن باشد، و همچنان که در جدول ط ۱۰ نموده شده است، ۱۰ تا از این حالتها وجود دارند.

جدول ط ۱۰

تعداد حالتها	حالت ایزوسپین	حالت اسپین
$3 \times 3 = 9$	مقارن $I = 1$	مقارن $S = 1$
	سه حالت	سه حالت
	پاد مقارن $I = 0$	پاد مقارن $S = 0$
۱	حالت ۱	حالت ۱
جمع ۱۰		

(ب) ۱۰ حالت نیز در جدول ط ۲۰ نموده شده اند

جدول ط ۲۰

حالتها		
۳	$S = 1$	$nn$
۳	$S = 1$	$pp$
۴	$S = 0, 1$	$np$
جمع ۱۰		

۴. (الف)  $\frac{3}{4}, \frac{1}{4}$ ، (ب) چون  $I_3 = \frac{3}{4}$ ، لذا  $I = \frac{3}{4}$

فصل ششم

۲. در چارچوب سکون  $A$

$$p_B = -p_C = p$$

از پایستگی انرژی داریم

$$M_A c^\gamma = c(p^\gamma + M_B^\gamma c^\gamma)^{1/2} + c(p^\gamma + M_C^\gamma c^\gamma)^{1/2}$$

$$= E_B + \{E_B^\gamma + (M_C^\gamma - M_B^\gamma) c^\gamma\}^{1/2}$$

با حل معادله بر حسب  $E_B$

$$E_B = \frac{(M_A^\gamma + M_B^\gamma - M_C^\gamma) c^\gamma}{2M_A}$$

$$T_B = E_B - M_B c^\gamma$$

$$= \frac{c^\gamma}{2M_A} \{ (M_A - M_B)^\gamma - M_C^\gamma \}$$

۴. فرایندهایی که نمی‌توانند از طریق برهم‌کنشهای قوی صورت گیرند و کمینه‌هایی که پایسته نیستند عبارت‌اند از  
(الف) شگفتی، (ب) شگفتی، (د) بار، (ه) انرژی.

### فصل هفتم

۲. (ب) به خاطر پایستگی بار مطلقاً ممنوع است؛ (ج)، (ز)، (ح) در برهم‌کنش ضعیف  $I, S, P$  و  $I_3$  پایستگی ندارند؛ (الف)، (و) در برهم‌کنش الکترومغناطیس  $I, S, P$  پایسته نیست، ولی  $I, S, P$  و  $I_3$  پایسته‌اند؛ (د)، (ه) در برهم‌کنش قوی  $I, S, P$  و  $I_3$  پایسته‌اند.

### فصل هشتم

۲. چون اسپین پیون صفر است، توزیع نوترینوها در چارچوب سکون پیون همسانگرد خواهد بود. در نتیجه توزیع نوترینوها در چارچوب آزمایشگاه متناسب با  $d(\cos \theta')/d(\cos \theta)$  خواهد شد که توسط معادله (الف. ۶۸) با  $M=0$  داده شده‌است

$$\frac{1}{\gamma^\gamma (1 - \beta \cos \theta)^\gamma}$$

نسبت انشعاب	۴.
وایشی	
$\Lambda^\circ \rightarrow p + \pi^-$	۶۴%
$\rightarrow n + \pi^0$	۳۶%
$\rightarrow p + e^- + \bar{\nu}_e$	$0.8 \times 10^{-2}$
$\rightarrow p + \mu^- + \bar{\nu}_\mu$	$1.6 \times 10^{-2}$
$\rightarrow n + e^- + \bar{\nu}_e + \mu^+ + \nu_\mu$	
$\rightarrow n + e^+ + \nu_e + \mu^- + \bar{\nu}_\mu$	



- $\gamma$  همه بالاییها  
 →  $e^+ + e^-$  همه بالاییها

### فصل نهم

۲. شدت توسط رابطه زیر داده می‌شود

$$I = I_0 e^{-\pi/2 \tau_{lab}}$$

که در آن  $\tau_{lab}$  عمر میانگین در چارچوب آزمایشگاه است. با استفاده از معادله (الف. ۷۱) داریم

$$I = I_0 e^{-\pi/2 \gamma \tau}$$

که در آن  $\tau$  عمر میانگین در چارچوب سکون است

$$\gamma = E/mc^2$$

برای کائونهای با ۱۰ جیگا الکترون ولت، داریم

$$\gamma \approx 20$$

$$v \approx c$$

برای  $x = 20 \times 10^2 \text{ cm}$

$$I = I_0 e^{-10^2 / c\tau \text{ (cm)}}$$

برای  $K_S^\circ$ ،  $c\tau = 2759 \text{ cm}$ ، و

$$I/I_0 \approx 10^{-17}$$

برای  $K_L^\circ$ ،  $c\tau = 1614 \text{ cm}$ ، و واپاشی  $K_L^\circ$  صرفنظر کردنی است، نسبت  $K_S^\circ$  به  $K_L^\circ$  برابر  $10^{-17}$  است.

### فصل دهم

۲.  $E = Mc^2$  که در آن  $M$  جرم ناوردای دستگاه پیون- پروتون است. پس داریم

$$W^2 = c^2(p^2 + M^2 c^2) \quad (1)$$

که در آن  $W$  انرژی کل و  $P$  تکانه کل در یک چارچوب اختیاری است. در چارچوب آزمایشگاه

$$W = M_\pi c^2 + M_p c^2 + T_\pi \quad (2)$$

$$P = p_\pi = [(T_\pi + M_\pi c^2)^2 - M_\pi^2 c^4]^{1/2} / c \quad (3)$$

$$= [T_\pi (T_\pi + 2M_\pi c^2)]^{1/2} / c$$

با قراردادن (۲) و (۳) در معادله (۱) خواهیم داشت

$$T_{\pi} = \left[ \frac{M^2 - (M_p + M_{\pi})^2}{2M_p} \right] c^2$$

$$= \frac{(M + M_p + M_{\pi})(M - (M_p + M_{\pi}))c^2}{2M_p} \quad (۲)$$

با قراردادن (۲) در معادله (۳)، نتیجه می‌شود

$$p_{\pi} = \frac{c}{2M_p} [\{M^2 - (M_p + M_{\pi})^2\} \{M^2 - (M_p - M_{\pi})^2\}]^{1/2}$$

با

$$M_{\pi} c^2 = 0.1396 \text{ GeV}, M_p c^2 = 0.9382 \text{ GeV}$$

حاصل معادله (۲) به صورت زیر درمی‌آید

$$T_{\pi}(\text{GeV}) = \frac{\{E(\text{GeV}) + 1.0779\} \{E(\text{GeV}) - 1.0779\}}{1.8766} \quad (۵)$$

و حاصل معادله (۳) نیز به صورت زیر خواهد شد

$$p_{\pi}(\text{GeV}/c) = [T_{\pi}(\text{GeV}) \{T(\text{GeV}) + 0.9382\}]^{1/2} \quad (۶)$$

جدول ط. ۳ را ببینید.

### جدول ط. ۳

$p_{\pi}(\text{GeV}/c)$	$T_{\pi}(\text{GeV})$	
۰.۷۴	۰.۶۱	$N(1520)$
۳.۲۶	۳.۱۲	$N(2650)$
۰.۳۰۴	۰.۱۹۵	$\Delta(1236)$
۳.۸۵	۳.۷۱	$\Delta(2850)$

۴. احتمال گذار از حالت  $\pi^- p$  به حالتی مانند  $f$  را می‌توان بر حسب دامنه احتمال به صورت زیر نوشت

$$|\langle f | M | \pi^- p \rangle|^2$$

مقطع کل از جمع روی تمام حالت‌های امکان پذیر  $f$  به دست می‌آید

$$\begin{aligned} \sigma^-_{کل} &= \sum_f |\langle f|M|\pi^-p\rangle|^2 \\ &= \sum_f \langle \pi^-p|M^*|f\rangle \langle f|M|\pi^-p\rangle \\ &= \langle \pi^-p|X|\pi^-p\rangle \end{aligned} \quad (1)$$

$$\begin{aligned} |\pi^-p\rangle &= |I_r(\pi) = -1, I_r(N) = +\frac{1}{4}\rangle \\ &= \langle 1\frac{1}{4}\frac{3}{4} - \frac{1}{4} | 1 - 1\frac{1}{4} + \frac{1}{4}\rangle |I = \frac{3}{4}, I_r = -\frac{1}{4}\rangle \\ &\quad + \langle 1\frac{1}{4}\frac{1}{4} - \frac{1}{4} | 1 - 1\frac{1}{4} + \frac{1}{4}\rangle |I = \frac{1}{4}, I_r = -\frac{1}{4}\rangle \end{aligned} \quad (2)$$

که در آن

$$\langle I(\pi), I(N), I, I_r | I(\pi), I_r(\pi), I(N), I_r(N) \rangle$$

ضرایب کلیش و گوردن هستند. با نوشتن

$$|I = \frac{3}{4}, I_r = -\frac{1}{4}\rangle \equiv |\frac{3}{4}\rangle$$

$$|I = \frac{1}{4}, I_r = -\frac{1}{4}\rangle \equiv |\frac{1}{4}\rangle$$

و جاگذاری مقدار ضرایب کلیش و گوردن، خواهیم داشت

$$|\pi^-p\rangle = \sqrt{\frac{1}{3}} |\frac{3}{4}\rangle - \sqrt{\frac{2}{3}} |\frac{1}{4}\rangle \quad (3)$$

بدین ترتیب، از آنجایی که در برهم کنش پیون- نوکلئون ایزوسپین پایسته است، به دست می‌آید

$$\langle \frac{3}{4} | X | \frac{1}{4} \rangle = 0 \quad (4)$$

و

$$\begin{aligned} \sigma^-_{کل} &= \frac{1}{3} \langle \frac{3}{4} | X | \frac{3}{4} \rangle + \frac{2}{3} \langle \frac{1}{4} | X | \frac{1}{4} \rangle \\ &= \frac{1}{3} \sigma_{3/4, 3/4} + \frac{2}{3} \sigma_{1/4, 1/4} \end{aligned} \quad (5)$$

چون

$$\begin{aligned}
 |\pi^+ p\rangle &= |I_z(\pi) = +1, I_z(N) = \frac{1}{2}\rangle \\
 &= |I = \frac{3}{2}, I_z = \frac{3}{2}\rangle \quad (6)
 \end{aligned}$$

$$\sigma_{1,2}^+ = \sigma_{3,2} \quad (7)$$

از معادلات (۵) و (۷) نتیجه می‌شود که

$$\sigma_{1,2} = \frac{2}{3}\sigma^- - \frac{1}{3}\sigma^+$$

## فهرست راهنما

- |   |  |
|---|--|
| <p>~ عدم قطعیت هایزبرگپ ۱۷،<br/>۱۰۱،۲۳</p> <p>الکترون ۵، ۴۲، ۵۲، ۸۱، ۸۳-۸۵<br/>پراکندگی ~ الکترون ۲۰</p> <p>پراکندگی ~ پروتون ۱۷-۱۸،<br/>۱۸۹-۱۹۳، ۱۹۴-۲۰۱</p> <p>تولید و ناپایداری زوج ~ پوزیترون<br/>۱۲-۱۷</p> <p>قطبیدگی ~ درواپاشی بتا ۶۶-۷۰<br/>واپاشی بتای منفی ~ ۲۰-۲۳، ۶۶-<br/>۷۰</p> <p>پایستگی ~ ۸، ۷۸، ۸۷<br/>جرم- ~ ۳-۵</p> <p>انعکاس ۳۰-۳۱</p> <p>ایزوسپین ۳۸-۴۵، ۵۷-۵۹، ۷۶-<br/>۷۹، ۸۸، ۱۰۲، ۱۳۴-۱۳۷، ۱۴۴،<br/>۱۶۶، ۲۶۷</p> <p>بار ۴۳، ۵۷</p> <p>پایستگی ~ ۳۴، ۳۷-۷۸، ۸۷</p> | <p>آزمایش (g-۲) ۲۹-۵۱<br/>آمار ۴، ۶</p> <p>اثر کامپتون ۲۷<br/>اتاقک</p> <p>~ ابر ۵۳-۵۵، ۱۵۸، ۲۴۲<br/>~ جرقه ۸۲-۸۳، ۲۴۶-۲۴۷</p> <p>~ الکترونها ۵<br/>~ پیون خشی ۳۴<br/>~ پیون مثبت ۲۸<br/>~ پروتونها ۶<br/>~ فوتونها ۴<br/>~ نوترونها ۷<br/>~ نوترینو ۲۰</p> <p>~ حباب ۱۱۹-۱۲۱، ۲۴۲-۲۴۵<br/>اسپین U ۱۶۶-۱۶۷<br/>اسپین پیون باردار ۲۸<br/>اصل</p> <p>~ توازن تفصیلی ۲۸، ۲۳۰-۲۳۲<br/>~ طرد باؤلی ۵، ۷</p> |
|---|--|

باریته ۲۹ - ۳۲، ۳۲ - ۳۴، ۳۵ - ۶۳ - ۷۶،  
۱۴۶، ۷۸

بایستگی ~ ۳۰، ۷۷، ۸۷ - ۸۹  
~ پروتون ۳۳ - ۳۴ - ۳۶

~ پیون خنثی ۳۴

~ پیون مثبت ۳۵

~ پیون منفی ۳۲، ۳۴

~ ذاتی ۳۱، ۹۱ - ۹۲

~ مزونهای K ۹۰ - ۹۳

ناپایستگی ~ ۶۳ - ۷۲، ۷۴ - ۷۹

~ نوترون ۳۲، ۳۴ - ۳۶

~ G ۱۳۵ - ۱۳۶

پراکندگی

~ الکترون ۶۷ - ۶۹، ۱۸۶ - ۲۰۲

~ الکترون ۲۰

~ پروتون ۱۷ - ۱۸، ۱۸۹ -

۱۹۲، ۱۹۴ - ۲۰۲

~ پوزیترون ۲۰، ۲۰۲

~ نوترون ۱۹۳ - ۱۹۴

~ پیون - نوکلئون ۱۰۲ - ۱۱۰

تشدید ~ ۱۰۰ - ۱۰۱

~ رادرفورد ۱۸۸

عامل شکل در ~ ۱۸۸ - ۱۹۴

~ مات ۱۸۹

پروتون ۶، ۳۸ - ۴۸، ۶۰ - ۶۱، ۱۴۱ -

۱۴۳

عامل شکل ~ ۱۸۹ - ۱۹۲

گشتاورمغناطیسی ~ ۱۸۳ - ۱۸۴

باریکه‌های برخوردکننده ۲۰۲

باریون (ی) ۳۵، ۵۵

الگوی کوارکی ~ ۱۵۸ - ۱۶۱،

۱۶۲ - ۱۶۵

بایستگی ~ ۳۵، ۶۱، ۷۷ - ۷۸

تشدید ~ ۱۰۰ - ۱۲۱، ۱۳۲ - ۱۳۵

تک تایی ~ ۱۴۹

چند تایی ~ ۱۴۱ - ۱۴۵، ۱۴۹ -

۱۵۰، ۱۵۸ - ۱۶۱، ۱۸۲

ده تایی ~ ۱۲۰، ۱۴۳ - ۱۵۵،

۱۴۷ - ۱۴۹، ۱۵۹ - ۱۶۱، ۱۸۳

عدد ~ ۳۵، ۵۵، ۵۷، ۷۷ - ۷۸

مسیرهای رگه برای ~ ۱۷۷ - ۱۸۰

هشت تایی ~ ۱۴۳

برهم کنشها (ی)

~ الکترومغناطیسی ۱۸ - ۲۰، ۴۳،

۴۴، ۴۸ - ۴۹، ۷۶ - ۷۸، ۱۸۶ -

۲۰۲

انواع ~ ۷۶ - ۷۸

~ ضعیف ۵۵، ۶۴ - ۶۵، ۷۱ - ۷۳،

۷۷ - ۷۹، ۸۱ - ۸۹، ۱۱۹

~ فوق قوی ۱۴۳

~ قوی ۵۵ - ۵۷، ۷۶ - ۷۹، ۱۰۰،

۱۳۴

~ گرانشی ۷۷

بوزونها ۴، ۲۵، ۵۸

پادپروتون ۱۴، ۲۷، ۵۲

پاد ذره ۱۱، ۱۴، ۵۲، ۵۷ - ۶۱، ۱۵۰

- پوزیترون ۱۲-۱۷، ۲۰، ۲۰۲
- واپاشی بتای مثبت ~ ۲۰-۲۳
- بیون ۲۲-۳۶، ۲۳-۴۸، ۵۹-۶۱
- ۶۳-۶۵، ۸۲، ۱۳۵-۱۳۷، ۱۵۰
- ۱۵۳
- باریته ~ باردار ۳۲
- باریته و اسپین ~ خشی ۳۴
- تشدید ~ ۱۲۱-۱۲۹
- نظریه ~ بوکاو ۲۳-۲۵
- واپاشی ~ ۲۵-۲۷، ۳۲، ۸۱-۸۲
- ۸۷
- تابع دلنا ۱۹۸
- تبدیل لورتنس ۲۰۷-۲۰۹
- تشدید ۱۰۰-۱۳۷
- ~ Δ ۱۰۲-۱۱۰، ۱۱۹، ۱۴۳-
- ۱۴۹، ۱۴۴
- ~ Σ ۱۳۳، ۱۳۵-۱۴۳-
- ۱۴۴، ۱۴۷، ۱۴۹
- ~ Ξ ۱۱۷، ۱۱۹، ۱۳۲-۱۳۵،
- ۱۴۳-۱۴۸، ۱۴۹
- ~ Δ ۱۱۸-۱۱۹، ۱۳۲-۱۳۴،
- ۱۴۸-۱۴۹
- ~ K ۱۳۰-۱۳۲، ۱۳۴، ۱۵۰-
- ۱۵۳
- تقارن ۷۸
- تکانه ۳
- پایستگی ~ ۸، ۷۸، ۸۷
- ~ چهاربعدی ۱۹۰، ۱۹۵، ۲۰۹
- ~ زاویه‌ای ۸، ۷۸
- جرم مؤثر ۱۱۶
- جرم ناوردا ۱۱۵
- چاربردار ۱۹۶، ۲۰۸-۱۱۰
- چند تایه‌ها ۳۸، ۴۳، ۱۴۱-۱۷۰
- حالت‌های انرژی منفی ۱۱-۱۲
- ذره(های)
- ~ آشاری ۵۹
- ~ آلفا ۴
- ~ شگفت ۵۲-۶۲
- تولید همبسته ~ ۵۵-۵۶
- کشف ~ ۵۴-۵۵
- ~ ۵۴۷
- دستوارگی ۷۰-۷۱، ۷۴-۷۶
- دوترون ۲۸، ۳۲، ۴۳-۴۵
- راه هشت لا ۱۴۴-۱۴۵
- روابط جابه‌جایی ۳۹، ۲۲۲-۲۲۳
- شنا بدهنده ۱۴، ۵۴، ۸۱-۸۲، ۱۵۷،
- ۲۳۷-۲۴۱
- شکل برایت-ویگنر ۱۰۱-۱۰۳، ۱۱۶-
- ۱۱۷، ۱۱۷، ۲۳۶
- شگفتی ۵۵-۷۶، ۷۷-۷۸، ۸۸-۱۳۴-
- ۱۳۵
- شمارگر سوسو زن ۲۳، ۲۴۱

قضیه PCT ۷۴

قطبهای رگه ۱۷۲-۱۸۰

قله زا کوبی ۱۲۷-۱۲۹، ۲۱۶

کانالها ۱۳۲-۱۳۳، ۲۳۰

کمیت شبه نرده‌ای ۱۵۰، ۳۴، ۳۲-۱۵۱

کوارکها ۱۵۳-۱۶۵، ۱۸۲-۱۸۴

خواص ~ ۱۵۷-۱۵۸

گشتاور مغناطیسی الکترون ۴۸-۵۱

گشتاور مغناطیسی نوکلئونها ۴۶-۴۸

۱۸۲-۱۸۳

لپتون (ی)

پایستگی ~ ۸۴، ۸۷

تعریف ~ ۸۴

عدد ~ ۸۲-۸۵

ماتریس تك مدولی ۱۴۳

ماتریس یکانی ۱۴۳

مزون (ی) ۲۳-۲۴، ۶۰-۶۱

الگوی کوارکی ~ ۱۵۵-۱۵۷

۱۶۱-۱۶۴

تشدید ~ ۱۲۱-۱۳۲، ۱۳۵-۱۳۶

۱۵۰-۱۵۳

مسیرهای رگه‌برای ~ ۱۷۷-۱۸۰

نه‌تایه ۱۵۲-۱۵۳، ۱۵۶، ۱۶۲-

۱۶۲

~ K ۵۵-۶۵، ۷۱-۷۲، ۹۰-

۱۵۳-۱۵۰، ۹۹

~ K<sub>۲</sub>، K<sub>۱</sub> ۹۱-۹۷

طیف‌سنجی جرم نایافته ۱۲۶-۱۳۰، ۲۱۶

عامل شکل ۱۸۸-۱۹۴

فرایندهای مجازی ۴۶، ۱۶-۴۹، ۸۷

فرمول جرمی گلنن-اکوبو ۱۴۸-۱۵۱

۱۶۴-۱۷۰

فرمیونها ۵

پایستگی ~ ۸۷

فضای فاز ۱۱۱، ۱۱۵، ۱۲۲، ۲۳۰

فوتون ۳، ۱۲، ۱۶-۱۹، ۱۸۶

فوق بار ۵۹-۶۳، ۱۳۴-۱۳۵

قانون پایستگی ۸، ۹، ۲۰، ۳۴-۳۵

۷۶، ۷۷، ۸۷-۸۸

~ انرژی ۸، ۷۸، ۸۷

~ ایزوسپین ۴۳-۴۴، ۷۷-۷۹

۸۸-۸۹

~ بار ۲۴، ۷۷-۷۹، ۸۷

~ پارته ۳۱، ۶۳، ۷۹، ۸۷-۸۹

~ تکانه ۸، ۷۸، ۸۷

~ جهانی ۳۴-۳۵

~ شگفتی ۵۵-۵۷، ۶۲، ۷۸، ۸۷-

۸۸

~ عدد باریونی ۳۵، ۶۲، ۷۷-

۷۸

~ عدد لپتونی ۸۴-۸۷

~ فرمیونها ۸۷

~ فوق بار ۶۲

~ مطلق ۳۴-۳۵



- نشانه ۱۷۸، ۱۷۶  
 نظریه  
 ~ اختلال ۱۸۷  
 ~ دبراک ۱۱  
 ~ گروه ۱۴۷-۱۴۵  
 ~ یوکاوا ۲۵-۲۳  
 نمایش دالیتز ۱۱۴-۱۱۹، ۱۳۱  
 نمودار وزنی ۱۵۱  
 نمودار فاینمن ۱۴-۱۹، ۲۳، ۲۷  
 ~ برای اثر کامپتون ۲۷  
 ~ برای برهم کنش ضعیف ۲۲، ۸۵  
 ۸۶  
 ~ برای تولید زوج ۱۶، ۱۷، ۲۷  
 ~ برای نابودی زوج ۱۶  
 ~ برای نوکلئون ۲۷-۲۸  
 ~ برای واپاشی بتا ۲۳، ۸۶  
 ~ برای واپاشی پیون ۸۷  
 ~ برای واپاشی میون ۸۶  
 ~ برای پراکندگی الکترون ۱۷، ۱۸  
 ۱۹  
 نوترون ۶، ۳۸-۳۸، ۴۸، ۵۲، ۱۴۱، ۱۴۳،  
 ۱۴۴  
 عامل شکل ~ ۱۹۳-۱۹۴  
 گشتاور مغناطیسی ~ ۴۶-۴۸، ۱۸۳-  
 ۱۸۴  
 نوترینو (ی) ۲۰-۲۲، ۵۳، ۸۱-۸۹  
 ~ دومی لقه ای ۷۵-۷۱، ۷۴-۷۶  
 نوکلئون ۳۸-۴۲، ۴۵-۴۶، ۱۴۱  
 الگوی پارتونی ~ ۱۹۷-۲۰۲  
 تعریف ~ ۳۸
- پراکندگی ~ ۱۱۷-۱۱۸  
 ~ خشی ۵۸، ۹۰-۹۹  
 ناپایداری CP در ~ ۹۴-۹۸  
 واپاشی ~ ۵۳-۵۴، ۶۳-۶۵،  
 ۸۷-۸۹، ۹۰-۹۹  
 ~  $\eta$  ۱۲۴-۱۲۶، ۱۳۴، ۱۳۶،  
 ۱۵۲-۱۵۰  
 ~  $\omega$  ۱۰۲، ۱۲۲-۱۲۶  
 ~  $\rho$  ۱۲۱-۱۲۲، ۱۲۵-۱۲۹،  
 ۱۳۶  
 ~  $\varphi$  ۱۳۶، ۱۵۱  
 مسیر گد ۱۷۲-۱۸۰  
 مقطع موج جزئی ۱۰۵، ۱۱۰  
 مگنتون هسته ای ۴۶، ۲۵۹  
 موج دو بروی ۹، ۲۱۸  
 میون ۲۴-۲۶، ۴۴، ۵۲، ۸۲-۸۹  
 گشتاور مغناطیسی ~ ۴۹-۵۰  
 واپاشی ~ ۶۵-۶۸  
 ناوردایی ۸، ۹  
 ~ ایزوسپین ۴۲-۴۴، ۷۶-۷۸،  
 ۸۸  
 ~ وارونی زمان ۷۳، ۷۶-۷۹  
 ~ همیوخی بار ۷۴-۷۵، ۷۸  
 ~ CP ۷۴-۷۶، ۷۸، ۸۷، ۹۲-  
 ۹۵  
 نقص ~ ۹۵-۹۸  
 ~ PCT ۷۴، ۷۸  
 نسبییت ۳، ۶۲، ۱۱۱، ۱۱۴-۱۱۶،  
 ۱۲۶، ۱۹۰، ۱۹۶-۱۹۸، ۲۰۷-۲۱۷

ساختمان الکترومغناطیسی ~ ۱۸۹ ،

۲۰۲

گشتاور مغناطیسی ~ ۱۸۲، ۲۶-۱۸۲

نه تایه ۱۵۱-۱۵۳

نیرو

~ الکترومغناطیسی ۲۴

~ تبدلی ۷۵

~ هسته‌ای ۲۳-۲۵، ۷۲-۷۳

واباشی

~ بتا ۲۰-۲۳، ۷۷-۷۸

ناپایستگی پارینه‌در ~ ۶۲-۷۰

ناوردایی CP در ~ ۷۴-۷۶

~ پیون، ۲۵-۲۶، ۳۴، ۶۲-۶۵،

۸۱-۸۳

~ معکوس بتا ۲۲، ۸۳

~ میون ۶۵، ۸۶

~ نوترون ۲۰

واریونی ۲۹، ۷۳

اثر ~ بر اسپین ۶۵-۶۶

~ زمان ۷۳-۷۴، ۷۸

هادران ۱۲۶

هشت‌تایه ۱۲۲-۱۲۳، ۱۲۷-۱۲۸، ۱۵۲،

۱۵۷، ۱۸۲

همیوخی بار ۷۴-۷۵، ۷۸، ۹۱، ۱۳۵

هیپرون ۵۹

~  $\Xi$  ۵۵، ۵۹-۶۲، ۱۲۲-۱۲۳

واباشی ~ ۵۹

~  $\Sigma$  ۵۵، ۵۹-۶۲، ۷۷-۱۲۲-

۱۲۳، ۱۶۲

واباشی ~ ۷۷، ۸۷-۸۸

~  $\Lambda$  ۵۵-۶۲، ۷۷، ۱۲۲-۱۲۳،

۱۶۲

واباشی ~ ۵۵، ۵۹، ۷۱-۷۲،

۸۹، ۲۶۴

~  $\Omega$  ۱۱۹-۱۲۱، ۱۴۳-۱۴۵،

۱۲۸

واباشی ~ ۱۱۹-۱۲۰

(۳) SU ۱۲۳، ۱۴۶-۱۵۷، ۱۵۸-

۱۷۰، ۱۸۲

(۶) SU ۱۸۲-۱۸۲